

REPUBLIQUE ALGERIENNE DEMOCRATIQUE ET POPULAIRE
MINISTERE DE L'ENSEIGNEMENT SUPERIEUR ET DE LA RECHERCHE
SCIENTIFIQUE

ECOLE NATIONALE SUPERIEURE D'HYDRAULIQUE
ARBAOUI Abdallah

DEPARTEMENT GENIE DE L'EAU

MEMOIRE DE FIN D'ETUDES.

EN VUE DE L'OBTENTION DU DIPLOME
D'INGENIEUR D'ETAT EN HYDRAULIQUE

Option : Conception Des Ouvrages Hydrotechniques

THEME

ETUDE D'AVANT PROJET DETAILLEE DE LA DIGUE
DU BARRAGE DE OUED TAHT
(W. MASCARA)

Présenté par :
M^r KHEDDAR HICHEM

Promotrice :
M^{me} A.ADDOU

Devant le jury composé de :

Président :
M^r M. K. MIHOUBI

Examinateurs :
M^r M. BACHIR CHERIF
M^r A. AMMARI
M^{me} N. HADJ SADOK

Octobre 2010

إِهْدَاء



إلى منبع الحنان ودفء المكان، التي سهرت من أجلني حتى أبلغ قمة النجاح
أمي الحنونة - رحمها الله.

إلى الذي أنار دربي ورسم لي طريق نجاحي وغرس بداخللي حب العمل أبي
- حفظه الله - ورعاه وأطال في عمره حتى يبلغ مسرى الحبيب المصطفى.
إلى أخي الغالي ياسين وزوجته الكريمة .

إلى أغلى ما أملك في هذا الوجود أحباب قلبي أخواتي.
إلى الكتكوتة الصغيرة - إسرا -

إلى جميع أخواتي وخالاتي، أعمامي وعماتي .
إلى كل من وسعه قلبي ولم تسعه مذكرتي.

مع تحيات هشام 2010



هشام
2010



Remerciement



Tout d'abord, tout louange à dieu qui m'a fourni le courage, la capacité et la patience pour réaliser ce modeste travail avec toutes ses difficultés et ses obstacles.

Je tiens à exprimer ma profonde gratitude et ma promotrice, Madame **Anissa ADDOU**, Maître Assistant Chargé de Cours à l'ENSH, pour m'avoir accordé sa confiance pour mener à bien ce projet et pour l'encadrement de ce travail ainsi pour sa disponibilité, ses conseils ont largement contribué à l'aboutissement de ce travail.

Mon respect s'adresse aux membres de jury Messieurs : Mustapha Kamel MIHOUBI, Abdelhadi AMMARI, et Mustapha BACHI CHRIF et Mes dames : Malika LATROUS, Nabila HADJSADOK, et Sabah BERBACHE. Qui me feront l'honneur d'apprécier ce travail.

Je remercie également Monsieur Mohamed HASSANE, Maître de Conférence à l'ENSH, qui m'a enseigné l'Ouvrage Hydrotechnique et Hydraulique Appliqué durant mon cursus.

Je remercie également Monsieur Samir CHALOUCHÉ pour son soutien moral et son aide constante.

Je remercie également Abdelhak AYAD pour ses encouragements, son soutien moral et ses précieux conseils et orientations.

Un merci particulier à Monsieur Abdelmadjid BOUFEKANE pour la qualité de sa collaboration, notamment dans la finalisation des cartes, et à Monsieur Ayoub ZEROUAL pour ses précieux conseils et orientations, qu'il reçoit ici les marques de mon amitié la plus sincère.

Je n'oublie pas non plus tous mes amis et les membres de ma famille qui m'ont toujours encouragé, Je pense à Diab (bilal) GUERCHOUCHE, nabil BOUKAKA,nadji bencherit, Abdelouaheb TOUATI, Mehmoud KhARMACH,ilyas hafi ,fouad zouach , youcef Ben Hafed



COUPURE
2010

ملخص:

دراستنا هذه تسجل في اطار الحفاظ على الموارد المائية من أجل التسخير العقلاني لملايين الأمتار المكعبة في الجزائر بصفة عامة وولاية معسكر بصفة خاصة و هذا لتحقيق الإكتفاء الذاتي في مياه السقي و الشرب.

و في اطار ذلك تأتي مذكرتنا هذه لتناول دراسة مفصلة لسد مائي على مستوى ولاية معسكر و بالتحديد على مستوى وادي تحت.

بعد دراسة معمقة و شاملة لمختلف الجوانب (الجيولوجية، الهيدرولوجية ، الطبوغرافية) قمنا باختيار الإقتراح المناسب حيث صمممنا الحاجز المائي و تحققنا من ثباته أما فيما يتعلق بالإنجاز قمنا بشرح عميق و دقيق يضم مختلف آطوار الإنجاز.

Résumé :

Notre présente étude s'inscrit dans le cadre de conservation des eaux et afin d'assurer une gestion rationnelle des millions de mètre cubes d'eau dans le pays, en particulier dans le site choisi pour notre étude, afin de satisfaire les besoins agricoles et l'alimentation en eau potable.

L'étude que nous avons menée dans ce mémoire est une étude détaillée d'un barrage dans la wilaya de MASCARA et principalement sur l'Oued Taht.

Après une étude précise et complète des différentes étapes (géologique, hydrologique, topographique), nous avons choisi la variante adaptée, puis on a implanté la digue et on a vérifié sa stabilité. Pour la réalisation nous avons élaboré une note explicative contenant les différentes étapes de calcul.

Abstract:

In the setting of the national strategy concerning conservation of water, in order to mobilize an important quantity of water in Algeria, in MASCARA exactly.

However the survey, the choice and the dimensionality of the storage works deserve to be deepened. So to survey we led in this these is a detail of a dam in the wilaya of MASCARA in Oued Taht.

After a precise and complete study of the various stages "geological, hydrological, topographic), we chose the adopted alternative, then one established the dam and one checked its stability. For the realization we gave an explanation supplements containing the various stages of calculation.

Sommaire

Introduction générale

1^{ère} partie : Synthèse de l'étude de faisabilité

| | |
|---|----|
| I. Introduction..... | 1 |
| I.1. Destination de l'ouvrage..... | 1 |
| I.2. Situation géographique et topographique | 1 |
| I.3. La géologie de la zone d'étude | 3 |
| I.3.1 Quaternaire..... | 3 |
| I.3.1.1 Dépôts récents (A) : | 3 |
| I.3.1.2 Dépôts colluviaux (Cp) :..... | 3 |
| I.3.1.3 Dépôts de versants et éboulis (Eb) : | 3 |
| 1. 3.2 Miocène | 3 |
| I.3.2.1 Poudingues (P) : | 3 |
| I.3.2.2 Marnes verdâtres (Mv) : | 3 |
| I.3.3 Crétacé | 4 |
| I.3.3.1 Crétacé supérieur : | 4 |
| I.3.3.2 Crétacé inférieur : | 4 |
| I.3.4 Jurassique | 4 |
| I.3.4.1 Marnes calcaires grises bleuâtres (Mb) : | 4 |
| I.3.5 Trias infra Lias | 4 |
| I.4. Travaux de reconnaissance effectués..... | 6 |
| A - Sondages et les essais in situ..... | 6 |
| B- Essais au laboratoire | 7 |
| C - Piézomètres | 7 |
| I.5. Géologie de la cuvette et du site de barrage | 7 |
| I.5.1. Géologie de la cuvette..... | 7 |
| I.5.2. Géologie de l'axe du barrage | 8 |
| 1.6. Etanchéité de la cuvette..... | 8 |
| I.7. Matériaux de constructions | 8 |
| A - Granulométrie | 10 |
| B - Limites d'ATTERBERG | 10 |
| I.8. Hydrogéologie régionale..... | 11 |
| I.9. Sismicité de la zone d'étude | 11 |
| I.10. Hydrologie | 13 |
| I.10.1.Données climatologiques | 13 |
| A - Température | 13 |
| B - Vitesse du vent | 14 |
| C - Evaporation | 14 |
| D - Humidité de l'air | 15 |
| E – L'insolation | 15 |
| I.10.2 La pluviométrie | 15 |
| I.10.3 Etudes des apports..... | 15 |
| I.10.4 Crues du projet | 16 |

| | |
|--|----|
| I.10.5 Apports solides..... | 16 |
| I.11. Conceptions de barrage et ouvrages annexes : | 16 |

2^{ème} Partie: Etude D'avant Projet Détaillé De La Digue

Chapitre I : Etude Hydrologique

| | |
|---|----|
| Introduction | 17 |
| I.1.Le bassin versant..... | 17 |
| I.1.1. Caractéristiques physiques du bassin versant | 17 |
| A - caractéristiques géométriques : | 17 |
| I.1.2. Caractéristiques hydromorphologiques | 18 |
| I.1.3. Hypsométrie du bassin versant | 19 |
| I.1.3.1 Le relief..... | 19 |
| I.1.4. les indices..... | 23 |
| A - Indices de pente de ROCHE I_p | 23 |
| B - Indice de pente globale I_g : (P. Dubreuil, 1974)..... | 24 |
| C - Indice de pente moyenne I_{pm} | 24 |
| D - Dénivelée spécifique : | 24 |
| E - Pente moyenne du bassin versant : | 24 |
| I.1.5. Caractéristiques hydrographiques de bassin versant..... | 25 |
| I.1.5.1. le réseau hydrographique | 25 |
| I.1.6. Profil en long de l'Oued | 28 |
| I.2. Caractéristiques climatiques du bassin versant..... | 30 |
| I.2.1. Température | 30 |
| I.2.2 Vitesse du vent | 31 |
| I.2.3. Evaporation | 31 |
| I.2.4 La pluviométrie | 32 |
| I.2.4.1. Stations et données disponibles: | 32 |
| I.2.5. Les précipitations maximales journalières | 34 |
| I.3 Choix de la loi d'ajustement | 35 |
| I.3.1 Ajustement de la série pluviométrique à la loi de GUMBEL | 35 |
| I.3.2. Ajustement de la série pluviométrique à la loi de GALTON (log-normale) : | 37 |
| I.4. Les pluies de courtes durées de différentes fréquences et leurs intensités | 39 |
| I.5 Etudes des apports | 41 |
| I.5.1. La station Hydrométrique | 41 |
| I.5.2 Caractéristiques de l'écoulement..... | 41 |
| A - Module de l'écoulement : | 41 |
| B - Module de l'écoulement relatif : | 42 |
| C - Lame d'eau écoulée : | 42 |
| D - Coefficient de l'écoulement : | 42 |
| I.5.3. Les apports fréquentiels | 42 |
| I.5.3.1. Ajustement de la série des apportes à la loi log-normale | 42 |
| I.5.3.2. Répartition de l'apport moyen annuel estimé à une probabilité de 80% | 43 |
| I.5.4. Apport solide et l'estimation du volume mort | 44 |
| I.5.4.1 Apport solide en suspension | 44 |

| | |
|---|------------------------------------|
| I.5.4.2. Le transport solide par charriage | 45 |
| I.6. Etude des crues: | 45 |
| I.6.1. Hydrogramme de crue : | 46 |
| I.6.1.1 Détermination des Hydrogramme de crues probables par la méthode de Sokolovski : . | 46 |
| I.6.2 Choix de la crue de projet | 50 |
| I.6.3 Choix de la crue de chantier : | 52 |
| I.7 Régularisation | 53 |
| I.7.1. Répartition mensuelle de l'apport 80%..... | 53 |
| I.7.2. Répartition mensuelle des besoins | 53 |
| I.7.3. Courbes « Hauteurs -Capacités -Surface » | 53 |
| I.7.4. Calcul du volume utile | 56 |
| I.7.4.1. Régularisation saisonnière sans tenir compte des pertes | 56 |
| I.7.4.2. Régularisation saisonnière (en tenant compte des pertes) | 58 |
| I.7.4.3. Régularisation interannuelle par la méthode Kristly-Menkel..... | 61 |
| I.8. Laminage des crues : | 63 |
| I.8.1. La méthode de KOCHERINE :..... | 63 |
| I.9 Etude d'optimisation | Erreur ! Signet non défini. |
| I.9.1 La revanche..... | 70 |
| I.9.2 Le tassement : | 71 |
| I.9.3 La largeur en crête : | 71 |
| I.9.4 Calcul des coûts | 72 |
| Conclusion..... | 74 |

Chapitre II : Etude Des variantes

| | |
|---|----|
| Introduction | 75 |
| II.1. Le choix du site du barrage | 76 |
| II.2. Le choix du type de barrage | 76 |
| II.3. Les variantes à choisir | 77 |
| A - Barrage en enrochements avec noyau en argile :..... | 77 |
| B - Barrage en terre homogène (en argile) :..... | 78 |
| C - Barrage en enrochement avec masque en béton : | 78 |
| II.4. Définition du profil général du barrage | 78 |
| II.4.1. Hauteur de barrage..... | 78 |
| II.4.1.1. Calcul de la revanche..... | 78 |
| II.4.2. Largeur en crête | 79 |
| II.4.3. La longueur en crête | 80 |
| II.4.4. Pentes des talus..... | 80 |
| II.4.5 Les bermes | 80 |
| II.5. Barrage en enrochements avec noyau en argile..... | 81 |
| A - le talus aval : | 81 |
| B - le talus amont : | 81 |
| C - Le noyau : | 82 |
| D - La cote en crête du noyau : | 83 |
| E - Les drains : | 83 |
| II.6. Barrage en terre homogène..... | 84 |

| | |
|--|----|
| II.7. Drainage de la digue | 85 |
| II.7.1 But du drainage..... | 86 |
| II.7.1.1 Calcul des drains : | 86 |
| II. 8 Fixation du choix définitif du type de barrage | 87 |
| II.8.1. Etude comparative | 87 |
| II.8.1.1. Calcul des volumes..... | 88 |
| I.8.1.2. Estimation du coût des variantes : | 88 |
| II.8.1.3. Comparaison financière des trois variantes : | 89 |
| Conclusion..... | 89 |

Chapitre III : Conception Détaillée De La Digue

| | |
|--|----|
| Introduction | 90 |
| III.1. Conception de La Digue..... | 90 |
| III.1.1. la revanche du barrage..... | 90 |
| III.1.2. la hauteur du barrage | 90 |
| III.1.3 largeur en crête | 90 |
| III.1.4 Classification de l'ouvrage..... | 91 |
| III.1.5. Les bermes..... | 91 |
| III.1.6 Pentes des talus : | 91 |
| III.1.7. Protection des talus..... | 92 |
| III.1.8. Drainage de la digue..... | 93 |
| III.1.8.1 But du drainage : | 94 |
| III.1.8.2. Constitution et fonctionnement des filtres et drains..... | 94 |

Chapitre IV : Etude D'infiltration

| | |
|--|-----|
| Introduction | 100 |
| IV.1. Défaut d'étanchéité et conséquences des infiltrations | 100 |
| A- les fuites diffuses :..... | 100 |
| B- La surélévation de la ligne de saturation : | 100 |
| IV.2. Hypothèses simplificatrices dans les calculs de filtration hydraulique des barrages en terre . | 100 |
| IV.3. La ligne de saturation..... | 100 |
| IV.4. Calcul d'infiltration..... | 102 |
| IV.4.1. Calcul du débit de fuite par infiltration à travers la digue | 102 |
| IV.4.2. Fondation | 102 |
| IV.4.3 Barrage (digue+fondation) : | 102 |
| IV.5. Vérification de la résistance d'infiltration du sol du barrage..... | 103 |
| 1. dispositif d'étanchéité : | 103 |
| 2. fondation du barrage : | 103 |

Chapitre V : Etude De Stabilité

| | |
|--|-----|
| Introduction | 105 |
| V.1. Conséquences de l'instabilité des talus | 105 |
| V.2. Méthode de calcul | 105 |

| | |
|---|-----|
| V.2.1. Principe de la méthode | 106 |
| V.2.2. Calcul des forces appliquées à chaque tranche : | 107 |
| V.2.2.1 Classement des forces : | 108 |
| V.3. Calcul du coefficient de sécurité pour les différents types de fonctionnement..... | 109 |
| A - Fin de construction (talus amont et aval) : | 109 |
| B - Fonctionnement normale (talus aval) :..... | 109 |
| C - Vidange rapide (talus amont) : | 109 |

Chapitre VI : Organisation De Chantier

| | |
|--|-----|
| Introduction | 111 |
| VI.1.Organisation technique de préparation | 111 |
| VI.2. Travaux préparatoires et installation de l'entreprise..... | 111 |
| VI.2.1. Installations destinées au personnel | 111 |
| VI.2.2. Installations destinées au stockage des matériaux | 111 |
| VI.2.3. Installations destinées à la réparation des engins..... | 112 |
| VI.2.4. Installation destinée pour la préfabrication..... | 112 |
| VI.3. Tavaux de réalisation | 112 |
| VI.3.1. Travaux de terrassements..... | 112 |
| VI.3.2. Travaux d'excavations | 112 |
| VI.3.4. Travaux secondaires..... | 112 |
| VI.4. Les moyens de chantier..... | 112 |
| VI.5. Techniques de la planification | 113 |
| VI.5.1. méthodes basées sur le réseau | 114 |
| VI.5.1.1. Définition du réseau | 114 |
| VI.5.1.2. Construction du réseau..... | 114 |
| VI.5.1.3. Méthode C.P.M (méthode du chemin critique)..... | 115 |
| VI.5.3. les étapes de la planification | 115 |
| VI.5.3.1.collection des informations | 115 |
| VI.5.3.2. décomposition du projet..... | 115 |
| VI.5.3.3. relations entre les tâches | 115 |
| VI.5.4. les paramètres de la méthode C.P.M..... | 115 |
| VI.5.4.1.Chemin critique (C.C)..... | 116 |
| VI.5.4.2. Attribution des durées de chaque opération..... | 116 |
| VI.5.5. les plannings..... | 116 |
| VI.5.5.1. plan de travail au plus tôt | 116 |
| VI.5.5.2. plan de travail au plus tard : (PTPP) | 116 |
| VI.5.5.3. plan de travail intermédiaire | 116 |
| VI.6.délai de construction et programme des travaux..... | 116 |
| VI.6.1.Symboles des différentes opérations..... | 117 |
| VI.7. Détermination des chemins critiques : | 119 |

Chapitre VII : Avant Mètre Et Devis Estimatif

| | |
|---|-----|
| VII.1. Principe de base de l'avant-mètre et devis estimatif : | 121 |
| VII.2. Estimation du corps de la digue :..... | 121 |

Chapitre VIII: Protection Et sécurité Du Travail

| | |
|---|-----|
| Introduction | 124 |
| VIII.1. Causes des accidents de travail | 124 |
| VIII.1.1. Causes humaines | 124 |
| VIII.1.2. Causes techniques..... | 124 |
| VIII.2. Les actions et conditions dangereuses..... | 124 |
| VIII.2.1. Mesures préventives | 125 |
| VIII.3. Organisation <i>de la prévention des accidents du travail</i> | 125 |
| VIII.4. Calcul du débit d'air nécessaire à la ventilation du tunnel | 127 |
| VIII.4.1. Calcul du diamètre de la canalisation d'air nécessaire à la ventilation | 127 |
| 1. La méthode dynamique | 128 |
| 2. Méthode d'équi-friction | 128 |
| Conclusion | 129 |
| Conclusion générale | |

Liste des tableaux

| | |
|--|----|
| Tableau I.1: Situations et profondeurs des sondages..... | 6 |
| Tableau I.2: Résumé des caractéristiques granulométriques pour les trois zones investiguées | 10 |
| Tableau I.3 : Résumé des valeurs des limites d'Atterberg pour les trois zones investiguées | 10 |
| Tableau I.4 : Caractéristiques du bassin versant au site du barrage d'Oued Taht..... | 13 |
| Tableau I.5 : répartition mensuelle de la température | 14 |
| Tableau I.6 : Répartition mensuelle du vent..... | 14 |
| Tableau I.7 : répartition mensuelle de l'évaporation..... | 14 |
| Tableau I.8 : moyennes mensuelles des Humidités relatives à Mascara..... | 15 |
| Tableau I.9 : moyennes mensuelles des insolations totales à Mascara (en heures) | 15 |
| Tableau I.10 : Données disponibles des stations situées dans la zone d'étude..... | 15 |
| Tableau I.11 : Répartition mensuelle des apports..... | 15 |
| Tableau I.12: Crues de projet | 16 |
| Tableau I.13 : Les principales caractéristiques techniques de la digue | 16 |
| Tableau I.1 : Coordonnées de la courbe hypsométrique | 20 |
| Tableau I.2 : Détermination de l'altitude moyenne | 22 |
| Tableau I.3 : détermination de la pente Roche Ip..... | 23 |
| Tableau I.4 : Classification O.R.S.T.O.M (type de relief) | 24 |
| Tableau I.5 : récapitulative de mesures des longueurs des courbes de niveaux : | 25 |
| Tableau I.6 : la longueur de cours d'eau principale en chaque altitude..... | 28 |
| Tableau I.7 : Caractéristiques hydro morpho métriques du bassin versant | 29 |
| Tableau I.8 : répartition mensuelle de la température | 30 |
| Tableau I.9 : Répartition mensuelle du vent..... | 31 |
| Tableau I.10 : répartition mensuelle de l'évaporation..... | 31 |
| Tableau I.11 : Données disponibles des stations situées dans la zone d'étude..... | 32 |
| Tableau I.12 : Station pluviométrique. | 33 |
| Tableau I.13 : Répartition mensuelle de la pluie annuelle..... | 33 |
| Tableau I.14: Caractéristiques de la série pluviométrique (42ans). | 34 |
| Tableau I.15: résultat de l'ajustement a la loi de Gumbel | 36 |
| Tableau I.16 : résultat de l'ajustement a la loi de Galton | 37 |
| Tableau I.17: La pluie d courtes durées de différentes fréquences et leurs intensités..... | 39 |
| Tableau I.18 : Répartition mensuelle de l'apport moyen de la station..... | 41 |
| Tableau I.21 : résultat de l'ajustement a la loi log-normale | 42 |
| Tableau I.22 : Répartition mensuelle de l'apport moyen annuel de fréquence 80%..... | 43 |
| Tableau I.23 : Répartition de volume moyen annuel..... | 45 |
| Tableau I.24: Débits fréquentiels calculés : | 46 |
| Tableau I.25 : Coefficient de forme de l'Hydrogramme de crue δ : | 47 |
| Tableau I.26 : les valeurs de débits de crues en fonction de temps : | 47 |
| Tableau I.27 : La répartition mensuelle de l'apport 80% est donnée dans le tableau suivant..... | 53 |
| Tableau I.29 : Courbes topographiques et volumétriques : | 54 |
| Tableau I.30 Régularisation saisonnière sans tenir compte des pertes en (Mm^3). | 57 |
| Tableau I.31 : Les volumes des pertes dans la retenue : | 58 |
| Tableau I.32: Régularisation saisonnière on tenant compte des pertes en (Hm^3). | 59 |
| Tableau I.33 : Les volumes des pertes dans la retenue : | 60 |

| | |
|--|-----|
| Tableau I.34 : Régularisation saisonnière en tenant compte des pertes en (Mm ³) | 60 |
| Tableau I.35 : Régularisation interannuelle par la méthode Kristly-Menkel | 62 |
| Tableau I.36 : Données de départ pour la méthode de KOTCHERINE : | 64 |
| Tableau I.37 : Détermination de H ₀ et Q en fonction de b | 65 |
| Tableau I.38 : Débits déversants en fonction de h et b et le volume de crue | 66 |
| Tableau I.39 : La revanche. | 70 |
| Tableau I.40: Variation de la côte de la crête en fonction de la charge déversant. | 71 |
| Tableau I.43 : Calcul d'optimisation | 72 |
| Tableau I.44 : Tableau récapitulatif..... | 73 |
| Tableau II.1 : La revanche..... | 79 |
| Tableau II.2 : récapitulatif des résultats de calcule de largeur de crête..... | 80 |
| Tableau II.3 : Valeurs indicatives des pentes des talus. | 80 |
| Tableau II.4 : Les valeurs de C en fonction de la pente du talus et du poids. | 81 |
| Tableau II.5 : Valeur de I _{adm} en fonction du type d'ouvrage..... | 82 |
| Tableau II.6 : Epaisseur de la protection en fonction de la hauteur des vagues..... | 85 |
| Tableau II.8 : les coûts des variantes étudient..... | 88 |
| Tableau V.1 : Classe de barrage en terre en fonction du type de la fondation | 91 |
| Tableau V.2 : Valeurs indicatives des pentes des talus. | 92 |
| Tableau V.3: Les valeurs de C en fonction de la pente du talus et du poids. | 93 |
| Tableau V.4 : Epaisseur de la protection en fonction de la hauteur des vagues..... | 93 |
| Tableau IV.01 : Coordonnées de la ligne de saturation..... | 101 |
| Tableau IV.02 : Débit de fuite à travers la digue..... | 102 |
| Tableau IV.03 : Débit de fuite de la fondation..... | 102 |
| Tableau IV.05 : Débit de fuite de barrage | 102 |
| Tableau IV.06 : Classification des barrages | 103 |
| Tableau IV.07 : Gradient hydraulique admissible | 103 |
| Tableau IV.08 : Détermination du gradient d'infiltration admissible | 104 |
| Tableau IV.09 : Détermination du coefficient de sécurité..... | 104 |
| Tableau V.01 : détermination des rayons max et min | 106 |
| Tableau V.02 : les valeurs admissibles des coefficients de sécurité..... | 106 |
| Tableau V.03 : Les caractéristiques géotechniques des sols | 110 |
| Tableau V.04 : coefficient de sécurité pour différents cas de fonctionnement..... | 110 |
| Tableau VI.1.: symboles des opérations | 117 |
| Tableau VI.2 : Détermination des chemins critiques | 119 |
| Tableau VI.3 : programme des travaux pour la réalisation du barrage de oued Taht | 120 |
| TableauVII.01 : mètres et devis estimatif..... | 122 |
| Tableau VII.02 : récapitulatif des coûts et coût total de la digue | 123 |
| Tableau VIII.1 : vitesse de l'air dans les différentes canalisations | 128 |

Liste des figures

| | |
|--|-----|
| Figure I.1: Encadrement géographique de la zone du barrage | 2 |
| Figure I.2 : Encadrement géographique de l'oued Taht | 2 |
| Figure I.3 : Carte géologique général de la zone du projet (extrait de la carte géologique de l'Algérie à l'échelle 1/500.000 agrandie) | 5 |
| Figure I.4 : Carte de localisation des puits de reconnaissance réalisés..... | 9 |
| Figure I.5 : Carte géodynamique du Nord de l'Algérie avec la localisation des majeurs alignements tectoniques et la localisation des épicentres des séismes, compris entre 0-50 km de profondeur du foyer, avec leur magnitude | 12 |
| Figure I.1: Rectangle équivalent..... | 19 |
| Figure I.03 : répartition des courbes de niveaux du bassin versant de Oued TAHT | 21 |
| Figure I.4 : Le réseau hydrographique du bassin versant | 27 |
| Figure I.5 : Profil en long du cours d'eau principal..... | 28 |
| Figure I.6 : La répartition mensuelle des températures | 30 |
| Figure I.7 : Répartition des vitesses de vent en fonction des mois | 31 |
| Figure I.8 : répartition mensuelle de l'évaporation..... | 32 |
| Figure I.9 : Répartition mensuelle des précipitations | 33 |
| Figure I.10 : représentation graphique de la loi de Gumbel | 36 |
| Figure I.11 : représentation graphique de la loi de log-normal (Galton) | 38 |
| Figure I.12 : Pluies de Courte durée | 40 |
| Figure I.13 : Intensité –Durée -Fréquence | 40 |
| Figure I.14 : Répartition mensuelle de l'apport moyen | 41 |
| Figure I.15 : représentation graphique de la loi log-normale | 43 |
| Figure I.16 : Répartition mensuelle des apports 80%..... | 44 |
| Figure I.17 : L'Hydrogramme des crues probables en fonction de temps (par SOKOLOVSKY).... | 49 |
| Figure I.18 : L'Hydrogramme de la crue de projet a une période de retour 1000 ans..... | 51 |
| Figure I.19 : L'Hydrogramme de la crue de chantier | 52 |
| Figure I.20 : Courbes Surface - Hauteur | 55 |
| Figure I.21 : Courbes Capacité -Hauteur | 55 |
| Figure I.22 : Courbes de $H=f(Q,q)$ | 69 |
| Figure I.23 : courbes $V=f(Q,q)$ | 70 |
| Figure I.24: la courbe d'optimisation des coûts en fonction de la largeur b de déversoir | 72 |
| Figure V.01 : forces exercées par une tranche de sol instable sur | 107 |
| Figure VI.1 : Réseau à nœuds | 118 |

Introduction générale

L'eau est une ressource rare et précieuse, indispensable pour tout développement économique à savoir agricole ou industriel. Elle est la source de la vie, sa demande est en croissance permanente.

Le développement de notre pays suppose la maîtrise des ressources en eau. Depuis la dernière décennie, l'édification des barrages a été une solution très largement utilisée pour résoudre les délicats problèmes de mobilisation des ressources en eau. Intervient aussi la mise en œuvre progressive de l'interconnexion entre les Barrages, permettant de ce fait une gestion dynamique et évolutive des disponibilités en eau sur toute le territoire national c'est-à-dire là où se concentrent les populations et l'activité économique agricole ou industriel.

Dans cette optique, la wilaya de MASCARA a bénéficié d'un nombre projets de réalisation d'aménagements hydrauliques, parmi lesquels le barrage de OUED TAHT

Notre projet d'étude a pour but l'étude d'Avant Projet Détaillé (APD) du barrage de Oued Taht qui est destiné à l'alimentation en eau potable.

Pour mener à bien notre travail on l'a divisé en deux parties :

Après avoir présenté une synthèse de l'étude de faisabilité, nous passons à une analyse détaillée des données pluviométriques et géomorphologiques en vue de déterminer tous les paramètres hydrologiques nécessaires pour la conception de notre barrage, le second, présentera les variantes possibles qui sont déterminées à partir d'une analyse géologique du site, la disponibilité des matériaux et le facteur économique, puis enfin une étude de conception détaillée de la digue viendra pour déterminer l'avant mètre et le devis estimatif de la digue.



1^{ère} Partie :

Synthèse de l'Etude de Faisabilité

I. Introduction

Après une visite sur le terrain et une analyse bien détaillée de la documentation nous présentons ci-après, conformément au marché signé entre l'Entreprise des Etudes Hydrauliques (E.N.H.D) et la Direction de l'Hydraulique de la Wilaya (D.H.W) de Mascara, une évaluation préliminaire des caractéristiques du site et de la cuvette.

I.1. Destination de l'ouvrage

L'ouvrage aura pour objet la mobilisation d'une nouvelle ressource qui sera destinée en grande partie pour l'alimentation en eau potable.

I.2. Situation géographique et topographique

Le site du barrage se situé sur l'Oued Taht. Un des affluents de l'Oued Mina, juste à proximité de la commune de Aïn Ferrah. Cette dernière est le plus à l'Est des communes de la Wilaya de Mascara. Elle se situé à 18 Km de l'Oued El Abtal, à 54 Km de son lieu de Diara Tighanif et à 72 Km de son C.H.W Mascara.

Les communes limitrophes de Ain Farrah sont :

- ✓ Au Nord, la commune de Ouled Salaem (Wilaya de Mostaganem).
- ✓ Au Sud, la commune de Ain El Hadid (Wilaya de Tiaret).
- ✓ Au l'Est, la commune de Ain Djilali Ben Amar (Wilaya de Tiaret).
- ✓ Au Sud, la commune de Oued El Abtal (Wilaya de Mascara).

Les coordonnées du site (système Lambert) sont :

- ✓ **X = 325.8 km**
- ✓ **Y = 233.1 km**
- ✓ **Z = 360.0 m, NGA**

Dans les suivantes figures (I.1) et (I.2) on reporte un bref encadrement géographique de la zone d'étude.



Figure I.1: Encadrement géographique de la zone du barrage

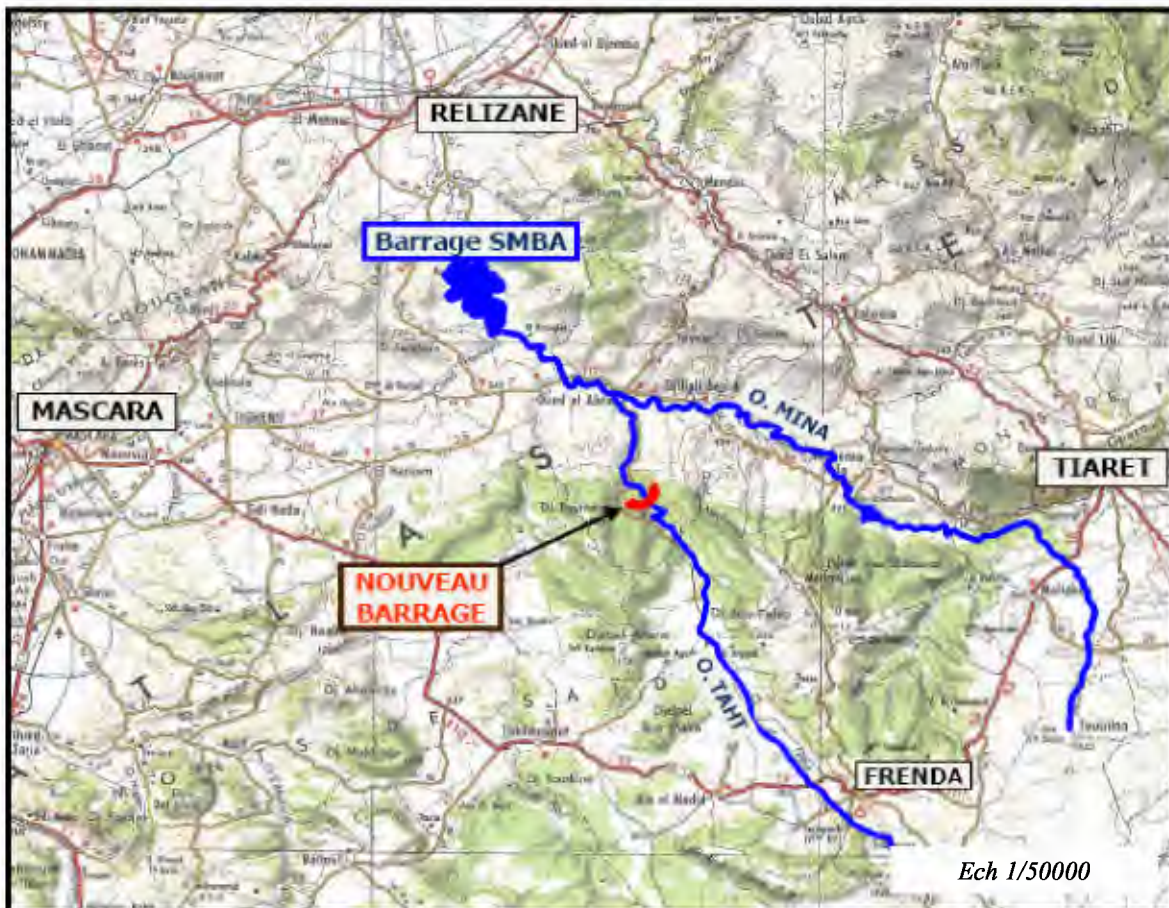


Figure I.2 : Encadrement géographique de l'oued Taht

I.3. La géologie de la zone d'étude

Sur la base des levés géologiques et structuraux conduits sur le site, la séquence stratigraphique observable sur les terrains, chronologiquement, du haut vers le bas, elle est décrite ci-après.

I.3.1 Quaternaire

I.3.1.1 Dépôts récents (A) :

Ils sont localisés essentiellement le long du fond d'oued Taht et ils sont caractérisés par des graviers et galets dans une matrice sableuse-limoneuse. Les blocs caillouteux, de nature hétérogène, principalement calcaire-dolomitique, sont généralement arrondis, de dimensions comprises entre 20-30cm et 50-60cm, tandis que les blocs supérieurs au mètre sont rares.

I.3.1.2 Dépôts colluviaux (Cp) :

Ils forment une couverture de débris, plutôt centimétriques, liés à la désagrégation et à l'altération surtout des poudingues et des grés ; il s'agit de blocs de poudingues (calcaires et dolomies) sur une matrice sableuse-marneuse et, à lieux, argileuse-marneuse. Ils sont localisés, principalement, dans zone sommitale des gorges d'oued Taht, au contact avec les poudingues proprement dits et avec les marnes verdâtres du Miocène.

I.3.1.3 Dépôts de versants et éboulis (Eb) :

Ils sont localisés le long des versants qui caractérisent la zone de retenue du barrage (cuvette) ; sont des dépôts chaotiques constitués par des éléments gréseux et caillouteux sur une matrice sableuse marneuse

1. 3.2 Miocène

I.3.2.1 Poudingues (P) :

Ils sont localisés, à partir de l'embouchure, le long des gorges sur l'oued Taht ; il s'agit d'un véritable amas rocheux grâce au fort degré de cimentation des cailloux sur une matrice fine siliceuse et carbonatée. Cette formation est caractérisée par une alternance de poudingues et des bancs de grés fins, de dimensions décimétriques à métriques, déposés de façons hétérogènes, à lieux fracturés et altérés avec des surfaces (patines) d'oxydations soit à l'intérieur de fractures soit sur la surface exposée aux agents météoriques. La composition des galets qui constituent les poudingues est de nature calcaire et calcaire-dolomitique.

I.3.2.2 Marnes verdâtres (Mv) :

Ils sont localisés dans la partie sommitale des gorges d'oued Taht, recouvertes, parfois, par les dépôts colluviaux dérivés de l'altération des poudingues et des grés ; à l'aval du barrage, en rive gauche, ils affleurent largement et il semble qu'ils soient en contact tectonique avec les poudingues et les grés. Ils sont constitués par des marnes argileuses de couleur verdâtre, fracturées et souvent feuillettées, intercalées par des minces couches des grés fins.

I.3.3 Crétacé

I.3.3.1 Crétacé supérieur :

Le Sénonien (peu représenté) est constitué par des calcaires poreux et il est transgressif sur les dolomies du Jurassique moyen dans la partie sud du plateau dolomitique plus à l'Ouest.

I.3.3.1 Crétacé inférieur :

Il apparaît sur le Kimméridgien et le Portlandien localement indifférencié à l'extrême limite nord-ouest de la région (faciès calcaires avec argiles à gypse et faciès gréseux).

I.3.4 Jurassique

I.3.4.1 Marnes calcaires grises bleuâtres (Mb) :

Elles sont localisées dans la zone de retenue du barrage ; en fait, la limite Nord de cette lithologie correspond avec l'embouchure des gorges. Cette formation est caractérisée par des marnes faiblement calcaires, de couleur gris-bleuâtre, avec, à certains endroits, intercalation des bancs gréseux fins ; la stratification de la formation, caractérisée par des épaisseurs centimétriques, se présente, en surface, altérée et feuilletée, en écailles meubles, de l'ordre de quelque centimètre; seulement dans de rares affleurements on peut noter leur aspect lithoïde plus massif.

I.3.5 Trias infra Lias

Les formations ne sont pas visibles dans les limites du bassin. Le niveau basaltique a été atteint par des forages exécutés dans la région à des profondeurs variables entre 140 mètres et 410 mètres.

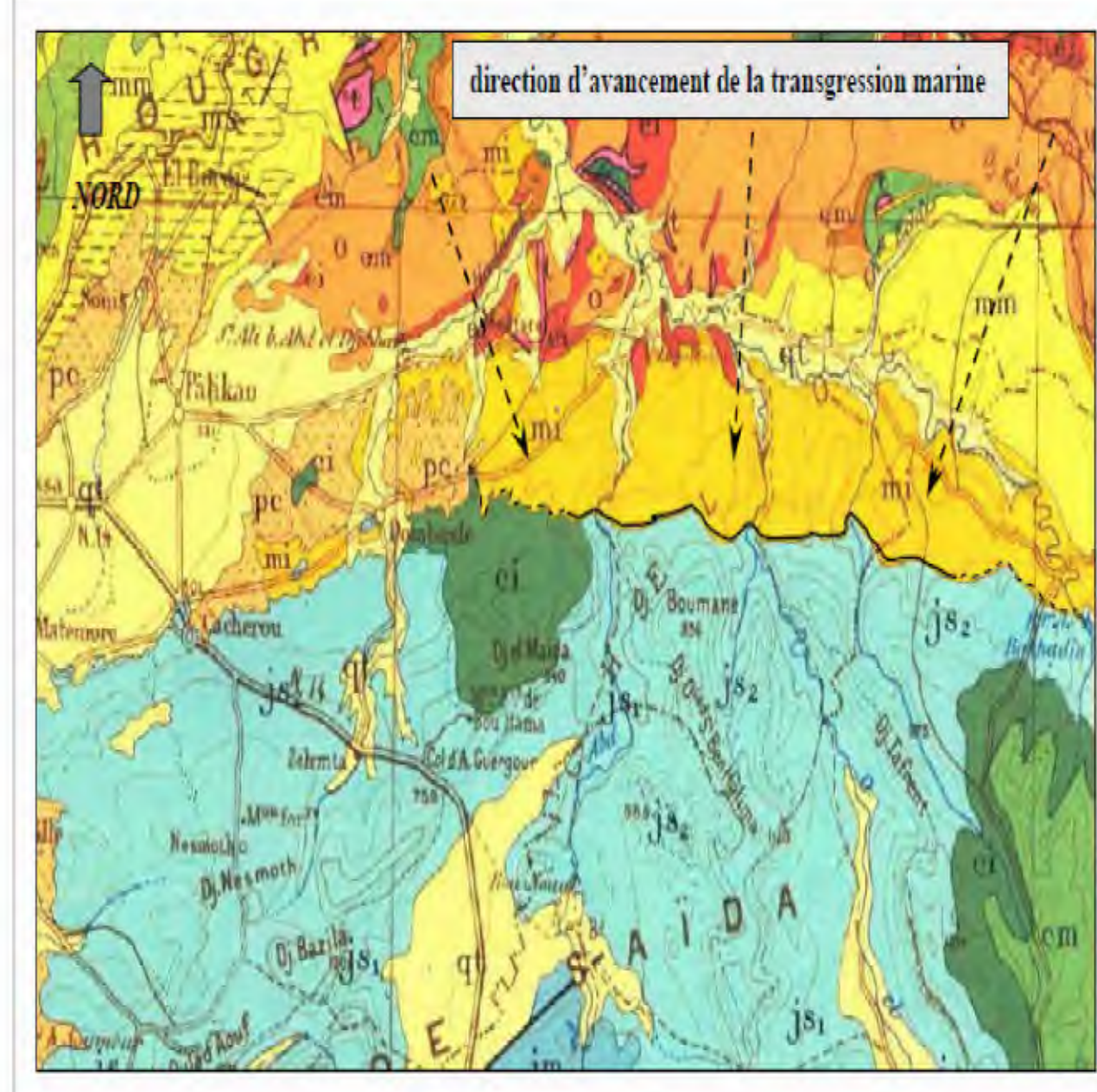


Figure I.3 : Carte géologique général de la zone du projet (extrait de la carte géologique de l'Algérie à l'échelle 1/500.000 agrandie)

LEGENDE

m Miocene c Crétacé i Jurassique

La ligne noire représente part de la limite de la transgression Cartenniene du Miocène.

I.4. Travaux de reconnaissance effectués

Les travaux de reconnaissance mis en oeuvre ont permis de définir les conditions géologiques et géotechniques en profondeur et d'établir les coupes géologiques qui permettent de reconstituer la structure géologique du massif.

Les objectifs principaux de ces reconnaissances étaient :

- ✓ Définir la nature et la qualité du rocher et son évolution avec la profondeur
- ✓ Définir la perméabilité du rocher
- ✓ Fixer le niveau de la nappe
- ✓ Définir les caractéristiques physiques et mécaniques du rocher

A - Sondages et les essais in situ

Les caractéristiques des sondages qui ont été exécutés sont résumées dans le tableau suivant, où on indique aussi les essais in situ et leur localisation par rapport à l'ouvrage.

Avec : P = Piézomètre (filtres) ; I = Inclinomètre ; (n.i.) = profondeurs des filtres non indiqué dans les logs stratigraphiques

Tableau I.1: Situations et profondeurs des sondages

| Code sondage | Prof. (m) | Typologie | Localisation | SPT (n) | Essais Lefranc (n) | Essais Lugeon (n) | Instrumentation en tubage ⁽¹⁾ |
|--------------|-----------|------------|---------------------------------|---------|--------------------|-------------------|--|
| STG01 | 50.0 | carottage | axe du barrage | - | - | 16 | P (n.i.) |
| STG02 | 40.0 | carottage | axe du barrage rive gauche | - | - | 12 | - |
| STG03 | 70.0 | carottage | axe du barrage rive droite | - | - | 18 | P (0m/70m) |
| STG04 | 40.0 | carottage | cuvette rive gauche | 4 | 1 | 10 | P (0m/40m) |
| STG05 | 40.0 | carottage | cuvette rive droite | 4 | 2 | 10 | P (n.i.) |
| STG06 | 70.0 | carottage | à l'aval du barrage rive droite | - | - | 13 | P (n.i.) |
| STG07 | 30.0 | carottage | cuvette rive droite | - | 1 | 8 | - |
| STG08 | 60.0 | carottage | à l'aval du barrage rive gauche | - | - | 10 | P (n.i.) |
| STG09 | 45.5 | carottage | axe du barrage | - | - | 14 | P (6m/40.23m) |
| STG10 | 30.0 | carottage | cuvette rive droite | - | 2 | 7 | I |
| STG11 | 20.0 | carottage | station de traitement des eaux | - | - | 6 | P (0m/20m) |
| STG12 | 40.0 | destructif | axe du barrage | - | - | - | - |
| STG13 | 30.0 | destructif | axe du barrage | - | - | - | - |

B- Essais au laboratoire

Sur chaque échantillon prélevé, les essais suivants devront être réalisés.

- ✓ Densité apparente.
- ✓ Essai de compression.
- ✓ Essai de traction brésilien.
- ✓ analyse minéralogique.
- ✓ analyse granulométrique.

C - Piézomètres

Afin d'évaluer la variation de la profondeur de la nappe, une fois réalisés les sondages, 9 forages ont été équipés avec des piézomètres avec tube à crête. Il s'agit en particulier des sondages STG01, STG03, STG04, STG05, STG06, STG08, STG09 et STG11, localisés soit sur l'axe du barrage soit dans la zone de la cuvette.

I.5. Géologie de la cuvette et du site de barrage

I.5.1. Géologie de la cuvette

La zone de retenue du barrage (cuvette) est caractérisée par un substratum rocheux composé de marnes grises, verdâtres (Jurassique) et de terrains de couverture quaternaires-récents, tels que graviers, galets et cailloux dans une matrice sableuse limoneuse.

En ce qui concerne l'étanchéité de la cuvette, suite aux essais de perméabilité (Lugeon et Lefranc) exécutés le long de sondages et aux observations lors des levés géologiques, on peut conclure que :

- Les marnes grises qui composent le substratum rocheux, en présentant des perméabilités comprises entre 4UL et 18UL, garantissent un bon degré d'étanchéité de la cuvette $K(10^{-6} \cdot 10^{-7})$ (m/s), tandis que pour les terrains de couverture, la perméabilité (K) est de l'ordre de 10^{-5} m/s ;

- A part les alignements tectoniques rapportables aux grands traits régionaux, on n'a pas pu observer des systèmes de fractures significatives, capables d'engendrer des importants phénomènes d'infiltrations, grâce aussi à la présence des terrains de couverture qui masquent les éventuels éléments structuraux des versants face au oued Taht ;

- On observe la présence d'incisions (axes de drainage), en rive gauche et droite, liés à des phénomènes d'érosion concentrée, à écoulement temporaire et saisonnier, responsables d'une partie, du transport solide qui intéressera la zone de la cuvette du barrage ; tels apports de matériaux solides pourront parvenir aussi des versants, à travers des formes d'érosion en nappe le long des versants, de façons généralisées, compte tenu du manque de végétation capable de freiner ces processus érosifs ;

- Concernant la stabilité des versants, on n'enregistre pas des phénomènes très évidents, sauf sur les versants caractérisés par les marnes grises affleurantes, sur lesquelles la couche d'altération feuilletée et meuble, formée par des écailles fines, pourra engendrer des formes de

glissements superficiels, sur pentes raides et avec de volume limités, surtout en occasion de précipitations météoriques importantes.

I.5.2. Géologie de l'axe du barrage

D'un point de vue géologique l'axe du barrage est localisé sur les poudingues et les grés qui caractérisent les gorges d'oued Taht ; cette formation est formée par des conglomérats à ciment carbonatée, siliceux et, à lieux, calcaire-marneux, avec intercalations de bancs de grés plus ou moins fin. Les parties sommitales des gorges sont caractérisées par des dépôts colluviaux dérivés de l'altération des poudingues et des grés, d'épaisseur variable, jusqu'à 10m au maximum.

A travers les levés géologiques, on a observé divers systèmes de fracturation du rocher, soit à l'embouchure de la vallée, responsables du contact marnes/poudingues, sub-parallèles à l'axe du barrage et d'autres sur les parois des gorges, à travers lesquelles pourrons se vérifier des phénomènes d'infiltration, indifféremment en rive gauche et droite. Toutefois, en analysant les résultats des sondages (échantillons et carottes), en termes de RQD de l'amas rocheux, on peut constater que les valeurs varient entre le 60% et le 100% avec une portion comprise entre 30m et 35m environ, avec des valeurs de RQD variable entre 40% et 20%, en correspondance de l'axe de l'oued Taht.

La nappe phréatique a été localisée, sur l'axe d'oued à une profondeur variable entre 5.70m et 7.22m, tandis que sur les versants (parois) ont été localisés à une profondeur variable entre 10.57m et 17.18m, en rive droite, et 6.10m en rive gauche, à l'aval du barrage.

Sur les versants, on n'a pas noté des phénomènes importants d'instabilité de l'amas rocheux, sauf, en correspondance des zones plus fracturées, caractérisées par la présence de blocs isolés, de dimensions décimétriques à métriques, instables qui devront être dégagé, pour de question de sécurité, pendant la phase de construction du corps du barrage ; en général, ces blocs sont délimités par deux systèmes de fractures principales, un coïncidente avec la surface de stratification des grés et l'autre par des fractures sub-verticales, parallèles à l'axe du barrage.

1.6. Etanchéité de la cuvette

L'étanchéité de la cuvette est assurée par les marnes de base à rares intercalations gréseuses, puis par les marnes grises du callovo-oxfordien est excellente, aucun risque de fuite latérale n'est à craindre seuls, au voisinage immédiat de l'ouvrage, les poudingues qui seront baignes par la retenue sur une faible surface pourraient à leur contact avec les marnes laisser filtrer un peu d'eau. Ce dernier inconvénient est sans importance, car les eaux filtrées n'ayant pas de débouche se trouvent rapidement occluse.

Pour les berges aucun glissement majeur n'a été observé dans la cuvette ou les pentes sont généralement douces, la forme de la retenue la faible hauteur des versants conduisent à considérer que les risques vis-à-vis du barrage sont quasi nuls.

Au droit du barrage l'étanchéité n'est limitée que par la perméabilité des poudingues à cet endroit.

I.7. Matériaux de constructions

Les n.24 puits de reconnaissances (P1/P24) exécutés à l'amont du barrage, le long de la vallée de l'oued Taht, pour l'évaluation des caractéristiques géotechniques des matériaux utilisables pour la construction du barrage ; ces puits ont une profondeur comprise entre 1.5m et 3.0m.

La figure (I.4), indique la surface de localisation des puits réalisés subdivisé en trois zones :

Zone A : située immédiatement à l'amont du site du barrage, en rive droite d'oued Taht sur le bas terrasse ; cette zone a été étudiée par 9 puits (P1/P9), caractérisée par des terrains limoneux argileux, parfois avec une composante sableuse graveleuse ;

Zone B : située à l'amont de la zone A, en rive gauche d'oued Taht sur le bas terrasse ; cette zone a été étudiée par 11 puits (P10/P20), caractérisée par des terrains limoneux argileux, recouvrant des formations sableuses graveleuses ;

Zone C : située dans les dépôts de versants (éboulis) à l'amont du site du barrage, en rive droite d'oued Taht ; cette zone a été étudiée par 3 puits (P21, P23 et P24) caractérisée par des terrains argileux graveleux.

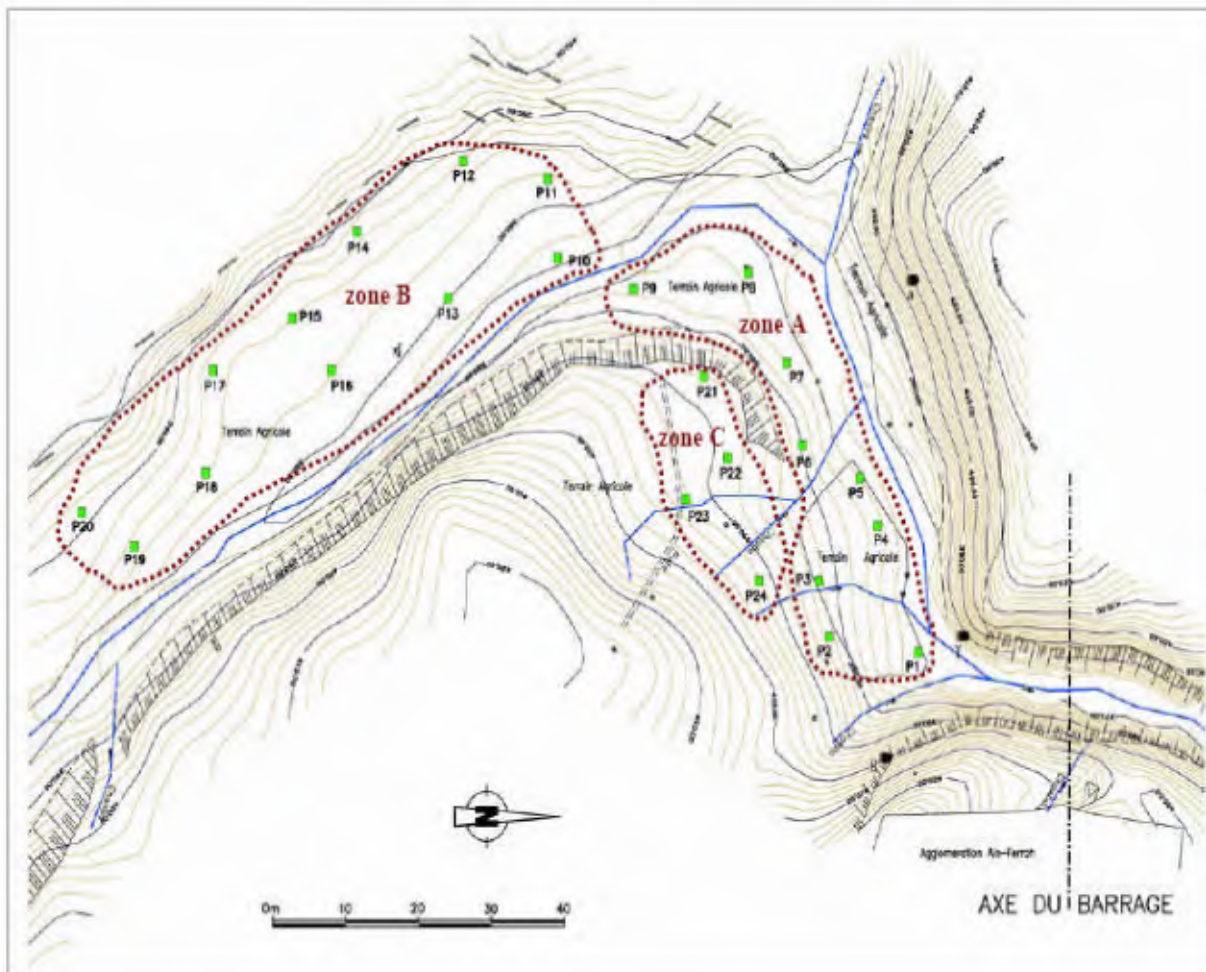


Figure I.4 : Carte de localisation des puits de reconnaissance réalisés

- Les échantillons prélevés sur les puits ont été soumis à une série d'essais physiques et mécaniques.

A - Granulométrie

Les matériaux analysés ont été caractérisés, selon la classification USCS (Unified Soil Classification System), comme présenté dans le tableau ci-après.

Tableau I.2: Résumé des caractéristiques granulométriques pour les trois zones investiguées

| | | Graviers / Cailloux | Sables | Limous / Argiles |
|--------|--------------|---------------------|--------------------|------------------|
| | Fraction (%) | > 4.75 mm | 0.075 mm – 4.75 mm | < 0.075 mm |
| zone A | Minimale | 0.07 | 21.71 | 40.81 |
| | Maximale | 34.15 | 44.61 | 76.41 |
| | Moyenne | 10.72 | 32.77 | 56.49 |
| | Ecart type | +/-12.93 | +/-8.14 | +/-14.00 |
| zone B | Minimale | 0.63 | 8.63 | 44.58 |
| | Maximale | 42.64 | 29.31 | 80.70 |
| | Moyenne | 12.32 | 16.28 | 71.39 |
| | Ecart type | +/-13.51 | +/-6.25 | +/-10.98 |
| zone C | Minimale | 2.71 | 16.16 | 81.11 |
| | Maximale | 7.16 | 22.51 | 70.33 |
| | Moyenne | * | * | * |
| | Ecart type | * | * | * |

B - Limites d'ATTERBERG

Sur les mêmes échantillons sur lesquels on a effectué les essais granulométriques, ont été évaluées les limites d'Atterberg pour estimer, par la suite, leur degré de plasticité.

Tableau I.3 : Résumé des valeurs des limites d'Atterberg pour les trois zones investiguées

| | Valeurs | LL% | LP% | IP% | Ie |
|--------|------------|---------|---------|---------|---------|
| zone A | Minimale | 20.00 | 11.30 | 6.20 | 1.00 |
| | Maximale | 30.98 | 16.44 | 15.4 | 1.84 |
| | Moyenne | 25,25 | 13,92 | 11,27 | 1,45 |
| | Ecart | +/-3,55 | +/-1,70 | +/-2,69 | +/-0,28 |
| zone B | Minimale | 24.5 | 10.90 | 10.90 | 0.90 |
| | Maximale | 38.00 | 19.10 | 27.20 | 1.83 |
| | Moyenne | 32,32 | 14,72 | 17,42 | 1,32 |
| | Ecart | +/-5,07 | +/-2,44 | +/-5,41 | +/-0,27 |
| zone C | Minimale | 32.00 | 16.10 | 15.90 | 1.16 |
| | Maximale | 32.00 | 16.40 | 15.60 | 1.73 |
| | Moyenne | * | * | * | * |
| | Ecart type | * | * | * | * |

I.8. Hydrogéologie régionale

Les formations alluvionnaires, visibles le long des oueds, ont une très faible épaisseur variable entre 1m et 5m, et constituent un aquifère de relative importance.

Les formations du Lusitanien et du Kimméridgien sont des nappes suspendues (position haute) et rapidement drainées, les impluviums sont réduits et les formations lusitanianes présentent des pentes qui favorisent le ruissellement superficiel. Les sources issues de ces formations ont un débit irrégulier assez faibles et tarissent pour la plupart en été.

Les formations du Callovien-Oxfordien et du Tertiaire dans les vallées sont très argileuses, ces formations sont normalement drainées par les oueds. Une étude effectuée a enregistré une importante salinité dans les puits et dans les eaux de l'oued Taht en période d'étiage lorsque ne sont drainées que ces formations argileuses.

Enfin, pour ce qui concerne les dolomies du Jurassique inférieur et moyen constituent des aquifères de bonne qualité, cependant au niveau du bassin de l'oued Taht montre une très faible circulation souterraine selon les débits enregistrés dans les forages ; ceci doit correspondre à une karstification insignifiante que, par conséquent rend les réserves statiques peu importantes.

I.9. Sismicité de la zone d'étude

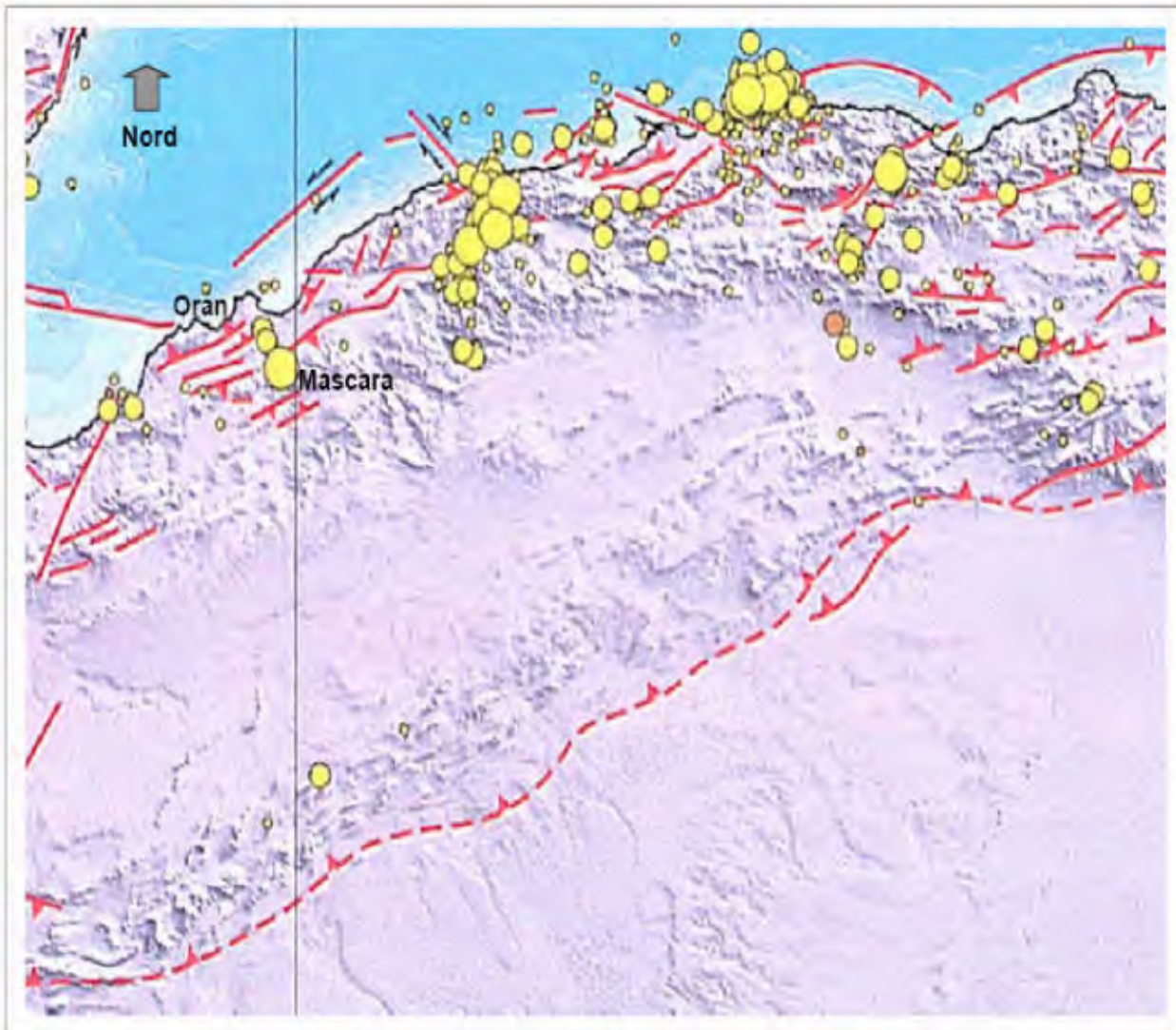
Le site du barrage est localisé dans une zone relativement tectonisée située à la limite de la bordure sud-tellienne. Cette dernière zone se caractérise par une activité importante, surtout dans sa bordure septentrionale où ont été localisés les séismes à intensité la plus élevée.

La distribution des séismes dans le Nord de l'Algérie montre que les épicentres sont placés dans les zones particulièrement instables correspondant aux alignements tectoniques orientés approximativement SW-NE, suivant la structure générale du nord de l'Algérie (sud tellien).

Les études sismotectoniques effectués dans la région, montrent une conformité évidente entre l'emplacement des épicentres séismiques et le tracé du réseau de la fracturation tectonique régionale ; ce fait souligne l'existence d'une activité tectonique récente ou de « néotectonique active ». D'après les données historiques, la région de Mascara a subi plusieurs événements dévastateurs ; en particulier les séismes: de Beni-Chougrane de M= 5.1; (13-7-1967) et celui de Hacine de M= 5.7; (18-8-1994).

En effet, les indications de la fracturation néotectonique confirment que les abords proches de reliefs sont souvent affectés par des dislocations et, ou érosion géomorphologique intense, où sont placés les noeuds tectoniques. Ces noeuds représentent des zones où les morphostructures sont corrélées avec les différentes intensités séismiques, générant ainsi d'importantes dislocations des reliefs.

Sur le terrain, les épicentres séismiques se placent généralement aux endroits de croisement entre les failles longitudinales régionales et les 'accidents transversaux régionaux (voire Fig. I.5)



○ M (3-4.4), ○ M (4.5-5.4), ○ M (> 5.5) ; chevauchements ; décrochement ; faille indifférenciée

(extrait de la Carte Géodynamique de la Méditerranée - Commission de la Carte Géologique du Monde, CCGM, 2002)

Figure I.5 : Carte géodynamique du Nord de l'Algérie avec la localisation des majeurs alignements tectoniques et la localisation des épicentres des séismes, compris entre 0-50 km de profondeur du foyer, avec leur magnitude

I.10. Hydrologie

Dans cette présente partie, on fait le résumé de l'étude hydrologique de site du barrage d'Oued Taht, élaboré lors de l'étude de faisabilité.

Les principales caractéristiques physiques du bassin versant sont les suivantes :

Tableau I.4 : Caractéristiques du bassin versant au site du barrage d'Oued Taht

| Caractéristiques du bassin versant | Valeurs |
|------------------------------------|------------------------|
| Surface | 776.27 km ² |
| Longueur talweg | 70.5 km |
| Périmètre | 149.22 km |
| Altitude min | 360 m.NGA |
| Altitude max | 1250 m.NGA |
| Altitude médiane | 910 m.NGA |
| Altitude moyenne | 846 m.NGA |
| Indice de compacité Gravelius | Kc = 1.51 |
| Pente globale | 0.905 % |
| Caractéristiques hydrauliques | |
| Apport moyen annuel | 13.21 Mm ³ |
| Crue de travaux (T=10 ans) | 163 m ³ /s |
| Crue de projet (T=1000 ans) | 404 m ³ /s |

I.10.1.Données climatologiques

L'objectif de l'étude climatologique est de fournir les données sur le climat qui sont nécessaires à la construction des ouvrages du projet

A - Température

Les caractéristiques climatiques de la région du bassin versant ne sont enregistrées qu'à la station de Mascara. Les répartitions mensuelles des températures enregistrées à cette station se présentent comme suit :

Tableau I.5 : répartition mensuelle de la température

| | Mois | Sep | Oct | Nov | Déc | Jan | Fév | Mar | Avr | Mai | Jun | Jul | Aou | Moy annuelle |
|----------------|-------------|------------|------------|------------|------------|------------|------------|------------|------------|------------|------------|------------|------------|---------------------|
| Mascara | Tmax °C | 24.8 | 18.8 | 15.2 | 11.2 | 10 | 12.2 | 15 | 16.3 | 18.9 | 27.1 | 30.6 | 30.4 | 19.2 |
| | Tmin °C | 19 | 15 | 8.6 | 7.4 | 6 | 7.2 | 8.2 | 10.1 | 14.3 | 16.3 | 19.2 | 19 | 12.5 |
| | Tmoy °C | 21.9 | 16.9 | 11.9 | 9.3 | 8 | 9.7 | 11.6 | 13.2 | 16.6 | 21.7 | 24.9 | 24.7 | 15.9 |

Source : O.N.M

B - Vitesse du vent

D'après le tableau la vitesse moyenne du vent est de 2,43m/s. Elle présente un maximum en Mai (3.1m/s).et un minimum en Novembre (1.7m/s).

Tableau I.6 : Répartition mensuelle du vent

| Mois | Sep | Oct | Nov | Déc | Jan | Fév | Mar | Avr | Mai | Jun | Jul | Aou | Moy annuelle |
|----------------|------------|------------|------------|------------|------------|------------|------------|------------|------------|------------|------------|------------|---------------------|
| V (m/s) | 2.0 | 2.0 | 1.7 | 2.5 | 2.1 | 2.5 | 2.5 | 2.9 | 3.1 | 2.8 | 2.6 | 2.5 | 2.43 |

Source : O.N.M

C - Evaporation

L'évaporation n'est mesurée qu'à la station de Mascara. L'évaporation mensuelle disponible à cette station est la suivante :

Tableau I.7 : répartition mensuelle de l'évaporation.

| Mois | Sep | Oct | Nov | Déc | Jan | Fév | Mar | Avr | Mai | Jun | Jul | Aou | Ans |
|---------------|------------|------------|------------|------------|------------|------------|------------|------------|------------|------------|------------|------------|------------|
| Ev(mm) | 5.7 | 3.9 | 2.7 | 2.0 | 2.1 | 2.1 | 3.1 | 3.9 | 5.1 | 6.8 | 7.6 | 7.0 | 52 |
| Ev(%) | 10.96 | 7.50 | 5.19 | 3.85 | 4.04 | 4.04 | 5.96 | 7.50 | 9.81 | 13.08 | 14.62 | 13.46 | 100 |

Source : O.N.M

D - Humidité de l'air

Tableau 1. 8 : moyennes mensuelles des Humidités relatives à Mascara

| Mois | Sep | Oct | Nov | Déc | Jan | Fév | Mar | Avr | Mai | Jun | Jul | Aou | Moy |
|------------------|------|------|------|------|------|------|------|------|------|------|------|------|------|
| Moyenne % | 78,6 | 80,6 | 74,5 | 72,8 | 67,8 | 61,4 | 54,4 | 57,2 | 63,3 | 70,2 | 75,7 | 80,2 | 79.3 |

E – L'insolation

Tableau 1. 9 : moyennes mensuelles des insolations totales à Mascara (en heures)

| Mois | Sep | Oct | Nov | Déc | Jan | Fév | Mar | Avr | Mai | Jun | Jul | Aou | Moy |
|---------------------------------|-----|-----|-----|-----|-----|------|------|------|-----|-----|-----|-----|-----|
| L'insolation heures/jour | 6,1 | 6,4 | 7,6 | 7,7 | 8,8 | 10,2 | 11,1 | 10,2 | 9,3 | 7,8 | 6,7 | 6,1 | 8 |

I.10.2 La pluviométrie

Nous disposons de données d'observation directes disponibles au niveau du bassin versant. Les stations disponibles au niveau du bassin et les plus proches du site sont présentées dans le tableau suivant :

Tableau I.10 : Données disponibles des stations situées dans la zone d'étude

| station | Code de la station | Altitude (m) | Années de fonctionnement |
|----------------------|--------------------|--------------|--------------------------|
| KEF-MAHBOULA | 01.30.01 | 475 | 32 |
| FRENDA | 01.30.02 | 990 | 28 |
| AIN-EL-HADDID | 01.30.04 | 829 | 42 |
| M'HAOUDIA | 01.30.05 | 670 | 19 |

Source : A.N.R.H

I.10.3 Etudes des apports

Tableau I.11 : Répartition mensuelle des apports

| Mois | Sép | Oct | Nov | Déc | Jan | Fév | Mars | Avr | Mai | Juin | Juil | Août | Total |
|-------------------|------|------|------|------|------|------|------|------|------|------|------|------|-------|
| A (Mm3) | 0.54 | 0.89 | 0.85 | 1.45 | 2.21 | 1.52 | 1.49 | 1.69 | 1.32 | 0.60 | 0.37 | 0.30 | 13.21 |
| Apport (%) | 4.1 | 6.7 | 6.4 | 10.9 | 16.7 | 11.5 | 11.3 | 12.8 | 10.0 | 4.5 | 2.8 | 2.3 | 100 |

I.10.4 Crues du projet

Tableau.I.12: Crues de projet

| Temps de retour [ans] | 5 | 10 | 20 | 50 | 100 | 1000 | 10000 |
|------------------------------------|-----|-----|-----|-----|-----|------|-------|
| Pointe de crue [m ³ /s] | 124 | 163 | 200 | 248 | 285 | 404 | 523 |

I.10.5 Apports solides

On dispose des données de transport solide mesurées à la station de Kef-Mahboula sur l'oued Taht à peu de distance en amont du barrage de projet. Il s'agit naturellement du transport effectué par suspension des matériaux (sables fin, limon, argile) qui donne la turbidité au courant.

On a :

Taux d'abrasion : 75 m³/Km²/an

I.11. Conceptions de barrage et ouvrages annexes :

Tableau.I.13 : Les principales caractéristiques techniques de la digue

| | |
|----------------------------------|---------------------------------------|
| Type | Enrochements avec un noyau en argile |
| Volume régularisé | 8,5 Hm ³ |
| Côte de la crête | 399,50 m N.G.A. |
| Côte des plus hautes eaux (PHE) | 397,20 m N.G.A. |
| Côte de la retenue normale | 392,00 m N.G.A. |
| Côte moyenne de l'axe du barrage | 360,00 m N.G.A. |
| Hauteur de la digue | 39,50 m |
| Côte du volume mort | 384,00 m N.G.A. |
| Largeur de la crête | 6,00 m |
| Longueur de la crête | 127,00 m |
| Volumes remblais utilisés | Enrochements 181 000 : m ³ |
| | Argile 36 000 : m ³ |
| | Filtre fin : 22 000 m ³ |
| | Filtre gros : 18 500 m ³ |
| | Rip-Rap : 7 500 m ³ |
| Évacuateur de crue | Type déversoir: frontal |
| | Largeur du déversoir : 8 m |
| | Longueur du coursier : 119,86 m |



2^{ème} Partie :

Etude D'avant Projet Détailé de La Digue

Chapitre I :

Etude Hydrologique

Introduction

L'hydrologie est une science qui étudie la phase du cycle d'eau qui débute avec l'arrivée de celle-ci sur la surface de la terre. Elle englobe les précipitations, le ruissellement et les eaux souterraines. C'est une science particulière car elle regroupe plusieurs sciences fondamentales très diversifiées et à pour but de répondre aux problèmes concernant la ressource en eau. L'hydrologie offre à l'ingénieur des outils d'inventaire et d'analyse des données pour répondre à des besoins soit sur le plan de la conception des éléments d'un aménagement que sur celui de l'exploitation des systèmes.

Les études hydrologiques donc sont très indispensables. Elles ont pour objectif d'étudier les conditions de la réserve d'une part et d'autre part d'estimer la crue contre laquelle il est nécessaire de protéger le barrage. Les études peuvent être basées sur la statistique si l'on dispose déjà d'un certain nombre d'années de mesures sur le site ou dans la région.

I.1.Le bassin versant

Le bassin versant au droit d'une section de mesure est défini comme la totalité de la surface topographique drainée par ce cours d'eau et ses affluents en amont de cette section. Tous les écoulements qui prennent naissance à l'intérieur de cette surface topographique passe par la section de mesure pour suivre leur trajet à l'aval. Chaque bassin versant est séparé des autres par une ligne de partage des eaux. Cette limite est déterminée sur la carte topographique. En commençant par l'exutoire, on trace à main levée des segments perpendiculaires aux courbes de niveau en passant par les crêtes, aboutissant automatiquement à l'exutoire.

Les travaux cités sont effectués sur des cartes d'état major :

- ✓ Oued El Abtal (Est, Ouest) à l'échelle 1/50.000.
- ✓ Takhemaret Est à l'échelle 1/50.000.
- ✓ Ain Dez Est à l'échelle 1/50.000.
- ✓ Frenda Ouest à l'échelle 1/50.000.
- ✓ Medrissa Ouest à l'échelle 1/50.000.

I.1.1. Caractéristiques physiques du bassin versant

A - caractéristiques géométriques :

Nous avons trouvées

1 - Surface du bassin versant:

La superficie est obtenue après avoir déterminé les limites du bassin versant :

$$S = 766.8 \text{ Km}^2$$

2 - Périmètre du bassin versant:

$$P = 152.0 \text{ Km}$$

3 - Longueur du talweg principal:

C'est le talweg le plus long dans le bassin versant tel que :

$$L_p = 68.5 \text{ Km}$$

I.1.2. Caractéristiques hydromorphologiques

1 - Indice de compacité de Gravelius "Kc":

Cet indice caractérise la forme du bassin versant (allongé ou ramassé).

$$K_C = \frac{P}{P_C} = \frac{P}{2\pi R} ; \quad R = \sqrt{\frac{S}{\pi}} \quad P_C = 2\pi R = 2\pi \sqrt{\frac{S}{\pi}} \quad \dots \quad (I.1)$$

$$K_C = \frac{P}{2\pi \sqrt{\frac{S}{\pi}}} = \frac{P}{2\sqrt{\pi S}} = 0,28 \frac{P}{\sqrt{S}} \quad \dots \quad (I.2)$$

P : périmètre du bassin versant (Km)

S : surface du bassin versant (Km²)

K_C : indice de Gravelius

$$K_C = 1,53$$

Plus ce coefficient s'approche de 1, plus la forme du bassin versant sera ramassée et plus le temps de concentration des eaux sera court. Elle sera allongée dans le cas contraire.

- ✓ si K_C = 1 => bassin parfaitement circularisé
- ✓ si K_C = 1.128 => bassin ramassé
- ✓ si K_C > 1.128 => bassin allongé

Selon la valeur de K_C = 1.53, on pourra dire que notre bassin est de forme allongé.

2-Coefficient d'allongement :

Il est donné par la formule suivante :

$$C_a = \frac{L^2}{S} \quad \dots \quad (I.3)$$

L : la longueur du talweg principal

S : la superficie du bassin versant

$$C_a = 6.04$$

3-Rectangle équivalent :

C'est une transformation purement géométrique en un rectangle de dimensions L et l ayant la même surface que le bassin versant. Il permet de comparer les bassins versants entre eux de points de vue de l'écoulement. Les courbes de niveau sont des droites parallèles aux petits côtés du rectangle et l'exutoire est l'un de ces petits côtés.

Le périmètre et la surface du rectangle sont respectivement :

$$P = 2 * (L + l) \quad \text{et} \quad S = Ll \quad \rightarrow (1) \quad \dots \quad (I.4)$$

La longueur L et la largeur l en Km sont données par la résolution de P et S :

$$K_C = 0,28 \frac{P}{\sqrt{S}} \quad \rightarrow (2) \quad \dots \quad (I.5)$$

De (1) et (2) on obtient une Equation de 2^{ème} degré admet deux solutions L_r; l_r :

La longueur est donnée par la formule :

$$L = K_c \frac{\sqrt{S}}{1.128} \left[1 + \sqrt{1 - \left(\frac{1.12}{K_c} \right)^2} \right] \quad \text{.....(I.6)}$$

La largeur est donnée par la formule :

$$l = K_c \frac{\sqrt{S}}{1.128} \left[1 - \sqrt{1 - \left(\frac{1.12}{K_c} \right)^2} \right] \quad \text{.....(I.7)}$$

Avec L : longueur du rectangle équivalent en (Km).

l: largeur du rectangle équivalent en (Km).

S : Surface du bassin versant (Km^2).

Kc : Indice de compacité de Gravelius.

On obtient :

$$L_r = 64.01 \text{ km}$$

$$l_r = 12.14 \text{ km}$$

64,01



Figure I.1: Rectangle équivalent

I.1.3. Hypsométrie du bassin versant

I.1.3.1 Le relief

A - Répartition et courbe hypsométrique :

La courbe hypsométrique est tracée selon les résultats des mesures de la répartition du bassin versant par tranche d'altitude, et surfaces partielles, cette courbe fournit une vue synthétique de la pente du bassin, donc du relief. Cette courbe représente la répartition de la surface du bassin versant en fonction de son altitude. Elle porte en abscisse la surface (ou le pourcentage de surface) du bassin qui se trouve au-dessus (ou au-dessous) de l'altitude

représentée en ordonnée. Elle exprime ainsi la superficie du bassin ou le pourcentage de superficie, au-delà d'une certaine altitude.

Les courbes hypsométriques demeurent un outil pratique pour comparer plusieurs bassins entre eux ou les diverses sections d'un seul bassin. Elles peuvent en outre servir à la détermination de la pluie moyenne sur un bassin versant et donnent des indications quant au comportement hydrologique et hydraulique du bassin et de son système de drainage.

Tableau I.1 : Coordonnées de la courbe hypsométrique

| Altitude (H _i) (m) | Altitude moyen H _i -H _{i-1} (m) | Surfaces partielles (km ²) | Surfaces partielles (%) | Surfaces cumulées (km ²) | Surfaces cumulées (%) |
|-----------------------------------|---|---|----------------------------|---|--------------------------|
| 1200-1250 | 50 | 23,62 | 3,04 | 23,62 | 3,04 |
| 1100-1200 | 100 | 78,20 | 10,07 | 101,82 | 13,11 |
| 1000-1100 | 100 | 72,40 | 9,36 | 174,22 | 22,47 |
| 900-1000 | 100 | 98,20 | 12,64 | 272,42 | 35,01 |
| 800-900 | 100 | 156,78 | 20,18 | 429,2 | 55,19 |
| 700-800 | 100 | 174,95 | 22,52 | 604,15 | 77,71 |
| 600-700 | 100 | 113,20 | 14,57 | 717,35 | 92,28 |
| 500-600 | 100 | 41,61 | 5,36 | 758,96 | 97,64 |
| 400-500 | 100 | 16,02 | 2,06 | 774,98 | 99,70 |
| 360-400 | 40 | 1 ,8 | 0,23 | 776,80 | 100 |

La courbe hypsométrique est représentée sur la figure (I.2)

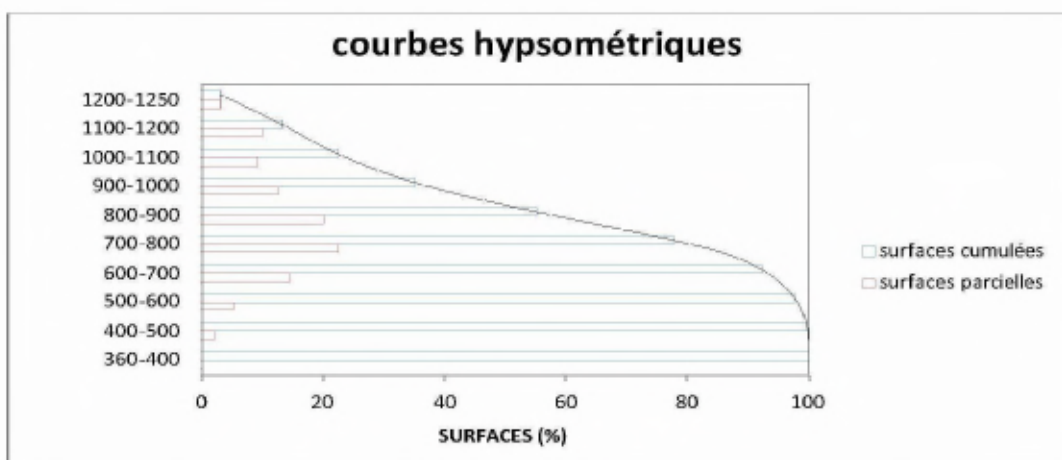


Figure I.2 : répartition et courbe hypsométrique

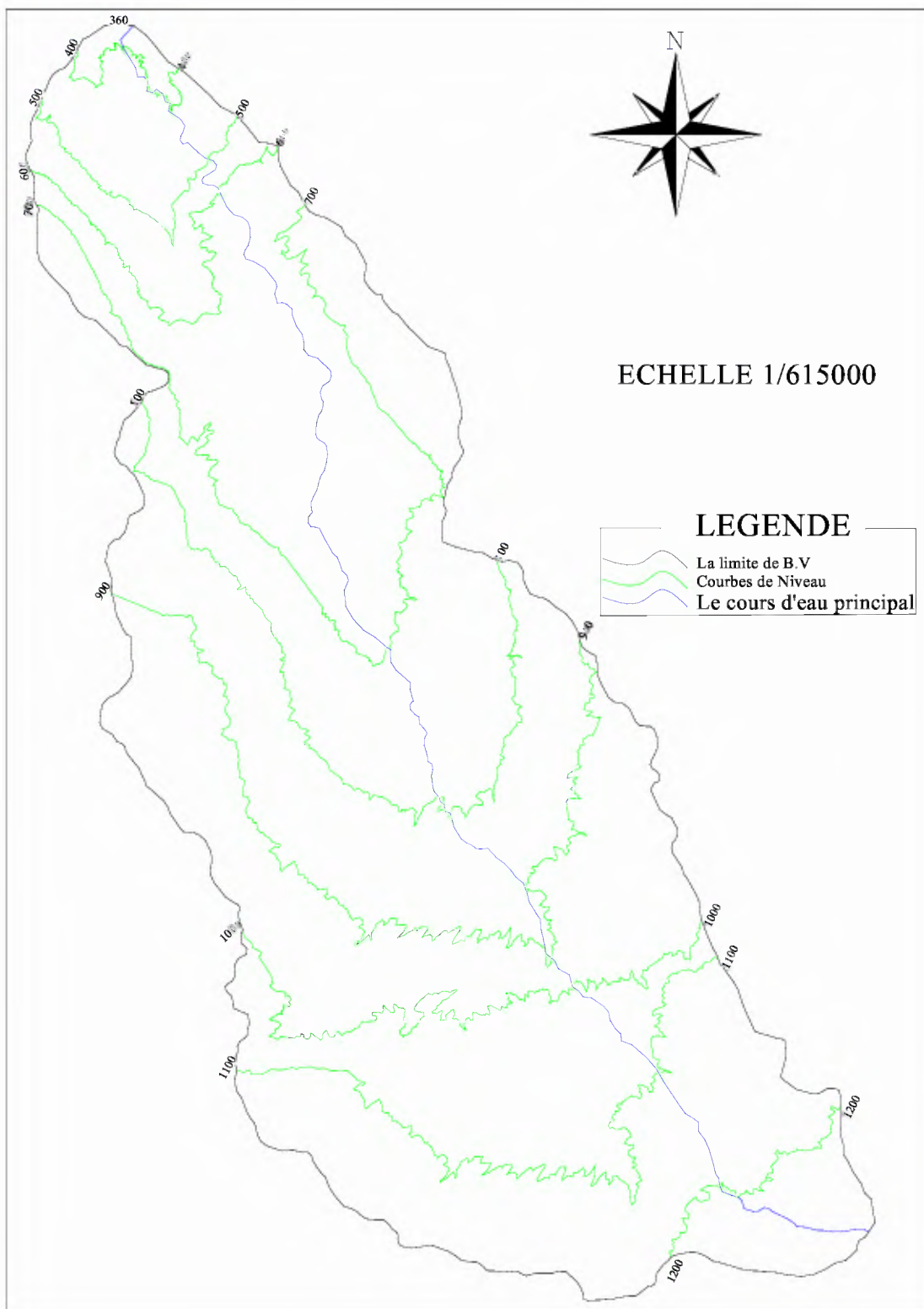


Figure I.3 : répartition des courbes de niveaux du bassin versant de Oued Taht

B - Altitude médiane :

L'altitude médiane correspond à celle lue au point d'abscisse 50% de la surface totale du bassin, sur la courbe hypsométrique. Cette grandeur se rapproche de l'altitude moyenne dans le cas où la courbe hypsométrique du bassin concerné présente une pente régulière, d'après la courbe hypsométrique on a :

$$H_{\text{med}} = 910 \text{ mNGA.}$$

C -L'altitude moyenne :

L'altitude moyenne se déduit directement de la courbe hypsométrique ou de la lecture d'une carte topographique. On peut la définir comme suit :

Avec :

H_{moy} : altitude moyenne du bassin (m).

S_i : aire comprise entre deux courbes de niveau (km^2).

H_i : altitude moyenne entre deux courbes de niveau (m).

S : superficie totale du bassin versant (km^2).

Tableau I.2 : Détermination de l'altitude moyenne

| Altitude (H) | Hi | Si | Si. Hi |
|---------------------|------------|-------------------------|---------------------------|
| (m) | (m) | (km²) | (km².m) |
| 1200-1250 | 1225 | 23,62 | 28934,5 |
| 1100-1200 | 1150 | 78,20 | 89930 |
| 1000-1100 | 1050 | 72,40 | 76020 |
| 900-1000 | 950 | 98,20 | 93290 |
| 800-900 | 850 | 156,78 | 133263 |
| 700-800 | 750 | 174,95 | 131212,5 |
| 600-700 | 650 | 113,20 | 73580 |
| 500-600 | 550 | 41,61 | 22885,5 |
| 400-500 | 450 | 16,02 | 7209 |
| 360-400 | 380 | 1 ,8 | 684 |

Donc,

$$H_{\text{max}}=845.79 \text{ m}$$

D = L'altitude maximale et minimale :

Elles sont obtenues directement à partir de cartes topographiques. L'altitude maximale représente le point le plus élevé du bassin tandis que l'altitude minimale considère le point le plus bas, généralement à l'exutoire. Ces deux données deviennent surtout importantes lors du développement de certaines relations faisant intervenir des variables climatologiques telles que la température, la précipitation et le couvert neigeux. Elles déterminent l'amplitude altimétrique du bassin versant et interviennent aussi dans le calcul de la pente, donc d'après la carte topographique on a : $H_{\max} = 1250 \text{ m NGA}$ $H_{\min} = 360 \text{ m NGA}$

I.1.4. les indices

Le but de ces indices est de caractériser les pentes d'un bassin versant et permettre ainsi des comparaisons et des classifications. Les indices de pente se déterminent à partir de la connaissance de la répartition hypsométrique sur le bassin.

A - Indices de pente de ROCHE I_p :

La pente de Roche est la moyenne de la racine carrée des pentes mesurées sur le rectangle équivalent, et pondérée par les surfaces comprises entre 2 courbes de niveau H_i est H_{i+1} .

Il est donné par la formule suivante :

L : longueur de rectangle équivalent (m)

A_i : surface partielle (%) comprise entre 2 courbes de niveau consécutives H_i et H_{i+1}

Tableau I.3 : détermination de la pente Roche Ip

| Hi _ Hi-1 | Di=Hi-Hi-1 | Si (Km2) | Ai=Si/S (%) | $\sqrt{A_i * D_i}$ |
|------------------|-------------------|-----------------|--------------------|--------------------|
| 1250-1200 | 50 | 23,62 | 3,041 | 12,33 |
| 1200-1100 | 100 | 78,20 | 10,067 | 31,73 |
| 1100-100 | 100 | 72,40 | 9,320 | 30,53 |
| 100-900 | 100 | 98,20 | 12,642 | 35,56 |
| 900-800 | 100 | 156,78 | 20,183 | 44,93 |
| 800-700 | 100 | 174,95 | 22,522 | 47,46 |
| 700-600 | 100 | 113,20 | 14,573 | 38,17 |
| 600-500 | 100 | 41,61 | 5,357 | 23,15 |
| 500-400 | 100 | 16,02 | 2,062 | 14,36 |
| 400-360 | 40 | 1,8 | 0,232 | 3,05 |
| Somme | | 776.8 | 100 | 281.25 |

$$I_p = 1.11 \%$$

B - Indice de pente globale I_g : (P. Dubreuil, 1974)

L : la longueur du rectangle équivalent (km)

D : Dénivelée entre $H_{5\%}$ et $H_{95\%}$ tel que : $D = H_{5\%} - H_{95\%}$

$$H_{5\%} = 1180 \text{ m}$$

$$H_{95\%} = 560 \text{ m}$$

L = 64.01 Km

I_g=0.969%

C - Indice de pente moyenne I_{pm} :

L'indice de pente moyenne est le rapport entre la dénivellation et la longueur de rectangle équivalent.

$$I_{pm} = \frac{\Delta}{L} = \frac{H_{\max} - H_{\min}}{L} \quad \dots \quad I_{pm} = 1.39 \text{ \%}. \quad (\text{I.11})$$

D - Dénivelée spécifique :

Elle sert à comparer les indices de pentes du bassin de superficie différentes, d'après la deuxième classification de l'O.R.S.T.O.M appliquée à tous les bassins versant de déferant surface.

Tableau I.4 : Classification O.R.S.T.O.M (type de relief)

| relief | | Ds (m) |
|--------|--------------|--------|
| 1 | Très faible | <10 |
| 2 | Faible | 25 |
| 3 | Assez faible | 50 |
| 4 | Modéré | 100 |
| 5 | Assez modéré | 250 |
| 6 | Fort | 500 |
| 7 | Très fort | >500 |

$$D_s = I_g \sqrt{S} \quad \dots \dots \dots \quad (\text{I.12})$$

Ds = 27,01 m < 50

Conclusion: Le relief de notre bassin versant est à faible relief.

E - Pente moyenne du bassin versant :

Il est donné par la formule suivante :

$$I_m = \frac{\Delta H(0.5L_1 + L_2 + L_3 + \dots + 0.5L_n)}{S} \quad \text{.....(I-13)}$$

ΔH : Dénivelés entre deux courbes de niveaux successives

L_1, L_2, \dots, L_n : les longueurs des courbes de niveaux L en (Km).
 S: superficie du bassin versant (Km^2).

Les résultats des mesures sont récapitulés dans le tableau suivant :

Tableau I.5 : récapitulative de mesures des longueurs des courbes de niveaux :

| Nº | cote de la courbe (m) | ΔH (m) | Longueur (Km) |
|----|-----------------------|----------------|---------------|
| 1 | 1200 | 100 | 50.7 |
| 2 | 1100 | | 95.0 |
| 3 | 1000 | | 131.5 |
| 4 | 900 | | 162.5 |
| 5 | 800 | | 315.1 |
| 6 | 700 | | 130.3 |
| 7 | 600 | | 89.5 |
| 8 | 500 | | 40.4 |

$$Imoy = 12.48 \%$$

I.1.5. Caractéristiques hydrographiques de bassin versant

I.1.5.1. le réseau hydrographique

La restitution du réseau hydrographique est faite sur les mêmes cartes citées pour la détermination de l'altitude moyenne

Pour procéder au calcul de la densité de drainage, il faut classer les cours d'eau. Il existe plusieurs classifications dont la plus courante est la classification de SCHUM. Dans cette classification de SCHUM est considéré « ordre(x+1) tout tronçon de rivière formé par la réunion de 02 cours d'eau d'ordre (x) ».

A - Densité de drainage Dd :

C'est le rapport entre la longueur total de tous les talwegs « L_i » du bassin versant, à la surface « S ». Elle reflète la dynamique du bassin, la stabilité du chevelu hydrographique et le type de ruissellement de surface. Elle est exprimée en Km/Km^2 .

$$D_d = \frac{\sum_{i=1}^n L_i}{S} \quad \dots \quad (\text{I.14})$$

Avec : $\sum_{i=1}^n L_i$: La longueur totale de tous les cours d'eau égale à 2527 Km.

S : Superficie du bassin versant en (Km^2).

$$D_d = 3.25 \text{ km/km}^2$$

B - Densité du thalweg élémentaire :

$$F_1 = \frac{N_1}{S} \quad \dots \quad (\text{I.15})$$

N_1 : Nombre de thalwegs d'ordre 1, $N_1=4589$
 S : Superficie du bassin versant.

$$F_1 = 5.91 \text{thalweg/km}^2$$

C - Coefficient de torrentialité :

Il est défini comme étant :

$$C_t = D_d \cdot F_1 \quad \dots \quad (I.16)$$

$$C_t = 19.2 \text{Km}^{-3}$$

D - La longueur moyenne des versants :

$$L_i = \frac{L}{2D_d} \quad \dots \quad (I.17)$$

D_d : densité de drainage en Km/Km^2

L : longueur de rectangle équivalent en Km

$$L_i = 9.85 \text{ Km}$$

E - La pente moyenne de cours d'eau principale :

La pente moyenne du bassin d'Oued Meskiana est calculée selon la relation suivante :

$$I = \frac{\Delta H}{\Delta L} \quad \dots \quad (I.18)$$

ΔH : Différence d'altitude entre deux cours d'eaux suffisamment éloignés.

ΔL : La distance entre ces deux points.

$$I = 0.905 \%$$

F - Temps de concentration du bassin versant t_c :

C'est le temps que met la particule d'eau la plus éloignée pour arriver à l'exutoire, il existe plusieurs formules. Dans le contexte algérien et pour les grands bassins versants, il peut être calculé par l'ancienne formule de GIANDOTTI (1937) soit :

$$t_c = \frac{4\sqrt{S} + 1.5L_{cp}}{0.8\sqrt{H_{moy} - H_{min}}} \quad \dots \quad (I.19)$$

Avec : S : surface du bassin versant (Km^2).

L_{cp} : longueur de cours d'eau principal (Km).

T_c : temps de concentrations exprimé en heure.

H_{moy} : altitude moyenne (m).

H_{min} : altitude minimale (m).

$$t_c = 12.5 \text{ heures}$$

G - Vitesse de ruissellement :

On entend par ruissellement, l'écoulement par gravité à la surface du sol, suivant la pente du terrain, et dans le micro-réseau hydrographique, des eaux météoriques qui ont échappé à l'infiltration, à l'évaporation et au stockage superficiel.

Cette vitesse est déterminée par la formule suivante :

$$V_r = \frac{L}{T_c} \quad \dots \quad (I.20)$$

L : Longueur du thalweg principal (Km)

T_c : Temps de concentration (h)

$$V_r = 5.64 \text{ Km/h}$$

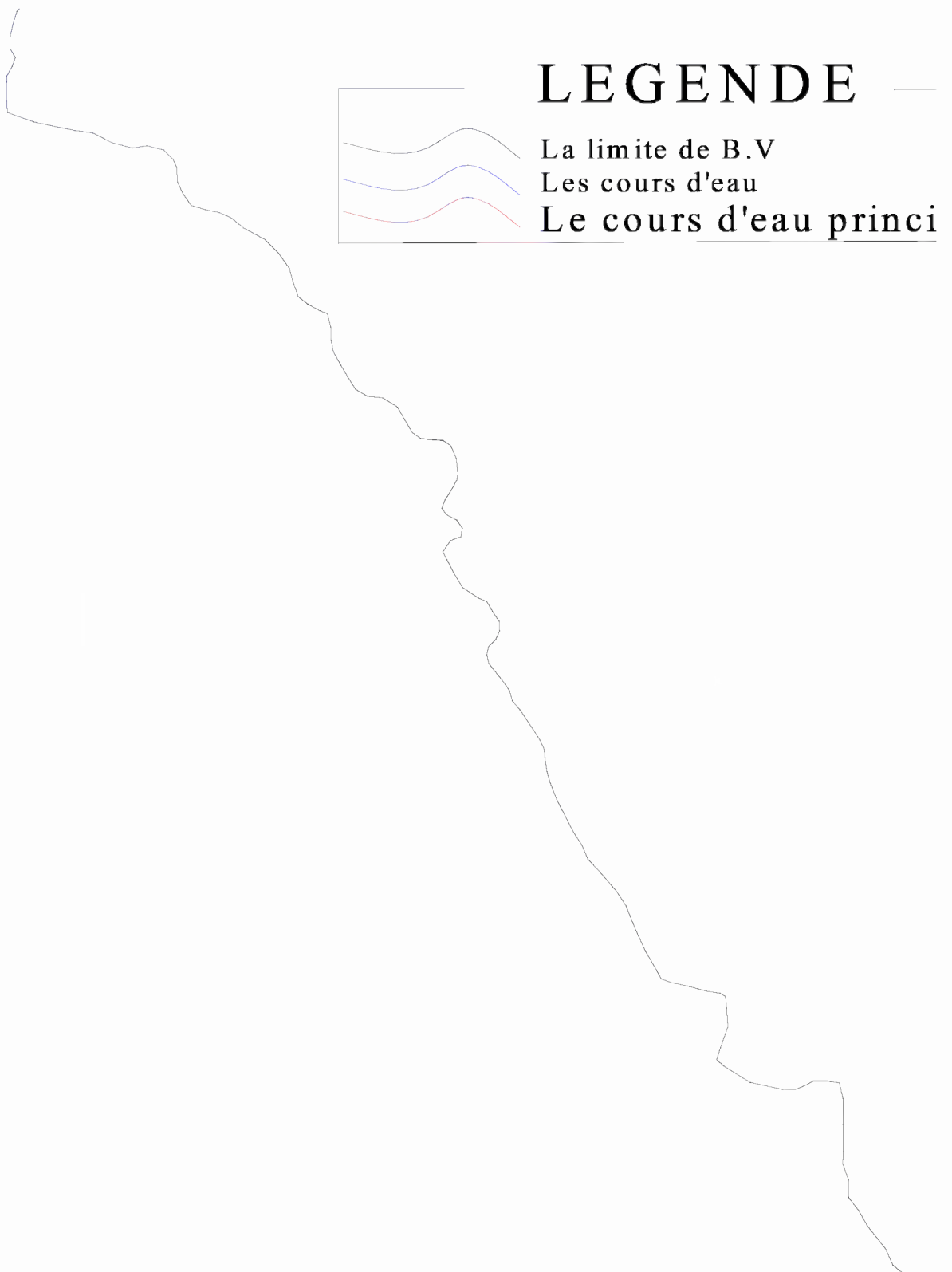


Figure I.4 : Le réseau hydrographique du bassin versant

I.1.6. Profil en long de l'Oued

L'Oued de Taht présente un profil en long assez régulier interrompu par quelques légères ruptures en pente

Ce profil est tracé à partir des cartes topographiques à l'échelle 1/50000 en tenant compte de l'altitude et de la longueur de cours d'eau jusqu'à l'exutoire.

Tableau I.6 : la longueur de cours d'eau principale en chaque altitude

| N° | Courbe de niveau (m) | Distance (Km) | Distance cumulée (Km) |
|----|----------------------|---------------|-----------------------|
| 1 | 1200-1250 | 0.9 | 0.9 |
| 2 | 1100-1200 | 1.3 | 2.4 |
| 3 | 1000-1100 | 1.6 | 4.0 |
| 4 | 900-1000 | 4.5 | 8.5 |
| 5 | 800-900 | 8.0 | 16.5 |
| 6 | 700-800 | 11.3 | 27.8 |
| 7 | 600-700 | 15.2 | 43.0 |
| 8 | 500-600 | 12.0 | 55.0 |
| 9 | 400-500 | 8.0 | 63.0 |
| 10 | 360-400 | 5.5 | 68.5 |

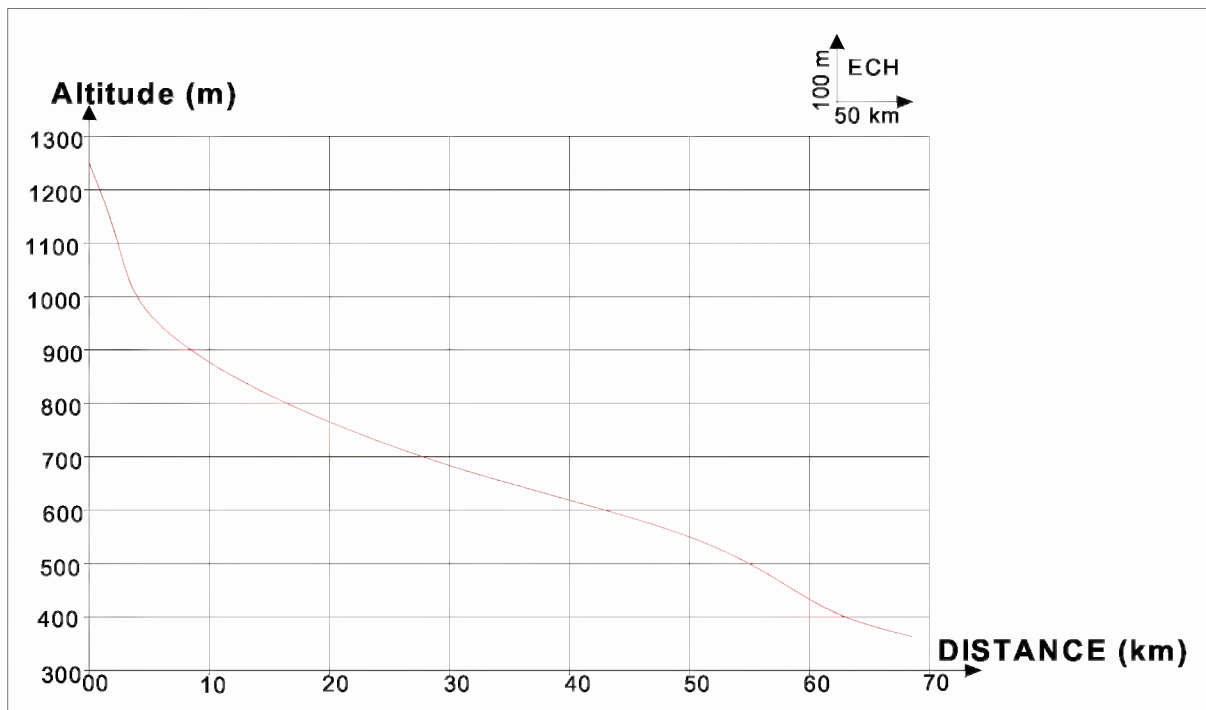


Figure I.5 : Profil en long du cours d'eau principal

Tableau I.7 : Caractéristiques hydro morpho métriques du bassin versant

| Désignation | Symbol | Unités | Valeur |
|--------------------------------------|-----------------|--------------------|--------|
| Superficie | S | km ² | 776.8 |
| Périmètre | P | km | 152 |
| Longueur du thalweg principal | L | km | 68.5 |
| Indice de compacité | K _C | *** | 1.53 |
| Coefficient d'allongement | C _a | *** | 6.04 |
| Rectangle équivalent | longueur | L _r | km |
| | largeur | l _r | Km |
| Altitudes | maximale | H _{max} | m |
| | moyenne | H _{moy} | m |
| | médiane | H _{med} | m |
| | minimale | H _{min} | m |
| Indice de pente de Roche | I _P | m/Km | 1.11 |
| Indice de pente globale | I _g | m/Km | 0.97 |
| Indice de pente moyenne | I _{pm} | m/Km | 1.39 |
| Densité de drainage | D _d | Km/Km ² | 3.25 |
| Coefficient de torrentialité | C _t | Km ⁻³ | 19.2 |
| Temps de concentration | T _c | h | 12.5 |
| Vitesse de ruissellement | V _r | Km/h | 5.64 |

I.2. Caractéristiques climatiques du bassin versant

Les caractéristiques climatologiques de la zone d'étude sont estimées par les données disponibles à des stations climatologiques dans le bassin versant.

I.2.1. Température

Les caractéristiques climatiques de la région du bassin versant ne sont enregistrées qu'à la station de Mascara. Les répartitions mensuelles des températures enregistrées à cette station se présentent comme suit :

Tableau I.8 : répartition mensuelle de la température

| | Mois | Sep | Oct | Nov | Déc | Jan | Fév | Mar | Avr | Mai | Jun | Jul | Aou | Moy annuelle |
|---------|---------|------|------|------|------|-----|------|------|------|------|------|------|------|--------------|
| Mascara | Tmax °C | 24.8 | 18.8 | 15.2 | 11.2 | 10 | 12.2 | 15 | 16.3 | 18.9 | 27.1 | 30.6 | 30.4 | 19.2 |
| | Tmin °C | 19 | 15 | 8.6 | 7.4 | 6 | 7.2 | 8.2 | 10.1 | 14.3 | 16.3 | 19.2 | 19 | 12.5 |
| | Tmoy °C | 21.9 | 16.9 | 11.9 | 9.3 | 8 | 9.7 | 11.6 | 13.2 | 16.6 | 21.7 | 24.9 | 24.7 | 15.9 |

Source : O.N.M

Comme le montre le tableau (I.8) la température moyenne annuelle pour notre région d'étude est de 15.9 °c°.

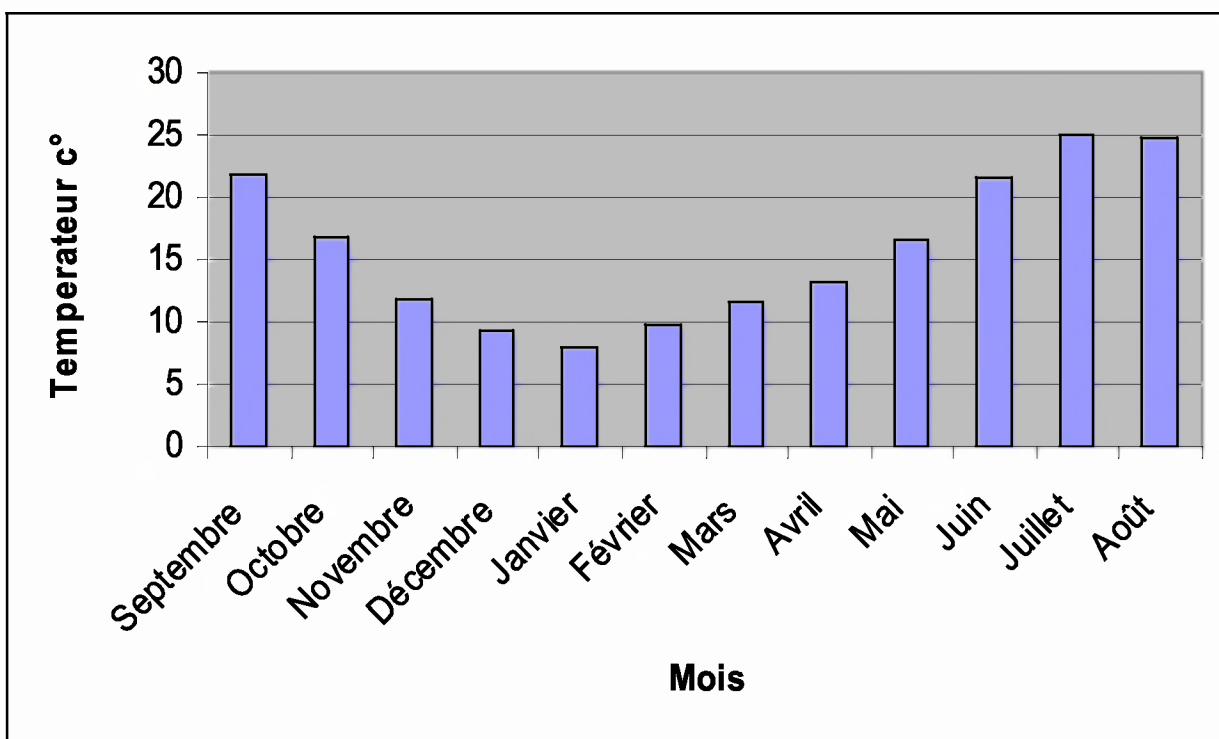


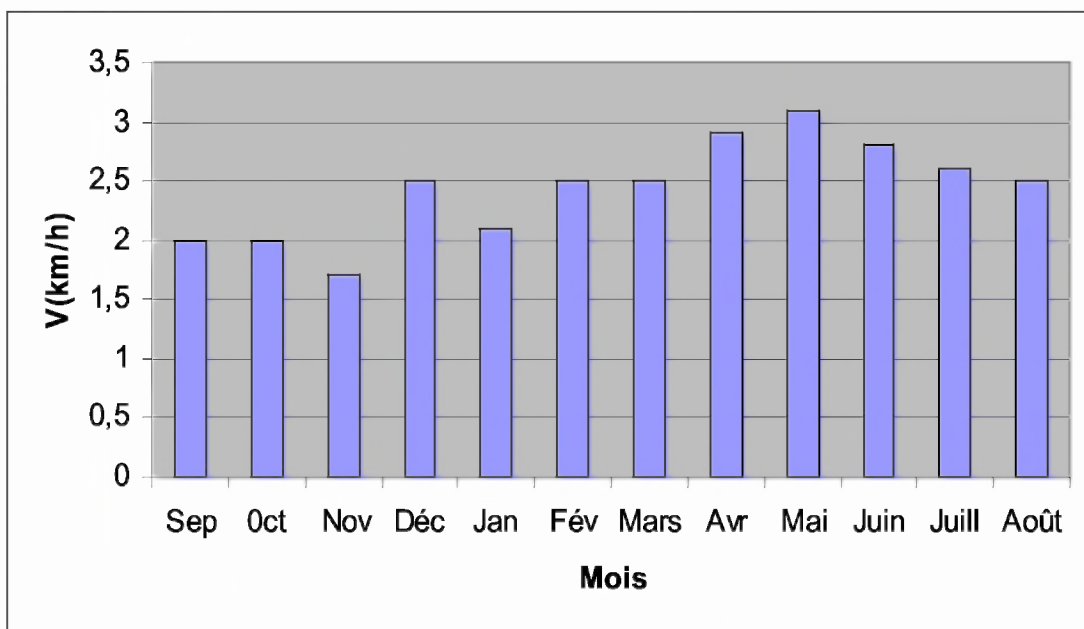
Figure I.6 : La répartition mensuelle des températures**I.2.2 Vitesse du vent**

D'après le tableau la vitesse moyenne du vent est de 2,43m/s. Elle présente un maximum en Mai (3.1m/s).et un minimum en Novembre (1.7m/s).

Tableau I.9 : Répartition mensuelle du vent

| Mois | Sep | Oct | Nov | Déc | Jan | Fév | Mar | Avr | Mai | Jun | Jul | Aou | Moy annuelle |
|---------|-----|-----|-----|-----|-----|-----|-----|-----|-----|-----|-----|-----|--------------|
| V (m/s) | 2.0 | 2.0 | 1.7 | 2.5 | 2.1 | 2.5 | 2.5 | 2.9 | 3.1 | 2.8 | 2.6 | 2.5 | 2.43 |

Source : O.N.M

**Figure I.7 : Répartition des vitesses de vent en fonction des mois****I.2.3. Evaporation**

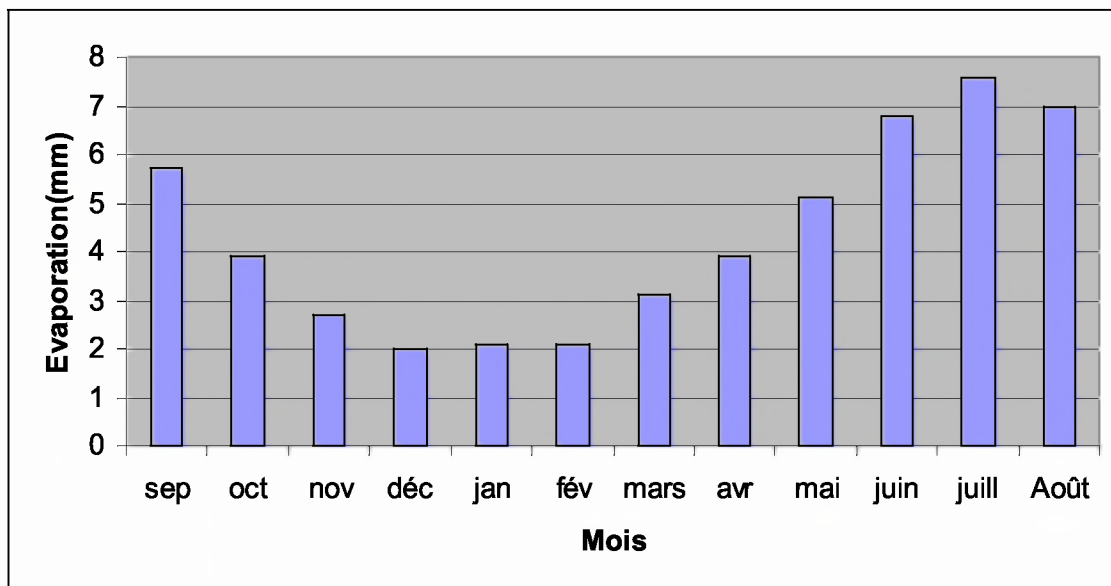
L'évaporation n'est mesurée qu'à la station de Mascara. L'évaporation mensuelle disponible à cette station est la suivante :

Tableau I.10 : répartition mensuelle de l'évaporation.

| Mois | Sep | Oct | Nov | Déc | Jan | Fév | Mar | Avr | Mai | Jun | Jul | Aou | Ans |
|--------|-----|-----|-----|-----|-----|-----|-----|-----|-----|-----|-----|-----|-----|
| Ev(mm) | 5.7 | 3.9 | 2.7 | 2.0 | 2.1 | 2.1 | 3.1 | 3.9 | 5.1 | 6.8 | 7.6 | 7.0 | 52 |

| | | | | | | | | | | | | | |
|-------|-------|------|------|------|------|------|------|------|------|-------|-------|-------|-----|
| Ev(%) | 10.96 | 7.50 | 5.19 | 3.85 | 4.04 | 4.04 | 5.96 | 7.50 | 9.81 | 13.08 | 14.62 | 13.46 | 100 |
|-------|-------|------|------|------|------|------|------|------|------|-------|-------|-------|-----|

Source : O.N.M

**Figure I.8 :** répartition mensuelle de l'évaporation

I.2.4 La pluviométrie

La pluviométrie qui prévaut au bassin versant du barrage de Oued Taht est établie en utilisant l'information disponible de la région à étudier.

I.2.4.1. Stations et données disponibles:

Nous disposons de données d'observation directes disponibles au niveau du bassin versant. Les stations disponibles au niveau du bassin et les plus proches du site sont présentées dans le tableau suivant :

Tableau I.11 : Données disponibles des stations situées dans la zone d'étude

| station | Code de la station | Altitude (m) | Années de fonctionnement |
|----------------------|--------------------|--------------|--------------------------|
| KEF-MAHBOULA | 01.30.01 | 475 | 32 |
| FRENDA | 01.30.02 | 990 | 28 |
| AIN-EL-HADDID | 01.30.04 | 829 | 42 |
| M'HAOUDIA | 01.30.05 | 670 | 19 |

Source : A.N.R.H

Tableau I.12 : Station pluviométrique.

| Station | Code | Source | Coordonnées | | | Année de service | N(ans) |
|---------------|----------|---------|-------------|--------|-------|------------------|---------|
| | | | X (km) | Y (km) | Z (m) | | |
| Ain-El-Haddid | 01.30.04 | A.N.R.H | 334.5 | 137.0 | 829 | 1965-2006 | 42 |

La station de Ain-El-Haddid est la plus proche du site avec une période d'observation de 1965-2006 soit 42 ans.

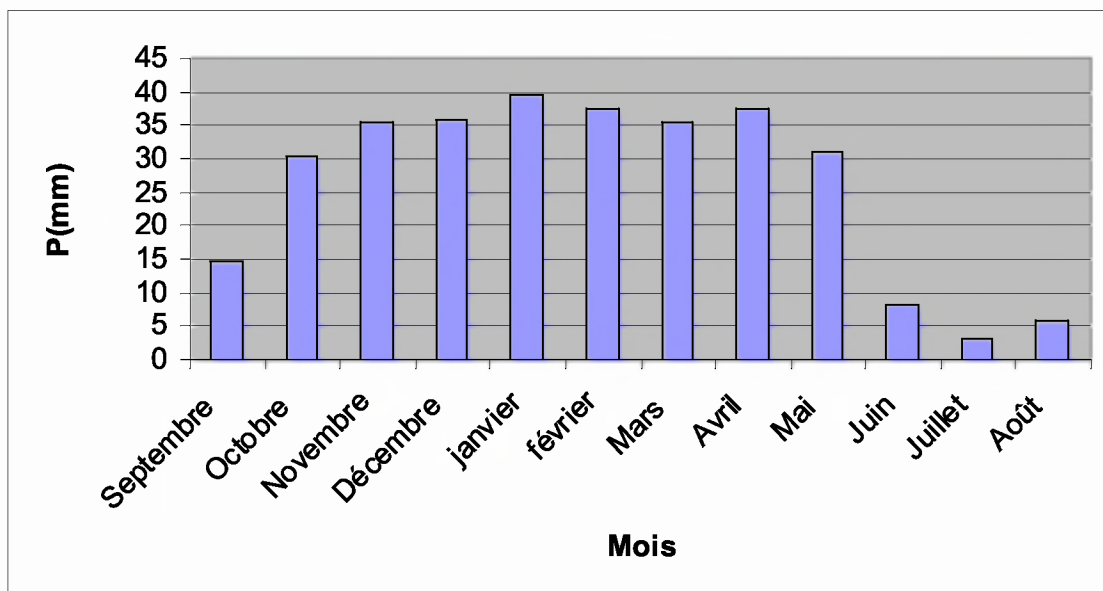
Le tableau I.13 reproduit les valeurs des pluies moyennes mensuelles, ainsi que leur répartition dans l'année :

Tableau I.13 : Répartition mensuelle de la pluie annuelle

| Mois | sept | oct | nov | dec | janv | fev | mars | avr | mai | juin | juil | aout | total |
|--------|-------|-------|-------|-------|-------|-------|-------|-------|-------|------|------|------|--------|
| P (mm) | 14.66 | 30.42 | 35.55 | 35.95 | 39.56 | 37.42 | 35.60 | 37.39 | 31.11 | 8.03 | 3.10 | 5.89 | 314.67 |
| P % | 4.66 | 9.67 | 11.30 | 11.42 | 12.57 | 11.89 | 11.31 | 11.88 | 9.89 | 2.55 | 0.99 | 1.87 | 100 |

La répartition mensuelle des précipitations est présentée par la figure I.9.

On note une pointe au mois de janvier.

**Figure I.9 : Répartition mensuelle des précipitations**

I.2.5. Les précipitations maximales journalières

L'étude consiste à faire un ajustement pour la série de données des précipitations maximales journalières par une loi théorique afin de déterminer une intensité de pluie et de période de retour.

Pour notre étude, on passe par les étapes suivantes :

- ✓ Classer la série des précipitations par ordre croissant.
- ✓ Calcul de la fréquence expérimentale.
- ✓ Calcul des caractéristiques empiriques de la série de donnée.
- ✓ Ajuster graphiquement la loi choisie.
- ✓ Calculer le quantile et son intervalle de confiance.

Les caractéristiques de la série sont représentées dans le tableau (I.14) :

Tableau I.14: Caractéristiques de la série pluviométrique (42ans).

| caractéristiques | Formules | valeurs |
|---|---|----------|
| La somme des $P_{max,j}$ en (mm) | $\sum_{i=1}^{N=42} X_i$ | 1329.6mm |
| la moyenne des $P_{max,j}$ en (mm) | $\bar{X} = \frac{\sum_{i=1}^{n=42} X_i}{n}$ | 31.66mm |
| L'écart type « σ_x » ; Pour $n > 30$ ans | $\sigma_x = \sqrt{\frac{\sum_{i=1}^n (x_i - \bar{x})^2}{42}}$ | 10.58 |
| Coefficient de variation « Cv » | $C_v = \frac{\sigma}{\bar{X}}$ | 0,33 |
| L'exposant climatique | $b = 0.30$ | |

L'exposant climatique pour notre région ($b=0.30$) est donné par l'ARNH d'Algér.

I.3 Choix de la loi d'ajustement

Comme il existe plusieurs méthodes d'ajustement des séries pluviométriques, l'efficacité d'une méthode d'estimation dépend de la loi de probabilité, de la taille de l'échantillon et de certaines caractéristiques de l'échantillon. Toute fois, de nombreuses études comparatives, autant empiriques que théoriques, ont été menées afin de déterminer dans quelles circonstances une méthode d'estimation est la plus efficace pour une loi donnée.

Les lois d'ajustement choisies sont :

- ✓ la loi de GALTON (log-normal).
- ✓ la loi de GUMBEL

I.3.1 Ajustement de la série pluviométrique à la loi de GUMBEL

Cette loi a une fonction de répartition qui s'exprime selon la formule suivante :

$$F(X) = e^{-e^{\frac{x-x_0}{\alpha}}} \quad \dots \dots \dots \quad (I.21)$$

Tel que: $y = \frac{x - x_0}{\alpha}$

Avec :

$1/\alpha$: la pente de la droite de GUMEL

Y : variable réduite de GUMBEL

x : précipitation maximale journalière (mm)

x_0 : paramètre de position (mode)

On peut écrire : $y = -\ln(-\ln(F(x)))$

Avant de procéder à l'ajustement, il faut suivre les étapes suivantes :

- ✓ Classer les valeurs des précipitations par ordre croissant avec attribution d'un rang 1, 2, 3, ..., n.
- ✓ calculer, pour chaque valeur de précipitation, la fréquence expérimentale par la formule de HAZEN.

$$F(x) = \frac{m - 0.5}{n} \quad \dots \dots \dots \quad (I.22)$$

m : rang de précipitation

n : nombre d'observations (42)

- ✓ calculer la variable réduite de GUMBEL donnée par la formule suivante :

$$y = -\ln(-\ln(F(x)))$$

- ✓ calculer les paramètres d'ajustement « α » et « x_0 »

- ✓ représenter graphiquement les couples (x_i, y_i) sur papier GUMBEL.

Calcul des paramètres de l'ajustement de la loi de GUMBEL :

La droite de GUMBEL est donnée par la formule :

$$x = (1/\alpha)y + x_0 \dots \text{ (I.23)}$$

Avec :

$(1/\alpha)$: la pente de la droite de GUMBEL

Les résultats de l'ajustement par la loi de « GUMBEL » sont résumés dans le tableau suivant :

Quantiles

$q = F(X)$ (probabilité au non-dépassement)

$T = 1/(1-q)$

Tableau I.15: résultat de l'ajustement à la loi de Gumbel

| Période de retour (ans) | Probabilité (q) | XT | Ecart type | Intervalle de confiance |
|-------------------------|-----------------|------|------------|-------------------------|
| 1000 | 0,999 | 83,9 | 9,44 | 65,4 - 102 |
| 500 | 0,998 | 78,2 | 8,52 | 61,4 - 94,9 |
| 200 | 0,995 | 70,6 | 7,32 | 56,2 - 84,9 |
| 100 | 0,99 | 64,8 | 6,41 | 52,3 - 77,4 |
| 50 | 0,98 | 59,1 | 5,5 | 48,3 - 69,9 |
| 20 | 0,95 | 51,4 | 4,31 | 43,0 - 59,8 |
| 10 | 0,9 | 45,5 | 3,41 | 38,8 - 52,1 |
| 5 | 0,8 | 39,3 | 2,52 | 34,3 - 44,2 |

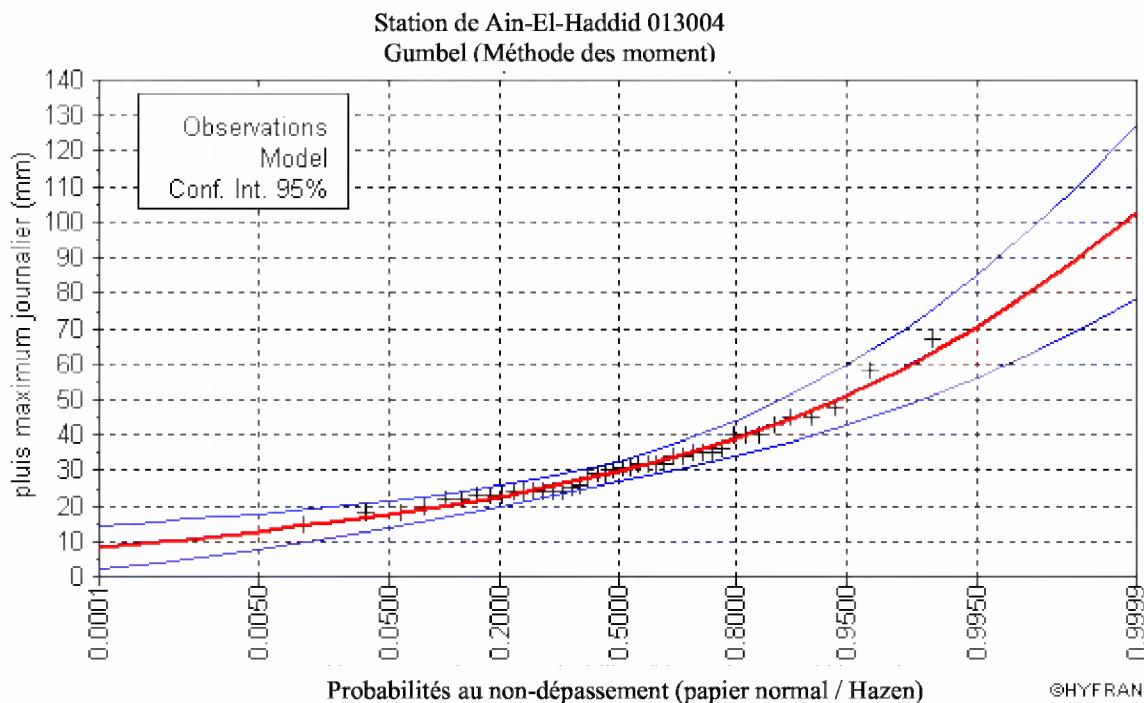


Figure I.10 : représentation graphique de la loi de Gumbel

Comparaison des caractéristiques de la loi de Gumbel et de l'échantillon :

| Paramètres | Caractéristiques de la loi | Caractéristiques de l'échantillon |
|----------------------------------|----------------------------|-----------------------------------|
| Minimum | Aucun | 15.4 |
| Maximum | Aucun | 67 |
| Moyenne | 31.7 | 31.7 |
| Ecart-type | 10.6 | 10.6 |
| Médiane | 29.9 | 30.5 |
| Coefficient de variation (Cv) | 0,334 | 0,334 |
| Coefficient d'asymétrie (Cs) | 1,14 | 1,29 |
| Coefficient d'aplatissement (Ck) | 2,40 | 4,68 |

I.3.2. Ajustement de la série pluviométrique à la loi de GALTON (log-normale) :

Le procédé d'ajustement est identique à celui établi pour la loi de Gumbel, seul la représentation graphique change ou elle est faite sur papier log-normale, comme le montre la figure (I.11).

La loi de GALTON a une fonction de répartition qui s'exprime selon la formule suivante :

$$F(X) = \frac{1}{\sqrt{2\pi}} \int_{-\infty}^{x/\sigma_x} e^{-\frac{1}{2}u^2} du \quad \dots \dots \dots \quad (I.24)$$

$$\text{Ou : } u = \frac{x_i - \bar{x}}{\sigma_x} \quad (\text{variable réduite de GAUSS})$$

L'équation de la droite de GALTON est la suivante :

$$\text{Log } x(p\%) = \overline{\text{Log } x} + b \cdot \text{Log } u(p\%)$$

$$\overline{\text{Log } x} = \frac{\sum_{i=1}^{38} \text{Log } x_i}{N} \quad \dots \dots \dots \quad (I.25)$$

Les résultats de l'ajustement par la loi de Log-Normal « Galton » sont résumés dans le tableau (I.16).

Quantiles

$q = F(X)$ (probabilité au non dépassement)

$T = 1/(1-q)$

Log normale (Maximum de vraisemblance)

Tableau I.16 : résultat de l'ajustement à la loi de Galton .

| Période de retour (ans) | Probabilité (q) | XT | Ecart type | Intervalle de confiance |
|-------------------------|-----------------|------|------------|-------------------------|
| 1000 | 0,999 | 79,1 | 9,24 | 61,0 - 97,2 |
| 500 | 0,998 | 74 | 8,16 | 58,0 - 90,0 |
| 200 | 0,995 | 67,4 | 6,8 | 54,0 - 80,7 |
| 100 | 0,99 | 62,3 | 5,83 | 50,9 - 73,7 |
| 50 | 0,98 | 57,2 | 4,9 | 47,6 - 66,8 |

| | | | | |
|----|------|------|------|-------------|
| 20 | 0,95 | 50,4 | 3,75 | 43,0 - 57,7 |
| 10 | 0,9 | 45 | 2,94 | 39,2 - 50,7 |
| 5 | 0,8 | 39,2 | 2,2 | 34,9 - 43,5 |

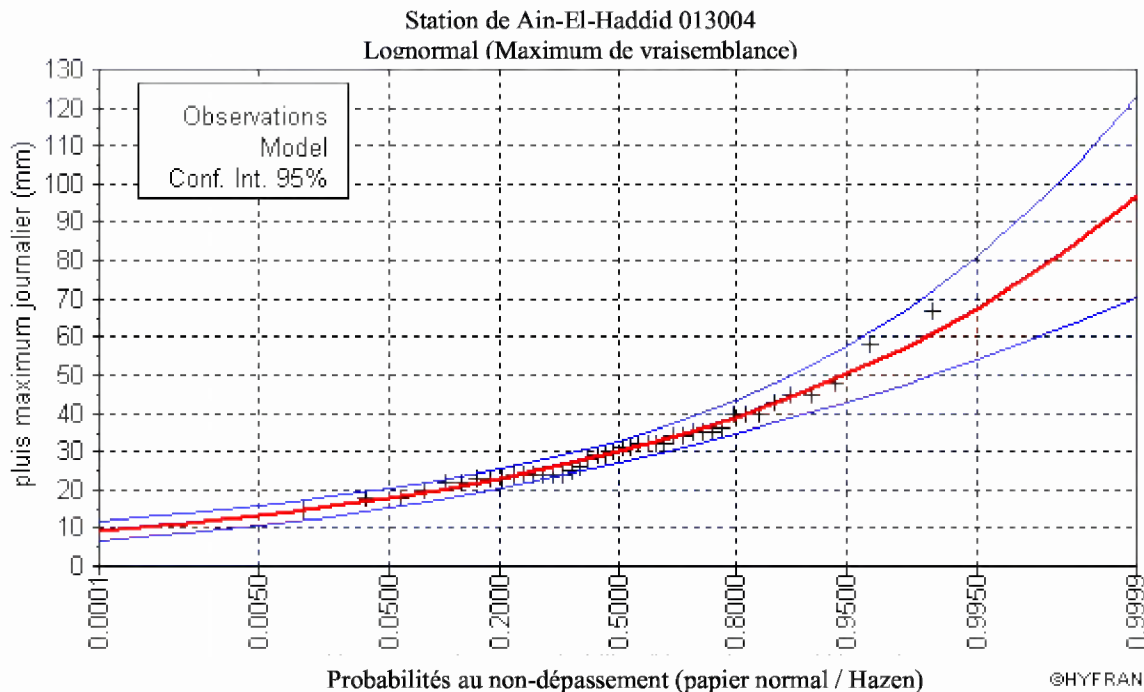


Figure I.11 : représentation graphique de la loi de log-normal (Galton)

Comparaison des caractéristiques de la loi de Galton et de l'échantillon

| Paramètres | Caractéristiques de la loi | Caractéristiques de l'échantillon |
|----------------------------------|----------------------------|-----------------------------------|
| Minimum | 0,00 | 15.4 |
| Maximum | Aucun | 67.0 |
| Moyenne | 31.6 | 31.7 |
| Ecart-type | 10.1 | 10.6 |
| Médiane | 30.1 | 30.5 |
| Coefficient de variation (Cv) | 0.320 | 0.334 |
| Coefficient d'asymétrie (Cs) | 0.992 | 1.29 |
| Coefficient d'aplatissement (Ck) | 4.80 | 4.68 |

Conclusion :

D'après les deux schémas on conclut que la pluie maximale journalière suit la loi Gumbel, car tous les points sont à l'intérieur de l'intervalle de confiance et plus Proches de la droite de HENRY.

I.4. Les pluies de courtes durées de différentes fréquences et leurs intensités

$$P_{\max t, p\%} = P_{\max j,p\%} \left(\frac{t}{24} \right)^b \quad \dots \dots \dots \quad (I.26)$$

b : Exposant climatique (pour notre région b = 0.30)

Les précipitations et les intensités pour les différentes fréquences sont regroupées dans le tableau I.17

Tableau I.17: La pluie d courtes durées de différentes fréquences et leurs intensités

| Période | 10 | | 20 | | 50 | | 100 | | 1000 | |
|---------------------------|------------------------------|--------------------------|------------------------------|--------------------------|------------------------------|--------------------------|------------------------------|--------------------------|------------------------------|--------------------------|
| Fréquence (%) | 10 | | 5 | | 2 | | 1 | | 0,1 | |
| P _{maxj,p%} (mm) | 45,5 | | 51,4 | | 59,1 | | 64,8 | | 83,9 | |
| T (h) | P _{maxj,p%} (mm) | I ₀ (mm/h) |
| 0,1 | 8,789 | 87,892 | 9,929 | 99,289 | 11,416 | 114,163 | 12,517 | 125,173 | 16,207 | 162,068 |
| 2 | 21,590 | 10,795 | 24,390 | 12,195 | 28,044 | 14,022 | 30,748 | 15,374 | 39,811 | 19,906 |
| 4 | 26,581 | 6,645 | 30,027 | 7,507 | 34,526 | 8,631 | 37,856 | 9,464 | 49,014 | 12,253 |
| 6 | 30,019 | 5,003 | 33,911 | 5,652 | 38,991 | 6,499 | 42,752 | 7,125 | 55,353 | 9,226 |
| 8 | 32,725 | 4,091 | 36,968 | 4,621 | 42,506 | 5,313 | 46,606 | 5,826 | 60,343 | 7,543 |
| 10 | 34,990 | 3,499 | 39,528 | 3,953 | 45,449 | 4,545 | 49,832 | 4,983 | 64,521 | 6,452 |
| 12 | 36,957 | 3,080 | 41,750 | 3,479 | 48,004 | 4,000 | 52,634 | 4,386 | 68,148 | 5,679 |
| 12,15 | 37,095 | 3,053 | 41,906 | 3,449 | 48,183 | 3,966 | 52,830 | 4,348 | 68,402 | 5,630 |
| 14 | 38,707 | 2,765 | 43,726 | 3,123 | 50,276 | 3,591 | 55,125 | 3,938 | 71,374 | 5,098 |
| 16 | 40,289 | 2,518 | 45,513 | 2,845 | 52,331 | 3,271 | 57,378 | 3,586 | 74,291 | 4,643 |
| 18 | 41,738 | 2,319 | 47,150 | 2,619 | 54,213 | 3,012 | 59,442 | 3,302 | 76,963 | 4,276 |
| 20 | 43,078 | 2,154 | 48,664 | 2,433 | 55,954 | 2,798 | 61,351 | 3,068 | 79,434 | 3,972 |
| 22 | 44,328 | 2,015 | 50,076 | 2,276 | 57,577 | 2,617 | 63,130 | 2,870 | 81,738 | 3,715 |
| 24 | 45,500 | 1,896 | 51,400 | 2,142 | 59,100 | 2,463 | 64,800 | 2,700 | 83,900 | 3,496 |

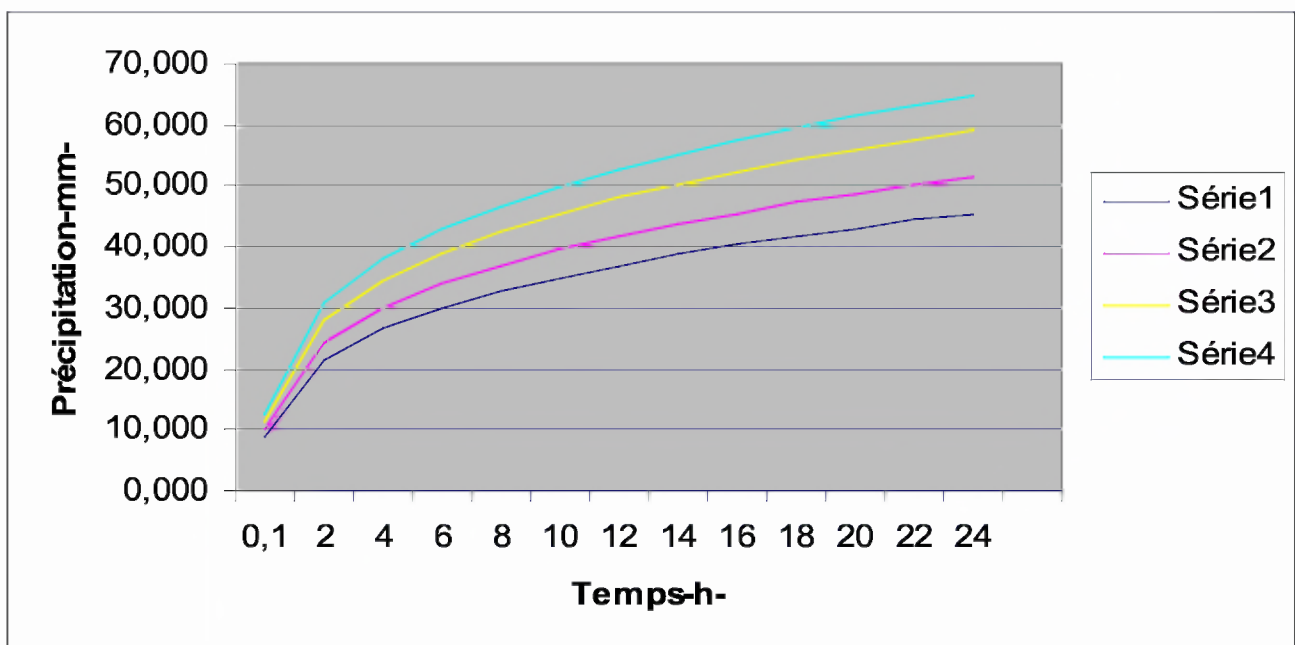


Figure I.12 : Pluies de Courte durée

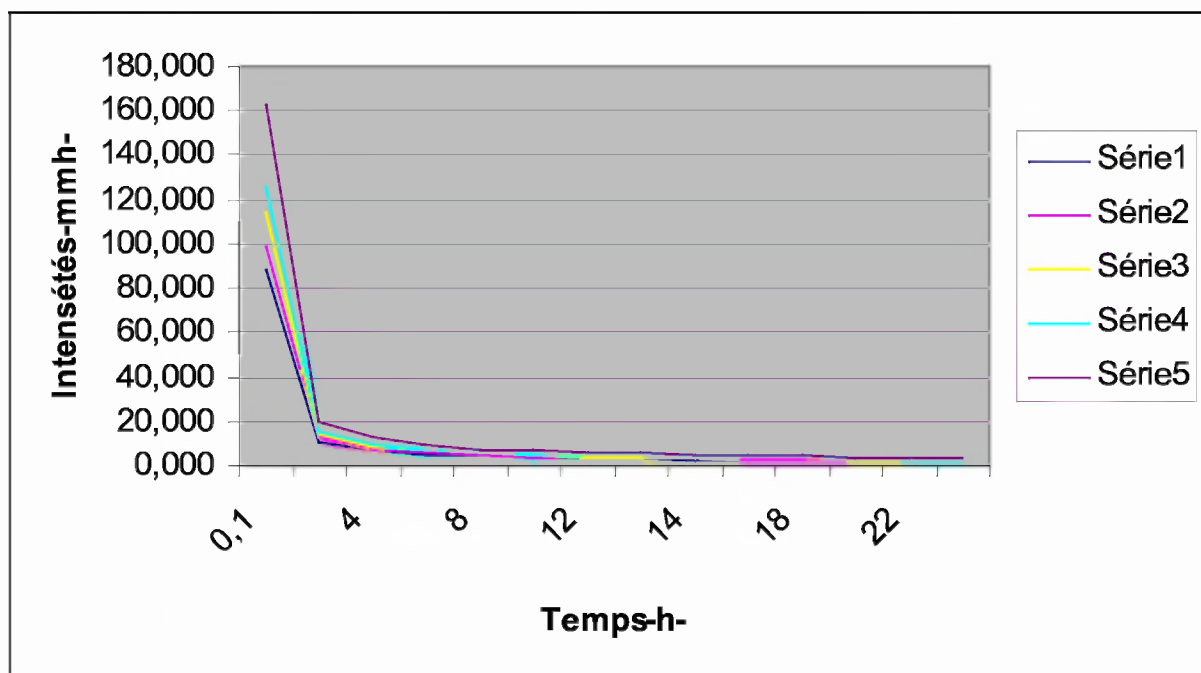


Figure I.13 : Intensité –Durée -Fréquence

I.5 Etudes des apports

I.5.1. La station Hydrométrique

La série des apports liquides est représentée dans l'annexe I.
L'apport moyen annuelle de la station est de : 13.521 Mm³

Tableau I.18 : Répartition mensuelle de l'apport moyen de la station

| Mois | Sép | Oct | Nov | Déc | Jan | Fév | Mars | Avr | Mai | Juin | Juil | Août | Total |
|---------------------------|-------|-------|-------|-------|-------|-------|-------|-------|-------|-------|-------|-------|--------|
| A (Mm³) | 0,750 | 1,162 | 0,856 | 1,128 | 2,213 | 1,657 | 2,096 | 1,475 | 1,276 | 0,324 | 0,229 | 0,356 | 13,521 |
| Apport (%) | 5,54 | 8,59 | 6,33 | 8,34 | 16,37 | 12,25 | 15,50 | 10,91 | 9,44 | 2,40 | 1,70 | 2,63 | 100 |

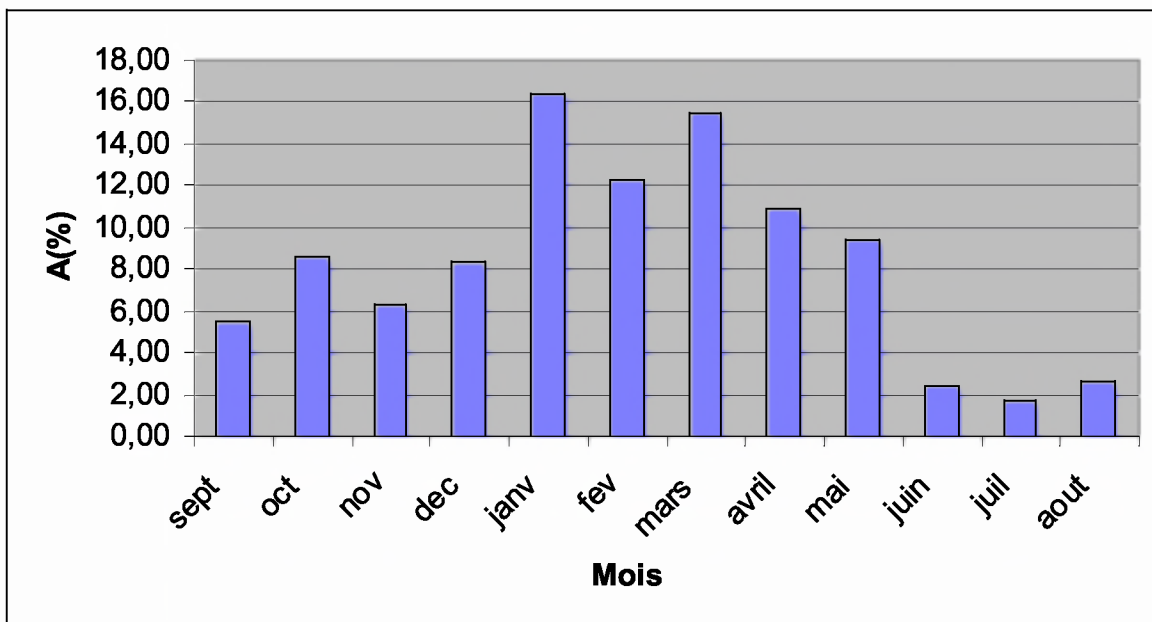


Figure I.14 : Répartition mensuelle de l'apport moyen

I.5.2 Caractéristiques de l'écoulement

A - Module de l'écoulement :

Il est donné par : $Me = A_0 / T$ (I.27)

A_0 : Apport moyen annuel (mm).

T : Temps d'une année en secondes. $T = 3,1536 \cdot 10^7$ s

$$Me=429 \text{ l/s}$$

B - Module de l'écoulement relatif :

$$\text{On a: } M_0 = M_e / S \dots \quad (I.28)$$

Me: Module de l'écoulement (l/s)

S : Superficie du bassin (Km^2).

$$M_0 = 0.552 \text{ l/s/Km}^2$$

C - Lame d'eau écoulée :

Le= 17.41 mm

D - Coefficient de l'écoulement :

Il est donné par : $C_e = L_e / P_{moy}$ (I.30)

Ce= 0.055

I.5.3. Les apports fréquentiels

Le calcul des apports fréquentiels se fait par l'ajustement de la série des apports

I.5.3.1. Ajustement de la série des apports à la loi log-normale

Tableau I.21 : résultat de l'ajustement à la loi log-normale

| Période de retour (ans) | Probabilité (q) | XT | Ecart type | Intervalle de confiance |
|-------------------------|-----------------|------|------------|-------------------------|
| 1000 | 0,999 | 105 | 35.1 | 36.4-174 |
| 500 | 0,998 | 89.7 | 28.2 | 34.4-145 |
| 200 | 0,995 | 71.5 | 20.6 | 31.1-112 |
| 100 | 0,99 | 59.3 | 15.8 | 28.3-90.4 |
| 50 | 0,98 | 48.4 | 11.8 | 25.2-71.5 |
| 20 | 0,95 | 35.6 | 7.55 | 20.8-50.4 |
| 10 | 0,9 | 27.1 | 5.05 | 17.2-37 |
| 5 | 0,8 | 19.5 | 3.12 | 13.4-25.6 |

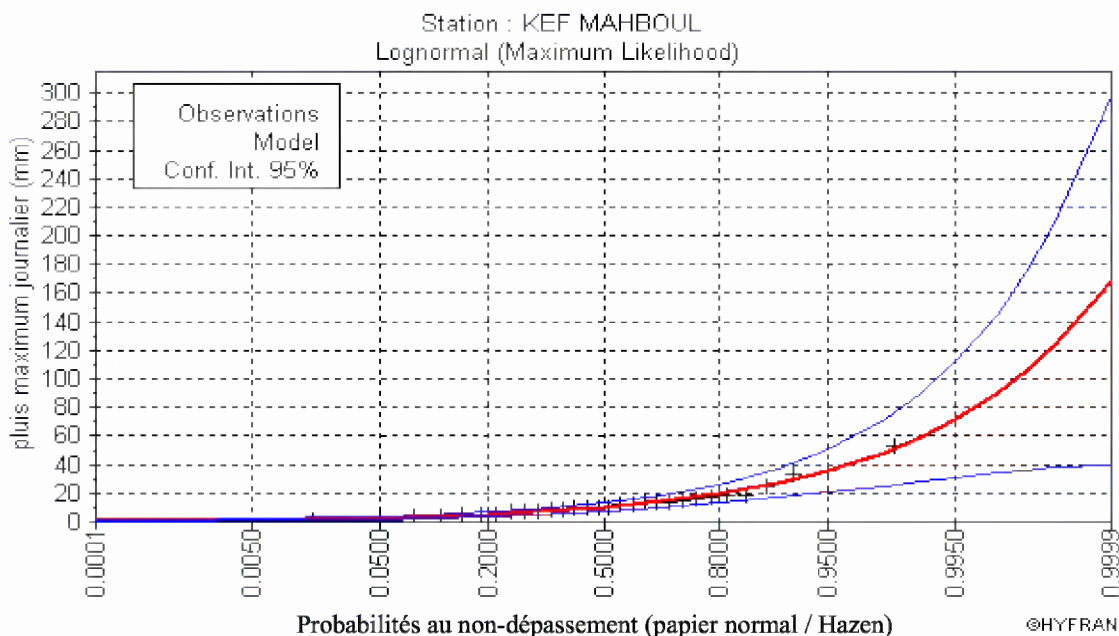


Figure I.15 : représentation graphique de la loi log-normale
Comparaison des caractéristiques de la loi log-normale et de l'échantillon :

| Paramètres | Caractéristiques de la loi | Caractéristiques de l'échantillon |
|----------------------------------|----------------------------|-----------------------------------|
| Minimum | 0.00 | 1.76 |
| Maximum | Aucun | 53.4 |
| Moyenne | 13.7 | 13.5 |
| Ecart-type | 11.9 | 11 |
| Médiane | 10.4 | 10.2 |
| Coefficient de variation (Cv) | 0.868 | 0.815 |
| Coefficient d'asymétrie (Cs) | 3.26 | 2.12 |
| Coefficient d'aplatissement (Ck) | 26.5 | 6.82 |

$$\text{Donc, } A_{80\%} = 19.5 \text{ Mm}^3$$

I.5.3.2. Répartition de l'apport moyen annuel estimé à une probabilité de 80%

La répartition mensuelle de l'apport moyen annuel suit la même répartition mensuelle des précipitations ; on a : $A_{80\%} = 19.5 \text{ Mm}^3$

Tableau I.22 : Répartition mensuelle de l'apport moyen annuel de fréquence 80%.

| Mois | Sep | Oct | Nov | Déc | Jan | Fév | Mars | Avr | Mai | Juin | Juil | Août | Total |
|--------------------------|------|------|------|------|-------|-------|-------|-------|------|------|------|------|-------|
| $A_{80\%} (\%)$ | 5,54 | 8,59 | 6,33 | 8,34 | 16,37 | 12,25 | 15,50 | 10,91 | 9,44 | 2,40 | 1,70 | 2,63 | 100 |
| $A_{80\%} (\text{Mm}^3)$ | 1.08 | 1.68 | 1.23 | 1.63 | 3.19 | 2.39 | 3.02 | 2.13 | 1.84 | 0.47 | 0.33 | 0.51 | 19.5 |

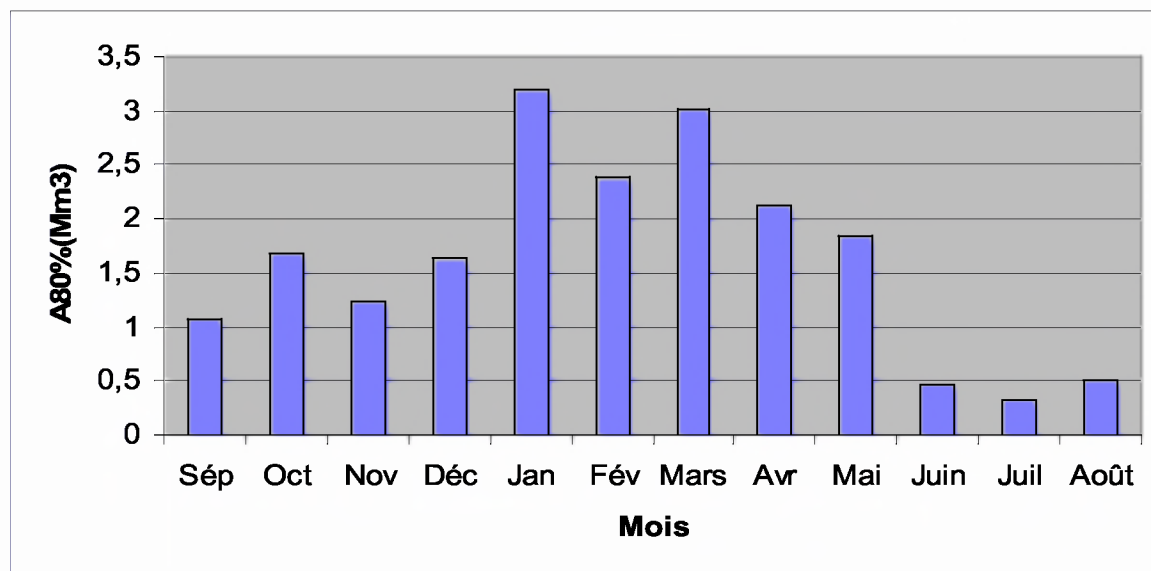


Figure I.16 : Répartition mensuelle des apports 80%

I.5.4. Apport solide et l'estimation du volume mort

Le manque des données de mesure du transport solide nous ramène à accepter toute méthode empirique qui nous permet l'ordre de grandeur acceptable de l'écoulement solide.

Ces apports solides dépendent de l'étendue du relief du bassin versant, de la résistance à l'érosion de sol, liée elle-même à la végétation par la présence des racines et à la nature géologique des roches et au régime des pluies et des températures. Tel que les eaux du cours d'eaux transportent les sédiments sous deux formes :

- ✓ en suspension
- ✓ par charriage

I.5.4.1 Apport solide en suspension

A - Formule de Tixeront :

Cette formule donne l'apport solide moyen annuel en suspension (en t/Km²/An), elle est exprimée par:

$$T_s = \alpha \cdot L_e^{0.15} \dots \dots \dots \quad (\text{I.31})$$

Ou:

T_s : apport solide moyen annuel en suspension (t/Km²/An).

L_e : lame d'eau écoulée. ($L_e = 17.41$ mm)

α : paramètre caractérisant la perméabilité du bassin versant, on prend, $\alpha = 70$.

S: superficie du bassin versant en Km².

$T_s = 107.45$ (t/Km²/An).

En tenant compte du poids spécifiques moyen des sédiments $\gamma = 1.5$ T/m³. Le volume annuel est

$$\text{exprimé comme suit : } V_s = \frac{T_s \cdot S}{\gamma} = 55644.77 \text{ m}^3/\text{an}$$

B - Formule de Sogreah:

α : paramètre caractérisant la perméabilité du bv ($\alpha = 70$).

P:pluie moyenne annuelle (en mm).

$$T_s = 165.87 \text{ (t/Km}^2\text{/An).}$$

$$V_s = \frac{T_a \cdot S}{\gamma} = 85898.54 \text{ m}^3/\text{an}$$

Tableau I.23 : Répartition de volume moyen annuel

| Formule | volume annuel moyen (m³/an) |
|-----------------|---|
| Tixeront | 55644.77 |
| Sogreah | 85898.54 |

Les valeurs finalement adoptées sont celle obtenue par la formule de Tixeront.

Le volume mort est égal au produit de l'écoulement moyen interannuel solide par le nombre d'années de la période

La garde d'envasement (période pendant laquelle la retenue est exploitable) est généralement calculée pour une période de 10 à 50 ans. Prenons 50 ans

$$V_{mort} = n \cdot V_s = 50.55644.77 = 2.78 Mm^3$$

V_m = 2.78 Mm³

I.5.4.2. Le transport solide par charriage

En général le transport solide par charriage est estimé en Algérie de (30 % à 40%) du transport solide en suspension, donc:

Le transport solide par charriage = 35% du transport solide en suspension

Donc, le transport solide par charriage = 0.97 Mm^3

Le volume mort total est estimé alors $V_m = 2.78 + 0.97 = 3.75 \text{ Mm}^3$

Donc, le volume mort estimé à 50 ans est :

$$V_m = 3.75 \text{ Mm}^3$$

I.6. Etude des crues:

Les crues sont des écoulements variables dans lesquels les débits atteignent des valeurs importantes. Leur étude a pour but de déterminer les Hydrogrammes de crues fréquentielles sur le bassin versant et de définir les débits maxima probables correspondants.

L'estimation des crues révèle une grande importance pour la sécurité de l'ouvrage à implanter.

Les paramètres définissant une crue sont :

- ✓ Le débit maximum (débit de pointe).
 - ✓ Le volume.
 - ✓ Le temps.
 - ✓ La forme (Hydrogramme de crues).

Pour la détermination du débit de pointe probable de la crue des différentes périodes de retour, en passant par l'ajustement de la série des débits maximaux à la loi de Gumbel.

La série des débits maximaux est représentée dans l'Annexe I.

Le tableau I.24 : donne les débits probables calculés.

Tableau I.24: Débits fréquentiels calculés :

| Période de retour | 5 | 10 | 20 | 50 | 100 | 1000 |
|----------------------------------|-----|-----|-----|-----|-----|------|
| $Q_{\max} (\text{m}^3/\text{s})$ | 167 | 215 | 260 | 320 | 364 | 511 |

I.6.1. Hydrogramme de crue :

I.6.1.1 Détermination des Hydrogramme de crues probables par la méthode de Sokolovski :

L'Hydrogramme de crue est une identité de la crue, il nous détermine ses caractéristiques principales qui sont:

- ✓ Le volume.
- ✓ La durée.
- ✓ Le débit maximum (débit de pointe).

Pour le tracé de l'Hydrogramme de crue, on doit suivre la méthode de Sokolovski qui le divise en deux parties non symétriques, calculées à partir des temps de montée et de la décrue

A - Pour le temps de la montée :

$$Q_{\text{montée}} = Q_{\max} \left(\frac{T}{T_m} \right)^2 \quad \dots \dots \dots \quad (\text{I.33})$$

$T_m = T_c$: Temps de montée.

B - Pour la décrue :

$$Q_{\text{déc.}} = Q_{\max} \left(\frac{T_d - T}{T_d} \right)^3 \quad \dots \dots \dots \quad (\text{I.34})$$

Avec :

Q_m : débit instantané de la montée (m^3/s) ;

Q_d : débit instantané de la décrue (m^3/s) ;

t_m : temps de la montée de la crue en heures ;

t_d : temps de la décrue en heures ;

Q_{\max} : débit maximum de la crue de fréquence considérée en (m^3/s) ;

x, y : Puissance des courbes ;

$x=2$ pour la montée de la crue.

$Y=3$ pour la décrue.

Pour les crues d'averses, c'est à dire les crues engendrées par la pluie, cette méthode prend :

✓ $t_m = t_c$ (pour les petits bassins versants), avec t_c est le temps de concentration du bassin versant (heures).

$$\checkmark \quad t_d = \delta t_m ;$$

Ou δ : coefficient de forme de l'Hydrogramme de crue, ($\delta = 4$; voir le Tableau I.25) ;
 $T_d = 4 \cdot 12.5 = 60$ heures ;

Tableau I.25 : Coefficient de forme de l'Hydrogramme de crue δ :

| Description du cours d'eau | Valeur de δ |
|--|--------------------|
| Petits cours d'eau et vallons dans des bassins versants dénudés et faiblement perméables. | 2,0 – 2,5 |
| Petits cours d'eau et vallons dans des bassins versants brisés ou perméables, moyens cours d'eau avec terrasses de lit majeur normales | 3,0 – 4,0 |
| Grands et moyens cours d'eau avec des terrasses de débordements étendues. | 4,0 – 7,0 |

Les Hydrogramme de crues pour différentes périodes de retour sont donnés par le tableau I.26 et la Figure (I.17)

Tableau I.26 : les valeurs de débits de crues en fonction de temps :

| temps (h) | periode de retour (ans) | | | | |
|-------------|-------------------------|----------------|----------------|----------------|----------------|
| | 10 | 20 | 50 | 100 | 1000 |
| 0 | 0,000 | 0,000 | 0,000 | 0,000 | 0,000 |
| 1 | 1,376 | 1,664 | 2,048 | 2,330 | 3,270 |
| 2 | 5,504 | 6,656 | 8,192 | 9,318 | 13,082 |
| 3 | 12,384 | 14,976 | 18,432 | 20,966 | 29,434 |
| 4 | 22,016 | 26,624 | 32,768 | 37,274 | 52,326 |
| 5 | 34,400 | 41,600 | 51,200 | 58,240 | 81,760 |
| 6 | 49,536 | 59,904 | 73,728 | 83,866 | 117,734 |
| 7 | 67,424 | 81,536 | 100,352 | 114,150 | 160,250 |
| 8 | 88,064 | 106,496 | 131,072 | 149,094 | 209,306 |
| 9 | 111,456 | 134,784 | 165,888 | 188,698 | 264,902 |
| 10 | 137,600 | 166,400 | 204,800 | 232,960 | 327,040 |
| 11 | 166,496 | 201,344 | 247,808 | 281,882 | 395,718 |
| 12 | 198,144 | 239,616 | 294,912 | 335,462 | 470,938 |
| 12.5 | 215,000 | 260,000 | 320,000 | 364,000 | 511,000 |
| 13 | 204,428 | 247,215 | 304,265 | 346,102 | 485,873 |
| 14 | 194,209 | 234,857 | 289,055 | 328,800 | 461,584 |
| 15 | 184,336 | 222,918 | 274,360 | 312,085 | 438,119 |
| 16 | 174,803 | 211,390 | 260,172 | 295,945 | 415,462 |
| 17 | 165,605 | 200,266 | 246,481 | 280,373 | 393,600 |
| 18 | 156,735 | 189,540 | 233,280 | 265,356 | 372,519 |
| 19 | 148,188 | 179,204 | 220,559 | 250,885 | 352,204 |
| 20 | 139,957 | 169,250 | 208,308 | 236,951 | 332,642 |
| 21 | 132,037 | 159,673 | 196,520 | 223,542 | 313,818 |
| 22 | 124,421 | 150,463 | 185,185 | 210,648 | 295,718 |
| 23 | 117,104 | 141,615 | 174,295 | 198,260 | 278,327 |
| 24 | 110,080 | 133,120 | 163,840 | 186,368 | 261,632 |
| 25 | 103,342 | 124,972 | 153,812 | 174,961 | 245,618 |
| 26 | 96,885 | 117,164 | 144,201 | 164,029 | 230,272 |

| | | | | | |
|----|--------|---------|---------|---------|---------|
| 27 | 90,703 | 109,688 | 135,000 | 153,563 | 215,578 |
| 28 | 84,790 | 102,536 | 126,199 | 143,551 | 201,523 |
| 29 | 79,139 | 95,703 | 117,788 | 133,984 | 188,093 |
| 30 | 73,745 | 89,180 | 109,760 | 124,852 | 175,273 |
| 31 | 68,602 | 82,960 | 102,105 | 116,145 | 163,049 |
| 32 | 63,704 | 77,037 | 94,815 | 107,852 | 151,407 |
| 33 | 59,044 | 71,403 | 87,880 | 99,964 | 140,333 |
| 34 | 54,618 | 66,050 | 81,292 | 92,469 | 129,813 |
| 35 | 50,418 | 60,971 | 75,041 | 85,360 | 119,832 |
| 36 | 46,440 | 56,160 | 69,120 | 78,624 | 110,376 |
| 37 | 42,677 | 51,609 | 63,519 | 72,252 | 101,431 |
| 38 | 39,122 | 47,310 | 58,228 | 66,235 | 92,983 |
| 39 | 35,771 | 43,258 | 53,240 | 60,561 | 85,018 |
| 40 | 32,616 | 39,443 | 48,545 | 55,220 | 77,521 |
| 41 | 29,653 | 35,860 | 44,135 | 50,203 | 70,478 |
| 42 | 26,875 | 32,500 | 40,000 | 45,500 | 63,875 |
| 43 | 24,276 | 29,357 | 36,132 | 41,100 | 57,698 |
| 44 | 21,850 | 26,424 | 32,521 | 36,993 | 51,933 |
| 45 | 19,592 | 23,693 | 29,160 | 33,170 | 46,565 |
| 46 | 17,495 | 21,156 | 26,039 | 29,619 | 41,580 |
| 47 | 15,553 | 18,808 | 23,148 | 26,331 | 36,965 |
| 48 | 13,760 | 16,640 | 20,480 | 23,296 | 32,704 |
| 49 | 12,111 | 14,645 | 18,025 | 20,504 | 28,784 |
| 50 | 10,599 | 12,817 | 15,775 | 17,944 | 25,190 |
| 51 | 9,218 | 11,148 | 13,720 | 15,607 | 21,909 |
| 52 | 7,963 | 9,630 | 11,852 | 13,481 | 18,926 |
| 53 | 6,827 | 8,256 | 10,161 | 11,559 | 16,227 |
| 54 | 5,805 | 7,020 | 8,640 | 9,828 | 13,797 |
| 55 | 4,890 | 5,914 | 7,279 | 8,279 | 11,623 |
| 56 | 4,077 | 4,930 | 6,068 | 6,903 | 9,690 |
| 57 | 3,359 | 4,063 | 5,000 | 5,688 | 7,984 |
| 58 | 2,731 | 3,303 | 4,065 | 4,624 | 6,492 |
| 59 | 2,187 | 2,645 | 3,255 | 3,702 | 5,198 |
| 60 | 1,720 | 2,080 | 2,560 | 2,912 | 4,088 |
| 61 | 1,325 | 1,602 | 1,972 | 2,243 | 3,149 |
| 62 | 0,995 | 1,204 | 1,481 | 1,685 | 2,366 |
| 63 | 0,726 | 0,878 | 1,080 | 1,229 | 1,725 |
| 64 | 0,510 | 0,616 | 0,759 | 0,863 | 1,211 |
| 65 | 0,341 | 0,413 | 0,508 | 0,578 | 0,811 |
| 66 | 0,215 | 0,260 | 0,320 | 0,364 | 0,511 |
| 67 | 0,124 | 0,150 | 0,185 | 0,211 | 0,296 |
| 68 | 0,064 | 0,077 | 0,095 | 0,108 | 0,151 |
| 69 | 0,027 | 0,033 | 0,040 | 0,046 | 0,064 |
| 70 | 0,008 | 0,010 | 0,012 | 0,013 | 0,019 |
| 71 | 0,001 | 0,001 | 0,001 | 0,002 | 0,002 |
| 72 | 0,000 | 0,000 | 0,000 | 0,000 | 0,000 |

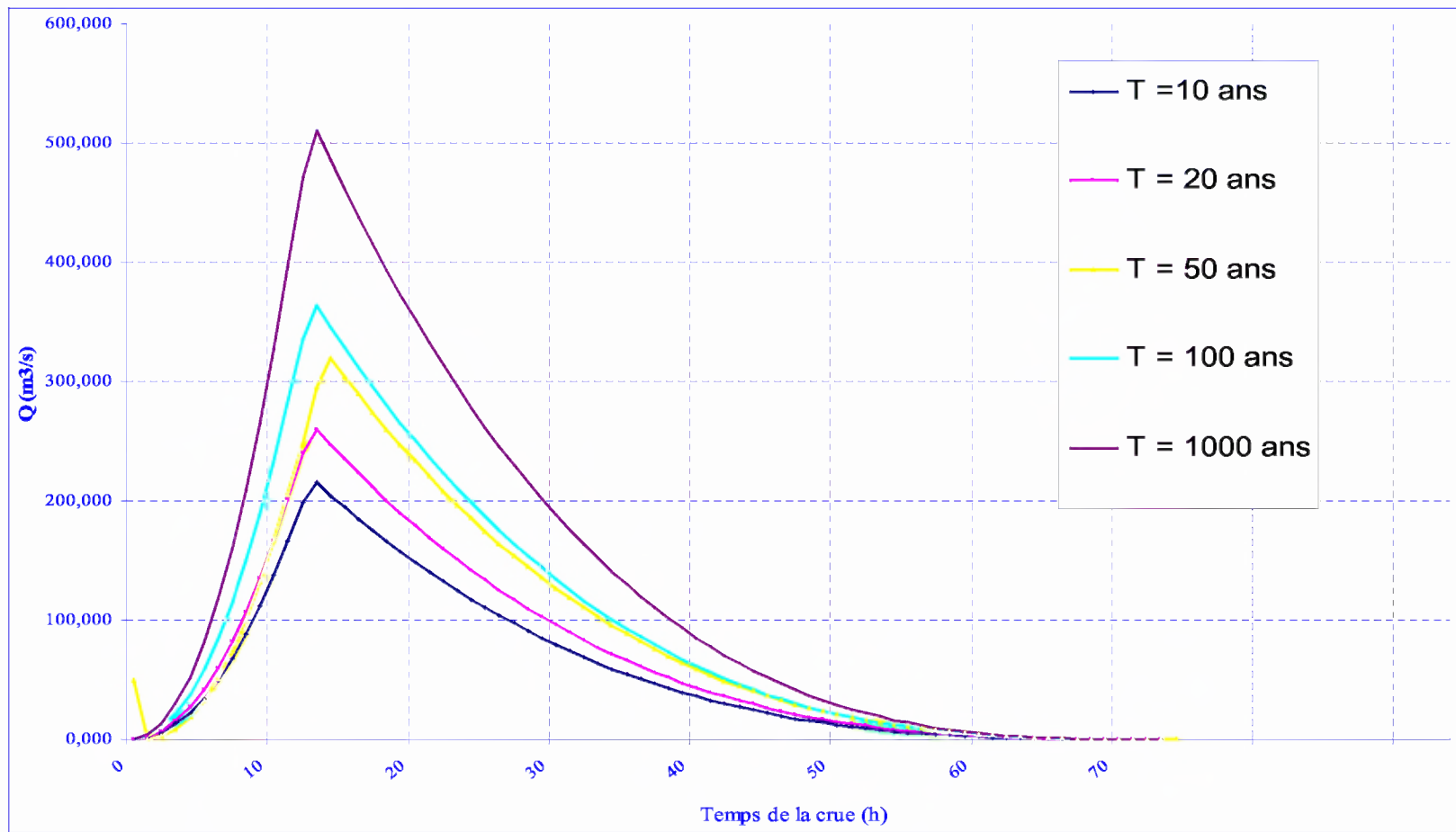


Figure I.17 : L'Hydrogramme des crues probables en fonction de temps (par SOKOLOVSKY)

I.6.2 Choix de la crue de projet

La crue de projet est la crue maximale que l'ouvrage doit être capable d'évacuer pour une probabilité donnée.

Le choix de la crue de ce projet dépend essentiellement de l'importance de l'ouvrage à réaliser, des conséquences qui peuvent être causées à l'aval et des considérations technico-économiques liées à l'aménagement et à l'environnement.

Rappelons qu'une petite submersion d'un barrage en terre engendre la rupture totale de celui-ci, contrairement aux barrages en béton ou en peut faire des réparations lors d'un passage d'une crue exceptionnelle.

Rappelons aussi que pour la détermination de la crue de projet il existe deux approches:

- ✓ l'approche déterministe qui est basé sur l'observation et l'historique.
- ✓ l'approche probabiliste qui est basé sur la statique.

La précision entre le débit et la fréquence dépend essentiellement de :

- ✓ la qualité et la quantité des données.
- ✓ la précision
- ✓ la bonne estimation.

Autrement dit, il s'agit de chercher un compromis optimum entre l'aspect économique de la construction et les risques des crues à l'aval.

Alors, pour son estimation nous nous reportons aux recommandations du Comité Australien des Grands Barrages.

Crue de projet recommandée

| Catégories des dommages | | Crue de projet recommandé de probabilité de dépassement annuelle |
|-------------------------|--|--|
| Elevés | - Perte de vie -Dommage considérable | 1/100000 à 1/10000 |
| Importants | -Pas de perte de vie -Dommages importants | 1/10000 à 1/1000 |
| Faibles | -Pas de perte de vie -Dommages légers | 1/1000 à 1/100 |

Selon les directives suisses, la crue de projet est déterminée pour une période de retour de 1000 ans.
Donc pour un débit qui vaut $Q_{0.1\%} = 511 \text{ (m}^3/\text{s)}$

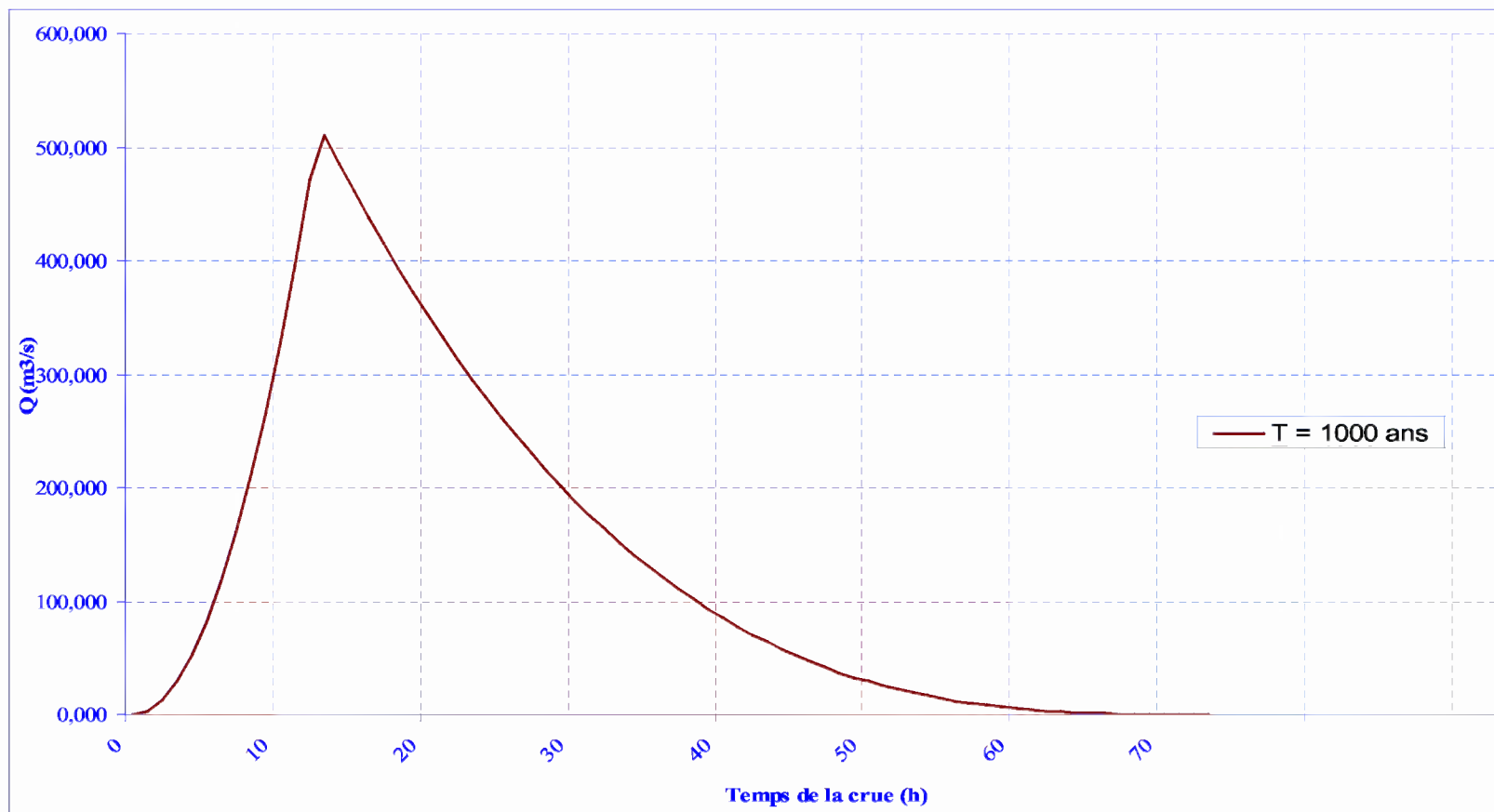


Figure I.18 : L'Hydrogramme de la crue de projet à une période de retour 1000 ans

I.6.3 Choix de la crue de chantier :

La crue présente l'une des phases des régimes d'un cours d'eau, elle se caractérise par des débits et des niveaux d'eau élevés, les crues résultant de la fonte des neiges et à partir d'averses des pluies intenses.

Pour dimensionner l'ouvrage de dérivation, il faut faire un choix du niveau de protection que l'on veut accorder au chantier contre les crues, le choix de la crue dépend du degré de risque admis.

En cas de dépassement de celle-ci, il intervient sur les dégâts qui peuvent être provoqués par une crue au cours de réalisation ; sur le coût de l'ouvrage de dérivation, sur la durée d'exécution de l'aménagement et sur sa durée de vie.

Une sous-évaluation du débit maximal entraîne la destruction de l'ouvrage de dérivation, une surévaluation entraîne un coût de réalisation élevé de l'ouvrage. La fréquence du débit maximal attribuée à chaque ouvrage dépend de son importance et du degré de sécurité. La protection contre la crue est obtenue par un amortissement de celle-ci par un batardeau tandis que l'ouvrage de dérivation proprement dit n'est dimensionné que pour une fraction de débit de pointe de la crue.

Les barrages en remblai sont souvent protégés contre les crues ciquantennales ou même centennales, mais dans notre pays, l'ouvrage de dérivation est souvent dimensionné contre les crues dont la période de retour varie entre 10 et 50 ans. Et d'une autre part lorsque le batardeau est inclus dans la digue on peut lui attribuer une petite surélévation car il va être un ouvrage permanent par la suite, par contre si le batardeau est indépendant de la digue la il faut chercher la solution la plus économique puisque le batardeau est mis provisoirement

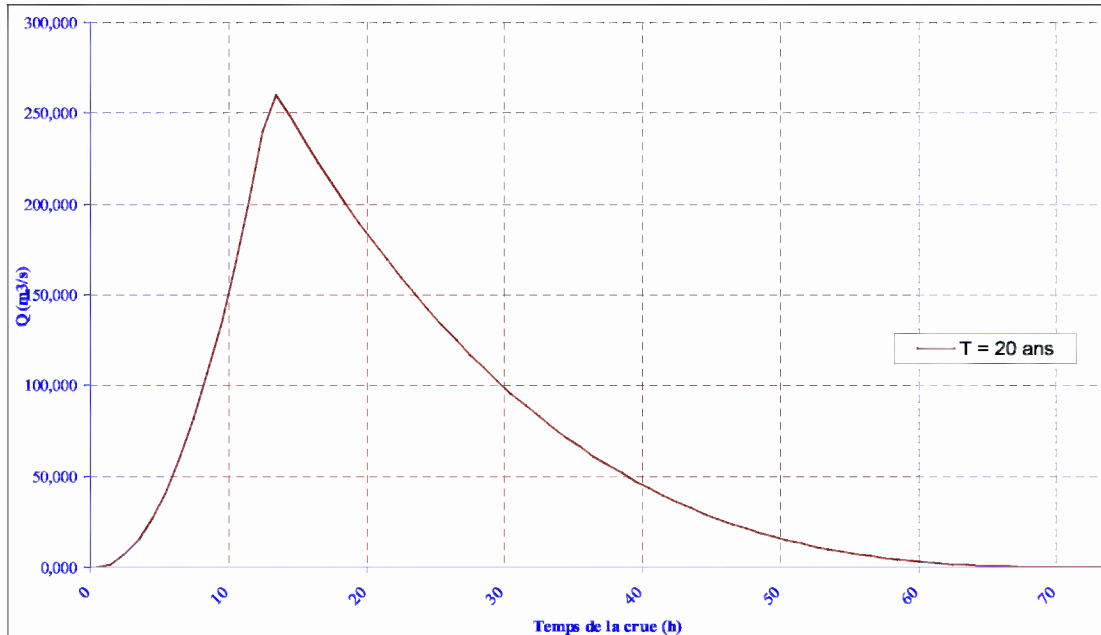


Figure I.19 : L'Hydrogramme de la crue de chantier

Donc vu toutes ces exigences je vais choisir la crue (20 ans) pour la conception des ouvrages de dérivation et prises d'eau.

$$Q_{2\%} = 260 \text{ m}^3/\text{s}$$

I.7 Régularisation

L'étude de régularisation d'un barrage sur l'Oued Taht a pour objectif la détermination du volume de la réserve utile ainsi le niveau correspondant.

Différents types de régularisation sont utilisés :

- ✓ La régularisation saisonnière.
- ✓ La régularisation interannuelle.

-La régularisation saisonnière est effectuée lorsque les apports sont supérieurs à la demande.

-La régularisation interannuelle sera effectuée lorsque les apports sont inférieurs à la consommation, on stocke les eaux des saisons humides pour les restituer au cours des saisons sèches.

Les paramètres générant le calcul de la régularisation sont :

- ✓ L'apport ($A_{80\%}$ en $M m^3$).
- ✓ La consommation totale ($M m^3$).
- ✓ Les infiltrations et l'évaporation
- ✓ Les courbes caractéristiques de la retenue

I.7.1. Répartition mensuelle de l'apport 80%

Tableau I.27 : La répartition mensuelle de l'apport 80% est donnée dans le tableau suivant

| Mois | Sép | Oct | Nov | Déc | Jan | Fév | Mars | Avr | Mai | Juin | Juil | Août |
|------------------|------|------|------|------|-------|-------|-------|-------|------|------|------|------|
| $A_{80\%} (%)$ | 5,54 | 8,59 | 6,33 | 8,34 | 16,37 | 12,25 | 15,50 | 10,91 | 9,44 | 2,40 | 1,70 | 2,63 |
| $A_{80\%}(Mm^3)$ | 1.08 | 1.68 | 1.23 | 1.63 | 3.19 | 2.39 | 3.02 | 2.13 | 1.84 | 0.47 | 0.33 | 0.51 |

I.7.2. Répartition mensuelle des besoins

Le dit barrage ayant comme vocation la fourniture d'eau potable, une répartition uniforme des besoins en eau est présumée pour les douze mois de l'année c'est-à-dire pour une demande totale annuelle de $10.44 Mm^3$, la demande mensuelle est de $10.44/12$, soit $0.87 Mm^3$.

I.7.3. Courbes « Hauteurs -Capacités -Surface »

La cote minimale relevée est de 360m et la maximale de 1250m.

L'approximation des volumes a été faite selon l'expression :

$$\Delta V_i = \frac{S_i + S_{i+1}}{2} \Delta H \dots \dots \dots \text{(I.35)}$$

S_i : surface du plan d'eau correspondant à la courbe de niveau H_i en m^2

S_{i+1} : surface du plan d'eau correspondant à la courbe de niveau H_{i+1} en m^2

ΔH : Différence d'altitude entre les deux courbes de niveau successives

ΔV_i : Volume élémentaire compris entre deux courbes de niveau successives (m^3)

Le tableau donne les caractéristiques topographiques de la retenue.

Le tableau I.29 donne les coordonnées des courbes Hauteurs-Capacité-Surface.

Tableau I.29 : Courbes topographiques et volumétriques :

| cote (m) | S (Km ²) | S _{moy} | ΔH (m) | V _{part} Mm ³ | V _{cu} Mm ³ |
|----------|----------------------|------------------|--------|-----------------------------------|---------------------------------|
| 360 | *** | *** | 5 | 0,007 | 0,000 |
| 365 | 0,0021 | 0,01175 | 5 | 0,05875 | 0,007 |
| 370 | 0,0214 | 0,0498 | 5 | 0,249 | 0,066 |
| 375 | 0,0782 | 0,1417 | 5 | 0,7085 | 0,315 |
| 380 | 0,2052 | 0,38765 | 5 | 1,93825 | 1,023 |
| 385 | 0,5701 | 0,78765 | 5 | 3,93825 | 2,962 |
| 390 | 1,0052 | 1,31765 | 5 | 6,58825 | 6,900 |
| 395 | 1,6301 | 1,97165 | 5 | 9,85825 | 13,488 |
| 400 | 2,3132 | 2,67565 | 5 | 13,37825 | 23,346 |
| 405 | 3,0381 | | | | 36,725 |

Remarque : $\Delta V_1 = 2/3 \cdot S_1 \cdot \Delta H$

La représentation graphique des courbes topographiques et volumétriques est dans les figures (I.20 et I.22)

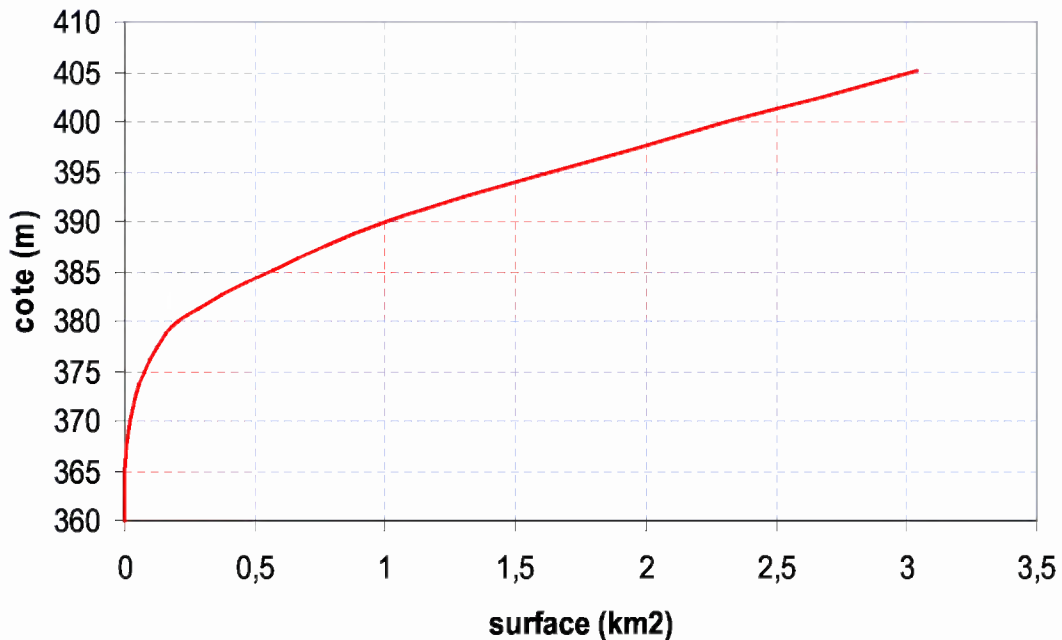


Figure I.20 : Courbes Surface - Hauteur

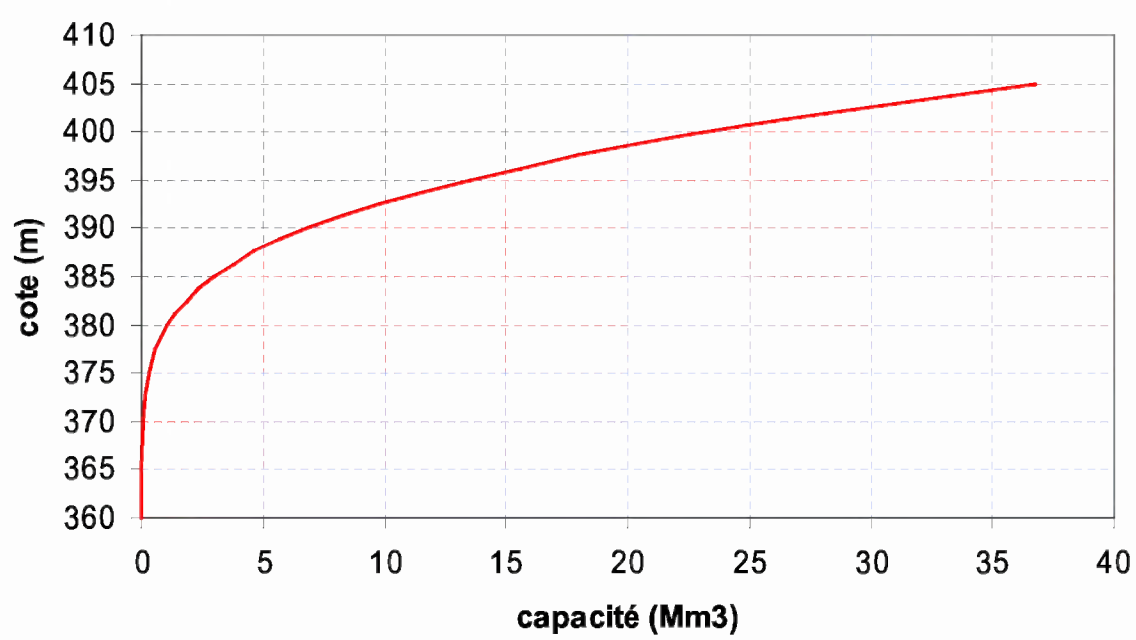


Figure I.20 : Courbes Capacité -Hauteur

I.7.4. Calcul du volume utile

Pour calculer le volume utile du barrage on a besoin de :

- ✓ L'apport annuel A80%.
- ✓ La consommation totale.
- ✓ Le volume mort de la retenue.

Le calcul de la régularisation est effectué en utilisant "la méthode du bilan d'eau".

- Procédé de calcul:

- ✓ Détermination de la période à bonne hydraulité.
- ✓ Détermination des périodes excédentaires et déficitaires sur un cycle hydrologique.
- ✓ Calcul des volumes excédentaires et déficitaires "Vs" et "Vd".
- ✓ Détermination du type de fonctionnement de la retenue et calcul du volume utile.

La période à bonne hydraulité est celle du mois de Septembre jusqu'au mois d'Août.

Les calculs se font comme suit : $Vrf = Vri + (W-U)$.

Avec :

Vrf : Volume de remplissage final

Vri : Volume de remplissage initial

S : Volume excédentaire à évacuer

I.7.4.1. Régularisation saisonnière sans tenir compte des pertes

La capacité utile détermine le niveau de remplissage possible de la retenue dans les conditions normale d'exploitation c'est-à-dire la cote au niveau normale de la retenue NNR

L'alternance de la période de remplissage ou de restitution s'appelle temps de fonctionnement, à ce dernier s'ajoutent les consignes d'exploitation qui sont au nombre de deux :

✓ 1^{ère} Consigne d'exploitation :

Elle consiste à remplir le barrage jusqu'au niveau normale de la retenue (NNR) lors des crues et à restituer après. L'excès d'eau est déversé par l'évacuateur de surface.

On fixe le niveau de remplissage initial et on détermine le remplissage final pour chaque mois en tenant compte du NNR et du niveau du volume mort NVM que l'en doit pas dépasser.

✓ 2^{ème} Consigne d'exploitation :

Cette consigne consiste à faire évacuer les eaux excédentaires à travers l'évacuateur de surface. Remplir et ensuite restituer au consommateur

Les résultats de calcul de la régularisation saisonnière sont donnés dans le tableau suivant :

Tableau I.30 Régularisation saisonnière sans tenir compte des pertes en (Mm³).

| Mois | A _{80%} | U _{80%} | A-U | 1 ^{ere} consigne | | | 2 ^{eme} consigne | | |
|------|------------------|------------------|-------|---------------------------|------|------|---------------------------|------|------|
| | | | | Vrf | Vri | S | Vrf | Vri | S |
| sep | 1,08 | 0,87 | 0,21 | 3,96 | 3,75 | 3,96 | 3,54 | 3,75 | 0,21 |
| | | | | | 3,96 | | | | |
| oct | 1,68 | 0,87 | 0,81 | 4,77 | 4,77 | 4,77 | 2,94 | 3,75 | 0,81 |
| | | | | | 4,77 | | | | |
| nov | 1,23 | 0,87 | 0,36 | 5,05 | 5,13 | 0,08 | 3,39 | 3,75 | 0,36 |
| | | | | | 5,05 | | | | |
| dec | 1,63 | 0,87 | 0,76 | 5,05 | 5,81 | 0,76 | 2,99 | 3,75 | 0,76 |
| | | | | | 5,05 | | | | |
| jan | 3,19 | 0,87 | 2,32 | 5,05 | 7,37 | 2,32 | 1,43 | 3,75 | 2,32 |
| | | | | | 5,05 | | | | |
| fev | 2,39 | 0,87 | 1,52 | 5,05 | 6,57 | 1,52 | 2,23 | 3,75 | 1,52 |
| | | | | | 5,05 | | | | |
| mar | 3,02 | 0,87 | 2,15 | 5,05 | 7,20 | 2,15 | 1,60 | 3,75 | 2,15 |
| | | | | | 5,05 | | | | |
| avr | 2,13 | 0,87 | 1,26 | 5,05 | 6,31 | 1,26 | 2,82 | 3,75 | 0,93 |
| | | | | | 5,05 | | | | |
| mai | 1,84 | 0,87 | 0,97 | 5,05 | 6,02 | 0,97 | 4,08 | 4,08 | |
| | | | | | 5,05 | | | | |
| juin | 0,47 | 0,87 | -0,40 | 4,65 | 4,65 | 5,05 | 5,05 | | |
| | | | | | 4,65 | | | | |
| juil | 0,33 | 0,87 | -0,54 | 4,11 | 4,11 | 4,65 | 4,65 | | |
| | | | | | 4,11 | | | | |
| aou | 0,51 | 0,87 | -0,36 | 3,75 | 3,75 | 4,11 | 4,11 | | |
| | | | | | 3,75 | | | | |
| | | | | | | 9,06 | 3,75 | 3,75 | 9,06 |

Du tableau (I.30) on a :

$$Vs = 10.36 \text{ Mm}^3$$

$$Vd = 1.30 \text{ Mm}^3$$

Donc: la retenue fonctionne à un seul temps.

$$Vs > Vd \quad \text{D'où : } Vu = Vd$$

$$Vu = 1.3 \text{ Mm}^3$$

Le volume de la retenue normale sera :

$$V_{NNR} = Vu + Vm \quad \dots \quad (\text{I.36})$$

$$V_{NNR} = 5.05 \text{ Mm}^3$$

I.7.4.2. Régularisation saisonnière (en tenant compte des pertes)

Les pertes dans la retenue sont à deux sortes :

- ✓ Pertes par évaporation.
- ✓ Pertes par infiltration.

A - Pertes par évaporation :

Le volume mensuel des pertes par évaporation est donné par :

$$V_{ep} = E_s \cdot S_{moy} \quad \dots \dots \dots \quad (I.37)$$

V_{ep} : volume perdu à cause de l'évaporation.

E_s : Evaporation mensuelle (m).

S_{moy} : Surface du plan d'eau correspond au volume moyen (V_{moy}).

$$V_{moy} : \text{volume moyen} \left[V_{moy} = \frac{V_{rf,i} + V_{rf,i+1}}{2} \right].$$

$V_{rf,i}$ et $V_{rf,i+1}$: les volumes de la retenue de deux mois successifs.

B - Pertes par infiltration:

Le volume mensuel des pertes par infiltration est donné par :

$$V_{inf} = \frac{\delta \cdot V_{moy}}{100} \quad \dots \dots \dots \quad (I.38)$$

V_{inf} : volume perdu à cause de l'infiltration.

δ : Coefficient qui dépendant des conditions hydrogéologiques de la cuvette

$$V_{moy} : \text{volume moyen} \left[V_{moy} = \frac{V_{rf,i} + V_{rf,i+1}}{2} \right]$$

$V_{rf,i}$ et $V_{rf,i+1}$: les volumes de la retenue de deux mois successifs

Le calcul des pertes est représenté dans le tableau suivant :

Tableau I.31 : Les volumes des pertes dans la retenue :

| Mois | V_{moy} (Mm ³) | S_{moy} (km ²) | E_s (m) | V_{ep} (Mm ³) | V_{inf} (Mm ³) | Pertes (Mm ³) |
|-----------|------------------------------|------------------------------|-----------|-----------------------------|------------------------------|---------------------------|
| Octobre | 3,8600 | 0,6540 | 0,0057 | 0,0037 | 0,0386 | 0,0423 |
| Novembre | 4,3650 | 0,7290 | 0,0039 | 0,0028 | 0,0437 | 0,0465 |
| Décembre | 4,9100 | 0,8000 | 0,0027 | 0,0022 | 0,0491 | 0,0513 |
| Janvier | 5,0500 | 0,8240 | 0,0020 | 0,0016 | 0,0505 | 0,0521 |
| Février | 5,0500 | 0,8240 | 0,0021 | 0,0017 | 0,0505 | 0,0522 |
| Mars | 5,0500 | 0,8240 | 0,0021 | 0,0017 | 0,0505 | 0,0522 |
| Avril | 5,0500 | 0,8240 | 0,0031 | 0,0026 | 0,0505 | 0,0531 |
| Mai | 5,0500 | 0,8240 | 0,0039 | 0,0032 | 0,0505 | 0,0537 |
| Juin | 5,0500 | 0,8240 | 0,0051 | 0,0042 | 0,0505 | 0,0547 |
| Juillet. | 4,8500 | 0,7940 | 0,0068 | 0,0054 | 0,0485 | 0,0539 |
| Août | 4,3800 | 0,7310 | 0,0076 | 0,0056 | 0,0438 | 0,0494 |
| Septembre | 3,9300 | 0,6450 | 0,0070 | 0,0045 | 0,0393 | 0,0438 |

Les résultats de calcul de la régularisation saisonnière avec des pertes sont donnés dans le Tableau (I.32) :ci-dessous

Tableau I.32: Régularisation saisonnière on tenant compte des pertes en (Hm^3).

| Mois | $A_{(80\%)}$ | $U_{(80\%)}$ | Pert Mm^3 | $A-(U+P)$ | 1 ^{ere} consigne | | | 2 ^e me consigne | | | |
|------|--------------|--------------|-----------------------|-----------|---------------------------|------|------|----------------------------|------|------|------|
| | | | | | Vrf | Vri | S | Vrf | Vri | S | |
| sept | 1,08 | 0,87 | 0,042 | 0,17 | 3,92 | 3,75 | | | 3,75 | | |
| oct | 1,68 | 0,87 | 0,046 | 0,76 | | 3,92 | | 3,58 | 3,75 | 0,17 | |
| nov | 1,23 | 0,87 | 0,051 | 0,31 | | 4,68 | 4,68 | | 2,99 | 3,75 | 0,76 |
| dec | 1,63 | 0,87 | 0,052 | 0,71 | | 4,99 | 4,99 | | 3,44 | 3,75 | 0,31 |
| jan | 3,19 | 0,87 | 0,052 | 2,27 | | 5,20 | 5,70 | 0,5 | 3,04 | 3,75 | 0,72 |
| fev | 2,39 | 0,87 | 0,052 | 1,47 | | 5,20 | 7,47 | 2,27 | 1,48 | 3,75 | 2,27 |
| mar | 3,02 | 0,87 | 0,053 | 2,10 | | 5,20 | 6,67 | 1,47 | 2,28 | 3,75 | 1,47 |
| avr | 2,13 | 0,87 | 0,054 | 1,21 | | 5,20 | 7,30 | 2,1 | 1,65 | 3,75 | 2,10 |
| mai | 1,84 | 0,87 | 0,055 | 0,92 | | 5,20 | 6,41 | 1,21 | 3,08 | 3,75 | 0,67 |
| juin | 0,47 | 0,87 | 0,054 | -0,45 | | 5,20 | 6,12 | 0,92 | 4,28 | 4,28 | |
| juil | 0,33 | 0,87 | 0,049 | -0,59 | | 4,75 | 4,75 | | 5,20 | 5,20 | |
| aou | 0,51 | 0,87 | 0,044 | -0,40 | | 4,16 | 4,16 | | 4,74 | 4,74 | |
| | | | | | | 3,75 | 3,75 | | 4,15 | 4,15 | |
| | | | | | | | | 8,47 | 3,75 | 3,75 | 8,47 |

Du tableau (I.32) : on a

$$V_s = 9.9 \text{ Mm}^3.$$

$$V_d = 1.45 \text{ Mm}^3.$$

Donc: la retenue fonctionne à un seul temps.

$V_s > V_d$ D'où : $V_u' = V_d$

$$V_u' = 1.45 \text{ Mm}^3$$

Le volume normal de la retenue sera : $V_{NNR} = V_u' + V_m$

$$V_{NNR} = 5.2 \text{ Mm}^3$$

Nous avons :

$$E = (V_u' - V_u) / V_u' = (1.45 - 1.3) / 1.45 = 10.34\% > 2\% \quad \text{Alors on refait les calculs}$$

Le calcul des pertes est représenté dans le tableau suivant :

Tableau I.33 : Les volumes des pertes dans la retenue :

| Mois | V_{moy} (Mm³) | S_{moy} (km²) | Es (m) | Vep (Mm³) | Vinf (Mm³) | Pertes (Mm³) |
|------------------|---|---|---------------|-----------------------------|------------------------------|--------------------------------|
| Octobre | 3,8400 | 0,6510 | 0,0057 | 0,0037 | 0,0384 | 0,0476 |
| Novembre | 4,3000 | 0,7190 | 0,0039 | 0,0028 | 0,0430 | 0,0558 |
| Décembre | 4,8400 | 0,7930 | 0,0027 | 0,0021 | 0,0484 | 0,0505 |
| Janvier | 5,1000 | 0,8190 | 0,0020 | 0,0016 | 0,0510 | 0,0526 |
| Février | 5,2000 | 0,8300 | 0,0021 | 0,0017 | 0,0520 | 0,0537 |
| Mars | 5,2000 | 0,8300 | 0,0021 | 0,0017 | 0,0520 | 0,0537 |
| Avril | 5,2000 | 0,8300 | 0,0031 | 0,0026 | 0,0520 | 0,0546 |
| Mai | 5,2000 | 0,8300 | 0,0039 | 0,0032 | 0,0520 | 0,0552 |
| Juin | 5,2000 | 0,8300 | 0,0051 | 0,0042 | 0,0520 | 0,0562 |
| Juillet. | 4,9800 | 0,8070 | 0,0068 | 0,0055 | 0,0498 | 0,0657 |
| Août | 4,4600 | 0,7430 | 0,0076 | 0,0056 | 0,0446 | 0,0502 |
| Septembre | 3,9600 | 0,6680 | 0,0070 | 0,0047 | 0,0396 | 0,0518 |

Les résultats de calcul de la régularisation saisonnière avec pertes sont donnés dans le tableau (I.34)

Tableau I.34 : Régularisation saisonnière en tenant compte des pertes en (Mm³).

| Mois | A(80%) | U20% | Pert Mm³ | A-(U+P) | 1ere consigne | | | 2eme consigne | | |
|-------------|---------------|-------------|----------------------------|----------------|----------------------|------------|----------|----------------------|------------|----------|
| | | | | | Vrf | Vri | S | Vrf | Vri | S |
| sept | 1,08 | 0,87 | 0,048 | 0,16 | 3,91 | 3,75 | | | 3,75 | |
| | | | | | | 3,91 | | 3,59 | 3,75 | 0,16 |
| oct | 1,68 | 0,87 | 0,056 | 0,75 | 4,66 | 4,66 | | 3,00 | 3,75 | 0,75 |
| | | | | | | 4,97 | 4,97 | | 3,44 | 3,75 |
| nov | 1,23 | 0,87 | 0,051 | 0,31 | 5,22 | 5,68 | 0,46 | 3,04 | 3,75 | 0,71 |
| | | | | | | 5,22 | 7,49 | 2,27 | 1,48 | 3,75 |
| dec | 1,63 | 0,87 | 0,053 | 0,71 | 5,22 | 6,69 | 1,47 | 2,28 | 3,75 | 1,47 |
| | | | | | | 5,22 | 7,32 | 2,10 | 1,65 | 3,75 |
| jan | 3,19 | 0,87 | 0,054 | 2,27 | 5,22 | 6,42 | 1,20 | 3,10 | 3,75 | 0,65 |
| | | | | | | 5,22 | 6,13 | 0,91 | 4,30 | 4,30 |
| fev | 2,39 | 0,87 | 0,054 | 1,47 | 4,75 | 4,75 | | 5,22 | 5,22 | |
| | | | | | | 4,75 | 4,16 | | 4,75 | 4,75 |
| mar | 3,02 | 0,87 | 0,055 | 2,10 | 3,75 | 3,75 | | 4,16 | 4,16 | |
| | | | | | | 3,75 | 3,75 | | 3,75 | 3,75 |
| avr | 2,13 | 0,87 | 0,055 | 1,20 | 8,43 | | | | | |
| | | | | | | | | | | |
| mai | 1,84 | 0,87 | 0,056 | 0,91 | 3,75 | | | | | |
| | | | | | | | | | | |
| juin | 0,47 | 0,87 | 0,066 | -0,47 | 4,16 | | | | | |
| | | | | | | | | | | |
| juil | 0,33 | 0,87 | 0,050 | -0,59 | 3,75 | | | | | |
| | | | | | | | | | | |
| aou | 0,51 | 0,87 | 0,052 | -0,41 | 8,43 | | | | | |
| | | | | | | | | | | |

Du tableau (I.34) : on a :

$$V_s = 9.88 \text{ Mm}^3.$$

$$Vd = 1.47 \text{ Mm}^3$$

Donc, la retenue fonctionne à un seul temps.

V_s>V_d D'ou : V_u=V_d

$$Vu''=1.47 \text{ Mm}^3$$

Nous avons :

$$E = (Vu'' - Vu) / Vu' = (1.47 - 1.45) / 1.47 = 1.36\% < 2\%$$

Donc le volume utile saisonnier est de **1.47 Mm³**

Le volume de la retenue normale sera : $V_{NNR} = Vu'' + Vm$

$$V_{\text{NNB}} = 5.22 \text{ Mm}^3$$

I.7.4.3. Régularisation interannuelle par la méthode Kristly-Menkel

Cette méthode est basée sur les caractéristiques de l'échantillon. Elle consiste à déterminer le déficit pendant des années sèches. Donc il faut disposer d'une série des débits moyens annuels exprimés en coefficient de débit $K_i = \frac{Q_i}{Q}$ et un coefficient de régularisation α .

Le volume interannuel dont la relation :

$$V_{\text{U}_{\text{int}}} = \beta_{\text{plur}} \cdot W_0 \quad \dots \quad (\text{I.40})$$

P Flin
Avec

α : Coefficient de régularisation

$K_{p\%}$: Coefficient de l'hydraulicité

Avec : Cv : Coefficient de variation

EP%: la probabilité en fonction de P% et Cs

$$C_v^{(n)} = \frac{Cv}{\sqrt{n}} ; C_s^{(n)} = \frac{Cs}{\sqrt{n}}$$

Tableau I.35 : Régularisation interannuelle par la méthode Kristly-Menkel

| n | n ^{0.5} | Cv(n) | Cs(n) | F(n)p% | Kp% | Zp% | | |
|----|------------------|-------|-------|--------|-------|--------|--------|---------|
| | | | | | | α=0.8 | α=0.85 | α=0.9 |
| 1 | 1.000 | 0.815 | 1.630 | -0.810 | 0.340 | 0.460 | 0.510 | 0.560 |
| 2 | 1.414 | 0.576 | 1.153 | -0.850 | 0.510 | 0.580 | 0.680 | -1.020 |
| 3 | 1.732 | 0.471 | 0.941 | -0.850 | 0.600 | 0.600 | 0.750 | -1.800 |
| 4 | 2.000 | 0.408 | 0.815 | -0.850 | 0.654 | 0.586 | 0.786 | -2.615 |
| 5 | 2.236 | 0.364 | 0.729 | -0.850 | 0.690 | 0.549 | 0.799 | -3.451 |
| 6 | 2.449 | 0.333 | 0.665 | -0.850 | 0.717 | 0.497 | 0.797 | -4.303 |
| 7 | 2.646 | 0.308 | 0.616 | -0.850 | 0.738 | 0.433 | 0.783 | -5.167 |
| 8 | 2.828 | 0.288 | 0.576 | -0.850 | 0.755 | 0.359 | 0.759 | -6.041 |
| 9 | 3.000 | 0.272 | 0.543 | -0.850 | 0.769 | 0.278 | 0.728 | -6.922 |
| 10 | 3.162 | 0.258 | 0.515 | -0.850 | 0.781 | 0.191 | 0.691 | -7.809 |
| 11 | 3.317 | 0.246 | 0.491 | -0.850 | 0.791 | 0.098 | 0.648 | -8.702 |
| 12 | 3.464 | 0.235 | 0.471 | -0.850 | 0.800 | 0.000 | 0.600 | -9.600 |
| 13 | 3.606 | 0.226 | 0.452 | -0.850 | 0.808 | -0.102 | 0.548 | -10.502 |
| 14 | 3.742 | 0.218 | 0.436 | -0.850 | 0.815 | -0.208 | 0.492 | -11.408 |
| 15 | 3.873 | 0.210 | 0.421 | -0.850 | 0.821 | -0.317 | 0.433 | -12.317 |
| 16 | 4.000 | 0.204 | 0.408 | -0.850 | 0.827 | -0.429 | 0.371 | -13.229 |
| 17 | 4.123 | 0.198 | 0.395 | -0.850 | 0.832 | -0.544 | 0.306 | -14.144 |
| 18 | 4.243 | 0.192 | 0.384 | -0.850 | 0.837 | -0.661 | 0.239 | -15.061 |
| 19 | 4.359 | 0.187 | 0.374 | -0.850 | 0.841 | -0.780 | 0.170 | -15.980 |
| 20 | 4.472 | 0.182 | 0.364 | -0.850 | 0.845 | -0.902 | 0.098 | -16.902 |
| 21 | 4.583 | 0.178 | 0.356 | -0.850 | 0.849 | -1.025 | 0.025 | -17.825 |
| 22 | 4.690 | 0.174 | 0.348 | -0.850 | 0.852 | -1.151 | -0.051 | -18.751 |
| 23 | 4.796 | 0.170 | 0.340 | -0.850 | 0.856 | -1.278 | -0.128 | -19.678 |
| 24 | 4.899 | 0.166 | 0.333 | -0.850 | 0.859 | -1.406 | -0.206 | -20.606 |
| 25 | 5.000 | 0.163 | 0.326 | -0.850 | 0.861 | -1.536 | -0.286 | -21.536 |
| 26 | 5.099 | 0.160 | 0.320 | -0.850 | 0.864 | -1.668 | -0.368 | -22.468 |
| 27 | 5.196 | 0.157 | 0.314 | -0.850 | 0.867 | -1.800 | -0.450 | -23.400 |
| 28 | 5.292 | 0.154 | 0.308 | -0.850 | 0.869 | -1.934 | -0.534 | -24.334 |
| 29 | 5.385 | 0.151 | 0.303 | -0.850 | 0.871 | -2.069 | -0.619 | -25.269 |
| 30 | 5.477 | 0.149 | 0.298 | -0.850 | 0.874 | -2.206 | -0.706 | -26.206 |

D'après le tableau (I.35) on trouve : $\beta_{plur}=0.799$

$$V_{plur} = \beta_{plur} \cdot W_0 = 0.799 \cdot 13.512$$

$$V_{plur}=10.8 \text{ Mm}^3.$$

Donc, $V_{u_{int}} = V_s + V_{int} = 1.47 + 10.8$

$$V_{u_{int}}= 12.27 \text{ Mm}^3.$$

Le volume au niveau normal de la retenue est: $V_{NNR} = V_m + V_U$

$$V_{NNR}=16.02 \text{ Mm}^3$$

A partir de la courbe capacité – hauteur on tire le niveau normal du barrage :

$$\text{Niveau NNR} = 396.5 \text{ m.NGA}$$

I.8. Laminage des crues :

Le calcul du laminage des crues permet de réduire les dimensions et le coût de l'ouvrage d'évacuation sans affecter la sécurité globale de l'aménagement. Ce type de calcul optimise la capacité de stockage temporaire du barrage et le débit progressif de déversement en fonction de l'apport entrant de la crue, cette relation peut être formulée comme suit:

$$Q.dt = q.dt + S.dh \quad \dots \dots \dots \quad (I.43)$$

Avec:

Q : le débit entrant de la crue.

q: le débit déversé par l'évacuateur de crue.

S: la surface du plant d'eau de la cuvette.

Le débit cumulé à l'instant ‘t’ est:

Avec:

dh/dt : la vitesse de remplissage (ou de montée de la retenue).

Il existe plusieurs procédés de laminage, nous opterons pour les méthodes de Kotcherine, et celle de Hildenblate qui sont des méthodes grapho-analytique. Les résultats sont les suivants :

I.8.1. La méthode de KOCHERINE :

La méthode se base sur les principes suivants:

- ✓ l'Hydrogramme de crue est considérée comme un triangle ou un trapèze.
 - ✓ les débits transitant par l'évacuateur de crue se déversent selon une fonction linéaire.
 - ✓ le laminage commence avec le remplissage de la cuvette au niveau NNR;
 - ✓ les pertes par infiltration et évaporation sont concéderait comme nulles au moment de la crue.

Le débit d'évacuation est calculé d'après la formule suivante:

$$Q = mb\sqrt{2g} H^{\frac{3}{2}} \quad \dots \dots \dots \quad (I.45)$$

m: coefficient de débit dépend de la forme de déversoir m=0,49.

b: largeur du déversoir (m).

h: charge d'eau sur le déversoir dépend de la vitesse d'approche d'eau.

$$H_0 = H + \frac{\alpha V_0^2}{2\sigma} \quad \dots \quad (I.46)$$

H₀: charge globale

V_0 : vitesse d'approche d'eau déterminée d'abord dans le lit d'après la formule: $V_0 = \frac{Q}{S}$

Avec: $S = b \cdot H$

Tous les résultats sont rassemblés dans les tableaux ci après:

Tableau I.36 : Données de départ pour la méthode de KOTCHERINE :

| données | | Largeur (m) | Hauteur (m) | Débit (m^{3/s}) | Surface (m²) | Vitesse (m/s) | Wd (m³) |
|---------------------|-------------|------------------------|------------------------|------------------------------------|------------------------------------|--------------------------|-------------------------------|
| g | 9.81 | 10 | 0.5 | 7.674 | 5 | 1.5347 | 850000 |
| a | 1 | 15 | 1 | 32.556 | 15 | 2.1704 | 1700000 |
| 2.g | 19.62 | 20 | 1.5 | 79.747 | 30 | 2.6582 | 2650000 |
| 2. g ^{0.5} | 4.429446918 | 25 | 2 | 153.473 | 50 | 3.0695 | 3760000 |
| Q1% | 511 | 30 | 2.5 | 257.381 | 75 | 3.4317 | 4810000 |
| W1% | 36046800 | 35 | 3 | 394.726 | 105 | 3.7593 | 5930000 |
| m= | 0.49 | 40 | 3.5 | 568.470 | 140 | 4.0605 | 7190000 |
| | | 45 | 4 | 781.354 | 180 | 4.3409 | 8470000 |
| | | 50 | 4.5 | 1035.939 | 225 | 4.6042 | 9870000 |
| | | 55 | 5 | 1334.637 | 275 | 4.8532 | 11170000 |
| | | 60 | 5.5 | 1679.735 | 330 | 5.0901 | 12430000 |
| | | 65 | 6 | 2073.413 | 390 | 5.3164 | 13970000 |
| | | 70 | 6.5 | 2517.756 | 455 | 5.5335 | 15450000 |
| | | 75 | 7 | 3014.768 | 525 | 5.7424 | 16940000 |
| | | 80 | 7.5 | 3566.379 | 600 | 5.9440 | 18650000 |
| | | 85 | 8 | 4174.452 | 680 | 6.1389 | 19930000 |

On fait le calcul en variant la largeur (**b**) de (10 à 85m) selon la formule: $Q = mb\sqrt{2g} H^{\frac{3}{2}}$ les résultats sont donnés par les tableaux suivants:

Tableau I.37 : Détermination de H_0 et Q en fonction de b

| hauteur | vitesse | hauteur total | débit m3/s | | | | | | | | | | | | | | |
|---------|---------|---------------|------------|--------|--------|--------|--------|--------|--------|--------|--------|--------|--------|--------|--------|--------|--------|
| | | | m | m/s | m | b=10 | b=15 | b=20 | b=25 | b=30 | b=35 | b=40 | b=45 | b=50 | b=55 | b=60 | b=65 |
| 0.5 | 1.53 | 0.62 | 10.6 | 15.9 | 21.2 | 26.5 | 31.8 | 37.1 | 42.4 | 47.7 | 53.0 | 58.3 | 63.6 | 68.9 | 74.2 | 79.5 | 84.8 |
| 1 | 2.17 | 1.24 | 30.0 | 45.0 | 59.9 | 74.9 | 89.9 | 104.9 | 119.9 | 134.9 | 149.9 | 164.9 | 179.8 | 194.8 | 209.8 | 224.8 | 239.8 |
| 1.5 | 2.66 | 1.86 | 55.1 | 82.6 | 110.1 | 137.7 | 165.2 | 192.7 | 220.3 | 247.8 | 275.3 | 302.9 | 330.4 | 357.9 | 385.4 | 413.0 | 440.5 |
| 2 | 3.07 | 2.48 | 84.8 | 127.2 | 169.6 | 211.9 | 254.3 | 296.7 | 339.1 | 381.5 | 423.9 | 466.3 | 508.7 | 551.1 | 593.4 | 635.8 | 678.2 |
| 2.5 | 3.43 | 3.10 | 118.5 | 177.7 | 237.0 | 296.2 | 355.4 | 414.7 | 473.9 | 533.2 | 592.4 | 651.6 | 710.9 | 770.1 | 829.4 | 888.6 | 947.8 |
| 3 | 3.76 | 3.72 | 155.7 | 233.6 | 311.5 | 389.4 | 467.2 | 545.1 | 623.0 | 700.9 | 778.7 | 856.6 | 934.5 | 1012.3 | 1090.2 | 1168.1 | 1246.0 |
| 3.5 | 4.06 | 4.34 | 196.3 | 294.4 | 392.5 | 490.7 | 588.8 | 686.9 | 785.0 | 883.2 | 981.3 | 1079.4 | 1177.6 | 1275.7 | 1373.8 | 1472.0 | 1570.1 |
| 4 | 4.34 | 4.96 | 239.8 | 359.7 | 479.6 | 599.5 | 719.4 | 839.2 | 959.1 | 1079.0 | 1198.9 | 1318.8 | 1438.7 | 1558.6 | 1678.5 | 1798.4 | 1918.3 |
| 4.5 | 4.60 | 5.58 | 286.1 | 429.2 | 572.2 | 715.3 | 858.4 | 1001.4 | 1144.5 | 1287.5 | 1430.6 | 1573.7 | 1716.7 | 1859.8 | 2002.9 | 2145.9 | 2289.0 |
| 5 | 4.85 | 6.20 | 335.1 | 502.7 | 670.2 | 837.8 | 1005.3 | 1172.9 | 1340.4 | 1508.0 | 1675.6 | 1843.1 | 2010.7 | 2178.2 | 2345.8 | 2513.3 | 2680.9 |
| 5.5 | 5.09 | 6.82 | 386.6 | 579.9 | 773.2 | 966.5 | 1159.8 | 1353.1 | 1546.5 | 1739.8 | 1933.1 | 2126.4 | 2319.7 | 2513.0 | 2706.3 | 2899.6 | 3092.9 |
| 6 | 5.32 | 7.44 | 440.5 | 660.8 | 881.0 | 1101.3 | 1321.5 | 1541.8 | 1762.1 | 1982.3 | 2202.6 | 2422.8 | 2643.1 | 2863.3 | 3083.6 | 3303.9 | 3524.1 |
| 6.5 | 5.53 | 8.06 | 496.7 | 745.1 | 993.4 | 1241.8 | 1490.1 | 1738.5 | 1986.8 | 2235.2 | 2483.5 | 2731.9 | 2980.3 | 3228.6 | 3477.0 | 3725.3 | 3973.7 |
| 7 | 5.74 | 8.68 | 555.1 | 832.7 | 1110.2 | 1387.8 | 1665.3 | 1942.9 | 2220.4 | 2498.0 | 2775.6 | 3053.1 | 3330.7 | 3608.2 | 3885.8 | 4163.3 | 4440.9 |
| 7.5 | 5.94 | 9.30 | 615.6 | 923.5 | 1231.3 | 1539.1 | 1846.9 | 2154.7 | 2462.5 | 2770.4 | 3078.2 | 3386.0 | 3693.8 | 4001.6 | 4309.5 | 4617.3 | 4925.1 |
| 8 | 6.14 | 9.92 | 678.2 | 1017.3 | 1356.4 | 1695.5 | 2034.6 | 2373.8 | 2712.9 | 3052.0 | 3391.1 | 3730.2 | 4069.3 | 4408.4 | 4747.5 | 5086.6 | 5425.7 |

Tableau I.38 : Débits déversants en fonction de h et b et le volume de crue

| h | Vch | q | debit m3/s | | | | | | | | | | | | | | |
|-----|----------|-------|------------|--------|--------|--------|--------|--------|--------|--------|--------|--------|--------|--------|--------|--------|--------|
| | | | b=10 | b=15 | b=20 | b=25 | b=30 | b=35 | b=40 | b=45 | b=50 | b=55 | b=60 | b=65 | b=70 | b=75 | b=80 |
| 0.5 | 850000 | 499.0 | 10.6 | 15.9 | 21.2 | 26.5 | 31.8 | 37.1 | 42.4 | 47.7 | 53.0 | 58.3 | 63.6 | 68.9 | 74.2 | 79.5 | 84.8 |
| 1 | 1700000 | 486.9 | 30.0 | 45.0 | 59.9 | 74.9 | 89.9 | 104.9 | 119.9 | 134.9 | 149.9 | 164.9 | 179.8 | 194.8 | 209.8 | 224.8 | 239.8 |
| 1.5 | 2650000 | 473.4 | 55.1 | 82.6 | 110.1 | 137.7 | 165.2 | 192.7 | 220.3 | 247.8 | 275.3 | 302.9 | 330.4 | 357.9 | 385.4 | 413.0 | 440.5 |
| 2 | 3760000 | 457.7 | 84.8 | 127.2 | 169.6 | 211.9 | 254.3 | 296.7 | 339.1 | 381.5 | 423.9 | 466.3 | 508.7 | 551.1 | 593.4 | 635.8 | 678.2 |
| 2.5 | 4810000 | 442.8 | 118.5 | 177.7 | 237.0 | 296.2 | 355.4 | 414.7 | 473.9 | 533.2 | 592.4 | 651.6 | 710.9 | 770.1 | 829.4 | 888.6 | 947.8 |
| 3 | 5930000 | 426.9 | 155.7 | 233.6 | 311.5 | 389.4 | 467.2 | 545.1 | 623.0 | 700.9 | 778.7 | 856.6 | 934.5 | 1012.3 | 1090.2 | 1168.1 | 1246.0 |
| 3.5 | 7190000 | 409.1 | 196.3 | 294.4 | 392.5 | 490.7 | 588.8 | 686.9 | 785.0 | 883.2 | 981.3 | 1079.4 | 1177.6 | 1275.7 | 1373.8 | 1472.0 | 1570.1 |
| 4 | 8470000 | 390.9 | 239.8 | 359.7 | 479.6 | 599.5 | 719.4 | 839.2 | 959.1 | 1079.0 | 1198.9 | 1318.8 | 1438.7 | 1558.6 | 1678.5 | 1798.4 | 1918.3 |
| 4.5 | 9870000 | 371.1 | 286.1 | 429.2 | 572.2 | 715.3 | 858.4 | 1001.4 | 1144.5 | 1287.5 | 1430.6 | 1573.7 | 1716.7 | 1859.8 | 2002.9 | 2145.9 | 2289.0 |
| 5 | 11170000 | 352.7 | 335.1 | 502.7 | 670.2 | 837.8 | 1005.3 | 1172.9 | 1340.4 | 1508.0 | 1675.6 | 1843.1 | 2010.7 | 2178.2 | 2345.8 | 2513.3 | 2680.9 |
| 5.5 | 12430000 | 334.8 | 386.6 | 579.9 | 773.2 | 966.5 | 1159.8 | 1353.1 | 1546.5 | 1739.8 | 1933.1 | 2126.4 | 2319.7 | 2513.0 | 2706.3 | 2899.6 | 3092.9 |
| 6 | 13970000 | 313.0 | 440.5 | 660.8 | 881.0 | 1101.3 | 1321.5 | 1541.8 | 1762.1 | 1982.3 | 2202.6 | 2422.8 | 2643.1 | 2863.3 | 3083.6 | 3303.9 | 3524.1 |
| 6.5 | 15450000 | 292.0 | 496.7 | 745.1 | 993.4 | 1241.8 | 1490.1 | 1738.5 | 1986.8 | 2235.2 | 2483.5 | 2731.9 | 2980.3 | 3228.6 | 3477.0 | 3725.3 | 3973.7 |
| 7 | 16940000 | 270.9 | 555.1 | 832.7 | 1110.2 | 1387.8 | 1665.3 | 1942.9 | 2220.4 | 2498.0 | 2775.6 | 3053.1 | 3330.7 | 3608.2 | 3885.8 | 4163.3 | 4440.9 |
| 7.5 | 18650000 | 246.6 | 615.6 | 923.5 | 1231.3 | 1539.1 | 1846.9 | 2154.7 | 2462.5 | 2770.4 | 3078.2 | 3386.0 | 3693.8 | 4001.6 | 4309.5 | 4617.3 | 4925.1 |
| 8 | 19930000 | 228.5 | 678.2 | 1017.3 | 1356.4 | 1695.5 | 2034.6 | 2373.8 | 2712.9 | 3052.0 | 3391.1 | 3730.2 | 4069.3 | 4408.4 | 4747.5 | 5086.6 | 5425.7 |

La détermination de la largeur du déversoir ainsi que le débit correspondant se fait graphiquement après le traçage du graphe $Q_{lam} = f(h)$ déterminée par la formule:

$$Q_{lam} = Q_{\%} \left(1 - \frac{V_{ch}}{V_{cr}}\right) \quad \dots \quad (I.47)$$

$Q_{\%}$: débit maximum de crue considérée en m^3/s .

V_{ch} : volume de charge sur le déversoir déduit par la courbe capacité hauteur.

V_{cr} : volume de la crue correspondant au $Q_{\%}$ en m^3 .

$$V_{cr} = \frac{1}{2} q_{\%} T_b \quad \dots \quad (I.48)$$

T_b : temps global de la crue.

D'après le **tableau I.37**, on trace des courbes croissantes représentées dans la **Figure I.21** la courbe

$H=f(q, Q)$ nous permet de définir la largeur du déversoir optimal ainsi que le débit correspondant.

A travers le **tableau I.38**, on trace les courbes de variation des volumes déversés pour chaque largeur du déversoir puisque la courbe $V=f(q, Q)$ qui nous permet de faire le choix de la largeur du déversoir économique (Voir **Figure I.22**).

Pour choisir la largeur de déversoir la plus économique on doit faire une étude d'optimisation ou ce qu'on appelle une étude technico-économique qui nécessite la détermination des volumes de travaux pour chaque largeur du déversoir, et du remblai et du béton.

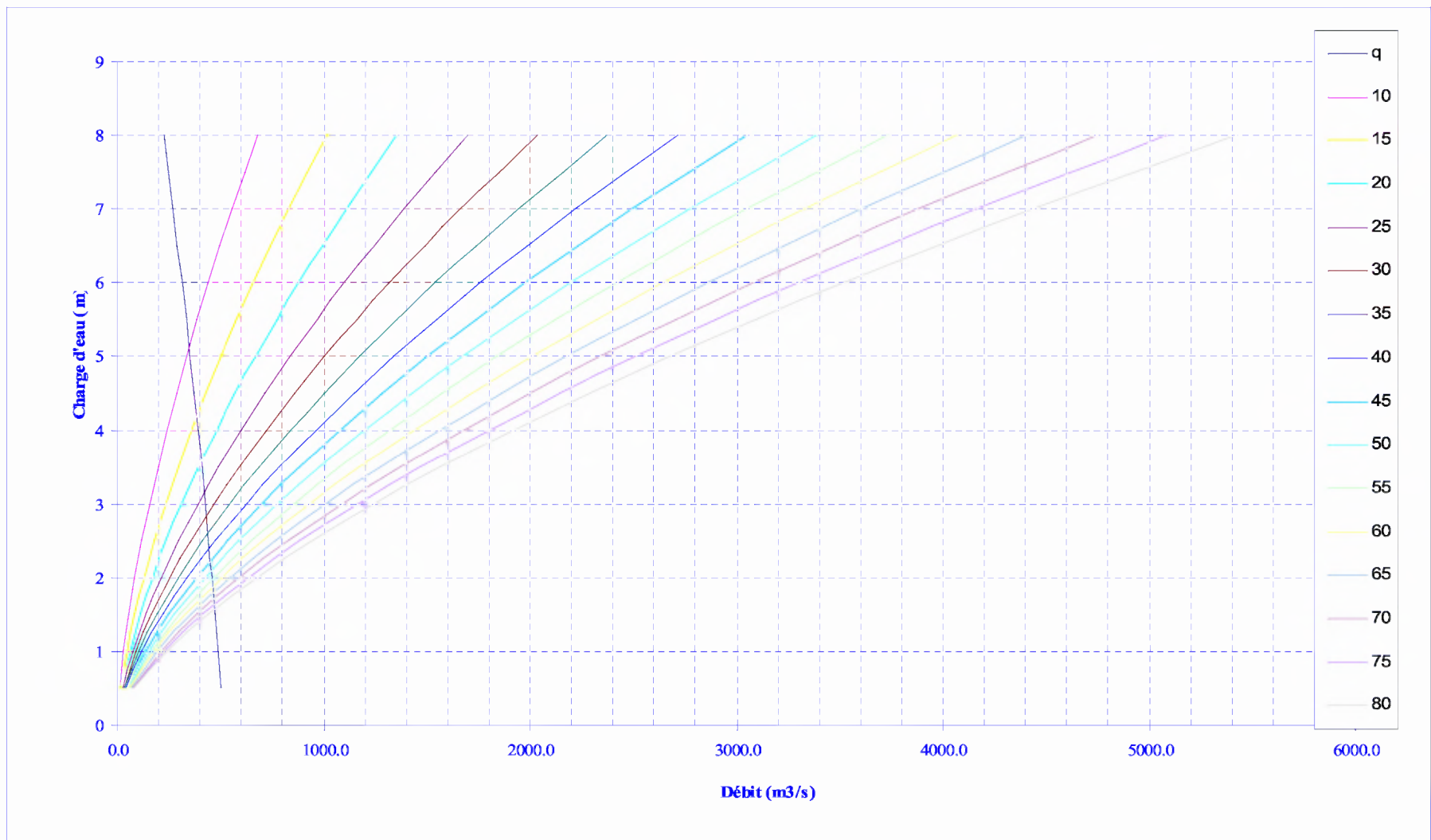


Figure I.20 : Courbes de $H = f(Q, q)$

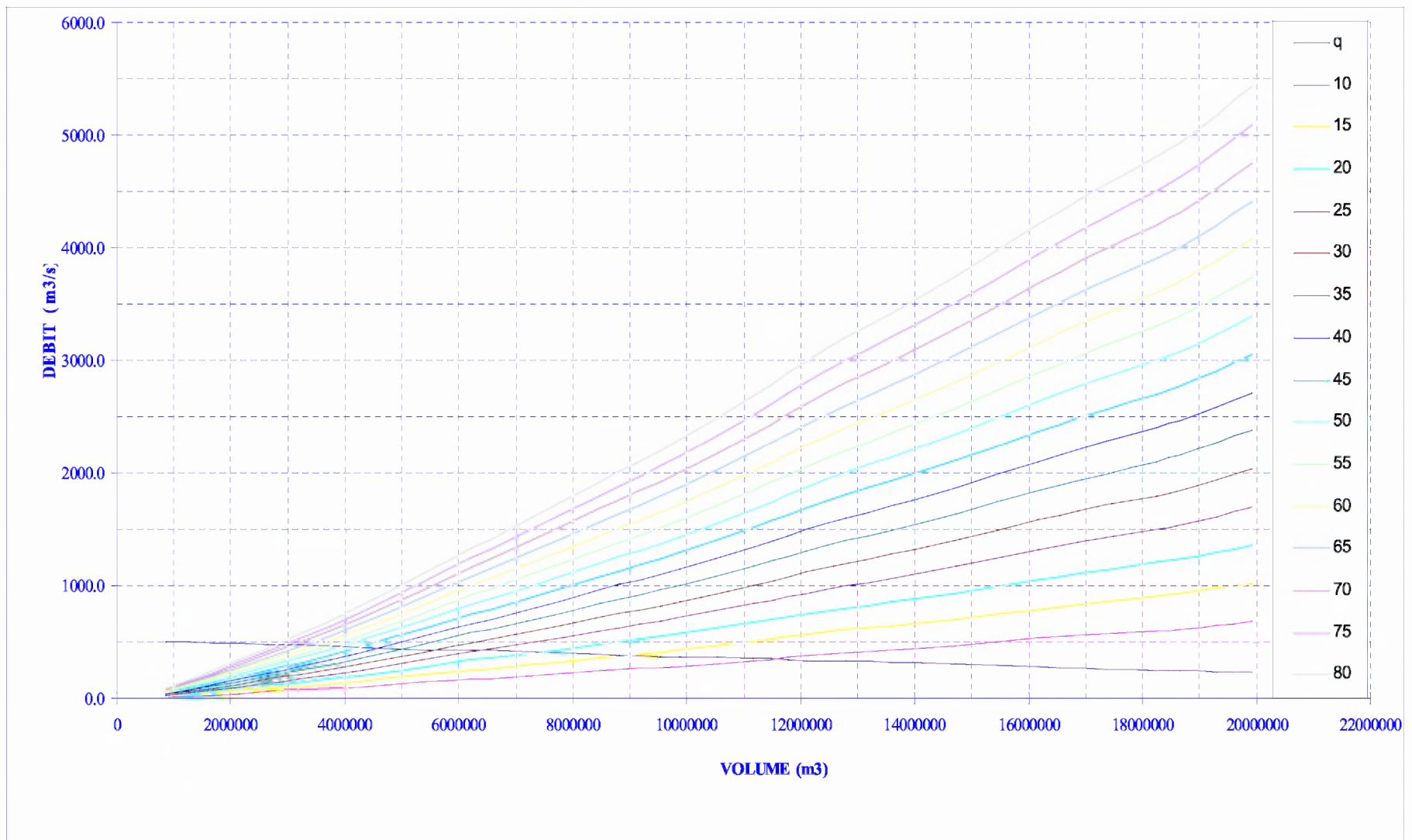


Figure I.21 : courbes $V=f(Q,q)$

I.9 Etude d'optimisation

Le but de l'étude d'optimisation est de déterminer la largeur optimale de l'évacuateur de crue correspondante à la hauteur optimale de la digue, afin d'obtenir le devis le plus économique de l'aménagement.

Le calcul consiste à évaluer le coût approximatif de l'ouvrage pour les différentes largeurs déversants correspondantes aux différentes hauteurs de la digue

I.9.1 La revanche

C'est la tranche comprise entre la crête du barrage et la cote des plus hautes eaux, elle est en fonction de la hauteur des vagues H , de la vitesse du vent U et de la vitesse de propagation des vagues V dans la retenue.

La revanche minimale est donnée par la relation suivante :

$$R = H + \frac{V^2}{2g} \quad \dots \quad (\text{I.49})$$

La hauteur des vagues H est estimé à l'aide des formules suivantes :

A - Formule de Stevenson :

$$H = 0.75 + 0.34 F^{0.5} - 0.26 F^{0.25} \quad \dots \quad (\text{I.50})$$

F : le Fetch $F = 1.2$ Km

B - Formule de Molitor :

$$H = 0.75 + 0.032 (U.F)^{0.5} - 0.27 F^{0.25} \quad \dots \quad (\text{I.51})$$

U : la vitesse du vent mesurée en Km/h ; $U = 8.75$ Km/h.

C - Formule de Mallet-paquant :

$$H = 0.5 + 0.33 (F)^{0.5} \quad \dots \quad (\text{I.52})$$

Tableau I.39 : La revanche.

| Formule | H (m) | V (m/s) | R (m) |
|----------------|-------|---------|-------|
| Stevenson | 1.14 | 3.78 | 1.87 |
| Molitor | 0.57 | 2.64 | 0.93 |
| Mallet-paquant | 0.86 | 3.22 | 1.39 |

La vitesse de propagation des vagues est donnée par la relation de Gaillard :

$$V = 1.5 + 2H \quad \dots \quad (\text{I.53})$$

H : hauteur des vagues (m).

$R = 2$ m est la valeur qui est considéré dans le dimensionnement du barrage

I.9.2 Le tassement :

On calcule le tassement d' après les formules suivantes :

- ✓ $T = 0.015 H_b$
- ✓ $T = 0.001 H_b^{3/2}$ Avec:

T : Tassement de la crête du barrage

H_b : Hauteur du barrage

Les tassements sont estimés de 0.5 m.

I.9.3 La largeur en crête :

La largeur du barrage près de son couronnement lorsque la retenue est plaine. Elle doit également permettre la circulation des engins pour la finition du barrage et les éventuels pour les eaux ultérieures.

Elle dépend de plusieurs facteurs et notamment des risques de tremblement de terre et de la longueur minimum du chemin d'infiltration qui assure un gradient hydraulique suffisamment faible à travers le barrage lorsque le réservoir est plein.

La largeur en crête peut être évaluée à l'aide des formules suivantes :

- ✓ Formule T.KNAPPEN $b = 1.65 H_b^{0.5}$ (I.54)
- ✓ Formule E.F.PREECE $b = 1.1 H^{0.5} + 1$ (I.55)
- ✓ Formule SIMPLIFIEE $b = 3.6 \cdot H^{1/3} - 3$ (I.56)

Les résultats de calcul selon les différentes relations sont récapitulés ci après:

Tableau I.40: Variation de la côte de la crête en fonction de la charge déversant.

| NNR | b (m) | H (m) | N _{PHE} (m) | q (m ³ /s) | V _{forsé} (m ³) | R (m) | Cote de la crête (m) | H _b (m) |
|-------|-------|-------|----------------------|-----------------------|--------------------------------------|-------|----------------------|--------------------|
| 396.5 | 10 | 8.00 | 404.50 | 228.50 | 19930000 | 2 | 406.50 | 46.50 |
| 396.5 | 15 | 7.50 | 404.00 | 246.60 | 18650000 | 2 | 406.00 | 46.00 |
| 396.5 | 20 | 7.00 | 403.50 | 270.90 | 16940000 | 2 | 405.50 | 45.50 |
| 396.5 | 25 | 6.50 | 403.00 | 292.00 | 15450000 | 2 | 405.00 | 45.00 |
| 396.5 | 30 | 6.00 | 402.50 | 313.00 | 13970000 | 2 | 404.50 | 44.50 |
| 396.5 | 35 | 5.50 | 402.00 | 334.80 | 12430000 | 2 | 404.00 | 44.00 |
| 396.5 | 40 | 5.00 | 401.50 | 352.70 | 11170000 | 2 | 403.50 | 43.50 |
| 396.5 | 45 | 4.50 | 401.00 | 371.10 | 9870000 | 2 | 403.00 | 43.00 |
| 396.5 | 50 | 4.00 | 400.50 | 390.90 | 8470000 | 2 | 402.50 | 42.50 |
| 396.5 | 55 | 3.50 | 400.00 | 409.10 | 7190000 | 2 | 402.00 | 42.00 |
| 396.5 | 60 | 3.00 | 399.50 | 426.90 | 5930000 | 2 | 401.50 | 41.50 |
| 396.5 | 65 | 2.50 | 399.00 | 442.80 | 4810000 | 2 | 401.00 | 41.00 |
| 396.5 | 70 | 2.00 | 398.50 | 457.70 | 3760000 | 2 | 400.50 | 40.50 |
| 396.5 | 75 | 1.50 | 398.00 | 473.40 | 2650000 | 2 | 400.00 | 40.00 |
| 396.5 | 80 | 1.00 | 397.50 | 486.90 | 1700000 | 2 | 399.50 | 39.50 |
| 396.5 | 85 | 0.50 | 397.00 | 499.00 | 850000 | 2 | 399.00 | 39.00 |

I.9.4 Calcul des coûts

Le calcul des coûts de matériaux effectué après détermination des volumes de remblais et du béton armé les résultats sont représentés dans le tableau I.43

Tableau I.43 : Calcul d'optimisation

| b (m) | Coûts évacuateur (10 ⁶ DA) | Coûts Digue (10 ⁶ DA) | Coût DIQUE + EVACUATEUR (10 ⁶ DA) |
|-------|--|-------------------------------------|---|
| 10 | 35.568 | 189.36 | 224.928 |
| 15 | 41.04 | 184.07 | 225.11 |
| 20 | 46.512 | 178.71 | 225.222 |
| 25 | 51.984 | 173.3 | 225.284 |
| 30 | 57.456 | 167.64 | 225.096 |
| 35 | 62.928 | 163.16 | 226.088 |
| 40 | 68.4 | 158.67 | 227.07 |
| 45 | 73.872 | 150.99 | 224.862 |
| 50 | 79.344 | 149.91 | 229.254 |
| 55 | 84.816 | 145.51 | 230.326 |
| 60 | 90.288 | 141.39 | 231.678 |
| 65 | 95.76 | 137.22 | 232.98 |
| 70 | 101.232 | 133.17 | 234.402 |
| 75 | 106.704 | 128.81 | 235.514 |
| 80 | 112.176 | 124.89 | 237.066 |
| 85 | 117.648 | 120.5 | 238.148 |

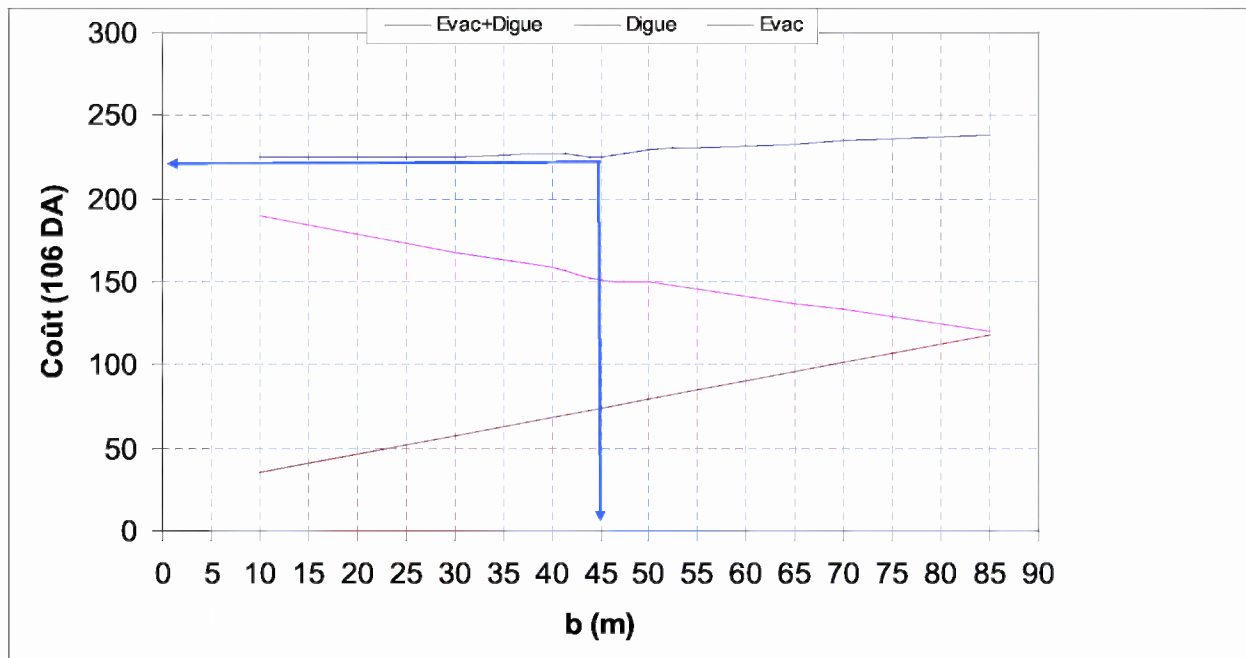


Figure I.22: la courbe d'optimisation des coûts en fonction de la largeur b de déversoir

Après avoir tracé la courbe d'optimisation de la digue et l'évacuateur de crue (respectivement les coûts en fonction de la hauteur) et au vu de cette figure, notre choix a été basé sur le coût total Optimal.

La courbe superposée des coûts totaux donne un point optimum correspondant à une largeur de déversoir optimale « $b = 45 \text{ m}$ » et une côte en crête optimale de la digue égale à 403 m NGA.

On récapitule les résultats de l'étude de la régularisation et du laminage des crues dans le tableau ci-dessous

Tableau I.44 : Tableau récapitulatif

| Dénomination | Unités | Valeurs |
|------------------|---------------|---------|
| Volume mort | Mm^3 | 3.75 |
| Volume utile | Mm^3 | 12.27 |
| Volume au NNR | Mm^3 | 16.02 |
| Cote du fond | m NGA | 360 |
| Cote NVM | m NGA | 386 |
| Cote NNR | m NGA | 396.5 |
| Cote NPHE | m NGA | 401 |
| Cote en crête | m NGA | 403 |
| Largeur en crête | m | 9 |

Conclusion

A la fin de ce chapitre j'ai pu déterminer tous les paramètres hydrologiques nécessaires pour la conception de notre barrage. Mais on constate les divergences entre les résultats obtenus et ceux de l'étude de faisabilité réalisée par ENHD. Cette divergence est due à plusieurs facteurs qui se rapportent aux méthodes de calcul et l'airs du concepteur.

Les causes principales de cette divergence dans les résultats sont comme suit:

- ✓ La différence entre les méthodes et formules utilisées dans les deux études.
- ✓ L'étendue de série pluviométrique.

En général la différence entre les résultats a influencé sur les dimensions de notre barrage, donc je vais redimensionner à nouveau tous les éléments constituant le barrage en tenant compte des nouvelles valeurs que j'ai obtenu dans cette étude.

Chapitre II :

Etude Des Variantes

Introduction

Les barrages en terre peuvent être constitués par des matériaux de caractéristiques très diverses à la différence des barrages en béton ou même en enrochement dont les matériaux constitutifs restent continus dans des fourchettes beaucoup plus étroites.

Le choix d'un axe et d'un type de barrage est étroitement lié. Dans certains cas, c'est l'axe qui, pour des raisons géologiques ou topographiques, est évident et qui commande le type de barrage, dans d'autres cas c'est le type de barrage qui s'impose par certaines contraintes prescrivant ainsi un axe préférentiel à l'ouvrage.

Le type d'ouvrage étant défini, il convient d'analyser les axes possibles pour la digue. Celui-ci dépend essentiellement de la géologie et de la topographie.

Le choix du type de digue à planter dépend essentiellement des études topographiques, géologiques, géotechniques et l'aspect technico-économique.

- ✓ L'étude topographique permet la localisation des axes probables sur le site.
- ✓ L'étude géologique donne un aperçu sur les formations géologiques des couches qui seront à la suite une future assise du barrage.
- ✓ L'étude géotechnique donne l'estimation de la quantité des matériaux disponibles tout autour du site et leurs caractéristiques.

La construction d'un barrage en matériaux disponibles aux alentours du site est le premier des choix à prendre en considération.

D'après les résultats des essais géotechniques, la capacité portante du massif des deux rives n'est pas très importante, le site ne s'y prête pas pour un grand barrage en béton.

Toutefois, pour notre cas où la digue dépasse les 40 m, il est impossible de réaliser un tel type d'ouvrage. D'où l'exclusion de la variante digue en béton.

De ce fait ; on pourra avoir les variantes suivantes :

- ✓ **Barrage en enrochements avec noyau en argile**
- ✓ **Barrage en terre homogène (en argile)**
- ✓ **Barrage en enrochement avec masque en béton**

A - Avantages des digues en terre :

- ✓ Utilisation du sol comme matériau local pour la construction de la digue.
- ✓ Possibilité d'utiliser n'importe quel sol.
- ✓ Possibilité de construire ces digues pratiquement dans toutes les régions géographiques.
- ✓ Possibilité de construire la digue avec n'importe quelle hauteur.
- ✓ Tous les procédés de construction sont mécanisés.

B - Inconvénients des digues en terre :

- ✓ Présence de l'écoulement souterrain dans le corps de la digue, qui crée les conditions de déformation du corps de la digue.
- ✓ Grandes pertes d'eau en cas d'utilisation des sols perméables.
- ✓ L'utilisation des dispositifs contre la filtration.

II.1. Le choix du site du barrage

L'axe du barrage est choisi sur la base de certaines conditions dictées par le critère économie, sécurité et facilité d'exécution de l'ouvrage.

En plus de la topographie, la géologie et l'hydrologie sont toujours prises en considération quant au choix de l'axe. En d'autres termes le choix de l'axe doit être conditionné par :

- ✓ La projection de l'axe doit être dans la mesure du possible perpendiculaire à la trajectoire du cours d'eau
- ✓ La projection de l'axe doit tenir compte de l'implantation des ouvrages annexes de l'aménagement
- ✓ L'axe choisi doit donner la longueur la plus courte possible

II.2. Le choix du type de barrage

Les principaux paramètres à prendre en considération dans le choix du type de barrage sont les suivants :

✓ La topographie du site:

La topographie consiste en premier lieu à vérifier si l'axe choisi autorise le remplissage de la retenue en fonction des apports du bassin versant. En second lieu, vérifier la possibilité d'implantation du barrage et de ces ouvrages annexes.

✓ La morphologie de la vallée :

Tout barrage est nécessairement lié à son environnement. La morphologie de la vallée joue un rôle important dans le choix du site du barrage et du type d'ouvrage le mieux adapté. Bien entendu, l'emplacement idéal et le plus économique est celui d'un site étroit, précédé à l'amont par un élargissement de la vallée, à condition que les appuis du barrage soient sains (resserrement indépendant d'une zone d'éboulement ou d'un glissement). Ce type de site est peu fréquent, soit parce qu'il n'existe pas toujours de resserrement de vallée dans la nature, soit parce que le choix du site n'obéit pas toujours aux seules considérations techniques.

En première approximation, une vallée large conviendra mieux à l'aménagement d'un barrage en remblai. Un site étroit conviendra aussi à un barrage poids et un site très étroit conviendra aussi à une voûte. Tout cela bien sûr sous réserve que les fondations le permettent.

✓ Les conditions géologiques et géotechniques :

La nature, la résistance, l'épaisseur, le pendage, la fracturation et la perméabilité des formations rencontrées au droit du site constituent un ensemble de facteurs souvent déterminants dans la sélection du type de barrage.

- Les fondations rocheuses se prêtent à l'édification de tous les types des barrages.
- Les fondations graveleuses conviennent en général pour les barrages en terre ou en enrochement, mais il faut toujours attribuer des dispositifs d'étanchéité et de drainage afin de contrôler les fuites et les percolations (Risque de Renard), et les tassements différentiels.
- Les fondations argileuses impliquent directement le choix des barrages en terre avec des pentes de talus compatibles avec les caractéristiques mécaniques des formations en place

✓ **Les matériaux de construction :**

La disponibilité sur le site, ou à proximité, de matériaux utilisables pour la construction d'un barrage a une incidence considérable, souvent même prépondérante sur le choix du type de barrage :

- sols utilisables en remblai ;
- enrochements pour remblai ou protection de talus (rip-rap) ;
- agrégats à béton (matériaux alluvionnaires ou concassés) ;
- liants (ciment, cendres volantes ...).

La possibilité d'extraire ces matériaux de l'emprise du barrage permet d'accroître la capacité de stockage. En outre, cela minimise généralement les coûts de transport et de remise en état des zones d'emprunts.

D'une manière générale, si l'on dispose de sols limoneux ou argileux de qualité et en quantité suffisante (1,5 à 2 fois le volume du remblai), la solution barrage en terre homogène ou pseudo-zoné en réservant les matériaux les plus grossiers en recharge aval - s'impose comme la plus économique, du moins tant que les débits de crue à évacuer demeurent modestes.

Si l'on dispose de matériaux imperméables en quantité limitée, et par ailleurs de matériaux grossiers ou d'enrochements, il est envisageable de construire un barrage en terre zoné ou en enrochements avec noyau. Cette solution présente l'inconvénient d'une mise en œuvre par zones, d'autant plus compliquée que le site est restreint et contrarie l'évolution des engins.

Si l'on ne dispose que de matériaux grossiers, ceux-ci peuvent être exploités pour édifier un remblai homogène, l'étanchéité étant assurée par une paroi au coulis construite après montée du remblai en son centre, ou par une étanchéité amont artificielle (béton, membrane ou béton bitumeux).

Si l'on ne dispose que d'enrochements, un barrage en enrochements compactés avec étanchéité rapportée sur le parement amont éventuellement adouci (membrane, masque en béton hydraulique ou béton bitumineux) conviendra. La solution béton, en particulier la solution BCR, peut également s'avérer compétitive, sous réserve de fondation suffisamment bonne (rocher ou terrain compact) ne nécessitant pas de fouilles excessives.

II.3. Les variantes à choisir

Pour le cas présent, les conditions topographiques, géotechniques, et géologiques du site permettent d'envisager un barrage en matériaux locaux, ce qui nous donne le choix de trois variantes :

A - Barrage en enrochements avec noyau en argile :

L'existence, juste aux environs du site (3 Km environ), d'un massif rocheux (dolomies) de bonne qualité et en quantité suffisante, ainsi que l'existence des matériaux argileux, dans la cuvette du barrage permettent d'envisager une telle alternative.

Entre le noyau et la recharge, il est prévu une couche de transition (filtre) constituée par un matériau granulaire sélectionné, qui sera obtenu des alluvions du lit de l'oued.

B - Barrage en terre homogène (en argile) :

L'existence des matériaux argileux adéquats, pour la réalisation d'une digue homogène, et en quantité suffisante dans la cuvette du barrage, juste à proximité de l'axe de la digue, permet d'envisager une telle alternative.

Le profil type sera constitué d'une recharge homogène d'argile et d'un dispositif de drainage efficace dans la partie aval de la digue composé d'un drain tapis assurant le drainage de la fondation et l'évacuation des eaux d'infiltration.

La protection du talus amont contre les vagues sera assurée par un rip-rap

Le talus aval sera protégé contre l'érosion par une couche d'enrochements de 30cm d'épaisseur disposé sur un filtre.

C - Barrage en enrochements avec masque en béton :

La réalisation d'un noyau étanche peut présenter des difficultés telles que manque de matériaux convenable, difficulté de mise en œuvre,....

- Le masque en béton est une paroi étanche plaqué sur le talus amont du barrage.
 - Le masque en béton présente l'avantage de pouvoir être réparé aisément, il est par contre plus exposé à l'agression extérieure mécanique, thermique, abrasivité.....etc.

II.4. Définition du profil général du barrage

II.4.1. Hauteur de barrage

II.4.1.1. Calcul de la revanche

C'est la tranche comprise entre la crête du barrage et la cote des plus hautes eaux, elle est en fonction de la hauteur des vagues H et de la vitesse du vent U . la vitesse de propagation des vagues V

La revanche minimale est donnée par la relation suivante :

La hauteur des vagues H est estimée à l'aide des formules suivantes :

A - Formule de Stevenson :

$$H = 0.75 + 0.34 \sqrt{F} - 0.26 \sqrt[4]{F} \quad \dots \dots \dots \quad (II.2)$$

F · le Fetch F = 1.2 Km

B - Formule de Molitor :

$$H = 0.75 + 0.032\sqrt{UF} - 0.274\sqrt{F} \quad \dots \quad (II.3)$$

U : la vitesse du vent mesurée en Km/h : $U = 8,75 \text{ Km/h}$

C - Formule de Mallet et Paquart :

$$H \equiv 0.5 \pm 0.33\sqrt{F} \quad (II.4)$$

$$R = 0.75H + \frac{V^2}{2g} \quad \dots \dots \dots \text{(II.5)}$$

D - Formule Simplifiée :

$$R = 1 + 0,3\sqrt{F} \quad \dots \quad (\text{II.6})$$

La vitesse de propagation des vagues est donnée par la relation de Gaillard :

$$V = 1.5 + 2H \quad \dots \quad (\text{II.7})$$

H : hauteur des vagues (en m).

Tableau II.1 : La revanche.

| Formule | H (m) | V (m/s) | R (m) |
|--------------------|-------|---------|-------|
| Stevenson | 1.14 | 3.78 | 1.87 |
| Molitor | 0.57 | 2.64 | 0.93 |
| Mallet et Paquant | 0.86 | 3.22 | 1.17 |
| Formule Simplifiée | - | - | 1.33 |

R= 2 m est la valeur qui est considérée dans le dimensionnement du barrage

Il est prudent d'adopter comme valeur minimale de la revanche de 1,00m à 2m pour les ouvrages de 10 à 20 m de hauteur, et pour notre cas on opte une valeur de **2 m**.

Donc :

$$H_b = NNR - C_f + h_{dév} + R + t \quad \dots \quad (\text{II.8})$$

On admet une valeur de $t = 0,5$ mètres pour le tassement du barrage

$$H_b = 396.5 - 360 + 4.5 + 2 + 0.5 = 43.5 \text{ m.}$$

II.4.2. Largeur en crête

Différentes formules sont utilisées pour le calcul de la largeur en crête :

A - Formule de KNAOPEN T :

$$b_{cr} = 1,65\sqrt{Hb} \quad \dots \quad (\text{II. 9})$$

B - Formule de E- F-PREECE :

$$b_{cr} = 1,10\sqrt{Hb} + 1 \quad \dots \quad (\text{II. 10})$$

C - Formule Anonyme:

$$b_{cr} = 3.6\sqrt[3]{H_b} - 3 \quad \dots \quad (\text{II.11})$$

D - Formule pratique :

$$b_{cr} = \left(\frac{5}{4}\right)\sqrt{H_b} \quad \dots \quad (\text{II.12})$$

Avec H_b : Hauteur du barrage [m];

Tableau II.2 : récapitulatif des résultats de calcul de largeur de crête.

| Formule | b_{crt} (m) |
|----------------|---------------|
| KNAPPEN | 10.68 |
| EF PREECE | 8.25 |
| Anonyme | 9.66 |
| PRATIQUE | 8.24 |
| MOYENNE | 9.0 |

On opte pour une largeur de crête égale à : $b_{crt} = 9 \text{ m.}$

II.4.3. La longueur en crête

La longueur en crête est tirée à partir du plan de l'aménagement qui égale à :
 $L = 130 \text{ m.}$

II.4.4. Pentes des talus

Les pentes des talus sont fixées par les conditions de stabilité mécanique du massif et de ses fondations.

Pour les massifs, on donne des pentes qui paraissent optimales, comme montre le tableau ci après :

Tableau II.3 : Valeurs indicatives des pentes des talus.

| Hauteur du barrage (m) | Type du barrage | Fruit des talus | |
|------------------------|----------------------------------|-----------------|------|
| | | Amont | Aval |
| H<5 | - Homogène | 2,5 | 2,0 |
| | - A zones | 2,0 | 2,0 |
| 5<H<10 | - Homogène granulométrie étendue | 2,0 | 2,0 |
| | - Homogène à fort % d'argile | 2,5 | 2,5 |
| | - A zones | 2,0 | 2,5 |
| 10<H<20 | - Homogène granulométrie étendue | 2,5 | 2,5 |
| | - Homogène à fort % d'argile | 3,0 | 2,5 |
| | - A zones | 3,0 | 3,0 |
| H >20 | - Homogène granulométrie étendue | 3,0 | 2,5 |
| | - A zones | 3,0 | 3,0 |

D'après le tableau qui donne les pentes des talus en fonction de la hauteur et de type de barrage .on choisit les pentes des talus, ce qui va être vérifié après calcul de la stabilité.

II.4.5 Les bermes

Pour des hauteurs dépassant les dix mètres de la digue en prévoit des bermes, qui auront un rôle dans l'optimisation des fruits de talus d'autres objectifs tels que l'accès pour la réparation des talus. Les bermes sont de (2–3) mètres de largeur et de pente 2 %.

A - talus amont :

Les bermes sont projetées au niveau du parement amont, afin de permettre d'effectuer les contrôles, les réparations et augmenter la stabilité des talus, pour notre cas nous avons proposées deux bermes de largeur 3m chacune à la cote 375 m NGA et à la cote 390 m NGA.

B - talus aval :

Les bermes au talus aval sert à l'évacuation des eaux de ruissellement, donc nous aurons trois bermes de largeur 3 m à la même cote successivement

II.5. Barrage en enrochements avec noyau en argile**A - le talus aval :**

Sera protégé contre l'érosion par un enrochement qui doit être réalisé au fur a mesure des travaux de terrassement.

On fait un enrochement de pierre reposant sur un filtre (lit de gravier et sable) d'épaisseur (0,3m).

Remarque :

On a évité d'enherber le parement du talus aval car les racines de la végétation risquent de favoriser des fissures au niveau du talus, on peut s'attendre à des glissements d'argile

Fruits des talus d'après le tableau II.3 :

Parement amont $m_1 = 3$

Parement aval $m_2 = 3$

B - le talus amont :

Sera protégé par un parement en rip-rap d'enrochement en fonction de la hauteur des vagues h_v et leur vitesse de propagation V par la formule suivante :

$$e = C \cdot V^2 \quad \dots \dots \dots \text{ (II.13)}$$

Avec:

e : Epaisseur de l'enrochement en [m];

V : Vitesse de propagation des vagues en [m/s];

C : Coefficient dont la valeur est en fonction de la pente du talus et du poids spécifique θ du matériau d'enrochement.

La valeur de C est donnée par le tableau suivant II.4

Tableau II.4 : Les valeurs de C en fonction de la pente du talus et du poids.

| Pente du talus | Valeur de C pour différents poids spécifiques | | |
|----------------|---|-----------------|-----------------|
| | $\gamma = 2,50$ | $\gamma = 2,65$ | $\gamma = 2,80$ |
| 1/4 | 0,027 | 0,024 | 0,022 |
| 1/3 | 0,028 | 0,025 | 0,023 |
| 1/2 | 0,031 | 0,028 | 0,026 |
| 1/1,5 | 0,036 | 0,032 | 0,030 |
| 1/1 | 0,047 | 0,041 | 0,038 |

Nous obtenons une épaisseur d'enrochement $e=0,289$ m, mais pour plus de sécurité nous prenons une épaisseur égale à 0,3 m.

C - Le noyau :

L'étanchéité du barrage de la variante II est assurée par un noyau imperméable qui empêchera l'eau de passer à travers le corps de la digue limitant ainsi sensiblement le débit de fuite.

Il est impératif de descendre le noyau jusqu'au substratum pour permettre une bonne étanchéité. Il n'existe pas de règles générales pour le dimensionnement du noyau.

La meilleure solution est de tenir compte de la perméabilité des recharges puis procéder à la vérification de la condition suivante:

Avec:

I_{adm} : gradient admissible dépendant de la classe du barrage et du type de matériau.

b_{mov} : largeur moyenne du noyau.

ΔH : la charge d'eau.

Le tableau suivant permet de choisir les valeurs de gradient hydraulique admissible.

Tableau II.5 : Valeur de I_{adm} en fonction du type d'ouvrage.

| Type de sol | Classe de l'ouvrage | | | |
|------------------|---------------------|------|------|------|
| | I | II | III | IV |
| Argile compactée | 1.5 | 1.5 | 1.8 | 1.95 |
| Limon | 1.05 | 1.15 | 1.25 | 1.35 |
| Sable moyen | 0.70 | 0.80 | 0.90 | 1.00 |
| Limon sableux | 0.51 | 0.65 | 0.75 | 0.85 |
| Sable fin | 0.45 | 0.55 | 0.65 | 0.75 |

Notre barrage appartient à la II^{ème} classe alors, on prend $I_{adm}=1,5$

$$I = \frac{\Delta H}{b_{moy}} = \frac{H_1 - H_2}{b_{moy}}$$

Avec:

H₂: Hauteur d'eau à l'aval (H₂= 0).

H_1 : Hauteur d'eau à l'amont ($H_1=41$ m).

$$b_{moy} = \frac{H_1}{I_{adm}} = \frac{41}{1.5} = 27.5$$

Largeur en crête du noyau est donnée par la formule suivante

$$L_{n;s} = \frac{1}{6} \cdot H_b \Rightarrow L_{n,s} = 7.5 \text{ m}$$

D'où les pentes des talus du noyau :

$$b_{base} = b_{cr} + 2 \cdot m_n \cdot H_n$$

Avec:

m_n : Fruit du noyau

H_n : Hauteur du noyau

$$m = \frac{b_{moy} - b_{cr}}{2 \cdot H_n} = \frac{27.5 - 7.5}{2 \cdot 4.1} = 0.25$$

D'où : $m_1 = m_2 = 0.25$

D - La cote en crête du noyau :

$$N_{CN} = C_{fond} + 41.5 = 401.5 \text{ mNGA}$$

La profondeur du noyau dans la parafouille est de: $H_p = H_f + H_a$

H_p : profondeur de la parafouille (en m).

H_f : profondeur de la fondation ($H_f = 4.5 \text{ m}$).

H_a : profondeur d'ancrage du noyau dans le substratum ($h_a = 0.5 \text{ m}$). $H_p = 5 \text{ m}$

E - Les drains :

Pour intercepter les infiltrations dans le massif du barrage, nous disposons dans la partie aval du massif et au contact de celui-ci avec la fondation un tapis filtrant qui sert à évacuer les eaux filtrées à l'aide d'une galerie de drainage qui est le long du barrage et son rôle est de cumuler les eaux drainées et les évacuer à l'aide des collecteurs jusqu'à l'aval de la digue.

E.1. Dimensionnement du Drain Tapis :

Pour intercepter les infiltrations dans le massif d'un barrage en terre, on dispose habituellement dans la partie aval du massif et au contact de celui-ci avec les fondations, un drain-tapis filtrant destiné à rabattre la ligne phréatique à l'intérieur du massif. Ce drain s'étend sur 1/4 à 1/3 de l'emprise du barrage.

-La longueur du drain tapis est de :

$$L_d = \frac{L_b}{3} \quad \dots \quad (\text{II.15})$$

L_b : Longueur transversale du barrage [$L_b = 282 \text{ m}$].

$$\text{Donc : } L_d = \frac{282}{3} = 94 \text{ m}$$

L'épaisseur du drain est déterminée par la formule suivante :

$$l_d = \frac{1}{2} \left(\sqrt{L^2 + H^2} - L \right) \quad \dots \quad (\text{II.16})$$

l_d : Largeur du drain nécessaire (m) ;

L : Distance horizontale entre la retenue et le drain (m);

H : différence de charge entre la retenue et le drain (m).

$$l_d = \frac{1}{2} \left(\sqrt{154.6^2 + 41^2} - 154.6 \right) = 2.5 \text{ m}$$

E.2 Dimensionnement du drain prisme:

Hauteur: $H_p = (0,15 \div 0,2) H_b$ (II.17)

Avec :

H_b : Hauteur du barrage ($H_b = 43,5$ m)

On prend $H_p = 0,15 H_b$

On aura : $H_p = 6,5$ m

Largeur en crête: $bp = (1/3 \div 1/4) hdr$ (II.18)

On prend $bp = 1/3 hdr$

Ce qui donne: $bp = 2$ m

Fruits des talus :

$$m_1 = (1 \div 1,75)$$

Donc, on prend : $m_1 = 1,25$

$$m_2 = (1,5 \div 2,5)$$

$$m_2 = 2$$

II.6. Barrage en terre homogène

A - Pentes des talus :

Fruits des talus d'après le tableau II.3 on à :

Parement amont $m_1 = 3$

Parement aval $m_2 = 2,5$

A.1 le talus aval :

On doit concevoir le revêtement pour éviter le possible érosion à cause des pluies et s'il existe un niveau permanent d'eau.

Pour sa protection, l'utilisation d'une (pierre) avec des épaisseurs entre 0,15 et 0,30m est très commune.

La solution la plus répandue et la plus économique consiste à réaliser un enherbement sur une couche de terre végétale d'une épaisseur de 30 cm

A.2 le talus amont :

Il sera protégé par un parement en rip-rap d'enrochement en fonction de la hauteur des vagues h_v et leur vitesse de propagation V par la méthode de « T. V.A. »

Le but principal du rip-rap mis en place sur un remblai est d'empêcher l'érosion et les dégâts pouvant résulter de l'action des vagues. L'expérience a, en général, montré que le rip-rap déversé était le type de protection de talus le plus efficace.

✓ Méthode T.V.A (Tennessee-Valley- Authority):

$$e = C \cdot V^2$$

Avec: e : Epaisseur de l'enrochement en [m];

V : Vitesse de propagation des vagues en [m/s]; sachant que $V=2,43$ m/s

C : Coefficient dont la valeur est en fonction de la pente du talus et du poids spécifique θ du matériau d'enrochement.

La valeur de C est donnée par le tableau II.4

Pour une digue homogène $c = 0,025$.

Nous obtenons une épaisseur d'enrochement $e=0,256$ m, mais pour plus de sécurité nous prenons une épaisseur égale à 0,30 m.

✓ Deuxième méthode

Les ingénieurs de l'US Army utilisent de préférence le tableau donnant l'épaisseur minimum de la couche d'enrochement ainsi que les dimensions minimales des blocs en fonction de la hauteur des vagues.

Tableau II.6 : Epaisseur de la protection en fonction de la hauteur des vagues.

| Hauteur des vagues (m) | Epaisseur minimale de la couche d'enrochement (m) | Dmin (m) |
|------------------------|---|----------|
| 0,0 ÷ 0,3 | 0,30 | 0,20 |
| 0,3 ÷ 0,6 | 0,40 | 0,25 |
| 0,6 ÷ 1,2 | 0,45 | 0,30 |
| 1,2 ÷ 1,8 | 0,55 | 0,40 |
| 1,8 ÷ 2,4 | 0,70 | 0,45 |
| 2,4 ÷ 3,0 | 0,8 | 0,55 |

Pour notre cas, $0,6 < H < 1,2$ m $e = 0,45$ m.

$$D_{\min} = 0,30 \text{m}$$

Pour plus de sécurité nous prenons une épaisseur égale à 0,5 m.

Conclusion:

En analysant les résultats obtenus, on adopte pour la suite du dimensionnement de la digue homogène une épaisseur de couche $e = 50$ cm et un diamètre moyen de 30 cm. Donc, une protection du talus amont d'une épaisseur de 50 cm d'enrochement avec 30cm de filtre (lit de gravier et sable).

Comme les barrages enherbés sont devenus des lieux idéaux pour le pâturage, alors on a opté pour une couche de 30 cm d'enrochement sur le talus aval au lieu de l'herbe.

II.7. Drainage de la digue

Le drainage interne est d'une importance vitale pour la fiabilité et la sécurité des barrages en remblai tout au long de leur vie. Il constitue le paramètre le plus significatif du point de vue de la stabilité sous chargements statique et dynamique si on n'utilise pas un système de drainage bien adapté pour le remblai, les réurgences sur le talus aval peuvent provoquer une érosion entraînant la rupture du barrage, de ce fait il convient de bien concevoir le système de drainage qui pourrait constituer une bonne méthode pour construire des barrages dans des conditions sûres et économiques et cela en assurant leur protection par des filtres aux interfaces entre zones de matériaux présentant des granulométries et perméabilités largement différentes.

II.7.1 But du drainage

Quel que soit le dispositif d'étanchéité utilisé, un barrage en remblai et sa fondation sont le siège d'infiltration d'eau soit structurelles soit accidentielles.

La fonction du drainage est d'intercepter les débits d'infiltration afin d'éviter que leur résurgence incontrôlée à l'aval ne nuise à la stabilité de l'ouvrage.

En effet, le drainage dans les barrages en remblai vise à répondre d'une manière aussi efficace que possible aux objectifs suivants :

- ✓ Abaissement de la ligne de saturation ;
 - ✓ Réduction de la pression de courant avec modification du réseau de d'écoulement
 - ✓ Réduction de la pression interstitielle; Contrôle des percolations et du non migration des éléments du remblai

II.7.1.1 Calcul des drains :

A - Dimensionnement du drain tapis :

Il s'agit de déterminer la longueur du drain tapis suivant la relation:

$$L_d = \frac{L_b}{3}$$

L_d : Longueur du drain tapis en mètres ;

L_b : Longueur transversale du barrage [$L_b = 259$ m].

Donc :

$$L_d = \frac{259}{3} = 86 \text{ m}$$

L'épaisseur du drain est déterminée par la formule suivante :

$$l_d = \frac{1}{2} \left(\sqrt{L^2 + H^2} - L \right)$$

l_d : Largeur du drain nécessaire (m) :

L : Distance horizontale entre la retenue et le drain (m):

H : différence de charge entre la retenue et le drain (m),
 H : différence de charge entre la retenue et le drain (m).

$$l_d = \frac{1}{2} \left(\sqrt{148.25^2 + 41^2} - 148.25 \right) = 2.5\text{m}$$

B - Dimensionnement du prisme axial :

B.1. Fruits des talus :

$$\begin{aligned} m_1 &= (1 \div 2) && \text{on prend } m_1 = 1.5 \\ m_2 &= (1.5 \div 2, 5) && \text{on prend } m_2 = 2 \end{aligned}$$

B.2. hauteur du drain :

Avec : : H_b : Hauteur du barrage ;

$$h_{dr} = 0.15 \cdot 43.5 = 6.5 \text{ m}$$

Nous prenons une hauteur égale à 6,5 m.

B.3. largeur au sommet :

$$\text{Elle est donnée par : } b_{dr} = \left(\frac{1}{3} + \frac{1}{4} \right) h_{dr} \quad \dots \quad (\text{II.20})$$

$$b_{dr} = \frac{1}{3} \cdot h_{dr} \quad b_{dr} = 2 \text{ m}$$

B.4. largeur en base du drain :

$$\text{Elle est exprimée par : } B = b_{dr} + (m_1 + m_2) h_{dr} \quad \dots \quad (\text{II.21})$$

$$B = 24.75 \text{ m}$$

II. 8 Fixation du choix définitif du type de barrage

On dispose de sols fins de qualité satisfaisante et en quantité suffisante (1,5 à 2 fois le volume du remblai), la solution barrage en terre homogène ou pseudo-zoné s'impose comme la plus économique. Le barrage pseudo-zoné est une variante du barrage homogène qui consiste à répartir les matériaux dans le corps du barrage en fonction de leur granularité ou de leur humidité, mais sans que des filtres de séparation ne soient nécessaires. Il ne s'agit donc pas de véritables zones délimitées avec précision.

Par exemple, on pourra réaliser un barrage homogène où les matériaux les plus fins sont placés à l'amont et les plus grossiers à l'aval ; ou bien où les matériaux les plus humides sont placés au centre. Les barrages pseudo-zonés sont drainés exactement comme les barrages homogènes, le drain ne constituant pas une séparation entre deux zones réputées différentes, contrairement à la plupart des barrages zonés.

Si l'on dispose de matériaux fins en quantité limitée et de suffisamment de matériaux grossiers exploitables, on peut envisager la construction d'un barrage en terre zoné avec noyau ou massif amont assurant étanchéité et recharges stabilisatrices grossières. Ce type de solution présente toutefois l'inconvénient d'une mise en oeuvre par zone qui sera d'autant plus compliquée et onéreuse que le site est étroit et qu'il peut entraver l'évolution des engins. Un autre inconvénient est la nécessité de séparer par des filtres de transition les différentes zones. Par contre, surtout pour les ouvrages relativement importants, les matériaux grossiers peuvent permettre un raidissement des talus.

Si l'on ne dispose pas de matériaux fins susceptibles d'assurer l'étanchéité du barrage, ou bien si l'exploitation d'une zone d'emprunt très hétérogène constituée de matériaux fins à grossiers est trop complexe, on peut recourir à une étanchéité artificielle. Deux techniques sont plus spécialement adaptées aux petits et moyens barrages : la géo membrane et la paroi moulée.

Pour le choix de la variante, on a pris en considération :

- ✓ facilité de la réalisation, zones d'emprunts
- ✓ existences de carrière de matériaux de construction ;
- ✓ distance des zones d'emprunts ;
- ✓ sismologie ;
- ✓ volume des matériaux de construction
- ✓ dispositif d'étanchéité ;

II.8.1. Etude comparative

Une étude de comparaison approximative des différents volumes de chacun des types de barrage choisis paraît nécessaire pour faire le choix du type de retenue en fonction du coût et la disponibilité des matériaux de construction.

II.8.1.1. Calcul des volumes

Pour calculer le volume du corps des digues, on se dispose du profil longitudinal de l'axe du barrage.

Le volume du corps du barrage est donné par la formule suivante: $V_b = \sum V_i$

Tel que :

$$V_i = \frac{[w_i + w_{i+1}]}{2} L_i \quad \dots \dots \dots \quad (\text{II.22})$$

V_i : volume du barrage dans la coupe i;

w_i : section transversale du barrage dans la coupe i;

L_i : distance entre deux coupes voisines.

$$w_i = \frac{[b_{cr} + B_{pi}]}{2} H_{bi} \quad \dots \dots \dots \quad (\text{II.23})$$

b_{cr} : largeur du couronnement;

$$B_{pi} = b_{cr} + (m_1 + m_2) H_{bi} \quad \dots \dots \dots \quad (\text{II.24})$$

m_1 : pente du talus amont;

m_2 : pente du talus aval;

Les résultats de calcul des volumes des matériaux des différentes variantes sont représentés dans l'annexe II

I.8.1.2. Estimation du coût des variantes :

Le tableau suivant donne les différents coûts des variantes :

Tableau II.8 : les coûts des variantes étudiées

| variante | Matériaux | Quantité (m ³) | Prix unit (DA) | Coût (10 ⁶ DA) | Total (10 ⁶ DA) |
|---|---------------|----------------------------|----------------|---------------------------|----------------------------|
| digue en enrochement avec masque en béton | Béton | 4841.6 | 12000 | 58.10 | 468.48 |
| | Butume | 775.6 | 3000 | 2.33 | |
| | Recharge | 335624.4 | 1200 | 402.75 | |
| | Roche | 2947.3 | 1200 | 3.54 | |
| | Terre végital | 7379.9 | 240 | 1.77 | |
| digue zonée à noyau d'argile | Butume | 775.6 | 3000 | 2.3268 | 472.60 |
| | Noyau | 47410.1 | 500 | 23.71 | |
| | Gravier | 8262.3 | 600 | 4.96 | |
| | Sable | 3936.0 | 600 | 2.36 | |
| | Recharge | 353363.0 | 1200 | 424.04 | |
| | Rip-rap | 11202.5 | 1200 | 13.44 | |
| | Terre végital | 7379.9 | 240 | 1.77 | |
| digue en terre homogène | Butume | 775.6 | 3000 | 2.33 | 205.51 |
| | Gravier | 8626.4 | 600 | 5.18 | |
| | Sable | 4280.0 | 600 | 2.57 | |
| | Recharge | 361970.8 | 500 | 180.99 | |
| | Roche | 1656.6 | 1200 | 1.99 | |
| | Rip-rap | 8914.7 | 1200 | 10.70 | |
| | Terre végital | 7379.9 | 240 | 1.77 | |

II.8.1.3. Comparaison financière des trois variantes :

A travers le tableau (II.8), il apparaît clairement que nous ne pouvons nous orienter que vers la 3^{eme} variante car elle est la plus économique possible et la plus facile à mettre en place techniquement. Mais avant tout rappelons que la 3^{eme} variante est celle du barrage homogène entièrement constitué d'argiles imperméables dont la zone d'emprunt d'après les normes de construction devra receler en matériaux d'eau moins 1,5 à 2 fois le volume du remblai avec des qualités requises pour leur utilisation.

Conclusion

En tenant compte de ces conditions, nous avons opté pour un barrage en terre homogène vu les avantages qu'il présente.

Ce barrage en terre homogène doit à la rigueur remplir les conditions suivantes :

- ✓ avoir une imperméabilité suffisante ;
- ✓ insoluble dans l'eau ;
- ✓ avoir une faible teneur en matières organiques (<5%) ;
- ✓ ne pas se fissurer sous l'effet des tassements ;
- ✓ avoir une grande résistance au cisaillement et une densité sèche maximale.
- ✓ Le coût du barrage doit être le plus économique possible.

Chapitre III :

Conception Détailé de La Digue

Introduction

Le type de barrage est imposé par le manque de choix de matériaux de construction. Seuls des limons argileux sont disponibles à proximité de l'ouvrage dans les sédiments déposés en énorme quantité dans la plaine environnante. La digue en terre homogène est le seul type de barrage qu'il est raisonnable d'envisager sur ce site.

Du point de vue de la perméabilité de la retenue, le type de roche sous-jacente ainsi que l'orientation des couches sont favorables. La géologie est peu variée, d'amont vers l'aval se succèdent des couches de marnes puis de calcaire marneux.

Comme déjà évoqué précédemment, le manque de choix de matériaux de construction à proximité du site commande le type de barrage. Le seul type de barrage adapté à ces matériaux est une digue dite « en terre homogène ».

En principe, le remblai peut reposer directement sur les sédiments. Ils sont étanches et ont été consolidés par les milliers d'années de dépôt. Il faut toutefois noter que localement des dépôts granuleux ont été observés à proximité du substratum rocheux, à la base des sédiments. Ce constat implique de prévoir une clé de remblai jusqu'au rocher afin de réduire les risques de fuite au travers de ces sédiments peu étanches.

Les matériaux excavés pour la réalisation de cette clé pourront être réutilisés pour le remblai

Même si la fondation rocheuse est réputée imperméable, un voile injecté au droit de la clé de la digue complètera l'étanchéité de la digue.

III.1. Conception de La Digue

III.1.1. la revanche du barrage

Un barrage en remblai ne supporte pas la sur verse, ni le déferlement de vagues par dessus la crête, sinon le talus aval et la crête du barrage seraient alors assez rapidement érodés, le phénomène pouvant aller jusqu'à l'ouverture d'une brèche ; ce risque de déferlement de vagues doit être circonscrit par l'adaptation d'une revanche suffisante entre le PHE et la côte de la crête.

Le dimensionnement de la revanche tient compte de la hauteur potentielle des vagues (elle-même en fonction de la vitesse du vent et de la longueur du plan d'eau) et de l'effet de projection de l'eau vers la crête lorsque les vagues viennent buter contre le talus amont

$R = 2 \text{ m}$

III.1.2. la hauteur du barrage

Elle est donnée par la relation :

$$H_b = h_{NNR} + h_f + R + t$$

H_{NNR} : Hauteur au niveau normal de la retenue déterminée [m] ;

h_f : Hauteur d'eau correspond au volume forcé en [m] ;

R : Revanche du barrage en [m];

t : le tassement [m]

$$H_b = 36.5 + 4.5 + 2 + 0,5 = 43.5 \text{ m}$$

III.1.3 largeur en crête

La largeur du couronnement est fixée à **9 m**.

III.1.4 Classification de l'ouvrage

La classification est basée sur la constitution de l'ouvrage et sa fondation et en particulier sur les risques attendus à l'aval en cas de rupture de l'ouvrage. et pour connaître la classe de notre barrage nous avons le tableau suivant :

Tableau V.1 : Classe de barrage en terre en fonction du type de la fondation

| Type de sols de fondation | Classes de barrages | | | |
|--|--------------------------------|-----------|------------|-----------|
| | I | II | III | IV |
| | Hauteurs de barrage (m) | | | |
| Sols rocheux. | >100 | 70÷100 | 25÷70 | <25 |
| Sols sablonneux, pierreux, terrain argileux non plastique. | 75 | 35÷75 | 15÷35 | <15 |
| Terrain argileux plastique. | >50 | 25÷50 | 15÷25 | <15 |

D'après le tableau (V.volkov, 1986) Oued Taht est classé dans la deuxième catégorie d'ouvrage.

III.1.5. Les bermes

Pour des hauteurs dépassant les dix mètres de la digue en prévoit des bermes, qui auront un rôle dans l'optimisation des fruits de talus d'autres objectifs tels que l'accès pour la réparation des talus. Les bermes sont de (2 – 3) mètres de largeur.

A - Talus amont :

Les bermes sont projetées au niveau du parement amont, afin de permettre d'effectuer les contrôles, les réparations et augmenter la stabilité des talus, pour notre cas nous avons proposées deux bermes de largeur 3m chacune à la cote 375 m NGA et à la cote 390 m NGA.

B - Talus aval :

Les bermes au talus aval sert a l'évacuation des eaux de ruissellement, donc nous aurons deux bermes de largeur 3 m à la même cote successivement

III.1.6 Pentes des talus :

Les pentes des talus sont fixées par les conditions de stabilité mécanique du massif et de ses fondations.

Pour les massifs, on donne des pentes qui paraissent optimales.

Tableau V.2 : Valeurs indicatives des pentes des talus.

| Hauteur du barrage (m) | Type du barrage | Fruit des talus | |
|-----------------------------------|----------------------------------|------------------------|-------------|
| | | Amont | Aval |
| H<5 | - Homogène | 2,5 | 2,0 |
| | - A zones | 2,0 | 2,0 |
| 5<H<10 | - Homogène granulométrie étendue | 2,0 | 2,0 |
| | - Homogène à fort % d'argile | 2,5 | 2,5 |
| | - A zones | 2,0 | 2,5 |
| 10<H<20 | - Homogène granulométrie étendue | 2,5 | 2,5 |
| | - Homogène à fort % d'argile | 3,0 | 2,5 |
| | - A zones | 3,0 | 3,0 |
| H >20 | - Homogène granulométrie étendue | 3,0 | 2,5 |
| | - A zones | 3,0 | 3,0 |

Pour les talus on prend :

- ✓ Le fruit amont est : $m_1=3,0$
- ✓ Le fruit aval est : $m_2=2,5$

III.1.7. Protection des talus

Les talus d'un barrage sont sensibles à l'érosion due au ruissellement des eaux des pluies, aux renards provoqués par le ressuyage des eaux de saturation du barrage, en ce qui concerne le parement amont à l'attaque des vagues, il y a lieu donc en général de prévoir une protection pour les talus.

A - le talus aval :

Il sera protégé contre l'érosion par un enrochement qui doit être réalisé immédiatement après l'achèvement des travaux de terrassement, en ayant soins de recouvrir le parement d'une couche d'enrochement d'épaisseur de 30cm pour plus de sécurité.

B - le talus amont :

Il sera protégé par un parement en rip-rap d'enrochement en fonction de la hauteur des vagues h_v et leur vitesse de propagation V par la méthode de « T. V.A. »

Le but principal du rip-rap mis en place sur un remblai est d'empêcher l'érosion et les dégâts pouvant résulter de l'action des vagues. L'expérience a, en général, montré que le rip-rap déversé était le type de protection de talus le plus efficace.

B.1. Méthode T.V.A (Tennessee-Valley- Authority):

Formule suivante : $e = C \cdot V^2$

Où e : Epaisseur de l'enrochement en [m];

V : Vitesse de propagation des vagues en [m/s]; sachant que $V=2,43\text{m/s}$

C : Coefficient dont la valeur est en fonction de la pente du talus et du poids spécifique θ du matériau d'enrochement.

La valeur de C est donnée par le tableau suivant :

Tableau V.3: Les valeurs de C en fonction de la pente du talus et du poids.

| Pente du talus | Valeur de C pour différents poids spécifique | | |
|----------------|--|-----------------|-----------------|
| | $\theta = 2,50$ | $\theta = 2,65$ | $\theta = 2,80$ |
| 1/4 | 0,027 | 0,024 | 0,022 |
| 1/3 | 0,028 | 0,025 | 0,023 |
| 1/2 | 0,031 | 0,028 | 0,026 |
| 1/1,5 | 0,036 | 0,032 | 0,030 |
| 1/1 | 0,047 | 0,041 | 0,038 |

Pour une digue homogène $c = 0,025$.

Nous obtenons une épaisseur d'enrochement $e=0,256$ m, mais pour plus de sécurité nous prenons une épaisseur égale à 0,30m.

B.2. Deuxième Méthode :

Les ingénieurs de l'US Army utilisent de préférence le tableau donnant l'épaisseur minimum de la couche d'enrochement ainsi que les dimensions minimales des blocs en fonction de la hauteur des vagues.

Tableau V.4 : Epaisseur de la protection en fonction de la hauteur des vagues.

| Hauteur des vagues (m) | Epaisseur minimale de la couche d'enrochement (m) | Dmin (m) |
|------------------------|---|----------|
| 0,0 ÷ 0,3 | 0,30 | 0,20 |
| 0,3 ÷ 0,6 | 0,40 | 0,25 |
| 0,6 ÷ 1,2 | 0,45 | 0,30 |
| 1,2 ÷ 1,8 | 0,55 | 0,40 |
| 1,8 ÷ 2,4 | 0,70 | 0,45 |
| 2,4 ÷ 3,0 | 0,80 | 0,55 |

Pour notre cas, $0,6 < H < 1,2$ m $e = 0,45$ m. $D_{min} = 0,30$ m

Pour plus de sécurité nous prenons une épaisseur égale à 0,5 m.

III.1.8. Drainage de la digue

Le drainage interne est d'une importance vitale pour la fiabilité et la sécurité des barrages en remblai tout au long de leur vie. Il constitue le paramètre le plus significatif du point de vue de la stabilité sous chargements statique et dynamique si on n'utilise pas un système de drainage bien adapté pour le remblai, les résurgences sur le talus aval peuvent provoquer une érosion entraînant la rupture du barrage, de ce fait il convient de bien

concevoir le système de drainage qui pourrait constituer une bonne méthode pour construire des barrages dans des conditions sûres et économiques et cela en assurant leur protection par des filtres aux interfaces entre zones de matériaux présentant des granulométries et perméabilités largement différentes

III.1.8.1 But du drainage :

Quel que soit le dispositif d'étanchéité utilisé, un barrage en remblai et sa fondation sont le siège d'infiltration d'eau soit structurelles soit accidentelles.

La fonction du drainage est d'intercepter les débits d'infiltration afin d'éviter que leur resurgence incontrôlée à l'aval ne nuise à la stabilité de l'ouvrage.

En effet, le drainage dans les barrages en remblai vise à répondre d'une manière aussi efficace que possible aux objectifs suivants :

- a) Abaissement de la ligne de saturation ;
- b) Réduction de la pression de courant avec modification du réseau de d'écoulement
- c) Réduction de la pression interstitielle ; Contrôle des percolations et du non migration des éléments du remblai

III.1.8.2. Constitution et fonctionnement des filtres et drains

III.1.8.2.1 les filtres

Lorsque le matériau constitutif du drain ne respecte pas les conditions de non entraînement des particules fines du massif à drainer, on interpose alors un filtre entre les deux matériaux, sa fonction principale est de retenir ces particules du sol drainé tout en permettant à l'eau du sol de s'écouler dans la zone drainante constituée de matériaux grossiers.

Ils peuvent être situés :

- ✓ Entre deux couches de sol adjacentes dont les granulométries sont assez différentes pour que les éléments de l'un des sols puissent migrer dans l'autre sol ;
- ✓ Entre un sol à granulométrie fine, qui doit être drainé, et les matériaux relativement grossiers et perméables constituant les drains ;
- ✓ A l'interface entre un remblai de granulométrie fine et une fondation très perméable où l'écoulement peut éroder les particules fines du remblai ;
- ✓ Sous et au-delà du pied aval du barrage ;
- ✓ Sous les recharges drainantes.

Les filtres peuvent être constitués des couches successives de matériaux perméables, de granulométries de plus en plus fines assurant la transition entre le drain et les éléments fins du milieu à drainer.

De nos jours, on remplace souvent ces filtres granulaires naturels ou concassés par des géotextiles issus de l'industrie du textile et se présentent en rouleaux de longueur variable offrant ainsi l'avantage d'être économique et une facilité de mise en œuvre par rapport aux filtres à base de plusieurs couches de matériaux calibrés.

III.1.8.2.2 les drains

La fonction principale des drains est la maîtrise des percolations d'eau dans le corps du barrage. Il y aura abaissement de la ligne de saturation, diminution de la pression d'écoulement et de la pression interstitielle, et accélération de la consolidation.

Le matériau utilisé pour un drain doit avoir une perméabilité plus élevée que celle du sol drainé. Le gravier, de granulométrie fine à grossière est un matériau idéal, si elle est bien

appropriée, la roche exploitée peut être également utilisée. Ces matériaux sont disposés en bandes, en couches minces ou en cheminée. Ils doivent être inaltérables, parfaitement propres et en conséquence soigneusement lavée si nécessaire. Leur granulométrie est adaptée de façon à respecter les règles de non entraînement des fines particules du matériau adjacent.

A - Règles générales de dimensionnement des drains et filtres :

Dans les passages ultérieurs, nous avons fait allusions à plusieurs reprises aux conditions de non entraînement des fines particules encore dénommées "conditions de filtres"; la référence usuelle en la matière est celle des règles de TERZAGUI.

Elles s'énoncent comme suit :

Soit d_x la dimension caractéristique du matériau fin à drainer, c'est-à-dire le diamètre du tamis pour lequel on enregistre $x\%$ en poids dépassant lors du tamisage granulométrique

Soit D_x celle relative au matériau adjacent (plus grossier) constitutif du filtre ou du drain.

- Condition de perméabilité $\frac{D_{15}}{d_{15}} > 5$;
- Condition de non entraînement des fines $\frac{D_{15}}{d_{85}} < 4$;

Ces deux conditions se réunissent dans la formulation suivante :

$$4.d_{85} > D_{15} > 5.d_{15}$$

Le plus souvent, pour les petits barrages, on peut choisir un matériau drainant suffisamment perméable et satisfaisant directement à cette double condition, la mise en place d'un filtre est alors inutile. En outre, pour s'assurer de la stabilité interne du matériau filtrant ou drainant on devra s'assurer de la condition d'uniformité à savoir :

$$2 < \frac{D_{60}}{D_{10}} < 8$$

Ces règles étant établies, dimensionnons à présent ces différents composants du système de drainage à savoir les filtres et les drains.

B - Calcul des drains :

Un drain tapis, connecté avec un drain de pied, collectera les eaux de percolation dans la digue, évitant ainsi tout entraînement de matériau au travers du parement aval tout en réduisant les sous pressions de la recharge aval (augmentation de la stabilité).

B.1. Dimensionnement du drain tapis :

Pour intercepter les infiltrations dans le massif d'un barrage en terre, on dispose habituellement dans la partie aval du massif et au contact de celui-ci avec les fondations, un drain-tapis filtrant destiné à rabattre la ligne phréatique à l'intérieur du massif. Ce drain s'étend sur 1/4 à 1/3 de l'emprise du barrage.

Il s'agit de déterminer la longueur du drain tapis suivant la relation :

$$L_d = \frac{L_b}{3}$$

L_d : Longueur du drain tapis en mètres ;

L_b : Longueur transversale du barrage [$L_b = 259$ m].

Donc :

$$L_d = \frac{259}{3} = 86 \text{ m}$$

La largeur du drain est déterminée par la formule suivante :

$$l_d = \frac{1}{2} \left(\sqrt{L^2 + H^2} - L \right)$$

l_d : Largeur du drain nécessaire (m) ;

L : Distance horizontale entre la retenue et le drain (m);

H : différence de charge entre la retenue et le drain (m).

$$l_d = \frac{1}{2} \left(\sqrt{148.25^2 + 41^2} - 148.25 \right) = 2.5 \text{ m}$$

B.2 Dimensionnement du prisme aval :

1 - Fruits des talus :

$$\begin{aligned} m_1 &= (1 \div 2) & \text{on prend } m_1 = 1.5 \\ m_2 &= (1.5 \div 2, 5) & \text{on prend } m_2 = 2 \end{aligned}$$

2 - hauteur du prisme aval :

$$h_{dr} = (0,15 \div 0,2) H_b \quad \text{Où : } H_b : \text{Hauteur du barrage} ;$$

$$h_{dr} = 0,15 \cdot 43,5 = 6,5 \text{ m}$$

Nous prenons une hauteur égale à **6.5 m**

3 - largeur en sommet du prisme aval :

$$\text{Elle est donnée par : } b_{dr} = \left(\frac{1}{3} \div \frac{1}{4} \right) h_{dr}$$

$$b_{dr} = \frac{1}{3} \cdot 6,5 \quad \boxed{b_{dr} = 2 \text{ m}}$$

4 - largeur en base du prisme aval :

$$\text{Elle est exprimée par : } B = b_{dr} + (m_1 + m_2) h_{dr}$$

$$\boxed{B = 24.75 \text{ m}}$$

C - Calcul des filtres :

1 - Règles des filtres :

L'exigence primordiale aux sols des filtres, qu'ils doivent vérifier, les conditions de l'absence du renard.

Condition 1:

$$\frac{D_5}{D_{17}} \geq 0,32 \sqrt{\eta} \cdot (1 + 0,05\eta) \frac{n}{1-n}$$

D'où

$$\eta : \text{Coefficient d'hétérogénéité du sol du filtre}, \eta = \frac{D_{60}}{D_{10}}$$

n : Porosité du sol en fonction d'unité n = $n_o - 0,1 \log \eta$;

$n_o = 0,4$ pour les sols caillouteux ;

$n_o = 0,45$ pour les sols argileux.

Condition 2 :

Condition de (TERZAGI ,1922) (CIGB ,1994):

$$\frac{D_{15}}{d_{85}} < 4$$

D_{15} : Diamètre de filtre.

d_{85} : Diamètre du sol à protéger.

2 - Détermination de la courbe granulométrique des Filtres :

Selon les critères :

$$12 < \frac{D_{15}}{d_{15}} < 40 \quad \dots \dots \dots \quad (\text{V.13})$$

$$12 < \frac{D_{50}}{d_{50}} < 58 \quad \dots \dots \dots \quad (\text{V.14})$$

On trace les limites des couches de filtres avec :

D_{15}, D_{50} : Diamètre de filtre.

d_{15}, d_{50} : Diamètre du sol à protéger.

Granularité de sol protégé :

$$d_{15} = 0,0025 \text{ mm}$$

$$d_{50} = 0,0065 \text{ mm};$$

$$d_{85} = 0,095 \text{ mm}.$$

La première couche du filtre est entre des terres du corps du barrage et la première couche de drain a les limites suivantes :

$$0,03 \text{ mm} < D_{15} < 0,1 \text{ mm} ;$$

$$0,078 \text{ mm} < D_{50} < 0,377 \text{ mm}.$$

La courbe granulométrique moyenne est : $D_{15} = 0,065 \text{ mm} ;$

$$D_{50} = 0,2275 \text{ mm} ;$$

La deuxième couche des filtres on la détermine en fonction de la courbe moyenne de la première couche

$$d_{15} = 0,004 \text{ mm};$$

$$d_{50} = 0,006 \text{ mm};$$

$$d_{85} = 0,04 \text{ mm}.$$

$$- \quad 0,048 \text{ mm} < D_{15} < 0,16 \text{ mm}$$

$$- \quad 0,072 \text{ mm} < D_{50} < 0,348 \text{ mm}.$$

D'où la courbe granulométrique moyenne du deuxième couche du filtre. Elle a les dimensions suivantes

$$D_{15} = 0,104 \text{ mm}.$$

$$D_{50} = 0,21 \text{ mm}.$$

3 -Vérification de l'absence de renard dans le sol des filtres :

Filtre 1 :

Condition 1 :

$$\frac{D_5}{D_{17}} \geq 0,32 \sqrt[n]{\eta} (1 + 0,05\eta) \frac{n}{1-n}.$$

$$n = n_0 - 0,1 \log(\eta)$$

D'après la courbe granulométrique du sable :

$$D_5 = 0,0042 \text{ mm} ; D_{10} = 0,0045 \text{ mm} ; D_{15} = 0,0046 \text{ mm} ;$$

$$D_{17} = 0,0047 \text{ mm} ; D_{50} = 0,035 \text{ mm} ; D_{85} = 0,14 \text{ mm} ; D_{60} = 0,017 \text{ mm}.$$

$\eta = D_{60}/D_{10} = 3.78$ Coefficient d'hétérogénéité ;

$n_0 = 0,4$ d'où $n=0,342$;

$D_5/D_{17}=0.893 > 0,247$

La condition est vérifiée donc, pas de phénomène de renard dans le sol.

Condition 2: (zone de transition)

$$\frac{D_{15}}{d_{85}} = \frac{0,0046}{0,095} = 0,048 < 4$$

La condition est vérifiée donc, pas de zone de transition

Filtre 2 :

Condition 1:

$$\frac{D_5}{D_{17}} \geq 0,32 \sqrt[6]{\eta} (1 + 0,05 \eta) \frac{n}{1 - n} .$$

$$n = n_0 - 0,1 \log(\eta)$$

D'après la courbe granulométrique du sable :

$D_5 = 0,0032\text{mm}$; $D_{10}=0,0035\text{ mm}$; $D_{15}=0,0037\text{mm}$;

$D_{17}=0,0041\text{mm}$; $D_{50}=0.071\text{mm}$; $D_{85}=0.074\text{mm}$; $D_{60}=0.017\text{mm}$.

$\eta=D_{60}/D_{10} = 4.857$ Coefficient d'hétérogénéité ;

$n_0 = 0,4$ d'où $n=0.93$;

$D_5/D_{17}=0.78 > 0,39$

La condition est vérifiée donc pas de phénomène de renard dans le sol.

Condition 2 : (zone de transition)

$$\frac{D_{15}}{d_{85}} = \frac{0.0037}{0.095} = 0.0389 < 4$$

La condition est vérifiée.

Conclusion:

On prévoit:

Une première couche de filtre en sable d'épaisseur = 15 cm.

La deuxième couche en gravier d'épaisseur = 15cm.

L'enrochement (rip-rap) d'épaisseur = 50 cm.

III.1.8.2.3 Etanchéité du barrage :

Même si la fondation rocheuse est réputée imperméable, un voile injecté au droit de la clé de la digue complètera l'étanchéité de la digue

La clé d'ancre :

En principe, le remblai peut reposer directement sur les sédiments. Ils sont étanches et ont été consolidés par les milliers d'années de dépôt. Il faut toutefois noter que localement des dépôts

granuleux ont été observés à proximité du substratum rocheux, à la base des sédiments. Ce constat implique de prévoir une clé de remblai jusqu'au rocher afin de réduire les risques de fuite au travers de ces sédiments peu étanches. Les matériaux excavés pour la réalisation de cette clé pourront être réutilisés pour le remblai. La profondeur de la clé d'encrage est exécutée jusqu'à **5 m**, L'épaisseur d'élément (clé d'ancrage) est égale (3-4) m. on prend **b=4m**. Les talus $m_1=m_2=1$.

Protection de la Crête :

La crête doit être constituée de matériaux insensibles à l'eau, et à la circulation des véhicules, la couche de protection doit être méthodiquement compactée (une couche de gravier bitume bien compactée). Pour le barrage homogène, on s'attachera à prévoir une épaisseur de recouvrement suffisante les matériaux de la couche de crête.

La crête est profilée soigneusement, afin d'empêcher toutes stagnation des eaux (pour éviter les infiltrations dans le corps du barrage), on préconise, en ce sens, d'adopter un dévers amont uniforme de 2% qui permet d'évacuer les eaux de pluie vers le parement amont (mieux protégé).

Chapitre IV :

Etude D'infiltration

Introduction

Dans un barrage en remblai, le matériau de construction est un sol, dans la plupart des cas on souhaite que l'étanchéité de l'ouvrage soit apportée par l'imperméabilité de ce matériau convenablement mis en œuvre. Quel que soit sa perméabilité, un remblai soumis à une charge d'eau (digue en terre) va se saturer partiellement.

Les statistiques montrent que plus de 50% des avaries des barrages en terre sont provoquées par la déformation de filtration, c'est pourquoi il faut toujours exécuter un calcul de filtration, donc établir la position de la ligne phréatique dans le massif du barrage, déterminer le gradient hydraulique, et le débit d'infiltration à travers l'ouvrage et le sol de fondation.

IV.1. Défaut d'étanchéité et conséquences des infiltrations

Les infiltrations qui peuvent se produire à travers le barrage ou ses fondations entraînent généralement deux principales conséquences à savoir :

A- les fuites diffuses :

Lorsque le remblai s'avère trop perméable et par voie de conséquence le débit de fuites trop élevé, le volume d'eau utilisable devient inférieur aux prévisions et ne permet plus de satisfaire la totalité des besoins.

B- La surélévation de la ligne de saturation :

Un remblai soumis à une charge hydraulique se sature partiellement. Le problème se pose lorsque par erreur sur l'identification hydrodynamique des matériaux constitutifs ou suite à des défauts d'exécution, le remblai affiche un comportement hydraulique interne avec une ligne de saturation plus élevée que prévu, une telle configuration altère les conditions de stabilité du talus aval (cas de glissement) et de plus peut engendrer des sous pressions non prises en compte au projet, enfin et surtout l'apparition d'un renard est à craindre.

IV.2. Hypothèses simplificatrices dans les calculs de filtration hydraulique des barrages en terre

Afin de pouvoir effectuer les calculs de filtrations, d'une manière plus aisée, nous serons amenés:

- ✓ à admettre la filtration dans un seul plan ;
- ✓ à prendre comme valeurs nulles, les composantes des vitesses qui ont la direction perpendiculaire à ce plan ;
- ✓ à supposer que le sol du massif du barrage soit homogène, isotrope et que la couche imperméable ait un coefficient de filtration nul ;
- ✓ La position de la ligne phréatique ne dépend pas de la qualité du sol, elle est seulement déterminée par les dimensions de la section transversale du barrage.

IV.3. La ligne de saturation

Il est nécessaire de déterminer le tracé de la ligne de saturation pour estimer le débit de fuite à travers le corps du barrage, et à apprécier les risques d'émergence de l'eau particulièrement dangereux le long du talus aval. Ce tracé est effectué à partir du cas théorique simple, étudié par KOZENY, d'un écoulement plan à travers un massif perméable reposant sur une fondation plane imperméable. Ainsi, elle partira d'un point situé à l'intersection du plan d'eau et le parement amont.

D'après KOZENY, c'est une parabole d'équation :

$$X = \frac{Y^2 - Y_0^2}{2Y_0} \Rightarrow Y = \sqrt{Y_0^2 + 2XY_0} \quad \dots \quad (\text{IV.1})$$

On a : $Y_0 = \sqrt{h^2 + d^2} - d \quad \dots \quad (\text{IV.2})$

Avec :

d : Largeur en base du barrage diminuée de 0,7b ;

b : Projection horizontale de la partie mouillée du parement amont ;

(Déterminé graphiquement) ;

h : La hauteur d'eau en amont.

On détermine la ligne de saturation pour une hauteur d'eau correspondante à la retenue normale. Et pour la hauteur des plus hautes eaux qui est un cas exceptionnel et de durée relativement courte.

Niveau de La Retenue Normale (NNR), ($h=36.5$ m) :

on aura :

D'où **$b= 115.5$ m**

L'emprise de barrage : $L_b = 259$ m

$$d = L_b - 0,7 \cdot b - L_d \text{ d'où } d = 67,4 \text{ m}$$

On aura donc : $Y_0 = 9,25 \text{ m.}$

Les coordonnées de la courbe de saturation sont données par l'équation suivante :

$$Y = \sqrt{85,56 + 18,5X}$$

Tableau IV.01 : Coordonnées de la ligne de saturation

| x | y |
|------|-------|
| 0 | 9,25 |
| 5 | 13,34 |
| 10 | 16,45 |
| 15 | 19,05 |
| 20 | 21,34 |
| 25 | 23,41 |
| 30 | 25,31 |
| 35 | 27,08 |
| 40 | 28,73 |
| 45 | 30,30 |
| 50 | 31,79 |
| 55 | 33,21 |
| 60 | 34,58 |
| 65 | 35,89 |
| 67,5 | 36,53 |

Le point d'intersection de la face amont du drain cheminé est déterminé par l'équation polaire de cette parabole.

$$a + \Delta a = \frac{Y_0}{1 - \cos(\alpha)}$$

$$\frac{\Delta a}{a + \Delta a} = 0$$

$$\Delta a = 0 \quad a = 4,63\text{m}$$

IV.4. Calcul d'infiltration

IV.4.1. Calcul du débit de fuite par infiltration à travers la digue

Le débit de fuite à travers le noyau est déterminé par la formule suivante :

$$q=K \cdot I \cdot A \quad \dots \dots \dots \text{ (IV.3)}$$

Avec :

q : Débit d'infiltration en ($\text{m}^3/\text{s}/\text{ml}$).

K : Coefficient de perméabilité en (m/s). ($K = 3.2 \cdot 10^{-9} \text{ m/s}$)

I : Gradient hydraulique.

A : Section d'infiltration par unité de longueur.

Le gradient hydraulique est déterminé par: $I = \frac{dy}{dx}$ et $A = y \cdot I$

$$\text{Donc: } q = K \cdot y \frac{dy}{dx} \quad \dots \dots \dots \text{ (IV.4)}$$

$$\text{Avec: } y \frac{dy}{dx} = y_0$$

D'où $q = K \cdot y_0 \text{ m}^3/\text{s}/\text{ml}$.

Le débit total à travers le barrage sera donc $=q \cdot L$

Tableau IV.02 : Débit de fuite à travers la digue

| $Y_0 \text{ (m)}$ | $K \text{ (m/s)}$ | $q \text{ (m}^3/\text{s}/\text{ml)}$ | $Q(\text{m}^3/\text{s})$ |
|-------------------|---------------------|--------------------------------------|--------------------------|
| 9.25 | $3.2 \cdot 10^{-9}$ | $2.95 \cdot 10^{-8}$ | $3.84 \cdot 10^{-6}$ |

IV.4.2. Fondation

Le débit d'infiltration à travers les fondations est donné par la loi de Darcy (IV.3):

$$q_n = K \cdot I \cdot A$$

Avec : K : Coefficient de perméabilité. ($K = 10^{-7} \text{ m/s}$)

$$I: \text{gradient hydraulique. } I = H_1 / L_b \quad \dots \dots \dots \text{ (IV.5)}$$

(H_1 = charge d'eau dans retenue, $L_b = 259 \text{ m}$ L'emprise de barrage).

A : section d'infiltration par unité de longueur. $A = T \cdot 1$ ($T = 4.5 \text{ m}$ Profondeur du sol de fondation perméable).

D'où $q_n = K \cdot I \cdot T$

Tableau IV.03 : Débit de fuite de la fondation

| $H_1 \text{ (m)}$ | I | $K \text{ (m/s)}$ | $q \text{ (m}^3/\text{s}/\text{ml)}$ | $Q(\text{m}^3/\text{s})$ |
|-------------------|-------|-------------------|--------------------------------------|--------------------------|
| 36.5 | 0,141 | 10^{-7} | $6.35 \cdot 10^{-8}$ | $8.25 \cdot 10^{-6}$ |

IV.4.3 Barrage (digue+fondation) :

Le débit total d'infiltration (en m^3/s) à travers le barrage est donné dans le tableau suivant :

Tableau IV.05 : Débit de fuite de barrage

| Digue | fondation | Barrage |
|----------------------|----------------------|----------------------|
| $3.84 \cdot 10^{-6}$ | $8.25 \cdot 10^{-6}$ | $1.21 \cdot 10^{-5}$ |

IV.5. Vérification de la résistance d'infiltration du sol du barrage

1. dispositif d'étanchéité :

La résistance d'information du sol du corps de la digue est donnée par :

$$I = \frac{\Delta H}{\delta n} < I_{adm} \quad \dots \dots \dots \quad (\text{IV.6})$$

ΔH : charge d'eau dans la retenue.

δn : épaisseur moyenne de la digue.

I_{adm} : gradient hydraulique admissible ; on le détermine à partir du tableau

Tableau IV.06 : Classification des barrages

| Classe de l'ouvrage | Sol de fondation | |
|---------------------|-----------------------|----------------------|
| | Rocheux | Meuble |
| I | $H_b > 100 \text{ m}$ | $H_b > 50$ |
| II | De 50 à 100 m | De 25 à 50 m |
| III | De 20 à 50 m | De 15 à 25 m |
| IV | $H_b < 20 \text{ m}$ | $H_b < 15 \text{ m}$ |

Notre barrage appartient à la II classe

Tableau IV.07 : Gradient hydraulique admissible.

| Sol du corps du barrage. | Classe de l'ouvrage | | | |
|--------------------------|---------------------|------|------|------|
| | I | II | III | IV |
| Argile compactée | 1.5 | 1.6 | 1.8 | 1.95 |
| Limon | 1.05 | 1.15 | 1.25 | 1.35 |
| Sable moyen | 0.7 | 0.8 | 0.9 | 1.0 |
| Limon sableux | 0.55 | 0.65 | 0.75 | 0.85 |
| Sable fin | 0.45 | 0.55 | 0.65 | 0.75 |

Notre barrage appartient à la II classe, alors on prend $I_{adm}=1.6$

Donc : $\Delta H=41 \text{ m}$; $\delta n=134 \text{ m}$;

$$I = 0.31 \leq I_{adm}$$

D'où La résistance à l'infiltration à travers le barrage est assurée.

2. fondation du barrage :

La vérification de la résistance d'infiltration générale est vérifiée si et seulement si la condition suivante est vérifiée :

$$I_f < \frac{I_{cr}}{K_s} \quad \dots \dots \dots \quad (\text{IV.7})$$

Avec :

I_{cr} : gradient d'infiltration critique qui est déterminé en fonction du type de sol de la fondation.
Il est donné par le tableau :

Tableau IV.08 : Détermination du gradient d'infiltration admissible

| Sols de fondation | <i>Icr</i> |
|--------------------|------------|
| Argile | 1.2 |
| Limon | 0.65 |
| Sable gros | 0.45 |
| Sable moyen | 0.38 |
| Sable fin | 0.29 |

K_s : coefficient de sécurité déterminé en fonction de la classe du barrage d'après le tableau suivant :

Tableau IV.09 : Détermination du coefficient de sécurité

| Classe du barrage | I | II | III | IV |
|-------------------|----------|-----------|------------|-----------|
| K_s | 1.25 | 1.20 | 1.15 | 1.10 |

I_f : gradient d'infiltration dans la fondation du barrage, on le détermine d'après la formule suivante :

$$I_f = \frac{\Delta H}{L_b + 0,88T_c} \dots \dots \dots \text{ (IV.8)}$$

T_c : profondeur de calcul de la zone de l'infiltration de la fondation. ($T_c = 4.5$ m)

ΔH : charge d'eau ($H=41$ m).

L_b : largeur à la base du barrage ($L=259$ m).

On a donc : $I_f = 0.156$

Notre barrage appartient à la II classe ce qui donne ($K_s=1,20$).

Les fondations calcaires dures argileuses, donc: $I_{cr}=1.2$

On a donc : $\frac{I_{cr}}{K_s} = 1$

On remarque que $I_f < \frac{I_{cr}}{K_s}$, donc la condition est vérifiée et la résistance d'infiltration à travers la fondation est assurée.

Chapitre V :

Etude De Stabilité

Introduction

Il est évident qu'un remblai mal dimensionné, et instable peut, d'une part porter préjudice à la sécurité des populations, exploitations agricoles et aménagements situés à son aval et, d'autre part, appellera probablement des travaux d'entretien.

L'étude de stabilité d'un barrage en terre est fondamentale car s'appuyant sur celle de ses talus amont et aval, et aussi de sa fondation. L'étude de stabilité de ces barrages a attiré, par son importance dans la méthodologie, l'attention de plusieurs chercheurs et ingénieurs. Pour aborder toute analyse ayant lien à la stabilité, il est convenu qu'il faut développer un certain nombre d'hypothèses selon la complexité et les données du problème.

Selon ces hypothèses, la solution du problème peut être déterminée analytiquement ou graphiquement ou par combinaison des deux. Suivant la méthode utilisée, il est convenu que pour arriver à un résultat, nous sommes obligé de donner la forme de la surface de rupture au contact de laquelle il peut y avoir glissement. En général, cette surface est prise comme étant cylindrique, circulaire à axe horizontal qui apparaît comme un cercle, appelé cercle de glissement dans une coupe transversale de la digue. Cette hypothèse est bien conforme aux observations sur le glissement du talus.

Il est important de signaler que jusqu'à ce jour, ce domaine reste ouvert à toutes suggestions, améliorations et approfondissements pour la bonne connaissance des phénomènes mécaniques qui peuvent induire la masse sujette au glissement

V.1. Conséquences de l'instabilité des talus

- ✓ Déformation ou rupture des dispositifs internes de drainage (conséquence directe)
- ✓ Rupture des canalisations de vidange ou de prise d'eau
- ✓ Interception et remontée de la ligne de saturation et augmentation du débit de fuit (conséquence indirecte).

V.2. Méthode de calcul

Pour l'appréciation de la stabilité du remblai compacté du barrage de Chebabta, et la vérification des valeurs des fruits des parements adoptés, nous avons utilisé la méthode des tranches (Méthode de FELLENIUS). Cette vérification a fait l'objet d'un calcul détaillé effectué manuellement. Ce calcul manuel a été réalisé avec la contribution d'un programme Excel.

Quatre cas peuvent être vérifiés :

Parement amont : cas fin de construction et vidange rapide.

Parement aval : cas fin de construction et fonctionnement normal.

Pour réaliser cette étude nous avons tenu compte des données suivantes :

- ✓ De la géométrie de la digue
- ✓ Des caractéristiques des matériaux utilisés
- ✓ Des différents niveaux d'eau dans la cuvette en fonction de l'exploitation du barrage (niveau de retenue normale et vidange rapide).
- ✓ Du niveau piézoélectrique dans les différentes couches.
- ✓ De l'accélération de la pesanteur en cas de séisme prévu pour une période de retour de 500 ans

V.2.1. Principe de la méthode

Cette méthode nous amène à respecter les étapes suivantes :

- ✓ Construire la coupe transversale du barrage à l'échelle.
- ✓ Détermination du talus moyen.
- ✓ Tracer deux lignes au milieu du talus moyen, l'une verticale et l'autre faisant un angle 85° avec le talus moyen.
- ✓ Détermination de la zone du centre du cercle de glissement, pour cela Fandeev recommande de disposer le centre du cercle du glissement dont les limites définis par deux cercles de rayons, R_{\min} et R_{\max} donnés par le tableau suivant :

Tableau V.01 : détermination des rayons max et min

| Pente des parements | 1/1 | 1/2 | 1/3 | 1/4 | 1/5 | 1/6 |
|---------------------|------|------|------|------|------|------|
| $K_1=R_1/H_b$ | 0,75 | 0,75 | 1,00 | 1,50 | 2,20 | 3,00 |
| $K_2=R_2/H_b$ | 1,50 | 1,75 | 2,30 | 3,75 | 4,80 | 5,50 |

H_b : Hauteur totale du barrage ($H_b=43,5$ m).

La ligne de glissement éventuelle est un arc de cercle à trois paramètres inconnus : rayon, abscisse et ordonnée du centre. La partie instable du talus (au-dessus du cercle de glissement) est divisée en certain nombre de tranches verticales de largeur égales.

Le coefficient de sécurité à la stabilité est égal :

$$K_S = \frac{M_{\text{resist}}}{M_{\text{mot}}} \dots \dots \dots \dots \dots \dots \dots \quad (\text{V.01})$$

M_{resist} : les moments résistants.

M_{mot} : les moments moteurs.

La valeur minimale du facteur de sécurité est caractérisée par un centre de cercle critique qui définit en fin de compte la valeur à prendre en considération, cette valeur du facteur de sécurité définie doit être supérieure du moins égale à la valeur admissible.

Tableau V.02 : les valeurs admissibles des coefficients de sécurité

| Combinaison des charges et des actions | Classe de l'ouvrage | | | |
|--|---------------------|-------------|-------------|-------------|
| | I | II | III | IV |
| Fondamentales (sans séisme) | 1,20 ÷ 1,30 | 1,15 ÷ 1,20 | 1,1 ÷ 1,15 | 1,05 ÷ 1,10 |
| Spéciales (Avec séisme) | 1,05 ÷ 1,10 | 1,05 ÷ 1,10 | 1,05 ÷ 1,10 | 1,05 |

Notre barrage fait partie de la II classe, le coefficient admissible sera donc :

- sans séisme : $K_{\text{ss,adm}} = 1,15 \div 1,2$
- avec séisme : $K_{\text{as,adm}} = 1,05 \div 1,1$

Pour notre cas :

| talus | Pente du talus | K_1 | K_2 | R_1 (m) | R_2 (m) |
|-------|----------------|-------|-------|-----------|-----------|
| Amont | 3,0 | 1,000 | 2,300 | 43,50 | 100,05 |
| Aval | 2,5 | 0,875 | 2,025 | 38,06 | 88,08 |

Le centre des rayons étant le point « B »

L'intersection des rayons $R_1 ; R_2$ avec les deux lignes (verticales, inclinée) nous donne la zone des cercles .On trace à la suite une courbe de rayon « R » qui doit être dans la limite du talus aval c'est à dire entre l'axe horizontal du barrage et la surface du terrain à côté du talus aval, et on indique le centre de glissement « o »

On partage la zone limitée par la courbe en parties verticales (tranches) d'une épaisseur $b=0,1R$, on marque toutes les parties gauches par des chiffres positifs et les parties droites par des chiffres négatifs en commençant de la partie « zéro » sous le centre de glissement (projection).

Les efforts agissants sur une partie de glissement sont :

1. Poids de la tranche « G ».
2. Forces de frottement au pied de la partie partagée « F ».
3. Forces de pressions interstitielles.
4. Forces de Cohésion.
5. L'effort du séisme.

Le poids de la tranche se décompose en deux composantes :

Composante normale (forces stabilisatrices) : $N = Gn \cos \alpha$

Composante périphérique (forces déstabilisatrices) : $T = Gn \sin \alpha$

Avec : α : angle d'inclinaison du pied de la tranche par rapport à l'horizontale.

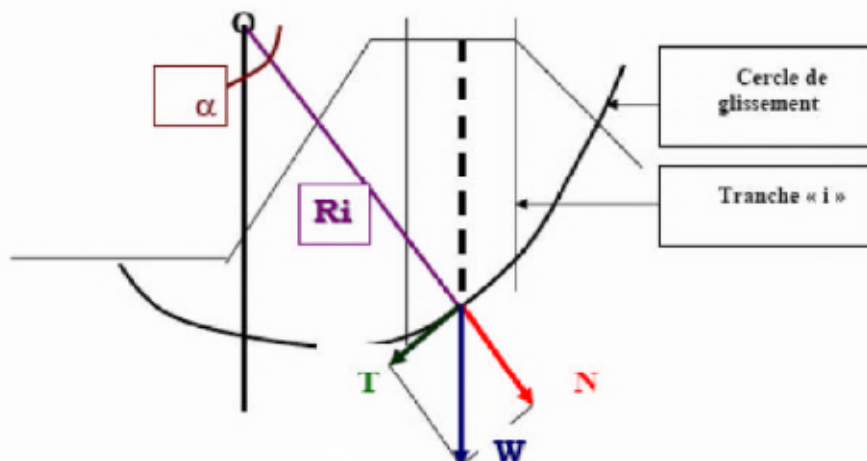


Figure V.01 : forces exercées par une tranche de sol instable sur le cercle de glissement (0, Ri)

V.2.2. Calcul des forces appliquées à chaque tranche :

A - Force de pesanteur (poids propre de la tranche) :

La force de pesanteur est appliquée au centre de gravité pour chaque tranche.

La formule s'écrit :

$$G_n = b (\gamma_1 \cdot h_1 + \gamma_2 \cdot h_2 + \gamma_3 \cdot h_3) \quad \dots \quad (V.02)$$

h_1, h_2, h_3 : hauteurs des tranches.

γ_1 : densité de la zone du massif située au dessus de la ligne de saturation.

γ_2 : densité de la zone du massif située au dessous de la ligne de saturation.

γ_3 : densité de l'assise.

b : largeur de la tranche.

B - Force de pression interstitielle :

Dans le cas où le barrage est à son niveau normal de retenue (NNR).

$$P = U \cdot dl = \gamma_w \cdot h \cdot dl \quad \dots \quad (\text{V.03})$$

U : pression interstitielle.

dl : longueur de l'arc délimitant la base de la tranche.

γ_w : poids volumique de l'eau $\delta_w = 10 \text{ KN/m}^3$.

h : hauteur de la tranche.

C - Forces de cohésion :

$$F_c = c \cdot dl \quad \dots \quad (\text{V.04})$$

C : Cohésion du sol (Matériaux).

D - Forces dues au séisme :

$$T = a \cdot G_n \quad \dots \quad (\text{V.05})$$

a : Coefficient de séisme.

Gn : Poids de la tranche.

V.2.2.1 Classement des forces :

On peut classer toutes ces forces comme suit :

✓ **Les forces stabilisatrices :**

A - Force de frottement :

$$F_f = N_n \cdot \operatorname{tg} \varphi - U \cdot dl \cdot \operatorname{tg} \varphi \quad \dots \quad (\text{V.06})$$

φ : Angle de frottement.

dl : Longueur de la courbe de glissement dans les limites de la partie partagée.

B - Force de cohésion :

$$F_c = c \cdot dl \quad \dots \quad (\text{V.07})$$

$$dl = \frac{2 \cdot \pi \cdot R \cdot B_i}{360}$$

Avec :

R : rayon de la courbe de glissement.

B_i : Angle au centre des tronçons de la courbe de glissement.

Le moment de la force par rapport au centre de glissement est donné par :

$$M_s = [(N_n - U \cdot dl) \operatorname{tg} \varphi + c \cdot dl] \cdot R \quad \dots \quad (\text{V.08})$$

✓ **Les forces motrices :**

Les forces motrices sont caractérisées par la composante périphérique (Nt), (force de cisaillement) du poids (Gn) qui provoque le glissement du talus.

Le moment de ces forces par rapport au centre de glissement est donné par :

$$M = R \sum_{i=1}^n T_n \quad \dots \quad (\text{V.09})$$

$$\sin \alpha = \frac{\text{Numéro.d'ordre.de.la.section.divisée}}{\text{Nombre.total.des tranches}}$$

$$\cos \alpha = \sqrt{1 - \sin^2 \alpha}$$

V.3. Calcul du coefficient de sécurité pour les différents types de fonctionnement

Le coefficient «Ks» sera calculé pour les différents types de fonctionnement de retenue.

A - Fin de construction (talus amont et aval) :

L'étape la plus critique se situe juste à la fin de la construction, alors que les pressions interstitielles sont à leur maximum, le drainage n'a pas encore eu lieu, le calcul se fera alors en contraintes effectives en considérant les densités de mise en place des terres (95% Proctor).

$$\text{Sans séisme} \quad K_{ss} = \frac{\sum N_n \operatorname{tg}\phi + \sum cdl}{\sum T_n} \dots \quad (\text{V.10})$$

$$\text{Avec séisme} \quad K_{as} = \frac{\sum N_n \operatorname{tg}\phi + \sum cdl}{\sum T_n + \frac{1}{R} \sum aG_n d_n} \dots \quad (\text{V.11})$$

B - Fonctionnement normale (talus aval) :

De même que pour la fin de construction, le calcul se fait en contraintes effectives en tenant compte de l'écoulement à l'intérieur de la digue du aux infiltrations.

Ce cas a la réputation d'être le plus défavorable pour le talus aval, du fait du caractère catastrophique d'une rupture en charge.

$$\text{Sans séisme} \quad K_{ss} = \frac{\sum (N_n - P) \operatorname{tg}\phi + \sum cdl}{\sum T_n} \dots \quad (\text{V.12})$$

$$\text{Avec séisme} \quad K_{as} = \frac{\sum (N_n - P) \operatorname{tg}\phi + \sum cdl}{\sum T_n + \frac{1}{R} \sum aG_n d_n} \dots \quad (\text{V.13})$$

C - Vidange rapide (talus amont) :

La vidange rapide par laquelle a été vérifiée la stabilité du talus amont, est le cas le plus défavorable. Pour ce dernier, l'abaissement rapide du plan d'eau entraîne un écoulement en régime transitoire dans la digue. L'état critique se situant juste après vidange, les pressions hydrostatiques internes ne s'étant pas dissipées, dans ce cas les moments stabilisants seront dus au poids saturé.

$$\text{Sans séisme} \quad K_{ss} = \frac{\sum N_n \operatorname{tg}\phi + \sum cdl}{\sum T_n} \dots \quad (\text{V.14})$$

$$\text{Avec séisme} \quad K_{as} = \frac{\sum N_n \operatorname{tg}\phi + \sum cdl}{\sum T_n + \frac{1}{R} \sum aG_n d_n} \dots \quad (\text{V.15})$$

Tableau V.03 : Les caractéristiques géotechniques des sols

| Paramètres | Unité | Corps du barrage |
|-----------------|----------------------|------------------|
| φ | Degré ($^{\circ}$) | 34° |
| C | t/m ² | 3,90 |
| γ_{sat} | t/m ³ | 2,7 |
| γ_d | t/m ³ | 2,3 |
| γ_{fond} | t/m ³ | 3,2 |

Les résultats du calcul manuel sont regroupés dans le tableau suivant et les schémas de calcul de stabilité sont représentés dans la planche N° 06

Tableau V.04 : coefficient de sécurité pour différents cas de fonctionnement

| CAS DE SOLLICITATION | COEFFICIENT DE SECURITE | |
|-----------------------|-------------------------|---------------------------|
| | Avec séisme 1,05÷1,1 | Sans séisme 1,15 ÷ 1,2 |
| Fin de construction | Talus amont | |
| | R= 86,23m | 2,31 |
| | R= 88,82m | 3,06 |
| | R= 89,30m | 2,43 |
| | R= 91,94m | 2,62 |
| | R= 94,09m | 2,23 |
| | Talus aval | |
| | R= 72,06m | 1,95 |
| | R= 72,58m | 2,43 |
| | R= 76,72m | 2,19 |
| Fonctionnement normal | R= 86,88m | 2,2 |
| | R= 87,16m | 1,88 |
| | Talus aval | |
| | R= 72,06m | 1,13 |
| | R= 72,58m | 1,32 |
| | R= 76,72m | 1,3 |
| Vidange rapide | R= 86,88m | 1,23 |
| | R= 87,16m | 1,09 |
| | Talus amont | |
| | R= 86,23m | 2,29 |
| | R= 88,82m | 3,03 |
| | R= 89,30m | 2,42 |

Chapitre VI :

Organisation de Chantier

Introduction

L'organisation de chantier à pour but de réaliser des projets dans des délais courts et à moindres coûts. Elle consiste à utiliser la main d'œuvre d'une façon économique, ainsi que les autres moyens mis en œuvre pour gérer le chantier.

Afin d'atteindre ces objectifs, il est impératif de :

- ✓ Définir avec précision les méthodes d'exécution, les modes opératoires permettant la mise en pratique des techniques modernes de construction avec un haut rendement ;
- ✓ Repartir et coordonner les tâches par la contraction d'une main d'œuvre spécialisée ;
- ✓ Structurer convenablement les postes de travail stabilisés pour lesquels, on adopter une mécanisation de plus en plus poussée ;
- ✓ Arrêter en quantité et en qualité le personnel à employer, le coût de la main d'œuvre ayant une influence importante sur le prix de revient ;

VI.1.Organisation technique de préparation

Les opérations essentielles de préparations dans l'organisation technique pour la construction hydrotechnique commencent par la préparation des documents qui donnent droit à l'organisme de réaliser l'exécution des travaux de construction.

L'organisation technique de préparation passe par les étapes suivantes :

1-Période de préparation, consiste à établir l'ordre chronologique et la cadence de réalisation des travaux en qualités et en quantités.

2-Mesure d'approvisionnement du chantier en matériaux de construction concernant le lieu et la qualité.

VI.2. Travaux préparatoires et installation de l'entreprise

L'implantation d'un chantier nécessite un terrain en dégageant de larges espaces autour de l'entreprise de la prise d'eau, a fin de ménager les divers aires de stockages et des pistes de circulation d'engins, suivie de leur occupation progressive par les locaux, engins, poste fixes de travail.

On peut distinguer les installations suivantes :

VI.2.1. Installations destinées au personnel

En général, sont les dortoirs ; les réfectoires, les installations sanitaires et les bureaux de chantier.

VI.2.2. Installations destinées au stockage des matériaux

Pour les ciments nous utilisons soit, des silos métalliques, soit des baraquements en bois ou en métal, les agrégats stockés peuvent être en plein air, on doit seulement prévoir un croisement entre les différents types d'agrégats, pour éviter leur mélange et ce fait faciliter le dosage du béton, et les aciers, on doit les protéger dans des endroits de forte humidité (baraquement, hangars).

VI.2.3. Installations destinées à la réparation des engins

En général, les grosses réparations ne se font pas sur le chantier lui-même, mais il importe de disposer d'un atelier suffisamment bien équipé pour assurer l'entretien courant et les réparations d'urgence des différents matériels.

VI.2.4. Installation destinée pour la préfabrication

Pour cette installation, elle est constituée des hangars munis de matériel nécessaire permettant la réalisation des éléments de l'ouvrage tels que les poutres, dalles, conduites, murettes...etc.

VI.3. Tavaux de réalisation

VI.3.1. Travaux de terrassements

Pour la réalisation des travaux de terrassements, il est nécessaire d'établir la balance des masses volumiques de terrassement en adoptant les travaux les plus économiques en ce qui concerne la répartition et le transport des matériaux de construction sur le chantier, ainsi que le choix par les caractéristiques techniques des outils mécaniques.

VI.3.2. Travaux d'excavations

Les différentes opérations d'excavation devront être faites selon les données avancées dans le dossier des plans et le programme général des travaux, ces derniers comprennent le décapage, excavation et mise en dépôt des déblais suivant les étapes suivantes :

- ✓ Décapage de la terre végétale sur l'assise de la digue et la zone d'emprunt, qui sera transporté vers une décharge dans une zone stable sans influence sur le déroulement et le régime des travaux.

VI.3.4. Travaux secondaires

Cela consiste au travail dont le besoin est de pouvoir exploiter tous les ouvrages dans les meilleures conditions possibles.

- ✓ L'aménagement de la zone d'emprunt.
- ✓ Stabilité des décharges ainsi que leur protection contre l'érosion et leur éloignement des cours d'eau.
- ✓ Reboisement des zones à risque d'érosion au alentour du barrage.

Tous les travaux peuvent être exécutés à partir de l'automne de la première année de construction et au cours de la deuxième année sauf pendant la période humide.

VI.4. Les moyens de chantier

En ce qui concerne les moyens en personnel, l'entreprise devra indiquer nommément la personne physique responsable du chantier et son intérimaire en précisant leurs titres, références et compétence. Les mêmes indications devront être fournies pour les techniciens spécialisés tels que géotechnicien spécialiste en travaux d'étanchéité, d'injection etc. qui auraient à intervenir sur le chantier.

La construction d'une digue en terre nécessite l'utilisation de nombreux engins mécaniques destiné à scarifier, excaver, transporter, niveler et compacté les matériaux.

On peut distinguer le matériel de compactage, la fonction les caractéristiques principales et le rendement des différents engins de terrassement et de compactage susceptible d'être utilisés lors de la réalisation du petit barrage.

A- Les moyens humains

En ce qui concerne les moyens humains pour la réalisation de l'ouvrage, on doit justifier la mise en œuvre du personnel compétent pour la réalisation des études préalables et pour la construction en précisant leurs titres et leurs compétences.

B - Les engins de terrassement

Le matériel général de terrassement comprend les engins traditionnels mis en œuvre pour la constitution des fouilles d'assise du barrage, l'extraction et / ou le transport des matériaux et la réalisation des finitions (remblai– enrochement ...).

- ✓ Le bulldozer.
- ✓ Pelle mécanique.
- ✓ Chargeur à pneu ou à chenilles.
- ✓ Décapeuse.
- ✓ Les niveleuses et les camions.

Le compactage des remblais est une phase très importante parce que cette opération est liée d'une façon directe à l'étanchéité de l'ouvrage. On fait appel aux engins suivants:

- ✓ Les compacteurs à pneus : Ils conviennent pour le compactage de tout type de sol.
- ✓ Les compacteurs à rouleaux vibrant : Ils sont utilisés pour le compactage des matériaux à angle de frottement élevé, tels les enrochements ou les sables à granulométrie serrée.
- ✓ Les compacteurs à pied dameurs (à pied de mouton) : conviennent pour le compactage des sols fins.

C - Le matériel de bétonnage

On utilise le plus souvent des bétonnières pour la fabrication du béton nécessaire pour la construction des ouvrages en béton (évacuateur

D - Le matériel spécifique

On utilise comme matériel :

- ✓ Les engins de forage et d'injection.
- ✓ Le matériel pour la fabrication des produits bitumineux.

VI.5. Techniques de la planification

Il existe deux principales méthodes de planification à savoir :

- ✓ Méthodes basées sur le réseau ;
- ✓ Méthodes basées sur le graphique.

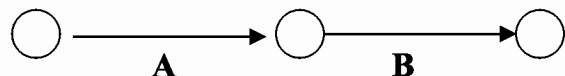
VI.5.1. méthodes basées sur le réseau

VI.5.1.1. Définition du réseau

Le réseau est une représentation graphique d'un projet qui permet d'indiquer la relation entre les différentes opérations qui peuvent être successives, simultanées, convergentes et la durée de réalisation. On distingue deux types de réseaux :

- ✓ **Réseau à flèches**

L'opération est représentée par une flèche et la succession des opérations par des nœuds.



L'opération **A** précède l'opération **B**

- ✓ **Réseau à nœuds**

L'opération est représentée par un nœud et la succession des opérations par des flèches



L'opération **(B)** ne peut commencer que si l'opération **(A)** est complètement achevée.

VI.5.1.2. Construction du réseau

Pour construire un réseau il convient d'effectuer les six (6) opérations suivantes :

- ✓ **Etablissement d'une liste des tâches**

Il s'agit dans cette première phase de procéder à un inventaire très précis et détaillé de toutes les opérations indispensables à la réalisation d'un projet.

- ✓ **détermination des tâches antérieures**

Après avoir dressé la liste des tâches à effectuer, il n'est pas toujours facile de construire un réseau car il n'est pas aisé de dire si les tâches antérieures doivent être successives ou convergentes.

- ✓ **Construction des graphes partiels ;**
- ✓ **Regroupement des graphes partiels ;**
- ✓ **Détermination des tâches de début de l'ouvrage et de fin de l'ouvrage ;**
- ✓ **Construction du réseau .**

VI.5.1.3. Méthode C.P.M (méthode du chemin critique)

L'objectif de cette méthode est de réduire les temps de réalisation d'un ouvrage en tenant compte de trois phases :

- 1^{ère} phase** : l'effectif nécessaire pour effectuer le travail considéré ;
- 2^{ème} phase** : analyser systématiquement le réseau, heure par heure, jour pour jour, selon l'unité de temps retenue ;
- 3^{ème} phase** : adapter le réseau aux conditions ou contraintes fixées par l'entreprise.

VI.5.3. les étapes de la planification

La planification est le processus de la ligne de conduite des travaux à réaliser, elle comprend des étapes suivantes :

VI.5.3.1.collection des informations

L'établissement d'une synthèse d'analyse des informations acquises par des études comparatives permet l'usage correct du plan de réalisation de notre projet.

VI.5.3.2. décomposition du projet

C'est une partie importante car chaque projet peut être analysé de diverses manières ; nous attribuons à chaque tâche un responsable et ses besoins en matériels.

VI.5.3.3. relations entre les tâches

Il existe deux relations essentielles entre les tâches lors de la réalisation; l'une porte sur un enchaînement logique et l'autre sur un enchaînement préférentiel.

VI.5.4. les paramètres de la méthode C.P.M

Les paramètres indispensables dans l'exécution de cette méthode sont les suivants :

| | |
|-------------|-------------|
| DCP | TR |
| DFP | DCPP |
| DFPP | MT |

Avec :

- TR** : temps de réalisation ;
- DCP** : date de commencement au plus tôt ;
- DCPP** : date de commencement au plus tard ;
- DFP** : date de finition au plus tôt ;
- DFPP** : date de finition au plus tard ;
- MT** : marge totale.

Et :

$$\left\{ \begin{array}{l} \text{DFP} = \text{DCP} + \text{TR} \\ \text{DCPP} = \text{DFPP} - \text{TR} \end{array} \right.$$

VI.5.4.1.Chemin critique (C.C)

C'est le chemin qui donne la durée totale du projet (DTR) reliant les opérations possédant la marge totale nulle (0).

Donc pour retrouver un chemin critique il suffit de vérifier la double condition suivante

$$C.C \Leftrightarrow \begin{cases} MT = 0 \\ \sum TR_{c.c} = D.T.P \end{cases}$$

VI.5.4.2. Attribution des durées de chaque opération

Pour l'attribution du temps, il est nécessaire de se baser sur deux points :

- Le nombre de ressources (moyens humains et matériels) ;
- Dimensions du projet.

En utilisant les normes C.N.A.T, on pourra appliquer la formule suivante:

$$T = \frac{Q.N}{n}$$

Avec :

$$\begin{cases} Q = \text{Quantité de travail} \\ N = \text{Rendement} \\ n = \text{Nombre d'équipes} \end{cases}$$

VI.5.5. les plannings

Il existe trois types de plan de travail :

VI.5.5.1. plan de travail au plus tôt

Toutes les opérations commencent à leur date au plus tôt, l'entreprise opte pour ce type de planning lorsqu'elle est riche en moyens et travaille sur plusieurs chantiers.

VI.5.5.2. plan de travail au plus tard : (PTPP)

Toutes les opérations commencent à leur date au plus tard ; les tâches ne sont pas retardées, l'entreprise opte pour ce type de planning quand ses moyens sont limités (plus économique).

VI.5.5.3. plan de travail intermédiaire

Les opérations commencent à une date intermédiaire, entre date u plus tôt et date au plus tard ; l'entreprise opte pour ce type de planning quand elle est riche et travaille sur un seul chantier (moyens parfaits).

VI.6.délai de construction et programme des travaux

Le délai de construction de l'ouvrage est déterminé en tenant compte du temps de réalisation de chacune des opérations qui le composent, tout en sachant que certaines opérations peuvent être menées parallèlement. La bonne exécution de ces travaux suppose une bonne planification des différentes tâches c'est-à-dire une recherche constante de la meilleure façon d'utilisation à bonne éscience la main d'œuvre et les autres moyens mécaniques pour assurer l'efficacité de l'action entreprise moyennant le respect de certaines exigences dont entre autres :

- ✓ le déroulement du travail dans un ordre correct c'est-à-dire une bonne succession des opérations ;
- ✓ le respect des délais de réalisation pour chaque opération
- ✓ faire le travail le plus économiquement possible.

Ainsi, cette rationalisation des travaux est tributaire de certaines conditions à savoir la mécanisation maximale des travaux, disponibilité d'un matériel de construction de haut rendement asservie par du personnel qualifié ; bon état du réseau routier servant à l'exécution des opérations de transport; la combinaison dans le temps de différents travaux sur plusieurs fronts sans en pénaliser leur bonne réalisation.

VI.6.1.Symboles des différentes opérations

Ces symboles sont consignés dans le tableau suivant :

Tableau VI.1.: symboles des opérations

| Phases des Travaux | Opérations | Duré (mois) |
|--|------------|-------------|
| Phase 01 : Travaux de préparation, installation de chantier, développement du réseau routier assurant l'accès au chantier; | A | 1-2 |
| Phase 02 : décapage et réalisation de la portion de tranchée d'ancrage au droit de la conduite de vidange ; | B | 1-2 |
| Phase 03 : décapages généraux et ouverture de la tranchée d'ancrage ; | C | 2 |
| Phase 04 : préparation des zones d'emprunt ; | D | 2 |
| Phase 05 : déboisement de la cuvette ; | E | 3 |
| Phase 06 : remblai de la tranche d'ancrage et des fondations | F | 1-2 |
| Phase 07 : approvisionnement du filtre | G | 1-2 |
| Phase 08 : mise en place un système de drainage | H | 2-3 |
| Phase 09 : remblai compacté | I | 4-5 |
| Phase 10 : excavations de l'évacuateur de crues | J | 1-2 |
| Phase 11 : génie civil de l'évacuateur de crues | K | 2 |
| Phase 12 : revêtements de talus | L | 3 |
| Phase 13 : équipements hydraulique | M | 1-2 |
| Phase 14 : travaux des finitions | N | 2 |

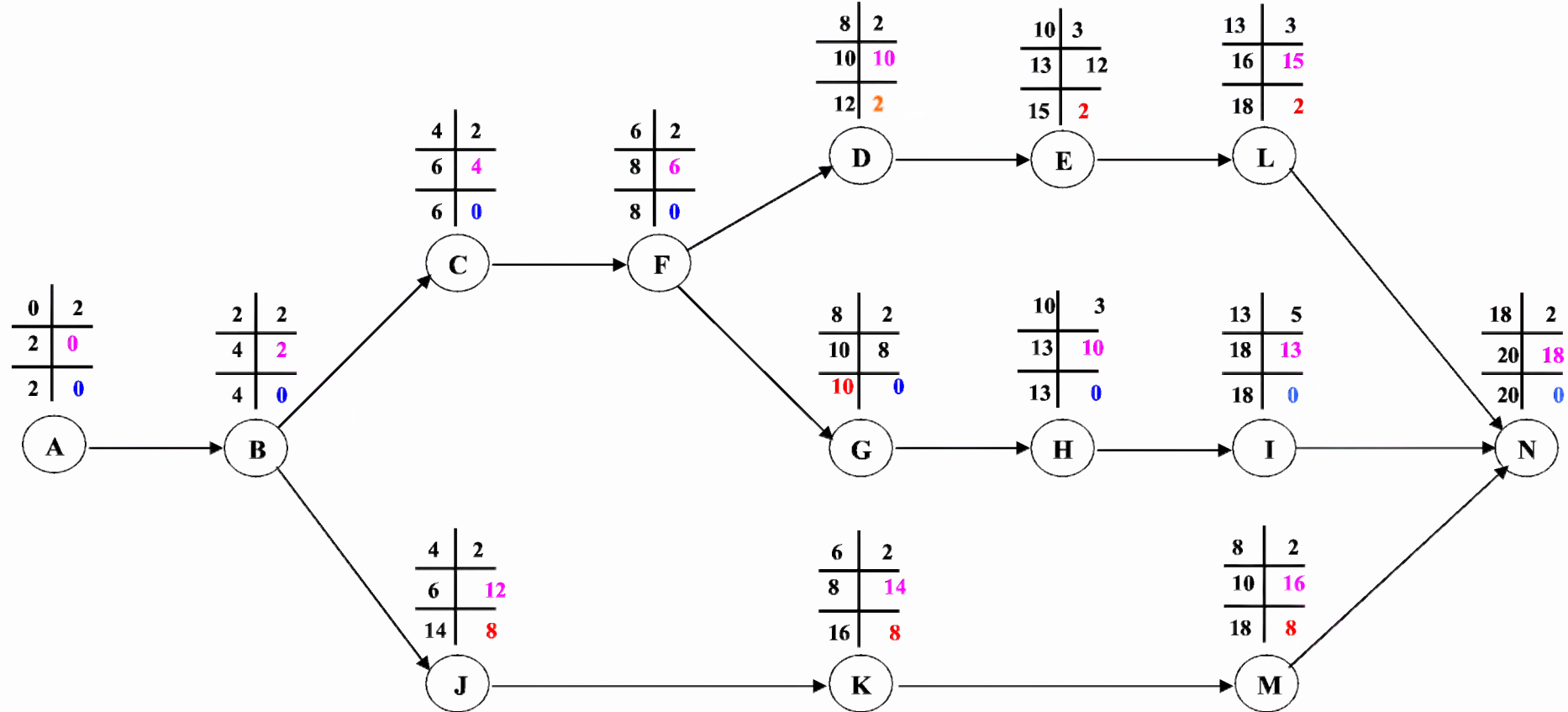


Figure VI.1 : Réseau à nœuds

VI.7. Détermination des chemins critiques :

C'est le chemin qui donne la durée totale du projet (DTR) reliant les opérations possédant la marge totale nulle (0).

Ainsi on obtient les résultats consignés dans le tableau suivant :

Tableau VI.2 : Détermination des chemins critiques

| Opération | TR | D.P | | D.F.P | | M.T |
|-----------|----|-------|-------|---------|---------|-----|
| | | D.C.P | D.F.P | D.C.P.P | D.F.P.P | |
| A | 2 | 0 | 2 | 0 | 2 | 0 |
| B | 2 | 2 | 4 | 2 | 4 | 0 |
| C | 2 | 4 | 6 | 4 | 6 | 0 |
| D | 2 | 8 | 10 | 10 | 12 | 2 |
| E | 3 | 10 | 13 | 12 | 15 | 2 |
| F | 2 | 6 | 8 | 6 | 8 | 0 |
| G | 2 | 8 | 10 | 8 | 10 | 0 |
| H | 3 | 10 | 13 | 10 | 13 | 0 |
| I | 5 | 10 | 18 | 13 | 18 | 0 |
| J | 2 | 4 | 6 | 12 | 14 | 8 |
| K | 2 | 6 | 8 | 14 | 16 | 8 |
| L | 3 | 13 | 16 | 15 | 18 | 2 |
| M | 2 | 8 | 10 | 16 | 18 | 8 |
| N | 2 | 18 | 20 | 18 | 20 | 0 |

D'après le chemin critique, le temps de réalisation du barrage de oued Taht égal à 20 mois.

Tableau VI.3 : programme des travaux pour la réalisation du barrage de oued Taht.

| <i>Phase de réalisation</i> | Mois 01 | Mois 02 | Mois 03 | Mois 04 | Mois 05 | Mois 06 | Mois 07 | Mois 08 | Mois 09 | Mois 10 | Mois 11 | Mois 12 | Mois 13 | Mois 14 | Mois 15 | Mois 16 | Mois 17 | Mois 18 | Mois 19 | Mois 20 |
|--|---------|---------|---------|---------|---------|---------|---------|---------|---------|---------|---------|---------|---------|---------|---------|---------|---------|---------|---------|---------|
| <i>Phase 01:Travaux de préparation, installation de chantier, développement du réseau routier assurant l'accée au chantier</i> | | 2 | | | | | | | | | | | | | | | | | | |
| <i>Phase 02:Décapage et la réalisation de la portion de tranchée d'ancrage au deroit de la conduite de vidange</i> | | | | 2 | | | | | | | | | | | | | | | | |
| <i>Phase 03:Décapages généraux et ouverture de la tranchée d'ancrage</i> | | | | | | 2 | | | | | | | | | | | | | | |
| <i>Phase 04:Préparation des zones d'emprunt</i> | | | | | | | | | | | | 2 | | | | | | | | |
| <i>Phase 05:Déboisement de la cuvette</i> | | | | | | | | | | | | | 2 | | | 3 | | | | |
| <i>Phase 06:Remblai de la tranche d'ancrage et des fondations</i> | | | | | | | 2 | | | | | | | | | | | | | |
| <i>Phase 07:Approvisionnement du filtre</i> | | | | | | | | | | 2 | | | | | | | | | | |
| <i>Phase 08:Mise en place un systeme de drainage</i> | | | | | | | | | | | | | 3 | | | | | | | |
| <i>Phase 09:Remblai compacté</i> | | | | | | | | | | | | | | | | 5 | | | | |
| <i>Phase 10:Excavation de l'évacuateur des crues</i> | | | | | | 2 | | | | | | | | | | | | | | |
| <i>Phase 11:Génie civile de l'évacuateur de crue</i> | | | | | | | | 2 | | | | | | | | | | | | |
| <i>Phase 12:Revêtement des talus</i> | | | | | | | | | | | | | | | 3 | | | | | |
| <i>Phase 13:Equipements hydraulique</i> | | | | | | | | | 2 | | | | | | | | | | | |
| <i>Phase 14:Travaux des finitions</i> | | | | | | | | | | | | | | | | | | 2 | | |

Chapitre VII :

Avant Mètre et Devis Estimatif

VII.1. Principe de base de l'avant-mètre et devis estimatif :

Avant-métré c'est les mesures sur plan pour estimer le devis estimatif de l'ouvrage.
L'estimation du coût de l'ouvrage se compose de deux parties, le corps de la digue et les ouvrages annexes.

Pour notre travail on s'intéresse au corps de la digue

VII.2. Estimation du corps de la digue :

La réalisation du corps de la digue du barrage de oued Taht est composée des parties suivantes :

- ✓ Le décapage et les terrassements de l'assiette d'assise de la digue, des encrages et des fouilles,
- ✓ Le remblaiement du corps de la digue en matériaux homogènes par couches successives avec compactage par engin compacteur et arrosage ainsi que les essais de laboratoire,
- ✓ Le système de drainage composé de différents filtres en sable et gravier de type bien spécifié,
- ✓ Les talus et leur protection en rip-rap,
- ✓ Aménagement de la crête en Bitume-Gravier,
- ✓ Installation de chantier
- ✓ Frais administratifs
- ✓ Frais d'ingénierie

Nous résumons dans le tableau suivant l'estimation grossière du coût du corps de la digue.

TableauVII.01 : mètres et devis estimatif

| Désignation | Unité | Prix unitaire | Quantité | Prix (10 ⁶ DA) |
|---|--------------------|---------------|----------|------------------------------|
| Décapage de la terre végétal | m ³ | 240 | 7379.9 | 1.77 |
| Roche | m ³ | 1200 | 1656.6 | 1.99 |
| Recharge | m ³ | 500 | 361970.8 | 180.99 |
| Sable | m ³ | 600 | 4280.0 | 2.57 |
| Gravier | m ³ | 600 | 8626.4 | 5.18 |
| Rip-rap Amont | m ³ | 1200 | 6051.9 | 7.26 |
| Rip-rap Aval | m ³ | 1200 | 2862.75 | 3.44 |
| Bitume-Gravier | m ³ | 3000 | 775.6 | 2.33 |
| | total constriction | | 205.51 | |
| Travaux préparatoires et installations Env. 7% des coûts de construction | % | *** | 14.39 | |
| | total constriction | | 219.9 | |
| Frais administratifs 3% du coût de construction | % | *** | 6.6 | |
| | total constriction | | 226.5 | |
| Frais d'ingénierie 7% du coût de construction | % | *** | 15.86 | |

| | |
|---------------|----------------|
| COUT TOTAL DA | 242'360'000,00 |
|---------------|----------------|

Tableau VII.02 : récapitulatif des coûts et coût total de la digue

| Désignation | Prix (DA) |
|---------------------------------------|-----------------------|
| la digue | 205510000 |
| Travaux préparatoires et installation | 14390000 |
| Frais administratifs | 6600000 |
| Frais d'ingénierie | 15860000 |
| Coût Total de la digue | 242'360'000,00 |

Le coût estimatif global de la digue du barrage de oued Taht Wilaya de Mascara est de:

Deux Cent quarante deux Millions trois Cent Soixante Mille Dinars

Chapitre VIII :

Protection et Sécurité de Travail

Introduction

La protection du travail comprend tout un système de mesure d'ordre social, économique, technique, hygiénique, organisationnel et juridique. Ceux-ci garantissent l'assurance de la protection de la santé et de la capacité de travail des travailleurs. Les chantiers sont très dangereux et les accidents peuvent prendre naissance à tous moment, c'est pour cela qu'on doit chercher des solutions pour promouvoir contre ces derniers.

Les différents organismes intéressés par les sécurités lors du travail et les services d'inspection ont édicté un certain nombre de règlements applicables aux chantiers.

Ces règlements doivent être strictement appliqués. Ils contribuent à limiter au maximum les accidents de travail et dégageront la responsabilité des dirigeants du chantier qui pourrait être tenus comme responsable en cas que toutes dispositions n'avaient pas été prises pour l'application des règles du chantier.

VIII.1. Causes des accidents de travail

L'accident du travail n'est jamais le fait d'un hasard ou de la fatalité. Les causes sont la somme des différents éléments classés en deux catégories :

VIII.1.1. Causes humaines

Ces causes peuvent sont :

- ✓ L'inattention des travailleurs.
- ✓ La fatigue.
- ✓ La distraction.
- ✓ Les gestes néfastes.
- ✓ Inaptitude mentale ou physique.
- ✓ Adoption de la solution de facilité.

VIII.1.2. Causes techniques

- ✓ Les mauvaises conditions de travail.
- ✓ Encombrement du matériel dans les chantiers et le mauvais stockage.
- ✓ Le manque d'éclairage

VIII.2. Les actions et conditions dangereuses

Intervenir sans précaution sur les machines en mouvement ;
Ex : Graisser un engin en marche.

Imprudence durant les opérations de stockage et manutention ;
Ex : Passer sous une charge suspendue (lors de la pose des tubes) dans la tranchée.

Intervenir sans précaution sur des installations sous tension, sous pression ;
Ex : ramasser un outil à proximité d'un conducteur sous tension

Ne pas utiliser l'équipement de protection individuelle ;
Ex : ne pas porter un masque et une paire de gants lors du soudage des conduites ;

Adopter une position peu sûre ;

Ex : transport du personnel sur la plate –forme d'un camion chargé de gros matériel ;

Suivre un rythme de travail inadapté ;

Ex : cadence de travail trop rapide ;

Outilage, engin, équipement en mauvais état ;

Ex : échelle dont les barreaux cassés ont été remplacés par des planches clouées ;

Défaut dans la conception, dans la construction ;

Ex : installation électrique en fil souple ;

Eclairage défectueux ;

Ex : éclairage individuel du poste de travail sans éclairage (travaux sur chantier) ;

Conditions climatiques défavorables.

VIII.2.1. Mesures préventives

La protection du personnel doit être assurée d'une manière bien satisfaisante par les services appropriés.

Les appareils de levage doivent être établis sur une surface présentant une résistance suffisante.

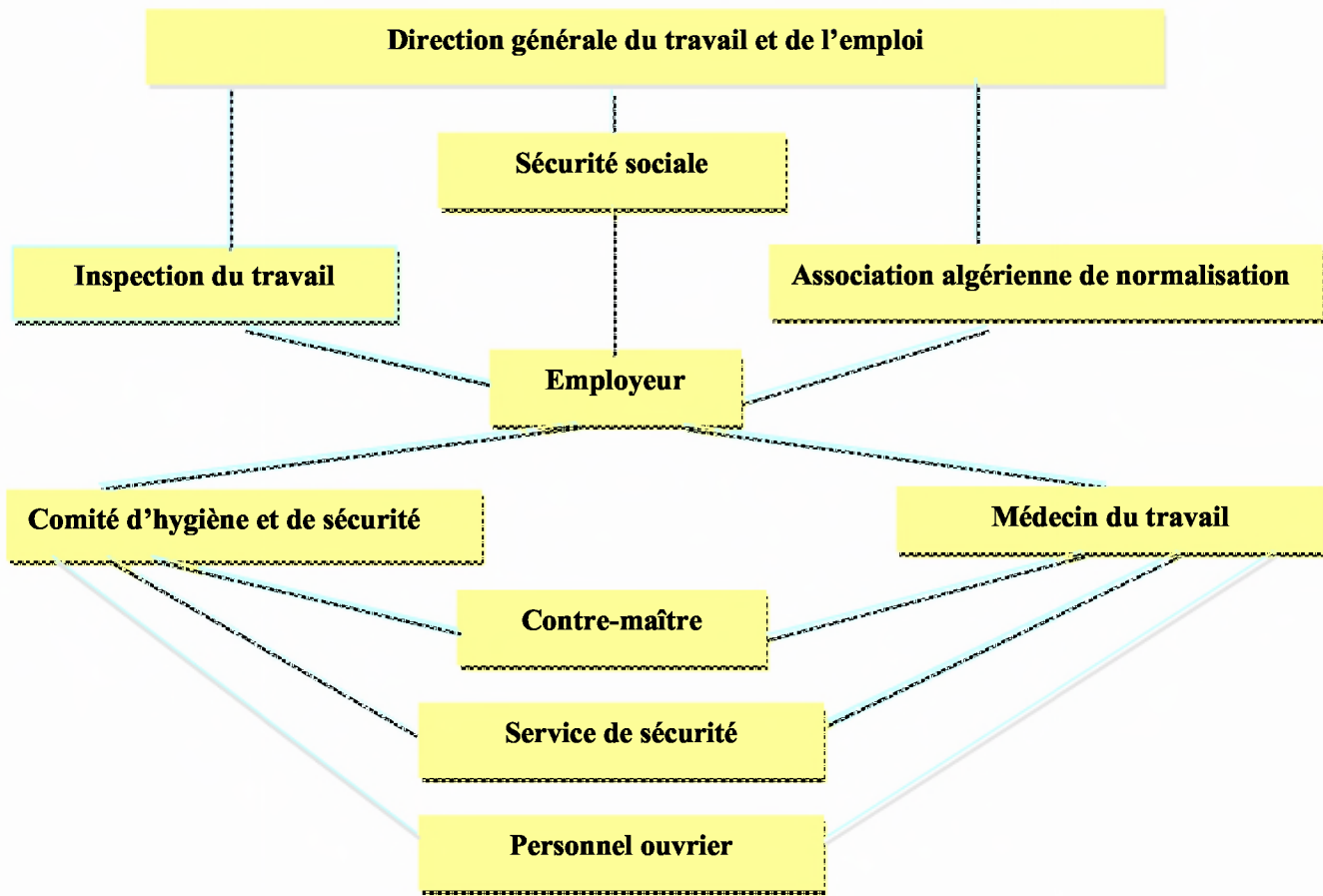
Les câbles et les chaînes de levage ne doivent pas être soumis à des charges supérieures à celle fixée.

Les travaux ne doivent être exécutés que lorsque l'installation est mise hors tension et hors tout danger.

Les abris doivent être airés et chauffés.

VIII.3. Organisation de la prévention des accidents du travail

L'organisation de la prévention se présente à travers les activités professionnelles du pays comme une immense chaîne de solidarité, composée de multiples maillons, correspondant chacun aux différents services ou personnes intéressées figurés dans l'organigramme ci-après :



Le Contre-maître constitue le maillon essentiel de la chaîne de prévention des accidents du travail. Vu sous l'angle de la protection du personnel, le rôle du Contre-maître revêt trois aspects importants, pédagogique, de surveillance, de suggestion.

Parmi les principales fonctions du service de protection :

Etudes, participation au comité d'hygiène et de sécurité ;

Exécution, mesures légales d'hygiène et de sécurité (code de travail, réalisations pratiques des suggestions et des études).

Les mesures de prévention collective sont la suite logique de l'étude de sécurité. Les mesures de prévention collectives peuvent être classées en deux catégories distinctes :

Respect de la réglementation, la législation, les contrôles techniques ;

Les moyens techniques (protection des éléments de machines et mécanismes en mouvement) ;

Devant les dangers constatés dans l'exercice de certaines professions ou dans l'emploi de nouveaux produits, la législation a de plus en plus tendance à compléter la prévention collective par des moyens de protection individuelle.

La protection des membres supérieurs est assurée par le port de gants, moufles, maniques, épaulières, doigtiers ;

Protection des membres inférieurs, Protection des yeux, Protection du tronc, Protection de la tête ;

Protection des voies respiratoires.

L'équipement de protection est nécessaire lorsque les risques auxquels est exposé le personnel n'ont pu être éliminés ou supprimés à la source.

Cet équipement doit remplir les conditions suivantes :

- ✓ Correspondre au danger considéré ;
- ✓ Etre pratique et confortable ;
- ✓ Etre solide ;
- ✓ Etre d'un entretien facile.

VIII.4. Calcul du débit d'air nécessaire à la ventilation du tunnel

Il existe trois méthodes pour le calcul d'air nécessaire à la ventilation :

- 1/ Le calcul du débit d'air par le taux de ventilation.
- 2/ Calcul du débit d'air par l'alimentation minimum.
- 3/ Calcul du débit d'air par l'accroissement de chaleur.

Pour notre cas, on calculera le débit d'air par l'alimentation minimum, cette méthode consiste à assurer une alimentation minimum de 30 m^3 d'air frais par personne et par heure. Elle permet le renouvellement de l'air pollué dégagé par les travailleurs, les infrastructures industrielles et les machines.

Le calcul du débit d'air se fait comme suit :

On a :

$$Q = A_m \cdot N$$

Q : Débit d'air frais en (m^3/h).

A_m : L'alimentation Minimum ($A_m = 30 \text{ m}^3 / \text{h} / \text{personne}$)

N : Nombre de personne dans le lieu à aéré.

VIII.4.1. Calcul du diamètre de la canalisation d'air nécessaire à la ventilation

A - Etude et dimensionnement du réseau de ventilation :

Le réseau de ventilation joue un très grand rôle dans la technologie actuelle. Le processus d'aération s'impose pour l'étude des systèmes de ventilations, cette étude nécessite les points suivants :

- ✓ Etude détaillée des plans des ouvrage à aéré et ceci dans le but de projeter le système le mieux adapté en évitant autant que possible toutes les obstructions et en projetant des tracés de canalisations simples comportant des coude à grands rayons et des changements de sections des canalisations.

- ✓ Disposer les sorties des canalisations en vue d'assurer une bonne répartition de l'air dans l'espace à aérer.
- ✓ Déterminer le nombre et les dimensions de sortie sur la base du volume d'air ainsi que la vitesse admissible en ne perdant pas de vue les distances des conduites.
- ✓ Il faut noter que le bruit dans les canalisations augmente avec l'accroissement de la vitesse, et il faut s'assurer que les grillages placer en fins des conduites présentes des surfaces libres suffisantes pour la circulation et l'entretien.
- ✓ Calculer les dimensions des canalisations par l'une des méthodes suivantes :

1. La méthode dynamique :

Cette méthode consiste à fixer la vitesse admissible pour les différentes canalisations et les différentes pièces spécialisées.

Les vitesses de l'air dans les différentes canalisations sont données dans le tableau VIII.1

Tableau VIII.1 : vitesse de l'air dans les différentes canalisations

| N° | Désignation | Ouvrage hydrotechnique | Usines et grands bâtiments |
|----|----------------------------------|------------------------|----------------------------|
| 1 | à l'entrée de la conduite | (4 – 5) m/s | (6 – 8) m/s |
| 2 | Conduite principale | (4 – 5) m/s | (6 – 12) m/s |
| 3 | Canalisations dérivées | (2 – 5)m/s | (3 – 6) m/s |
| 4 | Colonnes montantes | (1.5 – 3) m/s | (2 – 4) m/s |
| 5 | Pièces spécialisées (coudes ...) | (0.5 – 2) m/s | (1 – 3) m/s |

2. Méthode d'équi-friction :

Cette méthode est basée sur la vitesse admissible au niveau du dernier tronçon, elle est prise égale à (2 m/s).

Pour la détermination des différents diamètres des canalisations, on se référera à l'abaque de Wood.

Pour notre cas on utilise la méthode dynamique.

B- Calcul du diamètre des canalisations :

On à la formule donnant la section des canalisations en fonction du débit et de la vitesse : $S = Q/V$ (m^2).

Q: debit d'air (m^3/s).

V : Vitesse de circulation d'air dans la conduite. D'où : $D = \sqrt{\frac{4Q}{\pi V}}$ (m).

Conclusion

La prévention devrait tendre à ne plus être conçue comme un correctif et s'appuyer uniquement sur des critères défensifs. Avec les avancées du progrès technique et scientifique, on doit pouvoir en saisir les acquis pour renverser la tendance, c'est-à-dire, faire de la prévention une action offensive pour qu'il n'y ait plus de risques.

A cet effet, il convient d'accorder d'avantage d'intérêt aux aspects éducationnels de l'homme au travail afin de lui permettre une grande maîtrise de l'outil de production et une plus grande adaptation à son environnement

Conclusion générale

Dans le cadre de ce projet de fin d'études, nous avons essayé de traiter et d'étudier les principales variantes et caractéristiques de la digue de barrage de Oued Taht (Wilaya de Mascara). Ce travail a permis de tirer les conclusions suivantes :

- ✓ La construction du barrage de Oued Taht est réalisable et n'implique aucune difficulté technique particulière. De plus, le choix d'un barrage du type "en terre" permet l'utilisation exclusive de matériaux disponibles in situ, ce qui permettra un emploi intensif de main d'oeuvre locale.
- ✓ En plus, le barrage peut satisfaire à long terme les besoins en eau de la population, du bétail et de l'industrie sur l'ensemble de la vallée. Il garantit dans le fleuve un débit minimum sanitaire nécessaire pour prélever de l'eau d'une qualité acceptable, sans contamination excessive par des eaux usées.
- ✓ La réalisation du barrage de Oued Taht offrira un grand nombre d'emplois dans les secteurs de l'exploitation du barrage, que ce soit à court terme durant la phase de construction ou à long terme une fois le barrage en exploitation.
- ✓ maintenir les populations rurales en leur assurant de réelles possibilités de développement dans un milieu pauvre, isolé et défavorisé.

Le projet du barrage de Oued Taht est considéré comme un investissement primordial pour le pays, puisqu'il permettrait d'assurer les ressources hydriques nécessaires pour la survie des communautés.

REFERENCES BIBLIOGRAPHIQUES

- 01. M. CARLIER** (1972), Hydraulique générale et appliquée. Edition Eyrolles. Paris
- 02. CIGB** (1994), Barrages en remblai, filtre et drain granulaire. Bulletin 95.
- 03. CIGB** (1986), Calcul statique des barrages en remblai. Bulletin 53.
- 04. A. LENCASTRE** (2002), Hydraulique générale. Edition Eyrolles. Paris .
- 05. Ouvrage hydrotechniques méarents du projecteur (en russe)** Moscou STROïzDAT .1983
- 06. M. ROCHE** (1963), Hydrologie de surface. ORSTOMP. Gauthier Villars Edition. Paris
- 07. Rapport d'étude de faisabilité (entreprise nationale des études hydraulique ENHYD)** 1997.
- 08. B. TOUAIBIA** (2004), Manuel pratique d'hydrologie. ENSH Blida.
- 09. G. VILLARS** (1953), Les barrages en terre compactée. Pratique Américaines.
- 10. V. VOLKOV** (1986), Guide de la thèse de fin d'études. ENSH Blida.



LES ANNEXES

Tableau 1 : Pluies mensuelles et moyennes annuelles (mm) de la station (01.30.04)

| Année | sept | oct | nov | dec | janv | déf | mars | avril | mai | juin | juil | aout | annuelle |
|----------------|--------------|--------------|--------------|--------------|--------------|--------------|--------------|--------------|--------------|-------------|-------------|-------------|-----------------|
| 1965 | 10.4 | 30.2 | 23.6 | 62.5 | 3.3 | 6.1 | 21.1 | 29.5 | 49.4 | 16.2 | 0 | 0.8 | 253.1 |
| 1966 | 23.6 | 128.6 | 53.8 | 12.6 | 37.5 | 54.3 | 9 | 73.1 | 8 | 46.7 | 0 | 6.7 | 453.9 |
| 1967 | 16 | 11.2 | 40.7 | 46.9 | 18.2 | 76 | 70.8 | 35.4 | 32.3 | 5 | 0 | 0 | 352.5 |
| 1968 | 0 | 0 | 53.8 | 68.5 | 64.1 | 4.8 | 31.9 | 75.4 | 40.9 | 6.9 | 0 | 2.1 | 348.4 |
| 1969 | 17.4 | 97.5 | 38.3 | 77.9 | 97.4 | 0 | 49.9 | 50.3 | 14.6 | 17.6 | 3.7 | 5.5 | 470.1 |
| 1970 | 4.7 | 5.8 | 4.5 | 19.4 | 72.5 | 18.8 | 67 | 42.4 | 96.9 | 0 | 13 | 6.1 | 351.1 |
| 1971 | 14 | 0 | 128.6 | 56.8 | 115 | 69.4 | 101.7 | 25.1 | 49.2 | 11.8 | 0 | 6.4 | 578 |
| 1972 | 20.7 | 70.3 | 23.6 | 32.3 | 67.6 | 69.1 | 61.7 | 56.5 | 0 | 30.9 | 0 | 7 | 439.7 |
| 1973 | 2.7 | 3.7 | 17.1 | 112.6 | 12.7 | 48.5 | 56.1 | 78.5 | 1.6 | 11 | 0 | 0 | 344.5 |
| 1974 | 13.7 | 33.9 | 30.1 | 0 | 26.6 | 49.1 | 88 | 56.1 | 45.7 | 20.6 | 0 | 0 | 363.8 |
| 1975 | 5.3 | 1.9 | 81 | 19.3 | 34.7 | 84.7 | 32.6 | 34.5 | 69.2 | 0 | 11.3 | 0 | 374.5 |
| 1976 | 39 | 85 | 20.8 | 48.8 | 61.6 | 14.6 | 10.1 | 35.1 | 38.7 | 24.1 | 5.9 | 9.7 | 393.4 |
| 1977 | 18.4 | 20.3 | 69.6 | 12.2 | 58.3 | 12.9 | 35.5 | 58 | 31.2 | 0 | 0 | 0 | 316.4 |
| 1978 | 0 | 48.3 | 20.8 | 6.6 | 35 | 70.4 | 23.8 | 47.8 | 4.1 | 12.6 | 0.3 | 16.5 | 286.2 |
| 1979 | 10 | 73.6 | 56.3 | 24.9 | 33 | 7 | 73.5 | 52 | 27.2 | 0 | 0 | 0 | 357.5 |
| 1980 | 22.3 | 14.6 | 36.4 | 107.6 | 17.5 | 53.3 | 33.7 | 46.6 | 18.6 | 0 | 0 | 0 | 350.6 |
| 1981 | 0 | 26.2 | 0 | 9.9 | 35.1 | 44.1 | 0 | 75.2 | 24.4 | 11.4 | 0 | 0 | 226.3 |
| 1982 | 0 | 43.9 | 65.6 | 44.4 | 0 | 20.5 | 12.5 | 0 | 11 | 0 | 0 | 0 | 197.9 |
| 1983 | 0 | 0 | 9.7 | 23.3 | 30.3 | 28.2 | 36.3 | 15.3 | 43.6 | 11.3 | 0 | 9.1 | 207.1 |
| 1984 | 13.2 | 5.2 | 50.6 | 26 | 33.8 | 23.6 | 38.2 | 3.5 | 23.7 | 0 | 0 | 0 | 217.8 |
| 1985 | 23.6 | 7.6 | 32.6 | 32.2 | 48.4 | 79.8 | 79.9 | 15.5 | 6.8 | 4.5 | 0 | 0 | 330.9 |
| 1986 | 36.3 | 30.1 | 17.4 | 27.5 | 53.9 | 100.3 | 10.3 | 11.1 | 7 | 0 | 32.7 | 0 | 326.6 |
| 1987 | 12.2 | 37.7 | 31.6 | 25 | 40.6 | 14.3 | 18.2 | 29.1 | 29.5 | 8 | 0 | 0 | 246.2 |
| 1988 | 0 | 16.5 | 29.3 | 16.4 | 16.1 | 16.5 | 67.5 | 41.4 | 20.7 | 26.6 | 9.3 | 42 | 302.3 |
| 1989 | 10.8 | 0 | 13.5 | 22 | 65.4 | 0 | 3 | 14.5 | 126.5 | 9 | 0 | 7 | 271.7 |
| 1990 | 12 | 1 | 28.8 | 57 | 20.6 | 44.4 | 58.4 | 9 | 29.2 | 3 | 0 | 0 | 263.4 |
| 1991 | 9 | 53.5 | 11.2 | 24.3 | 17.5 | 18.5 | 56.6 | 40.4 | 53 | 5.5 | 6 | 7.5 | 303 |
| 1992 | 18 | 11.2 | 23.5 | 34.9 | 2.5 | 52.5 | 8.7 | 26 | 33.5 | 0 | 0 | 21 | 231.8 |
| 1993 | 30.5 | 26 | 33 | 27.5 | 38.5 | 50 | 16.5 | 10 | 2 | 0 | 3 | 0 | 237 |
| 1994 | 45.3 | 53 | 21.5 | 11 | 23 | 21.5 | 90.2 | 92.2 | 7 | 5 | 0 | 14 | 383.7 |
| 1995 | 13.5 | 48 | 13.5 | 59 | 78.5 | 115 | 49.3 | 50.5 | 22.5 | 18.5 | 23 | 9.5 | 500.8 |
| 1996 | 13.5 | 5 | 6 | 31 | 36 | 4 | 0 | 73 | 28.7 | 0 | 0 | 49.5 | 246.7 |
| 1997 | 49.5 | 35.5 | 96 | 30.5 | 19 | 20.5 | 14 | 45.5 | 61 | 2.5 | 0 | 9 | 383 |
| 1998 | 0 | 6.5 | 4.5 | 11 | 75.5 | 53 | 44 | 0 | 5 | 0 | 0 | 0 | 199.5 |
| 1999 | 23 | 50 | 22.2 | 58.8 | 0 | 0 | 0.8 | 15 | 15 | 10 | 0 | 0 | 194.8 |
| 2000 | 0 | 40 | 60.5 | 5 | 59.5 | 29 | 2 | 39 | 13 | 0 | 0 | 0 | 248 |
| 2001 | 46 | 20 | 47 | 23 | 4 | 4.5 | 21 | 17 | 49 | 0 | 0 | 0 | 231.5 |
| 2002 | 0 | 9 | 78 | 25 | 55.5 | 43 | 10.5 | 66 | 20.5 | 0 | 0 | 0 | 307.5 |
| 2003 | 0 | 54 | 37 | 49 | 38.5 | 34 | 19 | 20.2 | 73 | 14 | 19 | 14 | 371.7 |
| 2004 | 31 | 16 | 15.5 | 70 | 20 | 32.5 | 26 | 3 | 0 | 0 | 0 | 0 | 214 |
| 2005 | 10 | 57 | 40 | 8.5 | 74 | 47 | 5 | 31 | 65.4 | 0 | 0 | 0 | 337.9 |
| 2006 | 0 | 0 | 5.5 | 48.6 | 20.3 | 36 | 40.8 | 30.7 | 8.1 | 4.6 | 2.8 | 3.8 | 201.2 |
| Moyenne | 14.66 | 30.42 | 35.55 | 35.95 | 39.56 | 37.42 | 35.60 | 37.39 | 31.11 | 8.03 | 3.10 | 5.89 | 314.67 |

Source : A.N.R.H

Tableau 2 : Pluies maximales journalières (mm) de la station (01.30.04)

| Année | sept | oct | nov | dec | janv | fev | mars | avril | mai | juin | juil | aout | Max |
|-------|------|------|------|------|------|------|------|-------|------|------|------|------|------|
| 1965 | 6.5 | 9.3 | 11.9 | 18.1 | 2.2 | 5.1 | 8 | 8.8 | 13 | 11.3 | 0 | 0.8 | 18.1 |
| 1966 | 6.1 | 58.6 | 25.7 | 6.2 | 16.5 | 38.5 | 6 | 28.5 | 7.5 | 36.4 | 0 | 6.7 | 58.6 |
| 1967 | 16 | 4 | 22.9 | 25 | 7.5 | 34.1 | 30.7 | 11.9 | 12.4 | 5 | 0 | 0 | 34.1 |
| 1968 | 0 | 0 | 17.5 | 48 | 16.6 | 4.8 | 10.6 | 17.6 | 18.1 | 6.9 | 0 | 2.1 | 48 |
| 1969 | 7.1 | 34.4 | 8.8 | 22 | 21.2 | 0 | 17.3 | 21.5 | 7.2 | 7.2 | 3.7 | 3 | 34.4 |
| 1970 | 3 | 4.1 | 4.5 | 7.1 | 21.2 | 11.1 | 25.4 | 8.5 | 32.2 | 0 | 7.8 | 6.1 | 32.2 |
| 1971 | 4.9 | 0 | 30.5 | 15.3 | 42.4 | 19 | 43.5 | 11 | 12.9 | 3.9 | 0 | 3 | 43.5 |
| 1972 | 14.8 | 31.5 | 10.5 | 13.4 | 26.4 | 15.1 | 10.6 | 32.7 | 0 | 18.1 | 0 | 6.3 | 32.7 |
| 1973 | 1.3 | 3.7 | 8.4 | 23 | 10 | 12 | 13.6 | 21.8 | 0.8 | 5.4 | 0 | 0 | 23 |
| 1974 | 4.3 | 9.7 | 11.9 | 0 | 19 | 19.2 | 24.2 | 21.6 | 21.9 | 14.5 | 0 | 0 | 24.2 |
| 1975 | 5.3 | 1.9 | 40.1 | 9.8 | 19 | 19.8 | 13.9 | 11.7 | 25 | 0 | 8 | 0 | 40.1 |
| 1976 | 24 | 29.1 | 8.2 | 18.1 | 28 | 7.1 | 7.5 | 17 | 17.4 | 15.4 | 5.9 | 5.1 | 29.1 |
| 1977 | 15.5 | 9.4 | 23.5 | 10.8 | 16.9 | 7.9 | 10.8 | 18.9 | 17 | 0 | 0 | 0 | 23.5 |
| 1978 | 0 | 20.5 | 7.9 | 3.1 | 13.9 | 20.4 | 13.9 | 14.8 | 2.8 | 8.2 | 0.3 | 15.9 | 20.5 |
| 1979 | 10 | 24.6 | 35.2 | 11.2 | 11 | 2.3 | 17.8 | 17 | 11.4 | 0 | 0 | 0 | 35.2 |
| 1980 | 8.7 | 7.3 | 18 | 45.3 | 17.5 | 12.1 | 20.6 | 14.4 | 10.6 | 0 | 0 | 0 | 45.3 |
| 1981 | 0 | 26.2 | 0 | 6.3 | 8.7 | 12.7 | 0 | 25.1 | 14.8 | 11.4 | 0 | 0 | 26.2 |
| 1982 | 0 | 19.3 | 24.9 | 18.6 | 0 | 7.1 | 6.4 | 0 | 11 | 0 | 0 | 0 | 24.9 |
| 1983 | 0 | 0 | 7.2 | 6.1 | 8.9 | 14.4 | 24.1 | 9.8 | 15 | 11.3 | 0 | 6.3 | 24.1 |
| 1984 | 13.2 | 5.2 | 15.1 | 16.6 | 8 | 15.3 | 25 | 2 | 6.5 | 0 | 0 | 0 | 25 |
| 1985 | 12.6 | 3.5 | 17.4 | 9.4 | 13 | 31.8 | 32 | 10.6 | 5.3 | 3.5 | 0 | 0 | 32 |
| 1986 | 19 | 12.1 | 6 | 5 | 18.1 | 24.5 | 8 | 8.8 | 4.9 | 0 | 21.4 | 0 | 24.5 |
| 1987 | 11.2 | 24.9 | 11 | 11.5 | 20 | 10 | 9 | 14.4 | 9.5 | 5 | 0 | 0 | 24.9 |
| 1988 | 0 | 9 | 12 | 4.5 | 15.1 | 6 | 27.5 | 8.9 | 12 | 10.6 | 9.3 | 31 | 31 |
| 1989 | 5 | 0 | 7.5 | 9.1 | 34 | 0 | 3 | 5.5 | 67 | 9 | 0 | 7 | 67 |
| 1990 | 4 | 1 | 11.3 | 14.5 | 6.5 | 8 | 22.8 | 5.5 | 16.7 | 3 | 0 | 0 | 22.8 |
| 1991 | 5.5 | 16.5 | 5.7 | 12 | 5.5 | 6 | 18.6 | 15 | 22 | 5.5 | 6 | 7.5 | 22 |
| 1992 | 12.5 | 5 | 14 | 17.3 | 2.5 | 30 | 3.2 | 15.5 | 26 | 0 | 0 | 14 | 30 |
| 1993 | 24 | 13 | 8 | 8 | 14.5 | 17 | 13.5 | 6 | 2 | 0 | 3 | 0 | 24 |
| 1994 | 29 | 19 | 10 | 9 | 7.5 | 18.5 | 31.8 | 24 | 7 | 5 | 0 | 14 | 31.8 |
| 1995 | 10 | 24 | 5 | 15.5 | 20 | 32 | 13.3 | 11 | 13 | 9.5 | 12 | 7 | 32 |
| 1996 | 7.5 | 4 | 3.5 | 6 | 14.5 | 4 | 0 | 28 | 27 | 0 | 0 | 28 | 28 |
| 1997 | 18 | 18 | 45 | 11 | 10 | 10.5 | 11 | 19 | 23 | 1.5 | 0 | 9 | 45 |
| 1998 | 0 | 4 | 2.5 | 4 | 29.5 | 19 | 25 | 0 | 5 | 0 | 0 | 0 | 29.5 |
| 1999 | 14 | 18 | 10 | 14.5 | 0 | 0 | 0.8 | 6 | 7 | 10 | 0 | 0 | 18 |
| 2000 | 0 | 40 | 22 | 5 | 24 | 17 | 2 | 15 | 9 | 0 | 0 | 0 | 40 |
| 2001 | 18 | 20 | 32 | 9 | 4 | 4.5 | 17 | 7 | 40 | 0 | 0 | 0 | 40 |
| 2002 | 0 | 9 | 18 | 13 | 13 | 13 | 10.5 | 36 | 18 | 0 | 0 | 0 | 36 |
| 2003 | 0 | 20 | 18 | 18 | 12 | 13 | 11 | 11 | 23 | 14 | 19 | 14 | 23 |
| 2004 | 24 | 13 | 8 | 35 | 11 | 16 | 12 | 3 | 0 | 0 | 0 | 0 | 35 |
| 2005 | 10 | 30 | 20 | 6.5 | 35 | 12 | 5 | 21 | 32.4 | 0 | 0 | 0 | 35 |
| 2006 | 0 | 0 | 5.5 | 15.4 | 9.8 | 10.8 | 14 | 12 | 8.1 | 2.3 | 1.5 | 3 | 15.4 |

Source : A.N.R.H

Tableau 3 : Série des apports (Mm³) de la station (01.30.01)

| année | sept | oct | nov | dec | janv | fev | mars | avril | mai | juin | juil | aout | annuel |
|----------------|--------------|--------------|--------------|--------------|--------------|--------------|--------------|--------------|--------------|--------------|--------------|--------------|---------------|
| 1977 | 1.071 | 0.662 | 2.020 | 0.670 | 1.112 | 1.477 | 2.541 | 5.712 | 1.085 | 0.695 | 0.690 | 0.606 | 18.340 |
| 1978 | 0.498 | 1.299 | 0.542 | 0.907 | 17.060 | 4.524 | 2.723 | 5.083 | 1.154 | 1.022 | 0.774 | 0.844 | 36.430 |
| 1979 | 1.080 | 1.773 | 1.366 | 1.388 | 1.538 | 8.048 | 4.199 | 4.875 | 5.060 | 1.094 | 1.092 | 1.267 | 32.780 |
| 1980 | 0.104 | 0.107 | 0.299 | 4.055 | 0.636 | 1.097 | 0.933 | 3.308 | 1.848 | 0.366 | 0.241 | 0.107 | 13.100 |
| 1981 | 0.635 | 4.658 | 0.618 | 4.962 | 7.202 | 1.002 | 1.469 | 1.708 | 0.918 | 0.759 | 0.424 | 0.335 | 24.690 |
| 1982 | 0.342 | 0.348 | 0.333 | 0.416 | 0.838 | 0.494 | 1.007 | 1.453 | 8.167 | 0.349 | 0.259 | 0.214 | 14.220 |
| 1983 | 0.207 | 0.608 | 3.732 | 2.551 | 14.760 | 9.040 | 14.260 | 2.716 | 2.541 | 1.000 | 0.997 | 0.969 | 53.380 |
| 1984 | 0.817 | 2.188 | 0.815 | 0.937 | 1.583 | 2.428 | 2.589 | 2.247 | 1.100 | 1.001 | 0.615 | 0.560 | 16.880 |
| 1985 | 0.394 | 0.496 | 0.522 | 3.767 | 0.705 | 0.724 | 1.393 | 2.504 | 0.764 | 0.431 | 0.318 | 0.314 | 12.330 |
| 1986 | 0.274 | 0.390 | 0.492 | 0.362 | 0.508 | 0.651 | 0.930 | 2.023 | 0.840 | 0.336 | 0.214 | 0.420 | 7.439 |
| 1987 | 0.600 | 0.219 | 1.369 | 0.401 | 0.362 | 1.857 | 0.637 | 0.378 | 0.824 | 0.212 | 0.214 | 0.241 | 7.314 |
| 1988 | 0.445 | 1.839 | 0.460 | 1.004 | 4.098 | 1.215 | 0.541 | 0.333 | 0.270 | 0.028 | 0.028 | 0.000 | 10.260 |
| 1989 | 0.104 | 0.163 | 2.161 | 0.238 | 4.461 | 0.559 | 0.214 | 0.714 | 0.269 | 0.149 | 0.107 | 0.107 | 9.246 |
| 1990 | 0.117 | 0.207 | 0.152 | 0.222 | 0.323 | 0.757 | 1.679 | 0.889 | 0.193 | 0.139 | 0.093 | 0.520 | 5.290 |
| 1991 | 0.223 | 1.889 | 3.372 | 0.364 | 0.574 | 0.450 | 5.002 | 0.527 | 1.242 | 0.117 | 0.000 | 0.000 | 13.760 |
| 1992 | 0.722 | 0.161 | 0.279 | 5.510 | 0.672 | 0.870 | 0.363 | 0.803 | 0.262 | 0.097 | 0.000 | 0.000 | 9.739 |
| 1993 | 0.117 | 0.214 | 0.117 | 0.219 | 0.335 | 0.791 | 0.268 | 1.169 | 0.328 | 0.237 | 0.047 | 0.151 | 3.992 |
| 1994 | 1.554 | 0.260 | 0.945 | 1.058 | 0.135 | 0.377 | 0.812 | 0.283 | 0.064 | 0.018 | 0.000 | 0.000 | 5.507 |
| 1995 | 0.000 | 0.000 | 0.091 | 0.221 | 0.334 | 0.369 | 0.258 | 0.096 | 0.242 | 0.154 | 0.000 | 0.000 | 1.764 |
| 1996 | 0.277 | 0.085 | 1.047 | 0.134 | 0.798 | 0.173 | 0.546 | 0.106 | 0.064 | 0.007 | 0.000 | 0.000 | 3.236 |
| 1997 | 0.219 | 0.461 | 0.288 | 0.142 | 0.780 | 4.824 | 6.663 | 0.349 | 0.101 | 0.056 | 0.000 | 0.035 | 13.920 |
| 1998 | 0.113 | 0.637 | 0.176 | 0.250 | 0.460 | 5.212 | 0.305 | 0.049 | 0.000 | 0.000 | 0.598 | 0.000 | 7.798 |
| 1999 | 0.020 | 1.059 | 0.505 | 0.249 | 1.484 | 0.299 | 0.205 | 0.033 | 0.102 | 1.272 | 0.000 | 0.012 | 5.241 |
| 2000 | 0.059 | 1.182 | 0.362 | 0.301 | 0.183 | 0.080 | 3.651 | 0.393 | 0.178 | 0.081 | 0.110 | 3.265 | 9.844 |
| 2001 | 3.599 | 0.000 | 0.063 | 0.062 | 3.591 | 0.068 | 0.011 | 0.118 | 9.023 | 0.000 | 0.000 | 0.056 | 16.590 |
| 2002 | 0.321 | 0.000 | 0.333 | 1.376 | 0.107 | 0.541 | 7.074 | 0.181 | 0.118 | 0.087 | 0.000 | 0.000 | 10.140 |
| 2003 | 0.000 | 5.465 | 0.030 | 0.032 | 0.137 | 0.088 | 0.828 | 1.861 | 0.258 | 0.004 | 0.006 | 0.135 | 8.846 |
| 2004 | 0.054 | 0.000 | 0.299 | 0.593 | 0.032 | 0.330 | 0.065 | 0.060 | 1.262 | 0.000 | 0.000 | 0.511 | 3.206 |
| 2005 | 3.544 | 2.992 | 1.013 | 1.275 | 1.510 | 1.338 | 0.029 | 0.000 | 0.000 | 0.000 | 0.054 | 0.005 | 11.760 |
| 2006 | 4.978 | 5.502 | 1.888 | 0.161 | 0.074 | 0.019 | 1.686 | 4.270 | 0.012 | 0.011 | 0.000 | 0.000 | 18.600 |
| Moyenne | 0.750 | 1.162 | 0.856 | 1.128 | 2.213 | 1.657 | 2.096 | 1.475 | 1.276 | 0.324 | 0.229 | 0.356 | 13.521 |

Source : A.N.R.H

Tableau 4 : Série des débits maximaux (m³/s) de la station (01.30.01)

| année | sept | oct | nov | dec | janv | fev | mars | avril | mai | juin | juil | aout | annuel |
|-------|-------|--------|--------|-------|--------|--------|--------|--------|--------|-------|-------|--------|--------|
| 1977 | 24.35 | 0.8025 | 18.75 | 0.315 | 5.032 | 2.45 | 26.4 | 65.8 | 0.9929 | 0.315 | 0.54 | 0.248 | 65.8 |
| 1978 | 0.192 | 48.19 | 0.46 | 4.44 | 207 | 26.4 | 5.18 | 48.78 | 0.9929 | 6.164 | 0.315 | 0.315 | 207 |
| 1979 | 3.71 | 5.18 | 7.67 | 2.22 | 6 | 72.4 | 67.12 | 94.1 | 79.4 | 0.54 | 0.62 | 0.54 | 94.1 |
| 1980 | 0.04 | 0.04 | 4.74 | 52.32 | 5.838 | 12.39 | 0.8 | 18.6 | 22.3 | 0.315 | 0.54 | 0.04 | 52.32 |
| 1981 | 16.58 | 231.6 | 4 | 55.96 | 51.14 | 0.62 | 5.202 | 11.7 | 4.148 | 3.586 | 0.185 | 0.13 | 231.6 |
| 1982 | 0.185 | 0.13 | 0.13 | 0.315 | 1.47 | 0.46 | 6.496 | 18.3 | 99.67 | 0.185 | 0.245 | 0.08 | 99.67 |
| 1983 | 0.08 | 8.256 | 66.48 | 52.32 | 75.32 | 102.1 | 188.7 | 2.33 | 13.31 | 0.46 | 0.383 | 0.54 | 188.7 |
| 1984 | 0.315 | 17.52 | 8.256 | 1.89 | 13.54 | 7.688 | 9.12 | 12.62 | 0.54 | 5.51 | 0.245 | 5.356 | 17.52 |
| 1985 | 0.185 | 0.185 | 0.8 | 65.8 | 5.51 | 1.78 | 9.632 | 30.24 | 2.22 | 0.383 | 0.13 | 0.13 | 65.8 |
| 1986 | 0.19 | 0.245 | 2.11 | 0.135 | 1.792 | 2.11 | 2.11 | 52.91 | 2.026 | 0.19 | 0.08 | 2.11 | 52.91 |
| 1987 | 45.28 | 0.135 | 47.6 | 0.541 | 0.135 | 19.69 | 1.941 | 0.19 | 1.18 | 0.135 | 0.08 | 0.383 | 47.6 |
| 1988 | 2.11 | 33.8 | 0.462 | 1.085 | 62.72 | 1.792 | 0.462 | 0.462 | 0.314 | 0.04 | 0.04 | 0 | 62.72 |
| 1989 | 0.04 | 0.895 | 53.5 | 0.135 | 72.6 | 16.92 | 0.08 | 21.4 | 0.383 | 0.08 | 0.04 | 0.04 | 72.6 |
| 1990 | 0.045 | 1.05 | 0.3325 | 0.092 | 0.579 | 7.334 | 23.19 | 15.7 | 0.136 | 1.83 | 0.045 | 29.42 | 29.42 |
| 1991 | 3.08 | 83.08 | 83.08 | 2.82 | 5.51 | 0.3325 | 86.75 | 1.95 | 32.26 | 0.092 | 0 | 0 | 86.75 |
| 1992 | 16.05 | 0.136 | 1.59 | 79.4 | 1.35 | 5.51 | 0.3325 | 4.397 | 0.18 | 0.045 | 0 | 0 | 79.4 |
| 1993 | 0.045 | 1.95 | 0.045 | 0.959 | 0.3325 | 8.204 | 0.4485 | 21.44 | 0.8755 | 0.23 | 0.136 | 0.092 | 21.44 |
| 1994 | 15.19 | 2.56 | 10.02 | 6.335 | 0.0775 | 0.2425 | 0.814 | 0.2425 | 0.043 | 0.043 | 0 | 0 | 15.19 |
| 1995 | 0 | 0 | 0.737 | 0.814 | 0.29 | 1.16 | 1.16 | 0.043 | 2.162 | 0.975 | 0 | 0 | 2.162 |
| 1996 | 32.79 | 0.528 | 14.34 | 0.112 | 0.528 | 0.112 | 5.51 | 0.112 | 0.043 | 0.021 | 0 | 0 | 32.79 |
| 1997 | 10.76 | 9.812 | 2.42 | 1.286 | 3.86 | 130.6 | 141.4 | 1.85 | 0.092 | 0.28 | 0 | 0.512 | 141.4 |
| 1998 | 3.92 | 4.874 | 0.18 | 1.47 | 5.84 | 71.24 | 0.2623 | 0.043 | 0 | 0 | 29.42 | 0 | 71.24 |
| 1999 | 1.286 | 65.38 | 8.552 | 0.23 | 41.27 | 1.23 | 1.43 | 0.0775 | 0.528 | 127 | 0 | 0.0775 | 127 |
| 2000 | 3.706 | 39.68 | 5.51 | 0.792 | 0.8945 | 1.412 | 79.9 | 4.025 | 5.84 | 4.85 | 3.398 | 195.9 | 195.9 |
| 2001 | 180.3 | 0 | 0.814 | 0.043 | 61.42 | 0.043 | 0.021 | 12.62 | 247.6 | 0 | 0 | 3.808 | 247.6 |
| 2002 | 18.72 | 0 | 6.646 | 42.7 | 0.04 | 14 | 82.54 | 0.79 | 3.808 | 1.23 | 0 | 0 | 82.54 |
| 2003 | 0 | 250 | 0.012 | 0.012 | 1.74 | 0.94 | 7.33 | 61.42 | 3.704 | 0.012 | 0.588 | 12.56 | 250 |
| 2004 | 2.07 | 0 | 7.933 | 31.9 | 0.012 | 3.628 | 0.42 | 1.41 | 115.7 | 0 | 0 | 43.78 | 115.7 |
| 2005 | 190.4 | 85.18 | 4.228 | 4.376 | 8.134 | 14.34 | 0.025 | 0 | 0 | 0 | 4.672 | 0.025 | 190.4 |
| 2006 | 127.9 | 195.9 | 20.02 | 1.22 | 0.5 | 0.342 | 17.86 | 302.6 | 0.012 | 0.025 | 0 | 0 | 302.6 |

Source : A.N.R.H

1- volumes des matériaux pour la variante de la digue en terre homogène :

| Profil | Li | Gravier | | | Sable | | | Rip-rap amont | | | Rip-rap aval | | |
|--------------|----|---------|---------|--------|-------|--------|---------|---------------|--------|--------|--------------|--------|---------|
| | | Si | Smoy | V | Si | Smoy | V | Si | Smoy | V | Si | Smoy | V |
| 1 | 20 | 0.11 | 6.845 | 136.9 | 0.03 | 6.755 | 135.1 | 1.01 | 14.335 | 286.7 | 0 | 6.07 | 121.4 |
| 2 | 20 | 13.58 | 20.925 | 418.5 | 13.48 | 20.755 | 415.1 | 27.66 | 41.005 | 820.1 | 12.14 | 18.635 | 372.7 |
| 3 | 20 | 28.27 | 73.73 | 1474.6 | 28.03 | 39.78 | 795.6 | 54.35 | 59.845 | 1196.9 | 25.13 | 28.455 | 569.1 |
| 4 | 20 | 119.19 | 171.89 | 3437.8 | 51.53 | 63.525 | 1270.5 | 65.34 | 68.43 | 1368.6 | 31.78 | 31.78 | 635.6 |
| 5 | 20 | 224.59 | 129.675 | 2593.5 | 75.52 | 55.22 | 1104.4 | 71.52 | 67.48 | 1349.6 | 31.78 | 31.78 | 635.6 |
| 6 | 20 | 34.76 | 23.685 | 473.7 | 34.92 | 23.535 | 470.7 | 63.44 | 43.085 | 861.7 | 31.78 | 22.02 | 440.4 |
| 7 | 10 | 12.61 | 9.14 | 91.4 | 12.15 | 8.855 | 88.55 | 22.73 | 16.83 | 168.3 | 12.26 | 8.795 | 87.95 |
| 8 | 0 | 5.67 | 2.835 | 0 | 5.56 | 2.78 | 0 | 10.93 | 5.465 | 0 | 5.33 | 2.665 | 0 |
| Volume en m3 | | | | 8626.4 | | | 4279.95 | | | 6051.9 | | | 2862.75 |

| Profil | Li | Recharge | | | Roche | | | Terre végital | | | Butume | | |
|--------------|----|----------|--------|-----------|-------|------|--------|---------------|------|--------|--------|------|-------|
| | | Si | Smoy | V | Si | Smoy | V | Si | Smoy | V | Si | Smoy | V |
| 1 | 20 | 0.0 | 388.7 | 7773.4 | 0.0 | 0.0 | 0.0 | 2.62 | 17.7 | 354.2 | 2.0 | 4.1 | 82.6 |
| 2 | 20 | 777.3 | 1655.5 | 33109.9 | 0.0 | 0.0 | 0.0 | 32.8 | 49.6 | 991.6 | 6.3 | 6.3 | 126.0 |
| 3 | 20 | 2533.7 | 3750.9 | 75018.0 | 0.0 | 25.7 | 513.9 | 66.36 | 71.4 | 1427.7 | 6.3 | 6.3 | 126.0 |
| 4 | 20 | 4968.1 | 5154.3 | 103085.5 | 51.4 | 40.0 | 800.9 | 76.41 | 79.3 | 1586.2 | 6.3 | 6.3 | 126.0 |
| 5 | 20 | 5340.4 | 4645.1 | 92901.2 | 28.7 | 15.7 | 314.4 | 82.21 | 82.6 | 1651.4 | 6.3 | 6.3 | 126.0 |
| 6 | 20 | 3949.7 | 2300.5 | 46009.9 | 2.7 | 1.4 | 27.4 | 82.93 | 57.0 | 1139.4 | 6.3 | 6.3 | 126.0 |
| 7 | 10 | 651.3 | 407.3 | 4072.9 | 0.0 | 0.0 | 0.0 | 31.01 | 22.9 | 229.4 | 6.3 | 6.3 | 63.0 |
| 8 | 0 | 163.3 | 81.6 | 0.0 | 0.0 | 0.0 | 0.0 | 14.87 | 7.4 | 0.0 | 6.3 | 3.2 | 0.0 |
| Volume en m3 | | | | 361970.75 | | | 1656.6 | | | 7379.9 | | | 775.6 |

2- volumes des matériaux pour la variante de la digue zonée à noyau d'argile :

| Profil | Li | Rip-rap amont | | | Rip-rap aval | | | Gravier | | | Sable | | | |
|--------------|----|---------------|-------|-------|--------------|-------|-------|---------|-------|-------|-------|-------|-------|--|
| | | Si | Smoy | V | Si | Smoy | V | Si | Smoy | V | Si | Smoy | V | |
| 1 | 20 | 1.01 | 13.55 | 270.9 | 0 | 10.58 | 211.6 | 0.11 | 6.93 | 138.6 | 0.03 | 6.865 | 137.3 | |
| 2 | 20 | 26.08 | 40.22 | 804.3 | 21.16 | 34.58 | 691.5 | 13.75 | 20.19 | 403.7 | 13.7 | 19.98 | 399.6 | |
| 3 | 20 | 54.35 | 59.85 | 1197 | 47.99 | 48.39 | 967.7 | 26.62 | 70.8 | 1416 | 26.26 | 36.95 | 739 | |
| 4 | 20 | 65.34 | 68.44 | 1369 | 48.78 | 55.16 | 1103 | 115 | 165.4 | 3308 | 47.64 | 57.51 | 1150 | |
| 5 | 20 | 71.53 | 67.49 | 1350 | 61.53 | 61.33 | 1227 | 215.8 | 123.9 | 2479 | 67.37 | 49.72 | 994.3 | |
| 6 | 20 | 63.44 | 43.08 | 861.6 | 61.12 | 41.29 | 825.7 | 32.09 | 21.75 | 435 | 32.06 | 21.68 | 433.6 | |
| 7 | 10 | 22.72 | 16.83 | 168.3 | 21.45 | 15.61 | 156.1 | 11.41 | 8.285 | 82.85 | 11.3 | 8.21 | 82.1 | |
| 8 | 0 | 10.93 | 5.465 | 0 | 9.76 | 4.88 | 0 | 5.16 | 2.58 | 0 | 5.12 | 2.56 | 0 | |
| Volume en m3 | | | 6020 | | | 5182 | | | 8262 | | | 3936 | | |

| Profil | Li | Recharge | | | Terre végital | | | Butume | | | Argile | | | |
|--------------|----|----------|----------|---------|---------------|--------|--------|--------|-------|------|--------|----------|---------|--|
| | | Si | Smoy | V | Si | Smoy | V | Si | Smoy | V | Si | Smoy | V | |
| 1 | 20 | 0 | 341.355 | 6827.1 | 2.62 | 17.71 | 354.2 | 1.96 | 4.13 | 82.6 | 0 | 67.605 | 1352.1 | |
| 2 | 20 | 682.71 | 1546.555 | 30931.1 | 32.8 | 49.58 | 991.6 | 6.3 | 6.3 | 126 | 135.21 | 224.39 | 4487.8 | |
| 3 | 20 | 2410.4 | 3541.89 | 70837.8 | 66.36 | 71.385 | 1427.7 | 6.3 | 6.3 | 126 | 313.57 | 485.635 | 9712.7 | |
| 4 | 20 | 4673.38 | 4854.94 | 97098.8 | 76.41 | 79.31 | 1586.2 | 6.3 | 6.3 | 126 | 657.7 | 681.1 | 13622 | |
| 5 | 20 | 5036.5 | 4671.65 | 93433 | 82.21 | 82.57 | 1651.4 | 6.3 | 6.3 | 126 | 704.5 | 581.085 | 11621.7 | |
| 6 | 20 | 4306.8 | 2503.73 | 50074.6 | 82.93 | 56.97 | 1139.4 | 6.3 | 6.3 | 126 | 457.67 | 290.14 | 5802.8 | |
| 7 | 10 | 700.66 | 416.06 | 4160.6 | 31.01 | 22.94 | 229.4 | 6.3 | 6.3 | 63 | 122.61 | 81.095 | 810.95 | |
| 8 | 0 | 131.46 | 65.73 | 0 | 14.87 | 7.435 | 0 | 6.3 | 3.15 | 0 | 39.58 | 19.79 | 0 | |
| Volume en m3 | | | 353363 | | | 7379.9 | | | 775.6 | | | 47410.05 | | |

3- volumes des matériaux pour la variante de la digue en enrochements avec masque en béton :

| Profil | Li | Terre végétal | | | Recharge | | | Roche | | | Béton | | | Butume | | |
|-----------|------|---------------|------|--------|----------|--------|---------|--------|------|-------|--------|------|--------|--------|------|-------|
| | | SI | Smoy | V | Si | Smoy | V | Si | Smoy | V | Si | Smoy | V | Si | Smoy | V |
| 1 | 20.0 | 2.62 | 17.7 | 354.2 | 0.1 | 364.0 | 7280.2 | 0.0 | 5.9 | 117.8 | 0.8 | 11.8 | 236.9 | 2.0 | 4.1 | 82.6 |
| 2 | 20.0 | 32.8 | 49.6 | 991.6 | 727.9 | 1500.8 | 30015.2 | 11.8 | 18.5 | 369.2 | 22.8 | 31.1 | 621.0 | 6.3 | 6.3 | 126.0 |
| 3 | 20.0 | 66.36 | 71.4 | 1427.7 | 2273.6 | 3463.6 | 69272.5 | 25.1 | 29.3 | 586.6 | 39.29 | 46.2 | 923.0 | 6.3 | 6.3 | 126.0 |
| 4 | 20.0 | 76.41 | 79.3 | 1586.2 | 4653.6 | 4861.6 | 97231.6 | 33.5 | 33.8 | 675.3 | 53.0 | 55.6 | 1112.4 | 6.3 | 6.3 | 126.0 |
| 5 | 20.0 | 82.21 | 82.6 | 1651.4 | 5069.5 | 4305.1 | 86101.0 | 34.0 | 33.2 | 664.1 | 58.2 | 55.6 | 1112.0 | 6.3 | 6.3 | 126.0 |
| 6 | 20.0 | 82.93 | 57.0 | 1139.4 | 3540.6 | 2087.0 | 41739.8 | 32.4 | 22.3 | 446.4 | 53.0 | 35.2 | 703.5 | 6.3 | 6.3 | 126.0 |
| 7 | 10.0 | 31.01 | 22.9 | 229.4 | 633.4 | 398.4 | 3984.1 | 12.2 | 8.8 | 87.9 | 17.4 | 13.3 | 132.9 | 6.3 | 6.3 | 63.0 |
| 8 | 0.0 | 14.87 | 7.4 | 0.0 | 163.4 | 81.7 | 0.0 | 5.3 | 2.7 | 0.0 | 9.2 | 4.6 | 0.0 | 6.3 | 3.2 | 0.0 |
| Volume m3 | | 7379.9 | | | 335624.4 | | | 2947.3 | | | 4841.6 | | | 775.6 | | |

Stabilité pour le cas de fin de construction talus amont (R=86,23)

| N°Tr | bi | h1 | h2 | Sin α | Cos α | Gn | T=Gn*Sin α | N=Gn*Cos α | dli | C*dli | tangø | N*tangø | Ui | Ui*dli | Ui*dli*tangø | dn | a*Gn*dn |
|-------|------|-------|----|--------------|--------------|--------|-------------------|-------------------|-------|---------|-------|----------|----|--------|--------------|-------|---------|
| -4 | 8,62 | 5,61 | 0 | -0,308 | 0,95149 | 130,57 | -40,1745 | 124,23279 | 9,41 | 36,699 | 0,67 | 83,23597 | 0 | 0 | 0 | 70,26 | 1376,05 |
| -3 | 8,62 | 11,58 | 0 | -0,231 | 0,97301 | 269,51 | -62,19529 | 262,23836 | 9,04 | 35,256 | 0,67 | 175,6997 | 0 | 0 | 0 | 70,26 | 2840,4 |
| -2 | 8,62 | 16,55 | 0 | -0,154 | 0,98809 | 385,18 | -59,25918 | 380,599 | 8,8 | 34,32 | 0,67 | 255,0013 | 0 | 0 | 0 | 70,26 | 4059,46 |
| -1 | 8,62 | 20,4 | 0 | -0,077 | 0,99704 | 474,79 | -36,52228 | 473,38281 | 8,66 | 33,774 | 0,67 | 317,1665 | 0 | 0 | 0 | 70,26 | 5003,81 |
| 0 | 8,62 | 23,71 | 0 | 0 | 1 | 551,83 | 0 | 551,82654 | 8,62 | 33,618 | 0,67 | 369,7238 | 0 | 0 | 0 | 70,26 | 5815,7 |
| 1 | 8,62 | 26,1 | 0 | 0,0769 | 0,99704 | 607,45 | 46,727031 | 605,65154 | 8,66 | 33,774 | 0,67 | 405,7865 | 0 | 0 | 0 | 70,26 | 6401,93 |
| 2 | 8,62 | 27,54 | 0 | 0,1538 | 0,98809 | 640,97 | 98,610148 | 633,33514 | 8,8 | 34,32 | 0,67 | 424,3345 | 0 | 0 | 0 | 70,26 | 6755,14 |
| 3 | 8,62 | 28,06 | 0 | 0,2308 | 0,97301 | 653,07 | 150,7081 | 635,44115 | 9,03 | 35,217 | 0,67 | 425,7456 | 0 | 0 | 0 | 70,26 | 6882,69 |
| 4 | 8,62 | 27,58 | 0 | 0,3077 | 0,95149 | 641,9 | 197,50674 | 610,75588 | 9,41 | 36,699 | 0,67 | 409,2064 | 0 | 0 | 0 | 70,26 | 6764,95 |
| 5 | 8,62 | 25,98 | 0 | 0,3846 | 0,92308 | 604,66 | 232,56097 | 558,14633 | 9,96 | 38,844 | 0,67 | 373,958 | 0 | 0 | 0 | 70,26 | 6372,5 |
| 6 | 8,62 | 23,04 | 0 | 0,4615 | 0,88712 | 536,23 | 247,49214 | 475,70309 | 10,79 | 42,081 | 0,67 | 318,7211 | 0 | 0 | 0 | 70,26 | 5651,36 |
| 7 | 8,62 | 18,39 | 0 | 0,5385 | 0,84265 | 428,01 | 230,46631 | 360,6617 | 12,1 | 47,19 | 0,67 | 241,6433 | 0 | 0 | 0 | 70,26 | 4510,79 |
| 8 | 8,62 | 11,3 | 0 | 0,6154 | 0,78823 | 263 | 161,84382 | 207,3007 | 14,46 | 56,394 | 0,67 | 138,8915 | 0 | 0 | 0 | 70,26 | 2771,72 |
| somme | | | | | | | 1167,764 | | | 498,186 | | 3939,114 | | | 0 | | 65206,5 |

Kss 3,79983
Kas 2,30634

Stabilité pour le cas de fin de construction talus amont (R=88,82)

| N°Tr | bi | h1 | h2 | Sin α | Cos α | Gn | T=Gn*Sin α | N=Gn*Cos α | dli | C*dli | tangø | N*tangø | Ui | Ui*dli | Ui*dli*tangø | dn | a*Gn*dn |
|-------|------|-------|----|--------|---------|--------|------------|------------|-------|---------|-------|----------|----|--------|--------------|-------|---------|
| -5 | 8,88 | 4,8 | 0 | -0,333 | 0,94281 | 115,08 | -38,3616 | 108,50299 | 10,26 | 40,014 | 0,67 | 72,697 | 0 | 0 | 0 | 68,91 | 793,049 |
| -4 | 8,88 | 12,11 | 0 | -0,267 | 0,96379 | 290,35 | -77,4265 | 279,83547 | 9,69 | 37,791 | 0,67 | 187,4898 | 0 | 0 | 0 | 68,91 | 2000,8 |
| -3 | 8,88 | 18,26 | 0 | -0,2 | 0,9798 | 437,8 | -87,56035 | 428,95637 | 9,31 | 36,309 | 0,67 | 287,4008 | 0 | 0 | 0 | 68,91 | 3016,89 |
| -2 | 8,88 | 23,39 | 0 | -0,133 | 0,99107 | 560,8 | -74,77315 | 555,79141 | 9,07 | 35,373 | 0,67 | 372,3802 | 0 | 0 | 0 | 68,91 | 3864,46 |
| -1 | 8,88 | 27,31 | 0 | -0,067 | 0,99778 | 654,78 | -43,6523 | 653,32786 | 8,93 | 34,827 | 0,67 | 437,7297 | 0 | 0 | 0 | 68,91 | 4512,12 |
| 0 | 8,88 | 30,72 | 0 | 0 | 1 | 736,54 | 0 | 736,54272 | 8,88 | 34,632 | 0,67 | 493,4836 | 0 | 0 | 0 | 68,91 | 5075,52 |
| 1 | 8,88 | 33,23 | 0 | 0,0667 | 0,99778 | 796,72 | 53,114832 | 794,95001 | 8,92 | 34,788 | 0,67 | 532,6165 | 0 | 0 | 0 | 68,91 | 5490,21 |
| 2 | 8,88 | 34,71 | 0 | 0,1333 | 0,99107 | 832,21 | 110,96093 | 824,77639 | 9,07 | 35,373 | 0,67 | 552,6002 | 0 | 0 | 0 | 68,91 | 5734,74 |
| 3 | 8,88 | 35,24 | 0 | 0,2 | 0,9798 | 844,91 | 168,98285 | 827,84351 | 9,31 | 36,309 | 0,67 | 554,6551 | 0 | 0 | 0 | 68,91 | 5822,3 |
| 4 | 8,88 | 34,75 | 0 | 0,2667 | 0,96379 | 833,17 | 222,1776 | 802,99608 | 9,69 | 37,791 | 0,67 | 538,0074 | 0 | 0 | 0 | 68,91 | 5741,35 |
| 5 | 8,88 | 33,19 | 0 | 0,3333 | 0,94281 | 795,76 | 265,25448 | 750,25297 | 10,26 | 40,014 | 0,67 | 502,6695 | 0 | 0 | 0 | 68,91 | 5483,61 |
| 6 | 8,88 | 30,07 | 0 | 0,4 | 0,91652 | 720,96 | 288,38333 | 660,76921 | 11,12 | 43,368 | 0,67 | 442,7154 | 0 | 0 | 0 | 68,91 | 4968,12 |
| 7 | 8,88 | 25,28 | 0 | 0,4667 | 0,88443 | 606,11 | 282,85286 | 536,06675 | 12,47 | 48,633 | 0,67 | 359,1647 | 0 | 0 | 0 | 68,91 | 4176,73 |
| 8 | 8,88 | 17,98 | 0 | 0,5333 | 0,84591 | 431,09 | 229,91386 | 364,65997 | 14,9 | 58,11 | 0,67 | 244,3222 | 0 | 0 | 0 | 68,91 | 2970,63 |
| 9 | 6,78 | 5,24 | 0 | 0,6 | 0,8 | 95,923 | 57,554064 | 76,738752 | 14,94 | 58,266 | 0,67 | 51,41496 | 0 | 0 | 0 | 68,91 | 661,008 |
| somme | | | | | | | 1357,4209 | | | 611,598 | | 5629,347 | | | 0 | | 60311,5 |

Kss 4,597649

Kas 3,064617

Stabilité pour le cas de fin de construction talus amont (R=89,3)

| N°Tr | bi | h1 | h2 | Sin α | Cos α | Gn | T=Gn*Sin α | N=Gn*Cos α | dli | C*dli | tangø | N*tangø | Ui | Ui*dli | Ui*dli*tangø | dn | a*Gn*dn |
|-------|------|-------|------|-------|-------|--------|------------|------------|-------|-------|-------|---------|------|--------|--------------|-------|---------|
| -5,0 | 5,63 | 1,05 | 0,00 | -0,33 | 0,94 | 15,96 | -5,32 | 15,05 | 6,42 | 25,04 | 0,67 | 10,08 | 0,00 | 0,00 | 0,00 | 71,30 | 170,7 |
| -4,0 | 8,93 | 8,41 | 0,00 | -0,27 | 0,96 | 202,77 | -54,07 | 195,43 | 9,75 | 38,03 | 0,67 | 130,94 | 0,00 | 0,00 | 0,00 | 71,30 | 2168,7 |
| -3,0 | 8,93 | 14,60 | 0,00 | -0,20 | 0,98 | 352,02 | -70,40 | 344,91 | 9,37 | 36,54 | 0,67 | 231,09 | 0,00 | 0,00 | 0,00 | 71,30 | 3764,9 |
| -2,0 | 8,93 | 19,75 | 0,00 | -0,13 | 0,99 | 476,19 | -63,49 | 471,94 | 9,12 | 35,57 | 0,67 | 316,20 | 0,00 | 0,00 | 0,00 | 71,30 | 5092,9 |
| -1,0 | 8,93 | 23,96 | 0,00 | -0,07 | 1,00 | 577,70 | -38,51 | 576,41 | 8,98 | 35,02 | 0,67 | 386,20 | 0,00 | 0,00 | 0,00 | 71,30 | 6178,5 |
| 0,0 | 8,93 | 27,14 | 0,00 | 0,00 | 1,00 | 654,37 | 0,00 | 654,37 | 8,93 | 34,83 | 0,67 | 438,43 | 0,00 | 0,00 | 0,00 | 71,30 | 6998,5 |
| 1,0 | 8,93 | 29,60 | 0,00 | 0,07 | 1,00 | 713,69 | 47,58 | 712,10 | 8,99 | 35,06 | 0,67 | 477,11 | 0,00 | 0,00 | 0,00 | 71,30 | 7632,9 |
| 2,0 | 8,93 | 31,14 | 0,00 | 0,13 | 0,99 | 750,82 | 100,11 | 744,11 | 9,12 | 35,57 | 0,67 | 498,56 | 0,00 | 0,00 | 0,00 | 71,30 | 8030,0 |
| 3,0 | 8,93 | 31,65 | 0,00 | 0,20 | 0,98 | 763,11 | 152,62 | 747,70 | 9,37 | 36,54 | 0,67 | 500,96 | 0,00 | 0,00 | 0,00 | 71,30 | 8161,5 |
| 4,0 | 8,93 | 31,18 | 0,00 | 0,27 | 0,96 | 751,78 | 200,47 | 724,56 | 9,75 | 38,03 | 0,67 | 485,45 | 0,00 | 0,00 | 0,00 | 71,30 | 8040,3 |
| 5,0 | 8,93 | 29,51 | 0,00 | 0,33 | 0,94 | 711,52 | 237,17 | 670,82 | 10,32 | 40,25 | 0,67 | 449,45 | 0,00 | 0,00 | 0,00 | 71,30 | 7609,7 |
| 6,0 | 8,93 | 26,46 | 0,00 | 0,40 | 0,92 | 637,98 | 255,19 | 584,72 | 11,18 | 43,60 | 0,67 | 391,76 | 0,00 | 0,00 | 0,00 | 71,30 | 6823,2 |
| 7,0 | 8,93 | 21,64 | 0,00 | 0,47 | 0,88 | 521,76 | 243,49 | 461,46 | 12,54 | 48,91 | 0,67 | 309,18 | 0,00 | 0,00 | 0,00 | 71,30 | 5580,2 |
| 8,0 | 8,93 | 14,29 | 0,00 | 0,53 | 0,85 | 344,55 | 183,76 | 291,45 | 14,99 | 58,46 | 0,67 | 195,27 | 0,00 | 0,00 | 0,00 | 71,30 | 3684,9 |
| 9,0 | 5,60 | 2,43 | 0,00 | 0,60 | 0,80 | 36,74 | 22,04 | 29,39 | 11,94 | 46,57 | 0,67 | 19,69 | 0,00 | 0,00 | 0,00 | 71,30 | 393,0 |
| somme | | | | | | | 1270,0 | | | 524,9 | | 4679,7 | | | 0,0 | | 77597,4 |

Kss 4,098006

Kas 2,43321

Stabilité pour le cas de fin de construction talus amont (R=91.74)

| N°Tr | bi | h1 | h2 | Sin α | Cos α | Gn | T=Gn*Sin α | N=Gn*Cos α | dli | C*dli | tangø | N*tangø | Ui | Ui*dli | Ui*dli*tangø | dn | a*Gn*dn |
|-------|------|-------|----|--------|---------|-----------|------------|------------|-------|---------|-------|----------|----|--------|--------------|-------|---------|
| -5 | 9,17 | 7,1 | 0 | -0,333 | 0,94281 | 175,79 | -58,5963 | 165,73536 | 10,59 | 41,301 | 0,67 | 111,0427 | 0 | 0 | 0 | 69,98 | 1845,26 |
| -4 | 9,17 | 14,65 | 0 | -0,267 | 0,96379 | 362,72 | -96,72516 | 349,58485 | 10,01 | 39,039 | 0,67 | 234,2219 | 0 | 0 | 0 | 69,98 | 3807,47 |
| -3 | 9,17 | 21 | 0 | -0,2 | 0,9798 | 519,94 | -103,9878 | 509,4341 | 9,61 | 37,479 | 0,67 | 341,3208 | 0 | 0 | 0 | 69,98 | 5457,8 |
| -2 | 9,17 | 26,29 | 0 | -0,133 | 0,99107 | 650,91 | -86,78855 | 645,10226 | 9,36 | 36,504 | 0,67 | 432,2185 | 0 | 0 | 0 | 69,98 | 6832,65 |
| -1 | 9,17 | 30,61 | 0 | -0,067 | 0,99778 | 757,87 | -50,52487 | 756,18695 | 9,22 | 35,958 | 0,67 | 506,6453 | 0 | 0 | 0 | 69,98 | 7955,39 |
| 0 | 9,17 | 33,99 | 0 | 0 | 1 | 841,56 | 0 | 841,55841 | 9,17 | 35,763 | 0,67 | 563,8441 | 0 | 0 | 0 | 69,98 | 8833,84 |
| 1 | 9,17 | 36,39 | 0 | 0,0667 | 0,99778 | 900,98 | 60,065334 | 898,9756 | 9,22 | 35,958 | 0,67 | 602,3137 | 0 | 0 | 0 | 69,98 | 9457,59 |
| 2 | 9,17 | 27,98 | 0 | 0,1333 | 0,99107 | 692,76 | 92,367576 | 686,57137 | 9,36 | 36,504 | 0,67 | 460,0028 | 0 | 0 | 0 | 69,98 | 7271,87 |
| 3 | 9,17 | 38,53 | 0 | 0,2 | 0,9798 | 953,96 | 190,79285 | 934,69028 | 9,62 | 37,518 | 0,67 | 626,2425 | 0 | 0 | 0 | 69,98 | 10013,8 |
| 4 | 9,17 | 38,03 | 0 | 0,2667 | 0,96379 | 941,58 | 251,08927 | 907,48887 | 10,01 | 39,039 | 0,67 | 608,0175 | 0 | 0 | 0 | 69,98 | 9883,82 |
| 5 | 9,17 | 36,32 | 0 | 0,3333 | 0,94281 | 899,25 | 299,74896 | 847,81809 | 10,6 | 41,34 | 0,67 | 568,0381 | 0 | 0 | 0 | 69,98 | 9439,39 |
| 6 | 9,17 | 33,19 | 0 | 0,4 | 0,91652 | 821,75 | 328,70048 | 753,14742 | 11,47 | 44,733 | 0,67 | 504,6088 | 0 | 0 | 0 | 69,98 | 8625,92 |
| 7 | 9,17 | 28,25 | 0 | 0,4667 | 0,88443 | 699,44 | 326,40615 | 618,60956 | 12,87 | 50,193 | 0,67 | 414,4684 | 0 | 0 | 0 | 69,98 | 7342,04 |
| 8 | 9,17 | 20,71 | 0 | 0,5333 | 0,84591 | 512,76 | 273,47141 | 433,7454 | 15,38 | 59,982 | 0,67 | 290,6094 | 0 | 0 | 0 | 69,98 | 5382,43 |
| 9 | 8,12 | 8,3 | 0 | 0,6 | 0,8 | 181,97 | 109,18152 | 145,57536 | 18,52 | 72,228 | 0,67 | 97,53549 | 0 | 0 | 0 | 69,98 | 1910,13 |
| somme | | | | | | 1535,2009 | | | | 643,539 | | 6361,13 | | | 0 | | 104059 |

Kss 4,56271

Kas 2,62398

Stabilité pour le cas de fin de construction talus amont (R=94.09)

| N°Tr | bi | h1 | h2 | Sin α | Cos α | Gn | T=Gn*Sin α | N=Gn*Cos α | dli | C*dli | tangø | N*tangø | Ui | Ui*dli | Ui*dli*tangø | dn | a*Gn*dn |
|-------|-------------|-------|----|--------|---------|--------|------------|------------|-------|---------|-------|----------|----|--------|--------------|-------|---------|
| -4 | 7,67 | 2,3 | 0 | -0,308 | 0,95149 | 47,631 | -14,6556 | 45,31994 | 8,33 | 32,487 | 0,67 | 30,36436 | 0 | 0 | 0 | 80,45 | 574,783 |
| -3 | 9,41 | 8,82 | 0 | -0,231 | 0,97301 | 224,09 | -51,71302 | 218,04122 | 9,87 | 38,493 | 0,67 | 146,0876 | 0 | 0 | 0 | 80,45 | 2704,2 |
| -2 | 9,41 | 14,25 | 0 | -0,154 | 0,98809 | 362,05 | -55,69996 | 357,73948 | 9,61 | 37,479 | 0,67 | 239,6855 | 0 | 0 | 0 | 80,45 | 4369,04 |
| -1 | 9,41 | 18,68 | 0 | -0,077 | 0,99704 | 474,6 | -36,5079 | 473,19653 | 9,46 | 36,894 | 0,67 | 317,0417 | 0 | 0 | 0 | 80,45 | 5727,27 |
| 0 | 9,41 | 22,15 | 0 | 0 | 1 | 562,77 | 0 | 562,76505 | 9,41 | 36,699 | 0,67 | 377,0526 | 0 | 0 | 0 | 80,45 | 6791,17 |
| 1 | 9,41 | 24,61 | 0 | 0,0769 | 0,99704 | 625,27 | 48,097405 | 623,41363 | 9,46 | 36,894 | 0,67 | 417,6871 | 0 | 0 | 0 | 80,45 | 7545,4 |
| 2 | 9,41 | 26,25 | 0 | 0,1538 | 0,98809 | 666,93 | 102,60519 | 658,99378 | 9,6 | 37,44 | 0,67 | 441,5258 | 0 | 0 | 0 | 80,45 | 8048,22 |
| 3 | 9,41 | 26,81 | 0 | 0,2308 | 0,97301 | 681,16 | 157,19115 | 662,7761 | 9,86 | 38,454 | 0,67 | 444,06 | 0 | 0 | 0 | 80,45 | 8219,92 |
| 4 | 9,41 | 26,29 | 0 | 0,3077 | 0,95149 | 667,95 | 205,52309 | 635,54504 | 10,27 | 40,053 | 0,67 | 425,8152 | 0 | 0 | 0 | 80,45 | 8060,49 |
| 5 | 9,41 | 24,54 | 0 | 0,3846 | 0,92308 | 623,49 | 239,80299 | 575,52718 | 10,88 | 42,432 | 0,67 | 385,6032 | 0 | 0 | 0 | 80,45 | 7523,94 |
| 6 | 9,41 | 21,32 | 0 | 0,4615 | 0,88712 | 541,68 | 250,00488 | 480,53282 | 11,78 | 45,942 | 0,67 | 321,957 | 0 | 0 | 0 | 80,45 | 6536,69 |
| 7 | 9,41 | 16,24 | 0 | 0,5385 | 0,84265 | 412,61 | 222,17444 | 347,68558 | 13,22 | 51,558 | 0,67 | 232,9493 | 0 | 0 | 0 | 80,45 | 4979,17 |
| 8 | 9,41 | 8,49 | 0 | 0,6154 | 0,78823 | 215,71 | 132,7418 | 170,02484 | 15,8 | 61,62 | 0,67 | 113,9166 | 0 | 0 | 0 | 80,45 | 2603,03 |
| somme | | | | | | | 1199,5645 | | | 536,445 | | 3893,746 | | | 0 | | 73683,3 |

Kss 3,693166

Kas 2,234446

Stabilité pour le cas de fin de construction talus aval (R=86.88)

| N°Tr | bi | h1 | h2 | Sin α | Cos α | Gn | T=Gn*Sin α | N=Gn*Cos α | dli | C*dli | tangø | N*tangø | Ui | Ui*dli | Ui*dli*tangø | dn | a*Gn*dn |
|-------|-------------|-------|----|--------------|--------------|-----------|-------------------|-------------------|-------|---------|-------|----------|----|--------|--------------|-------|---------|
| -4 | 6,74 | 2,01 | 0 | -0,286 | 0,95831 | 36,578 | -10,45085 | 35,053221 | 7,32 | 28,548 | 0,67 | 23,48566 | 0 | 0 | 0 | 70,91 | 389,062 |
| -3 | 8,69 | 8,59 | 0 | -0,214 | 0,97677 | 201,55 | -43,18868 | 196,86544 | 9,11 | 35,529 | 0,67 | 131,8998 | 0 | 0 | 0 | 70,91 | 2143,76 |
| -2 | 8,69 | 14,17 | 0 | -0,143 | 0,98974 | 332,47 | -47,49582 | 329,06066 | 8,87 | 34,593 | 0,67 | 220,4706 | 0 | 0 | 0 | 70,91 | 3536,32 |
| -1 | 8,69 | 18,82 | 0 | -0,071 | 0,99745 | 441,57 | -31,54098 | 440,44576 | 8,73 | 34,047 | 0,67 | 295,0987 | 0 | 0 | 0 | 70,91 | 4696,8 |
| 0 | 8,69 | 22,59 | 0 | 0 | 1 | 530,03 | 0 | 530,02917 | 8,69 | 33,891 | 0,67 | 355,1195 | 0 | 0 | 0 | 70,91 | 5637,66 |
| 1 | 8,69 | 25,48 | 0 | 0,0714 | 0,99745 | 597,84 | 42,70266 | 596,31019 | 8,73 | 34,047 | 0,67 | 399,5278 | 0 | 0 | 0 | 70,91 | 6358,9 |
| 2 | 8,69 | 27,49 | 0 | 0,1429 | 0,98974 | 645 | 92,142553 | 638,38233 | 8,87 | 34,593 | 0,67 | 427,7162 | 0 | 0 | 0 | 70,91 | 6860,52 |
| 3 | 8,69 | 28,58 | 0 | 0,2143 | 0,97677 | 670,57 | 143,69412 | 654,99583 | 9,11 | 35,529 | 0,67 | 438,8472 | 0 | 0 | 0 | 70,91 | 7132,54 |
| 4 | 8,69 | 28,65 | 0 | 0,2857 | 0,95831 | 672,21 | 192,06141 | 644,19357 | 9,49 | 37,011 | 0,67 | 431,6097 | 0 | 0 | 0 | 70,91 | 7150,01 |
| 5 | 8,69 | 27,6 | 0 | 0,3571 | 0,93405 | 647,58 | 231,27814 | 604,87083 | 10,05 | 39,195 | 0,67 | 405,2635 | 0 | 0 | 0 | 70,91 | 6887,97 |
| 6 | 8,69 | 25,19 | 0 | 0,4286 | 0,90351 | 591,03 | 253,29984 | 534,00296 | 10,88 | 42,432 | 0,67 | 357,782 | 0 | 0 | 0 | 70,91 | 6286,52 |
| 7 | 8,69 | 21,05 | 0 | 0,5 | 0,86603 | 493,9 | 246,94808 | 427,72661 | 12,21 | 47,619 | 0,67 | 286,5768 | 0 | 0 | 0 | 70,91 | 5253,33 |
| 8 | 8,69 | 14,46 | 0 | 0,5714 | 0,82065 | 339,27 | 193,87142 | 278,42663 | 14,6 | 56,94 | 0,67 | 186,5458 | 0 | 0 | 0 | 70,91 | 3608,7 |
| 9 | 5,61 | 2,75 | 0 | 0,6429 | 0,76599 | 41,654 | 26,777732 | 31,906576 | 12,05 | 46,995 | 0,67 | 21,37741 | 0 | 0 | 0 | 70,91 | 443,055 |
| somme | | | | | | 1263,3219 | | | | 493,974 | | 3959,943 | | | 0 | | 65942,1 |

Kss 3,52556
Kas 2,202376

Stabilité pour le cas de fin de construction talus aval (R=87.16)

| N°Tr | bi | h1 | h2 | Sin α | Cos α | Gn | T=Gn*Sin α | N=Gn*Cos α | dli | C*dli | tangø | N*tangø | Ui | Ui*dli | Ui*dli*tangø | dn | a*Gn*dn |
|-------|------|-------|----|--------|---------|--------|------------|------------|-------|--------|-------|----------|----|--------|--------------|-------|---------|
| -3 | 5,38 | 0,72 | 0 | -0,25 | 0,96825 | 10,459 | -2,61468 | 10,126612 | 5,61 | 21,879 | 0,67 | 6,78483 | 0 | 0 | 0 | 75,43 | 118,335 |
| -2 | 8,72 | 6,31 | 0 | -0,167 | 0,98601 | 148,56 | -24,76044 | 146,48474 | 8,9 | 34,71 | 0,67 | 98,14477 | 0 | 0 | 0 | 75,43 | 1680,91 |
| -1 | 8,72 | 10,98 | 0 | -0,083 | 0,99652 | 258,51 | -21,54276 | 257,61394 | 8,77 | 34,203 | 0,67 | 172,6013 | 0 | 0 | 0 | 75,43 | 2924,95 |
| 0 | 8,72 | 14,76 | 0 | 0 | 1 | 347,51 | 0 | 347,50944 | 8,72 | 34,008 | 0,67 | 232,8313 | 0 | 0 | 0 | 75,43 | 3931,9 |
| 1 | 8,72 | 17,67 | 0 | 0,0833 | 0,99652 | 416,02 | 34,66854 | 414,57544 | 8,77 | 34,203 | 0,67 | 277,7655 | 0 | 0 | 0 | 75,43 | 4707,09 |
| 2 | 8,72 | 19,69 | 0 | 0,1667 | 0,98601 | 463,58 | 77,26356 | 457,09739 | 8,9 | 34,71 | 0,67 | 306,2552 | 0 | 0 | 0 | 75,43 | 5245,19 |
| 3 | 8,72 | 20,77 | 0 | 0,25 | 0,96825 | 489,01 | 122,25222 | 473,48081 | 9,23 | 35,997 | 0,67 | 317,2321 | 0 | 0 | 0 | 75,43 | 5532,89 |
| 4 | 8,72 | 20,85 | 0 | 0,3333 | 0,94281 | 490,89 | 163,6308 | 462,81779 | 9,51 | 37,089 | 0,67 | 310,0879 | 0 | 0 | 0 | 75,43 | 5554,2 |
| 5 | 8,72 | 19,79 | 0 | 0,4167 | 0,90906 | 465,94 | 194,1399 | 423,56326 | 10,08 | 39,312 | 0,67 | 283,7874 | 0 | 0 | 0 | 75,43 | 5271,83 |
| 6 | 8,72 | 17,37 | 0 | 0,5 | 0,86603 | 408,96 | 204,47964 | 354,16913 | 10,92 | 42,588 | 0,67 | 237,2933 | 0 | 0 | 0 | 75,43 | 4627,17 |
| 7 | 8,72 | 13,22 | 0 | 0,5833 | 0,81223 | 311,25 | 181,56348 | 252,80884 | 12,25 | 47,775 | 0,67 | 169,3819 | 0 | 0 | 0 | 75,43 | 3521,66 |
| 8 | 8,72 | 6,59 | 0 | 0,6667 | 0,74536 | 155,15 | 103,43664 | 115,64568 | 14,65 | 57,135 | 0,67 | 77,48261 | 0 | 0 | 0 | 75,43 | 1755,5 |
| somme | | | | | | | 1035,1316 | | | 431,73 | | 2482,864 | | | 0 | | 44753,3 |

Kss 2,815674

Kas 1,882092

Stabilité pour le cas de fin de construction talus aval (R=72.06)

| N°Tr | bi | h1 | h2 | Sin α | Cos α | Gn | T=Gn*Sin α | N=Gn*Cos α | dli | C*dli | tangø | N*tangø | Ui | Ui*dli | Ui*dli*tangø | dn | a*Gn*dn |
|-------|------|-------|----|--------|---------|--------|------------|------------|-------|---------|-------|----------|----|--------|--------------|-------|---------|
| -3 | 7,67 | 3,13 | 0 | -0,25 | 0,96825 | 64,819 | -16,20479 | 62,760891 | 8,04 | 31,356 | 0,67 | 42,0498 | 0 | 0 | 0 | 65,02 | 632,181 |
| -2 | 7,67 | 8,05 | 0 | -0,167 | 0,98601 | 166,71 | -27,78458 | 164,37576 | 7,83 | 30,537 | 0,67 | 110,1318 | 0 | 0 | 0 | 65,02 | 1625,9 |
| -1 | 7,67 | 12,09 | 0 | -0,083 | 0,99652 | 250,37 | -20,86432 | 249,50095 | 7,71 | 30,069 | 0,67 | 167,1656 | 0 | 0 | 0 | 65,02 | 2441,88 |
| 0 | 7,67 | 15,48 | 0 | 0 | 1 | 320,58 | 0 | 320,57532 | 7,76 | 30,264 | 0,67 | 214,7855 | 0 | 0 | 0 | 65,02 | 3126,57 |
| 1 | 7,67 | 18,04 | 0 | 0,0833 | 0,99652 | 373,59 | 31,13253 | 372,29091 | 7,71 | 30,069 | 0,67 | 249,4349 | 0 | 0 | 0 | 65,02 | 3643,63 |
| 2 | 7,67 | 19,81 | 0 | 0,1667 | 0,98601 | 410,25 | 68,374215 | 404,50731 | 7,83 | 30,537 | 0,67 | 271,0199 | 0 | 0 | 0 | 65,02 | 4001,12 |
| 3 | 7,67 | 20,77 | 0 | 0,25 | 0,96825 | 430,13 | 107,53148 | 416,46764 | 7,74 | 30,186 | 0,67 | 279,0333 | 0 | 0 | 0 | 65,02 | 4195,02 |
| 4 | 7,67 | 20,84 | 0 | 0,3333 | 0,94281 | 431,58 | 143,85852 | 406,89334 | 8,37 | 32,643 | 0,67 | 272,6185 | 0 | 0 | 0 | 65,02 | 4209,16 |
| 5 | 7,67 | 19,9 | 0 | 0,4167 | 0,90906 | 412,11 | 171,71213 | 374,63163 | 8,86 | 34,554 | 0,67 | 251,0032 | 0 | 0 | 0 | 65,02 | 4019,3 |
| 6 | 7,67 | 17,78 | 0 | 0,5 | 0,86603 | 368,21 | 184,10301 | 318,87577 | 9,6 | 37,44 | 0,67 | 213,6468 | 0 | 0 | 0 | 65,02 | 3591,11 |
| 7 | 7,67 | 14,14 | 0 | 0,5833 | 0,81223 | 292,83 | 170,81474 | 237,8423 | 10,77 | 42,003 | 0,67 | 159,3543 | 0 | 0 | 0 | 65,02 | 2855,92 |
| 8 | 7,67 | 8,29 | 0 | 0,6667 | 0,74536 | 171,68 | 114,45174 | 127,96094 | 12,87 | 50,193 | 0,67 | 85,73383 | 0 | 0 | 0 | 65,02 | 1674,37 |
| somme | | | | | | | 927,12467 | | | 409,851 | | 2315,977 | | | 0 | | 36016,2 |

Kss 2,940088
 Kas 1,951797

Stabilité pour le cas de fin de construction talus aval (R=72.58)

| N°Tr | bi | h1 | h2 | Sin α | Cos α | Gn | T=Gn*Sin α | N=Gn*Cos α | dli | C*dli | tang ϕ | N*tang ϕ | Ui | Ui*dli | Ui*dli*tang ϕ | dn | a*Gn*dn |
|-------|------|-------|----|--------------|--------------|-----------|-------------------|-------------------|-------|---------|-------------|---------------|----|--------|--------------------|------|---------|
| -5 | 6,07 | 2,41 | 0 | -0,333 | 0,94281 | 39,497 | -13,16583 | 37,238591 | 6,97 | 27,183 | 0,67 | 24,94986 | 0 | 0 | 0 | 55,3 | 327,632 |
| -4 | 7,26 | 8,85 | 0 | -0,267 | 0,96379 | 173,48 | -46,26072 | 167,19587 | 7,92 | 30,888 | 0,67 | 112,0212 | 0 | 0 | 0 | 55,3 | 1439 |
| -3 | 7,26 | 14,35 | 0 | -0,2 | 0,9798 | 281,29 | -56,25774 | 275,60551 | 7,61 | 29,679 | 0,67 | 184,6557 | 0 | 0 | 0 | 55,3 | 2333,29 |
| -2 | 7,26 | 19,01 | 0 | -0,133 | 0,99107 | 372,63 | -49,68454 | 369,30686 | 7,41 | 28,899 | 0,67 | 247,4356 | 0 | 0 | 0 | 55,3 | 3091 |
| -1 | 7,26 | 22,9 | 0 | -0,067 | 0,99778 | 448,89 | -29,92572 | 447,88717 | 7,3 | 28,47 | 0,67 | 300,0844 | 0 | 0 | 0 | 55,3 | 3723,51 |
| 0 | 7,26 | 26,08 | 0 | 0 | 1 | 511,22 | 0 | 511,22016 | 7,36 | 28,704 | 0,67 | 342,5175 | 0 | 0 | 0 | 55,3 | 4240,57 |
| 1 | 7,26 | 28,47 | 0 | 0,0667 | 0,99778 | 558,07 | 37,204596 | 556,82741 | 7,39 | 28,821 | 0,67 | 373,0744 | 0 | 0 | 0 | 55,3 | 4629,18 |
| 2 | 7,26 | 30,15 | 0 | 0,1333 | 0,99107 | 591 | 78,80004 | 585,72341 | 7,41 | 28,899 | 0,67 | 392,4347 | 0 | 0 | 0 | 55,3 | 4902,35 |
| 3 | 7,26 | 31,05 | 0 | 0,2 | 0,9798 | 608,64 | 121,72842 | 596,34503 | 7,66 | 29,874 | 0,67 | 399,5512 | 0 | 0 | 0 | 55,3 | 5048,69 |
| 4 | 7,26 | 31,12 | 0 | 0,2667 | 0,96379 | 610,01 | 162,67046 | 587,9249 | 8,01 | 31,239 | 0,67 | 393,9097 | 0 | 0 | 0 | 55,3 | 5060,07 |
| 5 | 7,26 | 30,23 | 0 | 0,3333 | 0,94281 | 592,57 | 197,52282 | 558,6789 | 8,4 | 32,76 | 0,67 | 374,3149 | 0 | 0 | 0 | 55,3 | 4915,36 |
| 6 | 7,26 | 28,21 | 0 | 0,4 | 0,91652 | 552,97 | 221,18897 | 506,80759 | 9,1 | 35,49 | 0,67 | 339,5611 | 0 | 0 | 0 | 55,3 | 4586,91 |
| 7 | 7,26 | 24,43 | 0 | 0,4667 | 0,88443 | 478,88 | 223,47587 | 423,53463 | 10,22 | 39,858 | 0,67 | 283,7682 | 0 | 0 | 0 | 55,3 | 3972,28 |
| 8 | 7,26 | 19,02 | 0 | 0,5333 | 0,84591 | 372,83 | 198,84269 | 315,37886 | 12,23 | 47,697 | 0,67 | 211,3038 | 0 | 0 | 0 | 55,3 | 3092,63 |
| 9 | 7,26 | 9,94 | 0 | 0,6 | 0,8 | 194,84 | 116,90633 | 155,8751 | 17,36 | 67,704 | 0,67 | 104,4363 | 0 | 0 | 0 | 55,3 | 1616,23 |
| somme | | | | | | 1163,0456 | | | | 516,165 | | 4084,018 | | | 0 | | 52978,7 |

Kss 3,95529
Kas 2,43013

Stabilité pour le cas de fin de construction talus aval (R=76.72)

| N°Tr | bi | h1 | h2 | Sin α | Cos α | Gn | T=Gn*Sin α | N=Gn*Cos α | dli | C*dli | tangø | N*tangø | Ui | Ui*dli | Ui*dli*tangø | dn | a*Gn*dr |
|-------|------|-------|----|--------|---------|--------|------------|------------|-------|---------|-------|----------|----|--------|--------------|-------|---------|
| -3 | 6,88 | 1,85 | 0 | -0,25 | 0,96825 | 34,366 | -8,5914 | 33,274349 | 7,15 | 27,885 | 0,67 | 22,29381 | 0 | 0 | 0 | 72,64 | 249,632 |
| -2 | 8,43 | 7,13 | 0 | -0,167 | 0,98601 | 162,29 | -27,04766 | 160,01608 | 8,61 | 33,579 | 0,67 | 107,2108 | 0 | 0 | 0 | 72,64 | 1178,84 |
| -1 | 8,43 | 11,57 | 0 | -0,083 | 0,99652 | 263,34 | -21,9454 | 262,42879 | 8,48 | 33,072 | 0,67 | 175,8273 | 0 | 0 | 0 | 72,64 | 1912,94 |
| 0 | 8,43 | 15,13 | 0 | 0 | 1 | 344,37 | 0 | 344,37393 | 8,43 | 32,877 | 0,67 | 230,7305 | 0 | 0 | 0 | 72,64 | 2501,53 |
| 1 | 8,43 | 17,84 | 0 | 0,0833 | 0,99652 | 406,06 | 33,83802 | 404,64387 | 8,48 | 33,072 | 0,67 | 271,1114 | 0 | 0 | 0 | 72,64 | 2949,59 |
| 2 | 8,43 | 19,67 | 0 | 0,1667 | 0,98601 | 447,71 | 74,618145 | 441,4469 | 8,61 | 33,579 | 0,67 | 295,7694 | 0 | 0 | 0 | 72,64 | 3252,16 |
| 3 | 8,43 | 20,65 | 0 | 0,25 | 0,96825 | 470,01 | 117,50366 | 455,08973 | 7,15 | 27,885 | 0,67 | 304,9101 | 0 | 0 | 0 | 72,64 | 3414,19 |
| 4 | 8,43 | 20,62 | 0 | 0,3333 | 0,94281 | 469,33 | 156,44394 | 442,49028 | 9,2 | 35,88 | 0,67 | 296,4685 | 0 | 0 | 0 | 72,64 | 3409,23 |
| 5 | 8,43 | 19,5 | 0 | 0,4167 | 0,90906 | 443,84 | 184,93313 | 403,47644 | 9,74 | 37,986 | 0,67 | 270,3292 | 0 | 0 | 0 | 72,64 | 3224,05 |
| 6 | 8,43 | 17,07 | 0 | 0,5 | 0,86603 | 388,53 | 194,26514 | 336,47708 | 10,56 | 41,184 | 0,67 | 225,4396 | 0 | 0 | 0 | 72,64 | 2822,28 |
| 7 | 8,43 | 12,96 | 0 | 0,5833 | 0,81223 | 294,98 | 172,07316 | 239,59453 | 11,84 | 46,176 | 0,67 | 160,5283 | 0 | 0 | 0 | 72,64 | 2142,75 |
| 8 | 8,43 | 6,47 | 0 | 0,6667 | 0,74536 | 147,26 | 98,17578 | 109,76386 | 14,16 | 55,224 | 0,67 | 73,54179 | 0 | 0 | 0 | 72,64 | 1069,72 |
| somme | | | | | | | 974,26652 | | | 438,399 | | 2434,161 | | | 0 | | 28126,9 |

Kss 2,94843
Kas 2,19622

Stabilité pour le cas de fonctionnement normal (R=86.88)

| N°Tr | bi | h1 | h2 | Sin α | Cos α | Gn | T=Gn*Sin α | N=Gn*Cos α | dli | C*dli | tangø | N*tangø | Ui | Ui*dli | Ui*dli*tangø | dn | a*Gn*dn |
|-------|-------------|----|-------|--------|---------|-----------|------------|------------|---------|--------|-------|----------|-------|---------|--------------|-------|---------|
| -4 | 6,74 | 0 | 2,01 | -0,286 | 0,95831 | 31,159 | -8,902577 | 29,860151 | 7,32 | 28,548 | 0,67 | 20,0063 | 2,01 | 14,7132 | 9,857844 | 70,91 | 331,423 |
| -3 | 8,69 | 0 | 8,59 | -0,214 | 0,97677 | 171,69 | -36,79036 | 167,70019 | 9,11 | 35,529 | 0,67 | 112,3591 | 8,59 | 78,2549 | 52,430783 | 70,91 | 1826,16 |
| -2 | 8,69 | 0 | 14,17 | -0,143 | 0,98974 | 283,22 | -40,4594 | 280,31094 | 8,87 | 34,593 | 0,67 | 187,8083 | 14,17 | 125,688 | 84,210893 | 70,91 | 3012,42 |
| -1 | 8,69 | 0 | 18,82 | -0,071 | 0,99745 | 376,16 | -26,86824 | 375,19453 | 8,73 | 34,047 | 0,67 | 251,3803 | 18,82 | 164,299 | 110,080062 | 70,91 | 4000,98 |
| 0 | 8,69 | 0 | 22,59 | 0 | 1 | 451,51 | 0 | 451,50633 | 8,69 | 33,891 | 0,67 | 302,5092 | 22,59 | 196,307 | 131,525757 | 70,91 | 4802,45 |
| 1 | 8,69 | 0 | 25,48 | 0,0714 | 0,99745 | 509,27 | 36,37634 | 507,96794 | 8,73 | 34,047 | 0,67 | 340,3385 | 25,48 | 222,44 | 149,035068 | 70,91 | 5416,84 |
| 2 | 8,69 | 0 | 27,49 | 0,1429 | 0,98974 | 549,44 | 78,491804 | 543,80717 | 8,87 | 34,593 | 0,67 | 364,3508 | 27,49 | 243,836 | 163,370321 | 70,91 | 5844,15 |
| 3 | 8,69 | 0 | 28,58 | 0,2143 | 0,97677 | 571,23 | 122,4061 | 557,95941 | 9,11 | 35,529 | 0,67 | 373,8328 | 28,58 | 260,364 | 174,443746 | 70,91 | 6075,87 |
| 4 | 8,69 | 0 | 28,65 | 0,2857 | 0,95831 | 572,63 | 163,60787 | 548,75748 | 9,49 | 37,011 | 0,67 | 367,6675 | 28,65 | 271,889 | 182,165295 | 70,91 | 6090,75 |
| 5 | 8,69 | 0 | 27,6 | 0,3571 | 0,93405 | 551,64 | 197,01471 | 515,26034 | 10,05 | 39,195 | 0,67 | 345,2244 | 27,6 | 277,38 | 185,8446 | 70,91 | 5867,53 |
| 6 | 8,69 | 0 | 25,19 | 0,4286 | 0,90351 | 503,47 | 215,77394 | 454,89141 | 10,88 | 42,432 | 0,67 | 304,7772 | 25,19 | 274,067 | 183,625024 | 70,91 | 5355,19 |
| 7 | 8,69 | 0 | 21,05 | 0,5 | 0,86603 | 420,73 | 210,36318 | 364,35971 | 12,21 | 47,619 | 0,67 | 244,121 | 21,05 | 257,021 | 172,203735 | 70,91 | 4475,06 |
| 8 | 8,69 | 0 | 14,46 | 0,5714 | 0,82065 | 289,01 | 165,14973 | 237,17824 | 14,6 | 56,94 | 0,67 | 158,9094 | 14,46 | 211,116 | 141,44772 | 70,91 | 3074,08 |
| 9 | 5,61 | 0 | 2,75 | 0,6429 | 0,76599 | 35,483 | 22,810661 | 27,179676 | 12,05 | 46,995 | 0,67 | 18,21038 | 2,75 | 33,1375 | 22,202125 | 70,91 | 377,418 |
| somme | | | | | | 1076,1631 | | | 493,974 | | | 3373,285 | | | 1740,24085 | | 56172,9 |

Kss 1,976483
Kas 1,234686

Stabilité pour le cas de fonctionnement normal (R=87.16)

| N°Tr | bi | h1 | h2 | Sin α | Cos α | Gn | T=Gn*Sin α | N=Gn*Cos α | dli | C*dli | tangø | N*tangø | Ui | Ui*dli | Ui*dli*tangø | dn | a*Gn*dn |
|-------|------|----|-------|--------------|--------------|--------|-------------------|-------------------|-------|--------|-------|----------|-------|---------|--------------|-------|---------|
| -3 | 5,38 | 0 | 0,72 | -0,25 | 0,96825 | 8,9093 | -2,22732 | 8,6263733 | 5,61 | 21,879 | 0,67 | 5,77967 | 0,72 | 4,0392 | 2,706264 | 75,43 | 100,804 |
| -2 | 8,72 | 0 | 6,31 | -0,167 | 0,98601 | 126,55 | -21,09223 | 124,7833 | 8,9 | 34,71 | 0,67 | 83,60481 | 6,31 | 56,159 | 37,62653 | 75,43 | 1431,89 |
| -1 | 8,72 | 0 | 10,98 | -0,083 | 0,99652 | 220,21 | -18,35124 | 219,44891 | 8,77 | 34,203 | 0,67 | 147,0308 | 10,98 | 96,2946 | 64,517382 | 75,43 | 2491,62 |
| 0 | 8,72 | 0 | 14,76 | 0 | 1 | 296,03 | 0 | 296,02656 | 8,72 | 34,008 | 0,67 | 198,3378 | 14,76 | 128,707 | 86,233824 | 75,43 | 3349,39 |
| 1 | 8,72 | 0 | 17,67 | 0,0833 | 0,99652 | 354,39 | 29,53246 | 353,15686 | 8,77 | 34,203 | 0,67 | 236,6151 | 17,67 | 154,966 | 103,827153 | 75,43 | 4009,74 |
| 2 | 8,72 | 0 | 19,69 | 0,1667 | 0,98601 | 394,9 | 65,817107 | 389,37925 | 8,9 | 34,71 | 0,67 | 260,8841 | 19,69 | 175,241 | 117,41147 | 75,43 | 4468,13 |
| 3 | 8,72 | 0 | 20,77 | 0,25 | 0,96825 | 416,56 | 104,14078 | 403,33551 | 9,23 | 35,997 | 0,67 | 270,2348 | 20,77 | 191,707 | 128,443757 | 75,43 | 4713,2 |
| 4 | 8,72 | 0 | 20,85 | 0,3333 | 0,94281 | 418,17 | 139,3892 | 394,25219 | 9,51 | 37,089 | 0,67 | 264,149 | 20,85 | 198,284 | 132,849945 | 75,43 | 4731,36 |
| 5 | 8,72 | 0 | 19,79 | 0,4167 | 0,90906 | 396,91 | 165,37843 | 360,81314 | 10,08 | 39,312 | 0,67 | 241,7448 | 19,79 | 199,483 | 133,653744 | 75,43 | 4490,82 |
| 6 | 8,72 | 0 | 17,37 | 0,5 | 0,86603 | 348,37 | 174,18636 | 301,69963 | 10,92 | 42,588 | 0,67 | 202,1387 | 17,37 | 189,68 | 127,085868 | 75,43 | 3941,66 |
| 7 | 8,72 | 0 | 13,22 | 0,5833 | 0,81223 | 265,14 | 154,66519 | 215,35568 | 12,25 | 47,775 | 0,67 | 144,2883 | 13,22 | 161,945 | 108,50315 | 75,43 | 2999,93 |
| 8 | 8,72 | 0 | 6,59 | 0,6667 | 0,74536 | 132,17 | 88,112693 | 98,512986 | 14,65 | 57,135 | 0,67 | 66,0037 | 6,59 | 96,5435 | 64,684145 | 75,43 | 1495,43 |
| somme | | | | | | | 881,77875 | | | 431,73 | | 2115,032 | | | 1104,83697 | | 38123,2 |

$$\begin{array}{ll} \text{Kss} & 1,635246 \\ \text{Kas} & 1,093053 \end{array}$$

Stabilité pour le cas de fonctionnement normal (R=72.06)

| N°Tr | bi | h1 | h2 | Sin α | Cos α | Gn | T=Gn*Sin α | N=Gn*Cos α | dli | C*dli | tangø | N*tangø | Ui | Ui*dli | Ui*dli*tangø | dn | a*Gn*dn |
|-------|------|----|-------|--------------|--------------|--------|-------------------|-------------------|-------|---------|-------|----------|-------|---------|--------------|-------|---------|
| -3 | 7,67 | 0 | 3,13 | -0,25 | 0,96825 | 55,216 | -13,80408 | 53,462982 | 8,04 | 31,356 | 0,67 | 35,8202 | 3,13 | 25,1652 | 16,860684 | 65,02 | 538,525 |
| -2 | 7,67 | 0 | 8,05 | -0,167 | 0,98601 | 142,01 | -23,66834 | 140,0238 | 7,83 | 30,537 | 0,67 | 93,81594 | 8,05 | 63,0315 | 42,231105 | 65,02 | 1385,02 |
| -1 | 7,67 | 0 | 12,09 | -0,083 | 0,99652 | 213,28 | -17,77331 | 212,53785 | 7,71 | 30,069 | 0,67 | 142,4004 | 12,09 | 93,2139 | 62,453313 | 65,02 | 2080,12 |
| 0 | 7,67 | 0 | 15,48 | 0 | 1 | 273,08 | 0 | 273,08268 | 7,76 | 30,264 | 0,67 | 182,9654 | 15,48 | 120,125 | 80,483616 | 65,02 | 2663,38 |
| 1 | 7,67 | 0 | 18,04 | 0,0833 | 0,99652 | 318,24 | 26,520303 | 317,1367 | 7,71 | 30,069 | 0,67 | 212,4816 | 18,04 | 139,088 | 93,189228 | 65,02 | 3103,83 |
| 2 | 7,67 | 0 | 19,81 | 0,1667 | 0,98601 | 349,47 | 58,244702 | 344,5803 | 7,83 | 30,537 | 0,67 | 230,8688 | 19,81 | 155,112 | 103,925241 | 65,02 | 3408,36 |
| 3 | 7,67 | 0 | 20,77 | 0,25 | 0,96825 | 366,4 | 91,600893 | 354,76873 | 7,74 | 30,186 | 0,67 | 237,695 | 20,77 | 160,76 | 107,709066 | 65,02 | 3573,53 |
| 4 | 7,67 | 0 | 20,84 | 0,3333 | 0,94281 | 367,64 | 122,54615 | 346,61285 | 8,37 | 32,643 | 0,67 | 232,2306 | 20,84 | 174,431 | 116,868636 | 65,02 | 3585,58 |
| 5 | 7,67 | 0 | 19,9 | 0,4167 | 0,90906 | 351,06 | 146,27329 | 319,13065 | 8,86 | 34,554 | 0,67 | 213,8175 | 19,9 | 176,314 | 118,13038 | 65,02 | 3423,85 |
| 6 | 7,67 | 0 | 17,78 | 0,5 | 0,86603 | 313,66 | 156,82849 | 271,63491 | 9,6 | 37,44 | 0,67 | 181,9954 | 17,78 | 170,688 | 114,36096 | 65,02 | 3059,1 |
| 7 | 7,67 | 0 | 14,14 | 0,5833 | 0,81223 | 249,44 | 145,50885 | 202,6064 | 10,77 | 42,003 | 0,67 | 135,7463 | 14,14 | 152,288 | 102,032826 | 65,02 | 2432,82 |
| 8 | 7,67 | 0 | 8,29 | 0,6667 | 0,74536 | 146,24 | 97,495927 | 109,00376 | 12,87 | 50,193 | 0,67 | 73,03252 | 8,29 | 106,692 | 71,483841 | 65,02 | 1426,32 |
| somme | | | | | | | 789,77287 | | | 409,851 | | 1972,87 | | | 1029,7289 | | 30680,4 |

$$\begin{array}{ll} \text{Kss} & 1,71314 \\ \text{Kas} & 1,137279 \end{array}$$

Stabilité pour le cas de fonctionnement normal (R=72.58)

| N°Tr | bi | h1 | h2 | Sin α | Cos α | Gn | T=Gn*Sin α | N=Gn*Cos α | dli | C*dli | tang \varnothing | N*tang \varnothing | Ui | Ui*dli | Ui*dli*tang \varnothing | dn | a*Gn*dn |
|-------|------|----|-------|--------------|--------------|-----------|-------------------|-------------------|-------|---------|--------------------|----------------------|-------|---------|---------------------------|------|---------|
| -5 | 6,07 | 0 | 2,41 | -0,333 | 0,94281 | 33,646 | -11,21534 | 31,721762 | 6,97 | 27,183 | 0,67 | 21,25358 | 2,41 | 16,7977 | 11,254459 | 55,3 | 279,094 |
| -4 | 7,26 | 0 | 8,85 | -0,267 | 0,96379 | 147,78 | -39,40728 | 142,42611 | 7,92 | 30,888 | 0,67 | 95,42549 | 8,85 | 70,092 | 46,96164 | 55,3 | 1225,81 |
| -3 | 7,26 | 0 | 14,35 | -0,2 | 0,9798 | 239,62 | -47,92326 | 234,77507 | 7,61 | 29,679 | 0,67 | 157,2993 | 14,35 | 109,204 | 73,166345 | 55,3 | 1987,62 |
| -2 | 7,26 | 0 | 19,01 | -0,133 | 0,99107 | 317,43 | -42,32386 | 314,59474 | 7,41 | 28,899 | 0,67 | 210,7785 | 19,01 | 140,864 | 94,378947 | 55,3 | 2633,07 |
| -1 | 7,26 | 0 | 22,9 | -0,067 | 0,99778 | 382,38 | -25,49228 | 381,53351 | 7,3 | 28,47 | 0,67 | 255,6275 | 22,9 | 167,17 | 112,0039 | 55,3 | 3171,88 |
| 0 | 7,26 | 0 | 26,08 | 0 | 1 | 435,48 | 0 | 435,48384 | 7,36 | 28,704 | 0,67 | 291,7742 | 26,08 | 191,949 | 128,605696 | 55,3 | 3612,34 |
| 1 | 7,26 | 0 | 28,47 | 0,0667 | 0,99778 | 475,39 | 31,692804 | 474,33446 | 7,39 | 28,821 | 0,67 | 317,8041 | 28,47 | 210,393 | 140,963511 | 55,3 | 3943,38 |
| 2 | 7,26 | 0 | 30,15 | 0,1333 | 0,99107 | 503,44 | 67,12596 | 498,94957 | 7,41 | 28,899 | 0,67 | 334,2962 | 30,15 | 223,412 | 149,685705 | 55,3 | 4176,07 |
| 3 | 7,26 | 0 | 31,05 | 0,2 | 0,9798 | 518,47 | 103,69458 | 507,99762 | 7,66 | 29,874 | 0,67 | 340,3584 | 31,05 | 237,843 | 159,35481 | 55,3 | 4300,73 |
| 4 | 7,26 | 0 | 31,12 | 0,2667 | 0,96379 | 519,64 | 138,57114 | 500,82492 | 8,01 | 31,239 | 0,67 | 335,5527 | 31,12 | 249,271 | 167,011704 | 55,3 | 4310,43 |
| 5 | 7,26 | 0 | 30,23 | 0,3333 | 0,94281 | 504,78 | 168,26018 | 475,91166 | 8,4 | 32,76 | 0,67 | 318,8608 | 30,23 | 253,932 | 170,13444 | 55,3 | 4187,15 |
| 6 | 7,26 | 0 | 28,21 | 0,4 | 0,91652 | 471,05 | 188,42023 | 431,72499 | 9,1 | 35,49 | 0,67 | 289,2557 | 28,21 | 256,711 | 171,99637 | 55,3 | 3907,36 |
| 7 | 7,26 | 0 | 24,43 | 0,4667 | 0,88443 | 407,93 | 190,36833 | 360,78876 | 10,22 | 39,858 | 0,67 | 241,7285 | 24,43 | 249,675 | 167,281982 | 55,3 | 3383,8 |
| 8 | 7,26 | 0 | 19,02 | 0,5333 | 0,84591 | 317,6 | 169,38451 | 268,65606 | 12,23 | 47,697 | 0,67 | 179,9996 | 19,02 | 232,615 | 155,851782 | 55,3 | 2634,46 |
| 9 | 7,26 | 0 | 9,94 | 0,6 | 0,8 | 165,98 | 99,586872 | 132,7825 | 17,36 | 67,704 | 0,67 | 88,96427 | 9,94 | 172,558 | 115,614128 | 55,3 | 1376,79 |
| somme | | | | | | 990,74259 | | | | 516,165 | | 3478,979 | | | 1864,26542 | | 45130 |

Kss 2,15079

Kas 1,32144

Stabilité pour le cas de fonctionnement normal (R=76.72)

| N°Tr | bi | h1 | h2 | Sin α | Cos α | Gn | T=Gn*Sin α | N=Gn*Cos α | dli | C*dli | tangø | N*tangø | Ui | Ui*dli | Ui*dli*tangø | dn | a*Gn*dn |
|-------|------|----|-------|--------|---------|--------|------------|------------|-------|---------|-------|----------|-------|---------|--------------|-------|---------|
| -3 | 6,88 | 0 | 1,85 | -0,25 | 0,96825 | 29,274 | -7,3186 | 28,344816 | 7,15 | 27,885 | 0,67 | 18,99103 | 1,85 | 13,2275 | 8,862425 | 72,64 | 212,649 |
| -2 | 8,43 | 0 | 7,13 | -0,167 | 0,98601 | 138,24 | -23,0406 | 136,31 | 8,61 | 33,579 | 0,67 | 91,3277 | 7,13 | 61,3893 | 41,130831 | 72,64 | 1004,2 |
| -1 | 8,43 | 0 | 11,57 | -0,083 | 0,99652 | 224,33 | -18,69423 | 223,55045 | 8,48 | 33,072 | 0,67 | 149,7788 | 11,57 | 98,1136 | 65,736112 | 72,64 | 1629,54 |
| 0 | 8,43 | 0 | 15,13 | 0 | 1 | 293,36 | 0 | 293,35557 | 8,43 | 32,877 | 0,67 | 196,5482 | 15,13 | 127,546 | 85,455753 | 72,64 | 2130,93 |
| 1 | 8,43 | 0 | 17,84 | 0,0833 | 0,99652 | 345,9 | 28,82498 | 344,69663 | 8,48 | 33,072 | 0,67 | 230,9467 | 17,84 | 151,283 | 101,359744 | 72,64 | 2512,62 |
| 2 | 8,43 | 0 | 19,67 | 0,1667 | 0,98601 | 381,38 | 63,563605 | 376,04736 | 8,61 | 33,579 | 0,67 | 251,9517 | 19,67 | 169,359 | 113,470329 | 72,64 | 2770,36 |
| 3 | 8,43 | 0 | 20,65 | 0,25 | 0,96825 | 400,38 | 100,09571 | 387,66903 | 7,15 | 27,885 | 0,67 | 259,7382 | 20,65 | 147,648 | 98,923825 | 72,64 | 2908,38 |
| 4 | 8,43 | 0 | 20,62 | 0,3333 | 0,94281 | 399,8 | 133,26706 | 376,93617 | 9,2 | 35,88 | 0,67 | 252,5472 | 20,62 | 189,704 | 127,10168 | 72,64 | 2904,16 |
| 5 | 8,43 | 0 | 19,5 | 0,4167 | 0,90906 | 378,09 | 157,53563 | 343,70216 | 9,74 | 37,986 | 0,67 | 230,2804 | 19,5 | 189,93 | 127,2531 | 72,64 | 2746,41 |
| 6 | 8,43 | 0 | 17,07 | 0,5 | 0,86603 | 330,97 | 165,48512 | 286,62863 | 10,56 | 41,184 | 0,67 | 192,0412 | 17,07 | 180,259 | 120,773664 | 72,64 | 2404,17 |
| 7 | 8,43 | 0 | 12,96 | 0,5833 | 0,81223 | 251,28 | 146,58084 | 204,09904 | 11,84 | 46,176 | 0,67 | 136,7464 | 12,96 | 153,446 | 102,809088 | 72,64 | 1825,31 |
| 8 | 8,43 | 0 | 6,47 | 0,6667 | 0,74536 | 125,45 | 83,63122 | 93,502546 | 14,16 | 55,224 | 0,67 | 62,64671 | 6,47 | 91,6152 | 61,382184 | 72,64 | 911,246 |
| somme | | | | | | | 829,93074 | | | 438,399 | | 2073,544 | | | 1054,25874 | | 23960 |

Kss 1,75639

Kas 1,27617

Stabilité pour le cas du vidange rapide (R=86.23)

| N°Tr | bi | h1 | h2 | Sin α | Cos α | Gn | T=Gn*Sin α | N=Gn*Cos α | dli | C*dli | tangø | N*tangø | Ui | Ui*dli | Ui*dli*tangø | dn | a*Gn*dn |
|-------|------|-------|-------|--------------|--------------|--------|-------------------|-------------------|-------|---------|-------|----------|-------|---------|--------------|-------|---------|
| -4 | 8,62 | 0 | 5,61 | -0,308 | 0,95149 | 111,22 | -34,22273 | 105,82794 | 9,41 | 36,699 | 0,67 | 70,90472 | 5,61 | 52,7901 | 35,369367 | 70,26 | 1172,19 |
| -3 | 8,62 | 0 | 11,58 | -0,231 | 0,97301 | 229,59 | -52,98117 | 223,38824 | 9,04 | 35,256 | 0,67 | 149,6701 | 11,58 | 104,683 | 70,137744 | 70,26 | 2419,6 |
| -2 | 8,62 | 0 | 16,55 | -0,154 | 0,98809 | 328,12 | -50,48005 | 324,21397 | 8,8 | 34,32 | 0,67 | 217,2234 | 16,55 | 145,64 | 97,5788 | 70,26 | 3458,06 |
| -1 | 8,62 | 0 | 20,4 | -0,077 | 0,99704 | 404,45 | -31,11157 | 403,25203 | 8,66 | 33,774 | 0,67 | 270,1789 | 20,4 | 176,664 | 118,36488 | 70,26 | 4262,5 |
| 0 | 8,62 | 0 | 23,71 | 0 | 1 | 470,07 | 0 | 470,07446 | 8,62 | 33,618 | 0,67 | 314,9499 | 23,71 | 204,38 | 136,934734 | 70,26 | 4954,11 |
| 1 | 8,62 | 0 | 26,1 | 0,0769 | 0,99704 | 517,46 | 39,804508 | 515,92539 | 8,66 | 33,774 | 0,67 | 345,67 | 26,1 | 226,026 | 151,43742 | 70,26 | 5453,5 |
| 2 | 8,62 | 0 | 27,54 | 0,1538 | 0,98809 | 546,01 | 84,001237 | 539,50771 | 8,8 | 34,32 | 0,67 | 361,4702 | 27,54 | 242,352 | 162,37584 | 70,26 | 5754,38 |
| 3 | 8,62 | 0 | 28,06 | 0,2308 | 0,97301 | 556,32 | 128,38098 | 541,30172 | 9,03 | 35,217 | 0,67 | 362,6722 | 28,06 | 253,382 | 169,765806 | 70,26 | 5863,03 |
| 4 | 8,62 | 0 | 27,58 | 0,3077 | 0,95149 | 546,8 | 168,24649 | 520,27353 | 9,41 | 36,699 | 0,67 | 348,5833 | 27,58 | 259,528 | 173,883626 | 70,26 | 5762,74 |
| 5 | 8,62 | 0 | 25,98 | 0,3846 | 0,92308 | 515,08 | 198,10749 | 475,45798 | 9,96 | 38,844 | 0,67 | 318,5568 | 25,98 | 258,761 | 173,369736 | 70,26 | 5428,42 |
| 6 | 8,62 | 0 | 23,04 | 0,4615 | 0,88712 | 456,79 | 210,82663 | 405,22856 | 10,79 | 42,081 | 0,67 | 271,5031 | 23,04 | 248,602 | 166,563072 | 70,26 | 4814,12 |
| 7 | 8,62 | 15,79 | 2,56 | 0,5385 | 0,84265 | 418,25 | 225,21209 | 352,43926 | 12,1 | 47,19 | 0,67 | 236,1343 | 2,56 | 30,976 | 20,75392 | 70,26 | 4407,95 |
| 8 | 8,62 | 11,3 | 0 | 0,6154 | 0,78823 | 263 | 161,84382 | 207,3007 | 14,46 | 56,394 | 0,67 | 138,8915 | 0 | 0 | 0 | 70,26 | 2771,72 |
| somme | | | | | | | 1047,6277 | | | 498,186 | | 3406,408 | | | 1476,53495 | | 56522,3 |

Kss 3,72708

Kas 2,29262

Stabilité pour le cas du vidange rapide (R=88.82)

| N°Tr | bi | h1 | h2 | Sin α | Cos α | Gn | T=Gn*Sin α | N=Gn*Cos α | dli | C*dli | tangø | N*tangø | Ui | Ui*dli | Ui*dli*tangø | dn | a*Gn*dn |
|-------|------|-------|-------|--------------|--------------|-----------|-------------------|-------------------|-------|---------|-------|----------|-------|---------|--------------|-------|---------|
| -5 | 8,88 | 0 | 4,8 | -0,333 | 0,94281 | 98,035 | -32,6784 | 92,428473 | 10,26 | 40,014 | 0,67 | 61,92708 | 4,8 | 49,248 | 32,99616 | 68,91 | 675,561 |
| -4 | 8,88 | 0 | 12,11 | -0,267 | 0,96379 | 247,33 | -65,9559 | 238,37836 | 9,69 | 37,791 | 0,67 | 159,7135 | 12,11 | 117,346 | 78,621753 | 68,91 | 1704,38 |
| -3 | 8,88 | 0 | 18,26 | -0,2 | 0,9798 | 372,94 | -74,58845 | 365,40728 | 9,31 | 36,309 | 0,67 | 244,8229 | 18,26 | 170,001 | 113,900402 | 68,91 | 2569,94 |
| -2 | 8,88 | 0 | 23,39 | -0,133 | 0,99107 | 477,72 | -63,69565 | 473,45194 | 9,07 | 35,373 | 0,67 | 317,2128 | 23,39 | 212,147 | 142,138691 | 68,91 | 3291,95 |
| -1 | 8,88 | 0 | 27,31 | -0,067 | 0,99778 | 557,78 | -37,1853 | 556,53855 | 8,93 | 34,827 | 0,67 | 372,8808 | 27,31 | 243,878 | 163,398461 | 68,91 | 3843,66 |
| 0 | 8,88 | 0 | 30,72 | 0 | 1 | 627,43 | 0 | 627,42528 | 8,88 | 34,632 | 0,67 | 420,3749 | 30,72 | 272,794 | 182,771712 | 68,91 | 4323,59 |
| 1 | 8,88 | 0 | 33,23 | 0,0667 | 0,99778 | 678,69 | 45,245968 | 677,17964 | 8,92 | 34,788 | 0,67 | 453,7104 | 33,23 | 296,412 | 198,595772 | 68,91 | 4676,85 |
| 2 | 8,88 | 0 | 34,71 | 0,1333 | 0,99107 | 708,92 | 94,522272 | 702,5873 | 9,07 | 35,373 | 0,67 | 470,7335 | 34,71 | 314,82 | 210,929199 | 68,91 | 4885,15 |
| 3 | 8,88 | 0 | 35,24 | 0,2 | 0,9798 | 719,74 | 143,94835 | 705,20002 | 9,31 | 36,309 | 0,67 | 472,484 | 35,24 | 328,084 | 219,816548 | 68,91 | 4959,74 |
| 4 | 8,88 | 0 | 34,75 | 0,2667 | 0,96379 | 709,73 | 189,2624 | 684,03369 | 9,69 | 37,791 | 0,67 | 458,3026 | 34,75 | 336,728 | 225,607425 | 68,91 | 4890,78 |
| 5 | 8,88 | 0 | 33,19 | 0,3333 | 0,94281 | 677,87 | 225,95752 | 639,10438 | 10,26 | 40,014 | 0,67 | 428,1999 | 33,19 | 340,529 | 228,154698 | 68,91 | 4671,22 |
| 6 | 8,88 | 0 | 30,07 | 0,4 | 0,91652 | 614,15 | 245,65987 | 562,87748 | 11,12 | 43,368 | 0,67 | 377,1279 | 30,07 | 334,378 | 224,033528 | 68,91 | 4232,11 |
| 7 | 8,88 | 14,9 | 10,37 | 0,4667 | 0,88443 | 569,04 | 265,55166 | 503,27728 | 12,47 | 48,633 | 0,67 | 337,1958 | 10,37 | 129,314 | 86,640313 | 68,91 | 3921,25 |
| 8 | 8,88 | 17,98 | 0 | 0,5333 | 0,84591 | 431,09 | 229,91386 | 364,65997 | 14,9 | 58,11 | 0,67 | 244,3222 | 0 | 0 | 0 | 68,91 | 2970,63 |
| 9 | 6,78 | 5,24 | 0 | 0,6 | 0,8 | 95,923 | 57,554064 | 76,738752 | 14,94 | 58,266 | 0,67 | 51,41496 | 0 | 0 | 0 | 68,91 | 661,008 |
| somme | | | | | | 1223,5123 | | | | 611,598 | | 4870,423 | | | 2107,60466 | | 52277,8 |

Kss 4,480561

Kas 3,025241

Stabilité pour le cas du vidange rapide (R=89.3)

| N°Tr | bi | h1 | h2 | Sin α | Cos α | Gn | T=Gn*Sin α | N=Gn*Cos α | dli | C*dli | tangø | N*tangø | Ui | Ui*dli | Ui*dli*tangø | dn | a*Gn*dn |
|-------|------|-------|-------|--------|---------|-----------|------------|------------|-------|--------|-------|----------|-------|---------|--------------|------|---------|
| -5 | 5,63 | 0 | 1,05 | -0,333 | 0,94281 | 13,596 | -4,53215 | 12,818856 | 6,42 | 25,038 | 0,67 | 8,588634 | 1,05 | 6,741 | 4,51647 | 71,3 | 145,414 |
| -4 | 8,93 | 0 | 8,41 | -0,267 | 0,96379 | 172,73 | -46,06213 | 166,47812 | 9,75 | 38,025 | 0,67 | 111,5403 | 8,41 | 81,9975 | 54,938325 | 71,3 | 1847,38 |
| -3 | 8,93 | 0 | 14,6 | -0,2 | 0,9798 | 299,87 | -59,97388 | 293,81081 | 9,37 | 36,543 | 0,67 | 196,8532 | 14,6 | 136,802 | 91,65734 | 71,3 | 3207,1 |
| -2 | 8,93 | 0 | 19,75 | -0,133 | 0,99107 | 405,65 | -54,08603 | 402,02334 | 9,12 | 35,568 | 0,67 | 269,3556 | 19,75 | 180,12 | 120,6804 | 71,3 | 4338,38 |
| -1 | 8,93 | 0 | 23,96 | -0,067 | 0,99778 | 492,11 | -32,80763 | 491,01963 | 8,98 | 35,022 | 0,67 | 328,9832 | 23,96 | 215,161 | 144,157736 | 71,3 | 5263,16 |
| 0 | 8,93 | 0 | 27,14 | 0 | 1 | 557,43 | 0 | 557,42846 | 8,93 | 34,827 | 0,67 | 373,4771 | 27,14 | 242,36 | 162,381334 | 71,3 | 5961,7 |
| 1 | 8,93 | 0 | 29,6 | 0,0667 | 0,99778 | 607,95 | 40,530293 | 606,60189 | 8,99 | 35,061 | 0,67 | 406,4233 | 29,6 | 266,104 | 178,28968 | 71,3 | 6502,07 |
| 2 | 8,93 | 0 | 31,14 | 0,1333 | 0,99107 | 639,58 | 85,277928 | 633,87377 | 9,12 | 35,568 | 0,67 | 424,6954 | 31,14 | 283,997 | 190,277856 | 71,3 | 6840,36 |
| 3 | 8,93 | 0 | 31,65 | 0,2 | 0,9798 | 650,06 | 130,01187 | 636,92548 | 9,37 | 36,543 | 0,67 | 426,7401 | 31,65 | 296,561 | 198,695535 | 71,3 | 6952,38 |
| 4 | 8,93 | 0 | 31,18 | 0,2667 | 0,96379 | 640,41 | 170,77494 | 617,21616 | 9,75 | 38,025 | 0,67 | 413,5348 | 31,18 | 304,005 | 203,68335 | 71,3 | 6849,14 |
| 5 | 8,93 | 0 | 29,51 | 0,3333 | 0,94281 | 606,11 | 202,0353 | 571,44211 | 10,32 | 40,248 | 0,67 | 382,8662 | 29,51 | 304,543 | 204,043944 | 71,3 | 6482,3 |
| 6 | 8,93 | 0 | 26,46 | 0,4 | 0,91652 | 543,46 | 217,38478 | 498,0911 | 11,18 | 43,602 | 0,67 | 333,721 | 26,46 | 295,823 | 198,201276 | 71,3 | 5812,33 |
| 7 | 8,93 | 11,73 | 9,91 | 0,4667 | 0,88443 | 486,36 | 226,96964 | 430,15608 | 12,54 | 48,906 | 0,67 | 288,2046 | 9,91 | 124,271 | 83,261838 | 71,3 | 5201,66 |
| 8 | 8,93 | 14,29 | 0 | 0,5333 | 0,84591 | 344,55 | 183,75797 | 291,4534 | 14,99 | 58,461 | 0,67 | 195,2738 | 0 | 0 | 0 | 71,3 | 3684,92 |
| 9 | 5,6 | 2,43 | 0 | 0,6 | 0,8 | 36,742 | 22,04496 | 29,39328 | 11,94 | 46,566 | 0,67 | 19,6935 | 0 | 0 | 0 | 71,3 | 392,951 |
| somme | | | | | | 1131,9201 | | | | 524,94 | | 4040,128 | | | 1775,33029 | | 67095,5 |

Kss 4,03303

Kas 2,424012

Stabilité pour le cas du vidange rapide (R=91,74)

| N°Tr | bi | h1 | h2 | Sin α | Cos α | Gn | T=Gn*Sin α | N=Gn*Cos α | dli | C*dli | tangø | N*tangø | Ui | Ui*dli | Ui*dli*tangø | dn | a*Gn*dn |
|-------|------|-------|-------|--------------|--------------|--------|-------------------|-------------------|-------|---------|-------|----------|-------|---------|--------------|-------|---------|
| -5 | 9,17 | 0 | 7,1 | -0,333 | 0,94281 | 149,75 | -49,91537 | 141,18198 | 10,59 | 41,301 | 0,67 | 94,59192 | 7,1 | 75,189 | 50,37663 | 69,98 | 1571,88 |
| -4 | 9,17 | 0 | 14,65 | -0,267 | 0,96379 | 308,98 | -82,39551 | 297,79451 | 10,01 | 39,039 | 0,67 | 199,5223 | 14,65 | 146,647 | 98,253155 | 69,98 | 3243,4 |
| -3 | 9,17 | 0 | 21 | -0,2 | 0,9798 | 442,91 | -88,5822 | 433,96238 | 9,61 | 37,479 | 0,67 | 290,7548 | 21 | 201,81 | 135,2127 | 69,98 | 4649,24 |
| -2 | 9,17 | 0 | 26,29 | -0,133 | 0,99107 | 554,48 | -73,93099 | 549,53156 | 9,36 | 36,504 | 0,67 | 368,1861 | 26,29 | 246,074 | 164,869848 | 69,98 | 5820,4 |
| -1 | 9,17 | 0 | 30,61 | -0,067 | 0,99778 | 645,6 | -43,0397 | 644,15926 | 9,22 | 35,958 | 0,67 | 431,5867 | 30,61 | 282,224 | 189,090214 | 69,98 | 6776,82 |
| 0 | 9,17 | 0 | 33,99 | 0 | 1 | 716,88 | 0 | 716,88309 | 9,17 | 35,763 | 0,67 | 480,3117 | 33,99 | 311,688 | 208,831161 | 69,98 | 7525,12 |
| 1 | 9,17 | 0 | 36,39 | 0,0667 | 0,99778 | 767,5 | 51,166766 | 765,79403 | 9,22 | 35,958 | 0,67 | 513,082 | 36,39 | 335,516 | 224,795586 | 69,98 | 8056,46 |
| 2 | 9,17 | 0 | 27,98 | 0,1333 | 0,99107 | 590,13 | 78,683491 | 584,85709 | 9,36 | 36,504 | 0,67 | 391,8543 | 27,98 | 261,893 | 175,468176 | 69,98 | 6194,55 |
| 3 | 9,17 | 0 | 38,53 | 0,2 | 0,9798 | 812,64 | 162,52725 | 796,21764 | 9,62 | 37,518 | 0,67 | 533,4658 | 38,53 | 370,659 | 248,341262 | 69,98 | 8530,24 |
| 4 | 9,17 | 0 | 38,03 | 0,2667 | 0,96379 | 802,09 | 213,89086 | 773,04608 | 10,01 | 39,039 | 0,67 | 517,9409 | 38,03 | 380,68 | 255,055801 | 69,98 | 8419,55 |
| 5 | 9,17 | 0 | 36,32 | 0,3333 | 0,94281 | 766,03 | 255,34171 | 722,21541 | 10,6 | 41,34 | 0,67 | 483,8843 | 36,32 | 384,992 | 257,94464 | 69,98 | 8040,97 |
| 6 | 9,17 | 0 | 33,19 | 0,4 | 0,91652 | 700,01 | 280,00412 | 641,57003 | 11,47 | 44,733 | 0,67 | 429,8519 | 33,19 | 380,689 | 255,061831 | 69,98 | 7348,01 |
| 7 | 9,17 | 12,18 | 16,07 | 0,4667 | 0,88443 | 640,5 | 298,8986 | 566,47685 | 12,87 | 50,193 | 0,67 | 379,5395 | 16,07 | 206,821 | 138,570003 | 69,98 | 6723,3 |
| 8 | 9,17 | 19,56 | 1,15 | 0,5333 | 0,84591 | 508,54 | 271,2217 | 430,1772 | 15,38 | 59,982 | 0,67 | 288,2187 | 1,15 | 17,687 | 11,85029 | 69,98 | 5338,15 |
| 9 | 8,12 | 8,3 | 0 | 0,6 | 0,8 | 181,97 | 109,18152 | 145,57536 | 18,52 | 72,228 | 0,67 | 97,53549 | 0 | 0 | 0 | 69,98 | 1910,13 |
| somme | | | | | | | 1383,0522 | | | 643,539 | | 5500,326 | | | 2413,7213 | | 90148,2 |

Kss 4,44225

Kas 2,59706

Stabilité pour le cas du vidange rapide (R=94.09)

| N°Tr | bi | h1 | h2 | Sin α | Cos α | Gn | T=Gn*Sin α | N=Gn*Cos α | dli | C*dli | tangø | N*tangø | Ui | Ui*dli | Ui*dli*tangø | dn | a*Gn*dn |
|-------|-------------|-------|-------|--------|---------|--------|------------|------------|-------|---------|-------|----------|-------|---------|--------------|-------|---------|
| -4 | 7,67 | 0 | 2,3 | -0,308 | 0,95149 | 40,574 | -12,4844 | 38,605875 | 8,33 | 32,487 | 0,67 | 25,86594 | 2,3 | 19,159 | 12,83653 | 80,45 | 489,63 |
| -3 | 9,41 | 0 | 8,82 | -0,231 | 0,97301 | 190,89 | -44,05183 | 185,73882 | 9,87 | 38,493 | 0,67 | 124,445 | 8,82 | 87,0534 | 58,325778 | 80,45 | 2303,58 |
| -2 | 9,41 | 0 | 14,25 | -0,154 | 0,98809 | 308,41 | -47,44812 | 304,74104 | 9,61 | 37,479 | 0,67 | 204,1765 | 14,25 | 136,943 | 91,751475 | 80,45 | 3721,77 |
| -1 | 9,41 | 0 | 18,68 | -0,077 | 0,99704 | 404,29 | -31,09933 | 403,09334 | 9,46 | 36,894 | 0,67 | 270,0725 | 18,68 | 176,713 | 118,397576 | 80,45 | 4878,78 |
| 0 | 9,41 | 0 | 22,15 | 0 | 1 | 479,39 | 0 | 479,39245 | 9,41 | 36,699 | 0,67 | 321,1929 | 22,15 | 208,432 | 139,649105 | 80,45 | 5785,07 |
| 1 | 9,41 | 0 | 24,61 | 0,0769 | 0,99704 | 532,63 | 40,971864 | 531,05605 | 9,46 | 36,894 | 0,67 | 355,8076 | 24,61 | 232,811 | 155,983102 | 80,45 | 6427,56 |
| 2 | 9,41 | 0 | 26,25 | 0,1538 | 0,98809 | 568,13 | 87,404423 | 561,36507 | 9,6 | 37,44 | 0,67 | 376,1146 | 26,25 | 252 | 168,84 | 80,45 | 6855,89 |
| 3 | 9,41 | 0 | 26,81 | 0,2308 | 0,97301 | 580,25 | 133,90358 | 564,58705 | 9,86 | 38,454 | 0,67 | 378,2733 | 26,81 | 264,347 | 177,112222 | 80,45 | 7002,15 |
| 4 | 9,41 | 0 | 26,29 | 0,3077 | 0,95149 | 568,99 | 175,07522 | 541,39022 | 10,27 | 40,053 | 0,67 | 362,7314 | 26,29 | 269,998 | 180,898861 | 80,45 | 6866,34 |
| 5 | 9,41 | 0 | 24,54 | 0,3846 | 0,92308 | 531,12 | 204,27662 | 490,2639 | 10,88 | 42,432 | 0,67 | 328,4768 | 24,54 | 266,995 | 178,886784 | 80,45 | 6409,28 |
| 6 | 9,41 | 0 | 21,32 | 0,4615 | 0,88712 | 461,43 | 212,96712 | 409,34277 | 11,78 | 45,942 | 0,67 | 274,2597 | 21,32 | 251,15 | 168,270232 | 80,45 | 5568,29 |
| 7 | 9,41 | 13,39 | 2,85 | 0,5385 | 0,84265 | 401,88 | 216,39815 | 338,64614 | 13,22 | 51,558 | 0,67 | 226,8929 | 2,85 | 37,677 | 25,24359 | 80,45 | 4849,71 |
| 8 | 9,41 | 8,49 | 0 | 0,6154 | 0,78823 | 215,71 | 132,7418 | 170,02484 | 15,8 | 61,62 | 0,67 | 113,9166 | 0 | 0 | 0 | 80,45 | 2603,03 |
| somme | | | | | | | 1068,6551 | | | 536,445 | | 3362,226 | | | 1476,19526 | | 63761,1 |

Kiss 3,648203
 Kas 2,232512